



ใบรับรองวิทยานิพนธ์  
บัณฑิตวิทยาลัย มหาวิทยาลัยเกษตรศาสตร์

วิทยาศาสตร์ธรรมชาติและทรัพยากรด (ปฐพีวิทยา)  
ปริญญา

ปฐพีวิทยา

สาขาวิชา

ปฐพีวิทยา

ภาควิชา

เรื่อง ความสัมพันธ์ระหว่างสมบัติดินและคาร์บอนอินทรีกับเม็ดดินเสกียรน้ำในดินป่าไม้  
สถานีวิจัยสิ่งแวดล้อมสะแกราก

Relationship between Soil Properties, Organic Carbon and Water-stable  
Aggregates in Forest Soils of Sakaerat Environmental Research Station

ผู้วิจัย นายวันรพี สุวรรณประภา

ได้พิจารณาเห็นชอบโดย

อาจารย์ที่ปรึกษาวิทยานิพนธ์หลัก

( ผู้ช่วยศาสตราจารย์สมชัย อนุสนธิ์พรเพ็ม, Ph.D. )

อาจารย์ที่ปรึกษาวิทยานิพนธ์ร่วม

( ศาสตราจารย์อิน เบิขารีรัมณ์, Ph.D. )

อาจารย์ที่ปรึกษาวิทยานิพนธ์ร่วม

( ผู้ช่วยศาสตราจารย์ศุภกิจ ชนะจิตต์, ปร.ด. )

หัวหน้าภาควิชา

( ผู้ช่วยศาสตราจารย์สมชัย อนุสนธิ์พรเพ็ม, Ph.D. )

บัณฑิตวิทยาลัย มหาวิทยาลัยเกษตรศาสตร์รับรองแล้ว

( รองศาสตราจารย์กัญจนा ธีระกุล, D.Agr. )  
คณบดีบัณฑิตวิทยาลัย

วันที่ ..... เดือน ..... พ.ศ. ....

สิงหาคม ๒๕๖๗

วิทยานิพนธ์

เรื่อง

ความสัมพันธ์ระหว่างสมบัติดินและสาร์บอนอินทรีกับเม็ดดินเสถียรนำไปสู่  
สถานีวิจัยลิงแวงคล้อมสะแกราช

Relationship between Soil Properties, Organic Carbon and Water-stable Aggregates  
in Forest Soils of Sakaerat Environmental Research Station

โดย

นายวันรพี สุวรรณประภา

เสนอ

บัณฑิตวิทยาลัย มหาวิทยาลัยเกษตรศาสตร์  
เพื่อความสมบูรณ์แห่งปริญญาวิทยาศาสตร์มหาบัณฑิต (ปฐพีวิทยา)  
พ.ศ. ๒๕๕๗

สิงหนาท ๑๖๘ หมู่ ๑ ถนนกาญจนวนิช ตำบลท่าสัก อำเภอเมือง จังหวัดกาญจนบุรี ๗๐๐ ประเทศไทย

วันที่ สุวรรณปะภา 2557: ความสัมพันธ์ระหว่างสมบัติดินและการ์บอนอินทรีกับเม็ดคินเสถียร  
นำในดินป่าไม้ สถานีวิจัยสิ่งแวดล้อมสะแกราช ปริญญาวิทยาศาสตรมหาบัณฑิต (ปฐพีวิทยา)  
สาขาวิชาปฐพีวิทยา ภาควิชาปฐพีวิทยา อาจารย์ที่ปรึกษาวิทยานิพนธ์หลัก: ผู้ช่วยศาสตราจารย์  
สมชาย อนุสนธิ์พรเพ็ม, Ph.D. 137 หน้า

การศึกษาสมบัติดิน ปริมาณการ์บอนอินทรี และเม็ดคินเสถียรนำของดินภายใต้สภาพป่าไม้ต่างชนิด 8 บริเวณในสถานีวิจัยสิ่งแวดล้อมสะแกราช อำเภอวังน้ำเย็น จังหวัดราชสีมา ประกอบด้วยดินภายใต้ป่าเบญจพรรณและรอยต่อระหว่างป่าตึ่งรังกับป่าดิบแล้งอย่างละ 1 บริเวณ ป่าเต็งรัง 2 บริเวณ และป่าดิบแล้ง 4 บริเวณ โดยทำการแยกขนาดของเม็ดคินเสถียรนำออกเป็น 6 ขนาด ดังนี้ 2-8 มิลลิเมตร (WSA1) 1-2 มิลลิเมตร (WSA2) 0.5-1 มิลลิเมตร (WSA3) 0.25-0.5 มิลลิเมตร (WSA4) 0.1-0.25 มิลลิเมตร (WSA5) และเล็กกว่า 0.1 มิลลิเมตร (WSA6) เพื่อหาความสัมพันธ์ระหว่างสมบัติดินที่มีผลต่อการเกิดเม็ดคินและปริมาณการ์บอนอินทรี ในเม็ดคินต่างขนาดภายใต้ป่าไม้ต่างชนิด

ผลการศึกษาพบว่า เม็ดคิน WSA1 และ WSA5 มีสหสัมพันธ์เชิงบวกและเชิงลบกับปริมาณการ์บอนอินทรีอย่างมีนัยสำคัญยิ่งทางสถิติ ( $r=0.71^{**}$  และ  $-0.64^{**}$  ตามลำดับ) เนื่องจาก การ์บอนอินทรีจัดเป็นสารเชื่อมสำคัญที่ทำให้เกิดเม็ดคินขนาดใหญ่ เหล็กและแมงกานีสทั้ง 3 รูป ได้แก่ รูปอิสระ รูปอัลลอย และรูปสารอินทรีเชิงซ้อนมีสหสัมพันธ์เชิงบวกอย่างมีนัยสำคัญทางสถิติกับเม็ดคินขนาด WSA2 และ WSA3 และมีสหสัมพันธ์เชิงลบอย่างมีนัยสำคัญทางสถิติกับเม็ดคินขนาด WSA5 เพราะเหล็กและแมงกานีสทำหน้าที่เป็นสารเชื่อมระหว่างอินทรีวัตถุกับอนุภาคคินเนนิยาทำให้เกิดเม็ดคินขนาดใหญ่ (ใหญ่กว่า 0.25 มิลลิเมตร) ส่วนปริมาณธาตุอาหารพืชส่วนใหญ่ในดินมีสหสัมพันธ์เชิงบวกกับเม็ดคินขนาดใหญ่ซึ่งเป็นไปในทิศทางเดียวกับปริมาณการ์บอนอินทรี แสดงให้เห็นว่า อินทรีวัตถุมีบทบาทต่อการสร้างตัวของเม็ดคิน และความเป็นประโยชน์ของธาตุอาหารพืชบางชนิด เม็ดคินขนาด WSA1 มีปริมาณเด่นในชั้นดินบนของดินป่าไม้ที่ศึกษาทุกบริเวณ ขณะที่เม็ดคินขนาด WSA5 พนมากในชั้นดินล่าง โดยพบว่า เม็ดคินขนาด WSA1 มีปริมาณสูงสุดในดินบนภายใต้พื้นที่รอยต่อระหว่างป่าตึ่งรังกับป่าดิบแล้ง (Skr-4) และป่าดิบแล้งที่ไม่ถูกรบกวน (Skr-8) โดยมีปริมาณเท่ากัน 51.45 และ 51.30 กรัมต่อดิน 100 กรัมตามลำดับ ขณะที่เม็ดคินขนาด WSA5 มีปริมาณสูงสุดในดินล่างของป่าเบญจพรรณทุ่งหญ้า (Skr-1) โดยมีปริมาณเท่ากัน 60.10 กรัมต่อดิน 100 กรัม การแจกกระจายของปริมาณการ์บอนอินทรีในเม็ดคินต่างขนาด พ布ว่า ไม่มีความแตกต่างกันทั้งในดินบนและในดินล่าง แสดงว่า สภาพป่าที่แตกต่างกัน ไม่ส่งผลต่อการแจกกระจายของการ์บอนอินทรีในเม็ดคินแต่ละขนาด

Wanrappee Suwanprapa 2014: Relationship between Soil Properties, Organic Carbon and Water-stable Aggregates in Forest Soils of Sakaerat Environmental Research Station. Master of Science (Soil Science), Major Field: Soil Science, Department of Soil Science. Thesis Advisor: Assistant Professor Somchai Anusontpornperm, Ph.D. 137 pages.

A study on properties, organic carbon content and aggregate stability of soils under different types of forest was conducted in eight areas in Sakaerat Environmental Research Station, Wang Nam Kheo district, Nakhon Ratchasima province. They comprised one soil each under secondary mixed deciduous forest and ecotone (transitional zone between dry dipterocarp and dry evergreen forests), two soils under dry dipterocarp forest, and four soils under dry evergreen forest. Water stable aggregate was analyzed and separated into six sizes; 2-8 mm (WSA1), 1-2 mm (WSA2), 0.5-1 mm (WSA3), 0.25-0.5 mm (WSA4), 0.1-0.25 mm (WSA5), and smaller than 0.1 mm (WSA6) in order to investigate the relationships of the impact of soil properties on the formation of soil aggregate at different sizes and their organic carbon content in those aggregates.

Results revealed that WSA1 and WSA5 statistically had, respectively, highly positive and negative correlation with organic carbon ( $r=0.71^{**}$  and  $-0.64^{**}$ ) due to the organic carbon being the important cementing agent that basically forms large aggregate. Iron and manganese in crystalline, amorphous and organo-complex forms were statistically positively correlated with WSA2 and WSA3, and had negative correlation with WSA5. This is because iron and manganese acting as cementing agent binding between organic matter and clay to form aggregates of larger than 0.25 mm. Most plant nutrients in soil had the positive correlation with large aggregate in a similar fashion as that of organic carbon, indicating that the role of organic matter is not only essential for aggregation but also contributing the availability of some plant nutrients in these soils. WSA1 dominated in the top layer of all forest soils studied whereas WSA5 was found dominant in subsoil layers. The highest amount of WSA1 was in the soils of the transitional zone between dry dipterocarp and dry evergreen forests (Skr-4) and undisturbed dry evergreen forest (Skr-8), having the contents of 51.4 and 51.30 g 100 g<sup>-1</sup> soil, respectively. The soil under secondary mixed deciduous forest (Skr-1) contained the greatest amount of WSA5 with the content of 60.10 g 100 g<sup>-1</sup> soil. There was no different organic carbon content in various sizes of water stable aggregate in topsoil and subsoil. This indicates that different types of forest had no influence on the amount of organic carbon distribution in different sizes of water stable aggregate.

---

Student's signature

---

Thesis Advisor's signature

## กิตติกรรมประกาศ

วิทยานิพนธ์ฉบับนี้สำเร็จได้ด้วยความกรุณาของผู้ช่วยศาสตราจารย์ ดร.สมชาย อนุสันธิพร เพิ่ม อาจารย์ที่ปรึกษาวิทยานิพนธ์หลัก ซึ่งได้ให้ความช่วยเหลือให้กำปรึกษา และข้อชี้แนะ จนกระทั้งสำเร็จลุล่วงไปได้ด้วยดี จึงขอขอบพระคุณเป็นอย่างสูง

ขอขอบพระคุณศาสตราจารย์ ดร.เอิน เกียร์รีนรมน์ และผู้ช่วยศาสตราจารย์ ดร.ศุภิมา ชนะ จิตต์ ซึ่งเป็นอาจารย์ที่ปรึกษาวิทยานิพนธ์ร่วม ที่ได้ให้ความกรุณาในการให้ความช่วยเหลือและ คำปรึกษาชี้แนะที่เป็นประโยชน์นั้นวิทยานิพนธ์ฉบับนี้เสร็จสมบูรณ์

ขอขอบคุณกรรมวิชาการเกย์ตรและกรมพัฒนาที่ดินสำหรับความกรุณาให้ความอนุเคราะห์ ในการทำผลการวิจัย ขอบขอบคุณเจ้าหน้าที่ในภาควิชาปฐพีวิทยาที่ให้การช่วยเหลือใน ห้องปฏิบัติการ และคำแนะนำที่มีประโยชน์ ขอบขอบคุณป้า (พี่บัว), เจ๊ตา, พี่เฟร์ส, พี่เจนชาขและ หญิง, พี่อนกอล์ฟ, เปี้ล, จอย และเพื่อน ๆ พี่ ๆ น้อง ๆ ภาควิชาปฐพีทุกคนที่เคยให้การช่วยเหลือ ให้กำปรึกษา และมีมิตรภาพที่ดีมาโดยตลอด (ถ้าไม่มีพวกท่านคงไม่มีวันนี้)

ขอกราบขอบพระคุณ พ่อไไฟ โภจน์และแม่นิภาวรรณ สุวรรณประภา บิดาและมารดาของ ข้าพเจ้า และครอบครัวสุวรรณประภา ที่อบรมสั่งสอนเลี้ยงดูข้าพเจ้า ให้โอกาสทางการศึกษาและ เป็นกำลังใจให้ข้าพเจ้าเสมอมา

สุดท้ายนี้ ข้าพเจ้าหวังเป็นอย่างยิ่งว่าวิทยานิพนธ์เล่มนี้คงเป็นประโยชน์สำหรับผู้ที่ต้องการ ศึกษาในด้านนี้ และเป็นประโยชน์ต่อหน่วยงานที่เกี่ยวข้อง ประโยชน์อันใดที่จะรับจากวิทยานิพนธ์ ฉบับนี้ ข้าพเจ้าขอมอบไว้สำหรับผู้ที่ได้กล่าวมาข้างต้น หากมีสิ่งใดผิดพลาดข้าพเจ้าขออภัยและ น้อมรับความบกพร่องและข้อผิดพลาดที่เกิดขึ้น

วันที่ สุวรรณประภา

สิงหาคม 2557

## สารบัญ

หน้า

สารบัญ	(1)
สารบัญตาราง	(2)
สารบัญภาพ	(3)
คำนำ	1
วัตถุประสงค์	3
การตรวจสอบสาร	4
อุปกรณ์และวิธีการ	19
อุปกรณ์	19
วิธีการ	19
ผลและวิจารณ์	25
สรุปและข้อเสนอแนะ	85
สรุป	85
ข้อเสนอแนะ	87
เอกสารและตั้งข้ออ้างอิง	88
ภาคผนวก	104
ประวัติการศึกษาและการทำงาน	137

## สารบัญตาราง

ตารางที่	หน้า
1 ลักษณะทั่วไปที่ทำการศึกษา	30
2 สภาพแวดล้อมทั่วไปในบริเวณที่ทำการศึกษา	31
3 ลักษณะสัณฐานวิทยาของหน้าดินในบริเวณที่ทำการศึกษา	32
4 ค่าสมประสิทธิ์สหสัมพันธ์ระหว่างเม็ดดินและรากที่บดดินบางประการ	59
5 ปริมาณการบอนอินทรีย์ในเม็ดดินและรากที่บดดินบางชั้น (Topsoil, A horizon) และชั้นดินล่าง (ชั้น Bt หรือ ชั้น Bt1)	81
ตารางผนวกที่	
1 ผลการวิเคราะห์สมบัติทางฟิสิกส์ของดินในบริเวณที่ทำการศึกษา	119
2 ผลการวิเคราะห์สมบัติทางเคมีของดินในบริเวณที่ทำการศึกษา	121
3 ปริมาณเหล็ก อะลูминัม และแมงกานีสที่สกัดด้วยได.ไอ.โอ.ไอ.ต.-ซิเตรต.ใบ การบอนเนต ออกชาเลต และไฟโรฟอสเฟตของดินที่ทำการศึกษา	125
4 ปริมาณเม็ดดินและรากที่บดดินแต่ละขนาด และขนาดเฉลี่ยของเม็ดดินและรากที่บดดิน	127
5 ปริมาณการบอนอินทรีย์ในเม็ดดินและรากที่บดดินแต่ละขนาด	129
6 การแบ่งกลุ่มของเนื้อดิน	131
7 เกณฑ์ต่างๆ ที่ใช้ในการประเมินระดับสมบัติทางฟิสิกส์ของดิน	132
8 ข้อจำกัดต่างๆ ที่ใช้ในการประเมินระดับสมบัติทางเคมีและการประเมินความ อุดมสมบูรณ์ของดิน	133
9 เกณฑ์การแบ่งระดับปริมาณสภาพกรดที่สกัดได้	136
10 วิธีคาดคะเนระดับความอุดมสมบูรณ์ของดิน โดยการประเมินจากผลการ วิเคราะห์ดิน	136

## สารบัญภาพ

ภาพที่	หน้า
1 ขอบเขตพื้นที่ที่ศึกษา บริเวณสถานีวิจัยสิ่งแวดล้อมสะแกราช จังหวัดนครราชสีมา	15
2 ขอบเขตพื้นที่ลักษณะการใช้ที่ดิน (ปี พ.ศ. 2543) บริเวณสถานีวิจัยสิ่งแวดล้อมสะแกราช จังหวัดนครราชสีมา	18
3 แสดงชุดเก็บตัวอย่างคินบริเวณสถานีวิจัยสิ่งแวดล้อมสะแกราช จ. นครราชสีมา	26
4 แสดงลักษณะภูมิประเทศ และหน้าตัดดินป่าไม้ บริเวณสถานีวิจัยสิ่งแวดล้อมสะแกราช	27
5 ความสัมพันธ์ระหว่างอนุภาคขนาดทราย (ก) อนุภาคขนาดทรายแป้ง (ข) และอนุภาคขนาดดินเหนียว (ค) กับระดับความลึกดิน	40
6 การจำแนกประเภทเนื้อดินตามสัดส่วนโดยมวลของอนุภาคขนาดทราย ทรายแป้ง และดินเหนียว	41
7 ความสัมพันธ์ระหว่างความหนาแน่นรวม (ก) และสภาพการนำนำของดินและอิมตัว (ข) กับระดับความลึกดิน	43
8 ค่าพีเอชของดินที่วัดในน้ำ (ก) และในสารละลายน้ำอะซีติก (ข) ความเข้มข้น 1 มอลาร์ (ค) กับระดับความลึกดิน	44
9 ปริมาณอินทรีย์ต่ำ (ก) และปริมาณในโตรเจนรวม (ข) กับระดับความลึกดิน	45
10 ปริมาณฟอสฟอรัสที่เป็นประโยชน์ (ก) และปริมาณโพแทสเซียมที่เป็นประโยชน์ (ข) กับระดับความลึกดิน	46
11 ปริมาณแคลเซียม (ก) โพแทสเซียม (ข) โซเดียม (ค) และแมกนีเซียมที่สกัดได้ (ง) กับระดับความลึกดิน	49
12 ปริมาณเบสรวมที่สกัดได้ (ก) และสภาพกรดที่สกัดได้ (ข) กับระดับความลึกดิน	51
13 ความชุลกาเพลี่ยนแแกต์ไออกอน (ก) และอัตราร้อยละความอิมตัวเบส (ข) กับระดับความลึกดิน	52
14 ความสัมพันธ์ระหว่างเหล็กที่สกัดได้ด้วย dithionite-citrate-bicarbonate ( $\text{Fe}_d$ ) (ก), ammonium oxalate ( $\text{Fe}_o$ ) (ข) และ sodium pyrophosphate ( $\text{Fe}_p$ ) (ค) กับระดับความลึกดิน	53

## สารบัญภาพ (ต่อ)

ภาพที่	หน้า
15 ความสัมพันธ์ระหว่างอะลูมิเนียมที่สกัดได้ด้วย dithionite-citrate-bicarbonate ( $\text{Al}_d$ ) (ก), ammonium oxalate ( $\text{Al}_o$ ) (ข) และ sodium pyrophosphate ( $\text{Al}_p$ ) (ค) กับระดับความลึกดิน	54
16 ความสัมพันธ์ระหว่างแมงกานีสที่สกัดได้ด้วย dithionite-citrate-bicarbonate ( $\text{Mn}_d$ ) (ก), ammonium oxalate ( $\text{Mn}_o$ ) (ข) และ sodium pyrophosphate ( $\text{Mn}_p$ ) (ค) กับระดับความลึกดิน	56
17 กราฟแสดงความสัมพันธ์ระหว่างเม็ดดินสโตนร์น้ำหนาด 2-8 มิลลิเมตร (WSA1) (ก) เม็ดดินสโตนร์น้ำหนาด 0.25-0.5 มิลลิเมตร(WSA4) (ข) เม็ดดินน้ำหนาด 0.1-0.25 มิลลิเมตร (WSA5) (ค) และขนาดเฉลี่ยของเม็ดดินสโตนร์น้ำกับปริมาณการรับอนอินทรีย์	61
18 กราฟแสดงความสัมพันธ์ระหว่างเม็ดดินสโตนร์น้ำหนาด 2-8 มิลลิเมตร (WSA1) (ก) เม็ดดินสโตนร์น้ำหนาด 0.1-0.25 มิลลิเมตร (WSA5) (ข) และขนาดเฉลี่ยของเม็ดดินสโตนร์ (MWD) (ค) กับปริมาณในไตรเจนรวม	62
19 กราฟแสดงความสัมพันธ์ระหว่างเม็ดดินสโตนร์น้ำหนาด 2-8 มิลลิเมตร (WSA1) (ก) เม็ดดินสโตนร์น้ำหนาด 0.5-1 มิลลิเมตร (WSA3) (ข) เม็ดดินสโตนร์น้ำหนาด 0.25-0.5 มิลลิเมตร (WSA4) (ค) และขนาดเฉลี่ยของเม็ดดินสโตนร์ (MWD) (จ) กับปริมาณฟอสฟอรัสที่เป็นประโยชน์	63
20 กราฟแสดงความสัมพันธ์ระหว่างเม็ดดินสโตนร์น้ำหนาด 0.5-1 มิลลิเมตร (WSA3) (ก) กับปริมาณโพแทสเซียมที่เป็นประโยชน์ และเม็ดดินสโตนร์น้ำหนาด 0.5-1 มิลลิเมตร (WSA3) (ข) กับปริมาณโพแทสเซียมที่สกัดได้	65
21 กราฟแสดงความสัมพันธ์ระหว่างเม็ดดินสโตนร์น้ำหนาด 1-2 มิลลิเมตร (WSA2) (ก) เม็ดดินสโตนร์น้ำหนาด 0.5-1 มิลลิเมตร (WSA3) (ข) และเม็ดดินสโตนร์น้ำหนาด 0.1-0.25 มิลลิเมตร (WSA3) (ค) กับปริมาณแมกนีเซียมเซียมที่สกัดได้	66

## สารบัญภาพ (ต่อ)

ภาพที่	หน้า
22 ภาพแสดงความสัมพันธ์ระหว่างเม็ดคินเสถียรน้ำหนาด 2-8 มิลลิเมตร (WSA1) (ก) เม็ดคินเสถียรน้ำหนาด 0.25-0.5 มิลลิเมตร (WSA4) (ข) เม็ดคินเสถียรน้ำหนาด 0.1-0.25 มิลลิเมตร (WSA5) (ค) และขนาดเฉลี่ยของเม็ดคินเสถียรน้ำ (MWD) (ง) กับค่าความหนาแน่นรวมของคิน	67
23 ภาพแสดงความสัมพันธ์ระหว่างเม็ดคินเสถียรน้ำหนาด 1-2 มิลลิเมตร (WSA2) (ก) เม็ดคินเสถียรน้ำหนาด 0.5-1 มิลลิเมตร (WSA3) (ข) และเม็ดคินเสถียรน้ำหนาด 0.1-0.25 มิลลิเมตร (WSA5) (ค) กับปริมาณเหล็กที่สักด้วยในรูปอสัมฐาน และรูปสารอินทรีย์เชิงช้อน	69
24 ภาพแสดงความสัมพันธ์ระหว่างเม็ดคินเสถียรน้ำหนาด 2-8 มิลลิเมตร (WSA1) (ก) กับปริมาณแมงกานีสที่สักด้วยในรูปอิสระและรูปอสัมฐาน เม็ดคินเสถียรน้ำหนาด 2-8 มิลลิเมตร (WSA1) และเม็ดคินเสถียรน้ำหนาด 0.25-0.5 มิลลิเมตร (WSA4) (ข) กับปริมาณแมงกานีสที่สักด้วยในรูปสารอินทรีย์เชิงช้อน และขนาดเฉลี่ยของเม็ดคินเสถียรน้ำ (MWD) (ค) กับปริมาณแมงกานีสที่สักด้วยในรูปอสัมฐานและรูปสารอินทรีย์เชิงช้อน	70
25 การแยกกระจายของเม็ดคินเสถียรน้ำของคินภายในหัวตัดคินตามระดับความลึกภายในหัวตัดคิน	71
26 การแยกกระจายของเม็ดคินเสถียรน้ำภายในหัวตัดคินตามระดับความลึกภายในหัวตัดคิน	73
27 การแยกกระจายของเม็ดคินเสถียรน้ำภายในหัวตัดคินตามระดับความลึกภายในหัวตัดคิน	74
28 การแยกกระจายของเม็ดคินเสถียรน้ำภายในหัวตัดคินตามระดับความลึกภายในหัวตัดคิน	76
29 การแยกกระจายของเม็ดคินเสถียรน้ำภายในหัวตัดคินตามระดับความลึกภายในหัวตัดคิน	76

## สารบัญภาพ (ต่อ)

ภาพที่	หน้า
30 การแจกกระจายของเม็ดคินเสถียรน้ำ กายให้พื้นที่ป่าดิบแล้งพื้นฟูส่วนที่ได้รับอิทธิพลจากการกร่อนทับบริเวณผิวน้ำของที่ลาดเชิงเขา (Skr-6) ตามระดับความลึกคินกายในหน้าตัดคิน	77
31 การแจกกระจายของเม็ดคินเสถียรน้ำกายให้พื้นที่ป่าดิบแล้งพื้นฟู ตอนล่างของที่ลาดเชิงเขา (Skr-7) ตามระดับความลึกคินกายในหน้าตัดคิน	78
32 การแจกกระจายของเม็ดคินเสถียรน้ำกายให้พื้นที่ป่าดิบแล้งไม่ถูกรบกวน ตอนบนของที่ลาดเชิงเขาตอนกลาง (Skr-8) ตามระดับความลึกคินกายในหน้าตัดคิน	79

**ความสัมพันธ์ระหว่างสมบัติดินและการรับอนุทรีย์กับเม็ดดินและลักษณะทางเคมีในดินป่าไม้  
สถานีวิจัยสิ่งแวดล้อมสะแกราช**

**Relationship between Soil Properties, Organic Carbon and Water-stable  
Aggregates in Forest Soils of Sakaerat Environmental Research Station**

คำนำ

เม็ดดิน (Soil aggregates) หมายถึง กลุ่มของอนุภาคดินที่เก่ายึดกันเป็นกลุ่ม เกิดขึ้นด้วยกระบวนการตามธรรมชาติ โดยในช่องว่างของอนุภาคจะเป็นตัวเก็บรักษาและแลกเปลี่ยนของน้ำ และอากาศ (คณะกรรมการจัดทำพจนานุกรมปฐพีวิทยา, 2551; NRCS, 2008) ขณะที่ความเสถียรของเม็ดดิน (aggregate stability) นั้น หมายถึง ความสามารถของเม็ดดินที่จะทนทานต่อการทำลายโดยแรงภายนอก (มักจะเป็นแรงที่เกิดจากน้ำ) ซึ่งตัวการที่มีอิทธิพลต่อความเสถียรของเม็ดดินนั้น ได้แก่ เนื้อดิน ชนิดของแร่ดินเหนียว เหล็กที่สักดได้ แคตไออ้อนที่สักดได้ ชนิดของอินทรีย์วัตถุ และขนาดของสิ่งมีชีวิต (NRCS, 2008) นอกจากนี้อินทรีย์วัตถุยังช่วยปรับปรุงการเกิดเม็ดดินและโครงสร้างของดิน (Caravaca *et al.*, 2004; Pinheiro *et al.*, 2004; Tisdall and Oades, 1982) ทึ้งยังช่วยในการปรับปรุงสมบัติทางเคมีและฟิสิกส์ (Carter, 2002) Boyle *et al.* (1989) สรุปว่าการบ่อนอนอินทรีย์ในดินส่งผลกระทบต่อสมบัติทางฟิสิกส์ของดินในสัดส่วนที่ไม่คงที่ และการบ่อนอนอินทรีย์ถือเป็นสารเชื่อมหลักในดินที่จะทำให้เกิดเม็ดดินขนาดต่างๆ (Le Bissonnais and Le Souder, 1995) อีกทั้งมีอิทธิพลต่อโครงสร้างดินและความเสถียร โดยการเกะยึดของอนุภาคดินแร่ ช่วยลดการแตกตัวของเม็ดดินด้วยน้ำ และมีอิทธิพลต่อความแกร่งของกลุ่มเม็ดดิน (Onweremadu *et al.*, 2007) การบ่อนอนอินทรีย์และปริมาณไนโตรเจนของดินที่พบในเม็ดดินต่างขนาดจะมีความสำคัญต่อการกำหนดปริมาณของดินที่ง่ายต่อการสูญเสีย โดยกระบวนการกร่อนดิน

Barthes *et al.* (2008) รายงานว่า การเกิดเม็ดดินในเขตว่อนไม้ได้เกิดจากอิทธิพลของเนื้อดิน โดยชัดเจน ขณะที่การเพิ่มขึ้นของควรบอนรวมในดินและปริมาณของควรบอนในอินทรีย์วัตถุขนาดละเอียดจะมีความสัมพันธ์กับปริมาณอนุภาคดินเหนียวและอนุภาคทรายเป็นความเสถียรของเม็ดดินขนาดใหญ่มีความสัมพันธ์กับควรบอนรวมในดินและปริมาณของควรบอนในอินทรีย์วัตถุ

ขนาดละเอียด และมีความสัมพันธ์อย่างใกล้ชิดกับปริมาณอะลูมิเนียมอิสระ และอะลูมิเนียมในรูปอสังหาริมทรัพย์

งานวิจัยนี้ต้องการที่จะศึกษาถึงความสัมพันธ์ระหว่างการบ่อนอนอินทรีย์กับความเสถียรของเม็ดคิน รวมถึงสมบัติดินต่างๆ ที่มีผลต่อความเสถียรของเม็ดคินในสภาพป่าต่างชนิด โดยความรู้ที่ได้จากการศึกษา จะสามารถใช้เป็นฐานความรู้ อันทำให้เกิดความเข้าใจในศาสตร์ทางดินที่กระจ่างขึ้น !เพื่อจะ ได้นำความรู้นี้ไปประยุกต์ให้เกิดประโยชน์และความเจริญของศาสตร์ทางดินต่อไป อีกทั้งยังสามารถนำข้อมูลไปปรับใช้กับดินในพื้นที่เกษตรกรรมด้วย



## วัตถุประสงค์

1. เพื่อศึกษาความสัมพันธ์ระหว่างการบอนอินทรี์ในคืนและสมบัติคืนกับค่าเม็ดคิน เสพย์รน้ำ ในสภาพป่าไม้ต่างชนิดของสถานีวิจัยสิ่งแวดล้อมสะแกราช
2. เพื่อศึกษาถึงอثرพลังของชนิดป่าไม้ ต่อการแยกกระจายของเม็ดคิน
3. เพื่อเปรียบเทียบลักษณะการแยกกระจายของการบอนอินทรี์ในเม็ดคินต่างขนาดใน สภาพป่าไม้ต่างชนิดของสถานีวิจัยสิ่งแวดล้อมสะแกราช

## การตรวจเอกสาร

### 1. รูปแบบและวัฏจักรคาร์บอน (Carbon cycle)

วัฏจักรคาร์บอนเป็นวัฏจักรชีวะ化ณ์เคมี (biogeochemical cycle) ซึ่งคาร์บอนถูกแยกเปลี่ยนระหว่างสิ่งมีชีวิต พื้นดิน น้ำ และบรรยากาศของโลก (Burkett *et al.*, 2005) วัฏจักรคาร์บอนเป็นลำดับการเปลี่ยนรูปคาร์บอน ได้ออกไซด์ไปอยู่ในรูปสารอินทรีย์โดยกระบวนการสังเคราะห์แสง หรือกระบวนการสังเคราะห์ที่ทางเคมีแล้วถูกใช้ไปในชั้นชีวภาค (biosphere) และในที่สุดก็กลับสู่รูปคาร์บอน ได้ออกไซด์โดยผ่านกระบวนการหายใจหรือเผาไหม้ (คณะกรรมการจัดทำพจนานุกรมปฐพิทยา, 2551)

คาร์บอนเป็นธาตุองค์ประกอบที่สำคัญของสิ่งมีชีวิต เป็นองค์ประกอบประมาณร้อยละ 50 ของเนื้อเยื่อของสิ่งมีชีวิต และในรูปคาร์บอนไดออกไซด์ ซึ่งมีความจำเป็นต่อการเจริญเติบโตของพืช (Bolin, 1979) เนื่องจากโปรตีน คาร์บอนไดออกไซด์ และสารประกอบอินทรีย์อื่น ๆ ที่สำคัญล้วนแต่ มีคาร์บอนเป็นองค์ประกอบทั้งสิ้น คาร์บอนปรากฏอยู่ในบรรยากาศในรูปของก๊าซ คาร์บอนไดออกไซด์ ซึ่งมีอยู่ในรูปของสารละลาย นอกจากนั้นยังเป็นองค์ประกอบที่สำคัญของหินปูนมหาสมุทร มีปริมาณคาร์บอนมากกว่าในบรรยากาศถึง 50 เท่า วัฏจักรของคาร์บอนจะหมุนเวียนอยู่ระหว่างสิ่งมีชีวิตและสิ่งแวดล้อมหรือระหว่างคาร์บอนอินทรีย์ และคาร์บอนอนินทรีย์

รูปของการ์บอนในดินแบ่งออกได้เป็น 2 ประเภท ได้แก่ คาร์บอนอนินทรีย์ในดิน (inorganic carbon) และคาร์บอนอินทรีย์ (organic carbon) คาร์บอนอนินทรีย์ที่พบส่วนใหญ่จะอยู่ในรูปของเกลือการ์บอนเนต ซึ่งพบมากในเขตกึ่งแห้งแล้ง จากการประเมินปริมาณของอนินทรีย์ คาร์บอนอย่างคร่าวๆ พบว่า คาร์บอนอนินทรีย์มีอยู่ประมาณร้อยละ 12 ของคาร์บอนทั้งหมดในดิน (Schlesinger, 1991)

ดอกรัก และ อุทิศ (2552) กล่าวว่า ธาตุคาร์บอนเป็นธาตุหลักในส่วนประกอบของอนินทรีย์ต่ำที่สุดรูปแบบ โดยเริ่มจากการสังเคราะห์แสงของพืช โดยคุณชับคาร์บอนไดออกไซด์ในอากาศมาทำปฏิกิริยากับน้ำสร้างคาร์บอนไดออกไซด์แบบง่ายขึ้น และทำการสังเคราะห์ต่อเป็นแป้งไขมัน น้ำตาล และน้ำย่อยอื่น ๆ ที่มีโครงสร้างสลับชั้นช้อน จากนั้นก็ทำการส่งผ่านไปสู่สัตว์โดยกระบวนการของการเป็นอาหารต่อ คาร์บอนในสัตว์กินพืชถ่ายทอดไปสู่สัตว์กินเนื้อ โดยการล่าเป็น

อาหารและเปลี่ยนรูปเป็นเนื้อเยื่อ คาร์บอนในเนื้อเยื่อของพืช สัตว์กินพืช และสัตว์กินเนื้อสูญ นำมาใช้ในการหายใจและปลดปล่อยคาร์บอน ได้ออกไชค์ออกสู่บรรยากาศส่วนหนึ่ง และส่วนที่เหลือก็ใช้ในการเจริญเติบโตกับตกเป็นซากเมื่อตายลง ซากของพืชและสัตว์จะถูกย่อยลายโดย การกระทำของแบคทีเรียและเชื้อรา ปลดปล่อยคาร์บอนออกมายังรูปของคาร์บอน ได้ออกไชค์ อีกส่วนหนึ่งที่กลับไปสู่บรรยากาศดังเดิม คาร์บอนอีกส่วนหนึ่งถูกเก็บเป็นเนื้อไม้ ซาก หรือถ่านหิน ในดิน ก้าชธรรมชาติและน้ำมัน อาจถูกปลดปล่อยเป็นคาร์บอน ได้ออกไชค์เข้าสู่บรรยากาศโดยการ เพาไห้มจากกิจกรรมของมนุษย์หรือจากเหตุการณ์ทางธรรมชาติ เช่น ไฟป่า เป็นต้น ซึ่งการทำ กิจกรรมต่างๆ ของมนุษย์ในปัจจุบันนี้ เป็นปัจจัยหนึ่งที่ทำให้คาร์บอน ได้ออกไชค์ในบรรยากาศ เพิ่มขึ้น จึงมีบทบาทที่ทำให้เกิดปรากฏการณ์เรือนกระจก (green house effect) โดย คาร์บอน ได้ออกไชค์จะทำหน้าที่เพิ่มอุณหภูมิ เมื่อแสงอาทิตย์ส่องผ่านเข้าไปในเรือนกระจก ก็จะทำให้เกิดความร้อนภายในขึ้นแต่ความร้อนที่เกิดขึ้นนี้ไม่สามารถผ่านกระจกออกไปได้ จึงเกิด การสะสมความร้อนขึ้นภายในเรือนกระจกนั้น ซึ่งหมายถึงพื้นที่โลกนั้นเอง (วาสนา, 2548)

Kudeyarov and Nurganova (1998) และ Phillipss *et al.* (1998) แบ่งแหล่งคาร์บอน (carbon pool) ที่สำคัญที่พบบนโลกออกเป็นแหล่งใหญ่ ๆ ได้แก่ ปฐพีภาค (pedosphere) บรรยากาศภาค (atmosphere) อุตุภาค (hydrosphere) ชีวालัย (biosphere) และหินภาค (lithosphere) ปริมาณ คาร์บอนในส่วนที่อยู่ในดินทั่วโลกมีอยู่อย่างมหาศาล (Schlesinger, 1991) ประมาณว่ามีปริมาณเป็น ส่วนเท่าของคาร์บอนในบรรยากาศ หรือเป็น สามเท่าของคาร์บอนที่สะสมในลิ่งมีชีวิตที่อาศัยบน บก มีปริมาณเป็นเศษหนึ่งส่วนสามของคาร์บอนในแหล่งเชื้อเพลิงในรูป fossil fuels ที่พบในส่วนที่ เป็นชั้นหินใต้ดินลงไป และเป็นเศษหนึ่งส่วนยี่สิบห้าของคาร์บอนที่พบในส่วนที่เป็นน้ำ โดยทั่วไป แล้วในระบบนิเวศที่มีการปลดปล่อยคาร์บอนมากกว่าการกักเก็บคาร์บอน มักเรียกว่าเป็นแหล่ง ปลดปล่อยคาร์บอน (carbon sources) และในทางตรงกันข้ามระบบนิเวศที่มีการกักเก็บคาร์บอน มากกว่าการปลดปล่อยคาร์บอน มักเรียกว่าเป็นแหล่งกักเก็บคาร์บอน (carbon sinks)

Ciais *et al.* (2000) รายงานว่า คาร์บอนในรูปของก้าชคาร์บอน ได้ออกไชค์มีการ แตกเปลี่ยนระหว่างบรรยากาศ มหาสมุทร และพื้นดิน การแตกเปลี่ยนถูกควบคุมโดยกระบวนการ สังเคราะห์แสงและการหายใจ การแตกเปลี่ยนที่มากที่สุดคือการแตกเปลี่ยนระหว่างบรรยากาศและ สิ่งมีชีวิตบนพื้นดิน แหล่งสะสมคาร์บอนที่สำคัญ ได้แก่ มหาสมุทร ตันไม้ และดิน โดยในบางกรณี คาร์บอนในรูปของอินทรียสารในสิ่งมีชีวิต อาจจะไม่ได้หมุนเวียนกลับคืนสู่บรรยากาศใน ทันทีทันใด แต่ออาจจะสะสมอยู่ในช่วงระยะเวลาหนึ่ง อาจจะนานเป็นสิบปี ร้อยปี หรือล้านปี

ตัวอย่างเช่น かる์บอนที่อยู่ในรูปเนื้อไม้ในต้นไม้ใหญ่ ชาดพืชและสัตว์ในยุคโบราณที่เน่าเปื่อยผุสลายยังไม่หมด ถ่านหิน และก้าซธรรมาติ เป็นต้น (ศูนย์วิจัยป่าไม้, 2552)

การหมุนเวียนของคาร์บอนในระบบนิเวศแบ่งได้เป็น 3 แบบ ตามระยะเวลาที่ใช้ในการหมุนเวียนให้ครบรอบ (turnover time) คือ ระยะสั้น ระยะกลาง และระยะยาว การหมุนเวียนผ่านกระบวนการสังเคราะห์แสงและการหายใจ เป็นแบบระยะสั้น การหมุนเวียนผ่านสารอินทรีย์ในดินตากอง ถ่านหิน และน้ำมันเป็นแบบระยะกลาง และการหมุนเวียนผ่านโครงสร้างของโลกทั้งมหาสมุทรรวมถึงในดิน เป็นแบบระยะยาว (Mackenzie, 1995)

ดินเป็นทึ้งแหล่งกักเก็บคาร์บอน และแหล่งปล่อยคาร์บอนที่สำคัญในวัฏจักร มีระยะเวลาในการหมุนเวียนcarbonนานกว่าแหล่งอื่น ๆ สามารถเก็บสะสมcarbonได้ในปริมาณมาก (Smith *et al.*, 1997; Lal *et al.*, 2000)

## 2. เม็ดดิน (Soil aggregates)

เม็ดดิน (soil aggregates) หมายถึง กลุ่มของอนุภาคคิดที่เกาจะยึดกันเป็นกลุ่ม เกิดขึ้นด้วยกระบวนการตามธรรมชาติ โดยในช่องว่างของอนุภาคจะเป็นตัวเก็บรักษา และแลกเปลี่ยนของน้ำและอากาศ (คณะกรรมการขัดทำพจนานุกรมปฐพิทยา, 2551; NRCS, 2008)

Tisdall and Oades (1982) และ Oades (1984) ได้ทำการจำแนกสารเ加ายึดอินทรีย์ (organic binding agents) ออกเป็น 3 กลุ่ม คือ transient, temporary และ persistent โดยสารเ加ายึดอินทรีย์ กลุ่ม transient เกิดจากอินทรีย์ตุ่นที่ถูกย่อยสลายอย่างรวดเร็ว โดยสิ่งมีชีวิตขนาดเล็ก ให้สารที่สำคัญคือ โพลีแซคคาไรด์ (polysaccharides) สารเ加ายึดอินทรีย์กลุ่มนี้จะคงประสิทธิภาพในการเ加ายึดคืนเป็นเวลาหลายอาทิตย์ ขณะที่สารเ加ายึดอินทรีย์ กลุ่ม temporary เกิดจากรากพืชและเส้นใยของเชื้อรากในกลุ่ม ไมโครริช่า (mycorrhiza) สารเ加ายึดอินทรีย์กลุ่มนี้จะคงประสิทธิภาพในการเ加ายึดคืนเป็นเวลาหลายเดือนหรืออาจเป็นหลายปี ซึ่งอาจจะส่งผลต่อการจัดการดิน สารเ加ายึดอินทรีย์กลุ่มท้ายสุด คือ กลุ่ม persistent นี้เกิดจากการสลายตัวของวัสดุอิฐมิกซ์ซึ่งมีความสัมพันธ์กับเหล็กอสังฐาน อะลูมิเนียมอสังฐาน และอะลูมิโนซิลิเกตพันธะของ persistent เหล่านี้ รวมเป็นสารประกอบเชิงซ้อน C-P-OM (clay-polyvalent metal-organic matter) ให้รายละเอียดโดย Edwards and Bremner (1967) ซึ่งผู้เขียนได้เสนอว่า พันธะแบบ inter-particle ของ

เม็ดดินขนาดเล็กนั้นเกิดขึ้นโดยอิทธิพลของสารประกอบเชิงซ้อน C-P-OM และจะมีความเสถียรของเม็ดดินสูง

Tisdall and Oades (1982) ได้เสนอว่า การเกิดเม็ดดินจะขึ้นอยู่กับขนาดของเม็ดดินและความหลากหลายของสารเ加๙ย์ดเม็ดดินที่มีขนาดเส้นผ่านศูนย์กลางมากกว่า 2,000 ไมโครเมตร ซึ่งขึ้นอยู่กับตัวบวกพื้นและเส้นใย จะมีปริมาณความจุการบอนอินทรีในดินมากกว่าร้อยละ 2 เม็ดดินขนาดระหว่าง 20-250 ไมโครเมตร ประกอบไปด้วยอนุภาคที่มีขนาดเส้นผ่านศูนย์กลาง 2-20 ไมโครเมตร ขึ้นอยู่กับโดยสารเชื่อมที่หลากหลาย อันประกอบด้วยวัสดุอินทรี พลิกของออกไซด์และอะลูมิโนซิลิเกตที่มีความไม่เป็นระเบียบสูง ความเสถียรของเม็ดดินในน้ำที่ขนาด 2-20 ไมโครเมตร ประกอบด้วยอนุภาคที่มีขนาดเส้นผ่านศูนย์กลางน้อยกว่า 20 ไมโครเมตร ขึ้นอยู่กับตัวบวกพื้นและเส้นใย มีความสัมพันธ์กับเซลล์แบคทีเรียที่มีชีวิตและอนุภาคดินหนึ่ง

Oades and Waters (1991) ได้นำเสนอแนวคิดเรื่องลำดับขั้นของเม็ดดินว่าวัสดุอินทรีเป็นตัวควบคุมความเสถียรของเม็ดดิน เม็ดดินเหล่านี้จะถูกทำลายตามขั้นตอนและกลุ่มของอนุภาคที่มีขนาดต่างกันจะยังคงมีความสัมพันธ์กัน ลำดับขั้นนี้ถูกสร้างขึ้นมาโดยความผูกพันของอนุภาคโดยรากพื้นและเส้นใย ในเม็ดดินขนาดใหญ่การสึกกร่อนจะทำให้เกิดเม็ดดินที่มีขนาดเส้นผ่านศูนย์กลางอยู่ระหว่าง 20-250 ไมโครเมตร ซึ่งมีความเสถียรมากกว่าเม็ดดินขนาดใหญ่ วัสดุที่มีขนาดเล็กกว่า 20 ไมโครเมตร จะถูกปลดปล่อยระหว่างขั้นตอนของการสลายของเม็ดดิน สำหรับเม็ดดินที่มีขนาดน้อยกว่า 20 ไมโครเมตร จะถูกปักปิดอย่างต่อเนื่องของกระบวนการสร้างขนาดเล็กของดินหนึ่ง กลุ่มของสารชีวภาพ และสิ่งมีชีวิตขนาดเล็ก

### 3. ความเสถียรของเม็ดดิน (Aggregate Stability)

ความเสถียรของเม็ดดินเป็นผลลัพธ์ของความเชื่อมโยงอันซับซ้อนระหว่างกระบวนการทางชีวภาพ เคมี และกระบวนการทางฟิสิกส์ในดิน (Tisdall and Oades, 1982) ความเสถียรของเม็ดดินขึ้นอยู่กับพันธะของดินหนึ่งและอินทรีวัตถุ พันธะเคมีของสารอินทรีเชิงซ้อน และแรงยึดเกาะทางกายภาพของอนุภาคโดยเส้นใยของราและรากพื้น (Miller and Jastrow, 1990; Beare and Bruce, 1993; Angers and Caron, 1998)

การกระจายของเม็ดดินต่างขนาดที่มีความเสถียรนั้น ขึ้นอยู่กับปริมาณของความเสถียรและความไม่เสถียรของเม็ดดิน ที่จำแนกโดยขนาดและความผันผวนของความเสถียรเม็ดดิน (Andraski and Scanlon, 2002) จากการศึกษาเรื่องความเสถียรของเม็ดดิน มีความเป็นไปได้ที่ว่าการลดการจัดการดิน จะช่วยปรับปรุงให้คุณสมบัติของดินและศักยภาพของการใช้ดินทางการเกษตรดีขึ้น (Pinheiro et al., 2004) ความมุ่งหมายของการศึกษาเรื่องการกระจายของเม็ดดินต่างขนาดที่มีความเสถียรนั้น ก็เพื่อที่จะหาสมมติฐานในการที่จะจำแนกเม็ดดินด้วยขนาดและความคงทนในนำไปของเม็ดดิน วิธีการทดลองคือการหาความสูญหายของเม็ดดินจากการเตรียมดิน หลังจากหาค่าความสูญหายจากการเตรียมเม็ดดินที่มีขนาดมากกว่า 250 ไมโครเมตร (Andraski and Scanlon, 2002) จะได้ค่าดัชนีความเสถียรของเม็ดดินและค่าดัชนีความเสถียรของเม็ดดินขนาดใหญ่ การศึกษาเรื่องความเสถียรของเม็ดดินนั้น จะอยู่บนพื้นฐานที่ว่าความด้านทานของเม็ดดินต่อการสูญหายจะทำให้ได้มาซึ่งค่าน้ำหนักเฉลี่ยรวมของเม็ดดินที่เสถียรและค่าน้ำหนักเฉลี่ยรวมของเม็ดดินขนาดใหญ่ที่เสถียร ตามลำดับ (Marquez et al., 2004) มีหลาย ๆ วิธีการที่ใช้ในการหาค่าการกระจายของเม็ดดินที่มีความเสถียร (Andraski and Scanlon, 2002) ความเหมาะสมของวิธีการเหล่านี้ขึ้นอยู่กับวัตถุประสงค์ที่ต้องการจะศึกษา

ความเสถียรของเม็ดดินเป็นตัวชี้วัดที่สำคัญที่จะบอกถึงคุณภาพของดิน และความสมบูรณ์ของพื้นที่ทุ่งหญ้า (Herrick et al., 2001; Nael et al., 2004) ทึ้งยังมีความสัมพันธ์อย่างใกล้ชิดกับสมบัติของดิน กระบวนการ และปัจจัยต่างๆ ประกอบไปด้วยปริมาณและผลกระทบของอินทรียวัตถุ (Pinheiro et al., 2004) กิจกรรมของสิ่งมีชีวิตในดิน (Roldan et al., 2005) ประสิทธิภาพในการchanซึ่มนำ (Abu-Sharar and Salameh, 1995) และความด้านทานการกร่อนดิน (Barthes and Roose, 2002; Ramos et al., 2003) สัดส่วนของเม็ดดินที่มีเส้นผ่าศูนย์กลางมากกว่าหรือเท่ากับ 2 มิลลิเมตร จะมีเหมาะสมที่จะใช้เป็นตัวชี้วัดถึงอิทธิพลของระบบการไถพรวนต่อการเกิดเม็ดดิน (Pinheiro et al., 2004) เม็ดดินที่มีขนาดใหญ่กว่า 2 มิลลิเมตร และเล็กกว่า 0.25 มิลลิเมตร จะมีปริมาณคาร์บอนและในไตรเจนมาก ซึ่งจะมีความสัมพันธ์กับเม็ดดินที่มีขนาด 2-0.25 มิลลิเมตร ความสัมพันธ์ระหว่างคาร์บอนอินทรีย์กับขนาดเฉลี่ยของเม็ดดินเสถียรน้ำ (mean weight diameter, MWD) มีความสัมพันธ์กันอย่างมีนัยสำคัญ แต่เป็นนัยสำคัญที่มีค่าต่ำ (Zhang et al., 1996; Adesodun et al., 2005) ความเสถียรของเม็ดดินในน้ำจะลดลงตามขนาดของเม็ดดินที่เพิ่มขึ้น โดยเฉพาะอย่างยิ่งในดินที่มีอินทรีย์ต่ำ อินทรีย์วัตถุมีความสัมพันธ์กับอุปการที่มีขนาดเล็กกว่า 20 ไมโครเมตร โดยจะไม่ปรากฏความสัมพันธ์นี้กับค่าความเสถียรของเม็ดดินขนาดใหญ่ในดินเขตทึ่งแห้งแล้ง (Caravaca et al., 2004) ค่าความเสถียรของเม็ดดินจะมีความสัมพันธ์อย่างยิ่งกับค่าความชุ่มชื้น

อนิทรีย์ตุ แต่ไม่สัมพันธ์กับการโนบไชเดรต แต่เม็ดดินขนาดเล็กกว่า 1 มิลลิเมตร จะมีการสะสม การโนบไชเดรตมากกว่าเม็ดดินที่มีขนาดใหญ่กว่า 1 มิลลิเมตร (Spaccini *et al.*, 2002) ขนาดเฉลี่ยของ เม็ดดินมีความสัมพันธ์กับดินที่มีโนโนแซคคาโรดหรือดินที่มีน้ำตาลเชิงเดี่ยวเป็นส่วนประกอบ รวมถึงดินรวมที่มีโปรตีน ดินรวมที่มีกรดฟีโนลิกเป็นส่วนประกอบ และเบต้าที่สักดิ้ได้ของสารตั้งต้นชีวมีกิ (Martens, 2000)

ความเสถียรของเม็ดดินบนผิวน้ำของดินน้ำ มีความสำคัญต่อการเกิดการกร่อนดินและการเกิดการไหล่หน้าดินของน้ำ (Li *et al.*, 2005) ความลึกของการไหล่หน้าดิน และการสูญเสียดินเป็นเวลาเกินกว่า 30 นาที มีความสัมพันธ์ในเชิงลบกับชั้นดินบนซึ่งมีเม็ดดินขนาดใหญ่ ที่มีความเสถียร (เม็ดดินขนาดมากกว่า 0.2 มิลลิเมตร) (Barthes and Roose, 2002) ดินที่มีการไถพรวนและขาดวัสดุตกค้าง จะนำมาซึ่งการลดลงของการเกิดเม็ดดินและการร่อนอินทรีย์โดยปัจจัยทั้งสองจัดเป็นปัจจัยที่มีความอ่อนไหวต่อการเกิดการกร่อนดิน (Pinheiro *et al.*, 2004)

#### 4. ความสัมพันธ์ของคาร์บอนกับความเสถียรของเม็ดดิน

Igwe *et al.* (2009) ได้ทำการศึกษาเรื่องความเสถียรของคลออลอยด์ดินกับผลกระทบจากเหล็กออกไซด์และอะลูมิเนียมออกไซด์ในดินเบตร้อนบริเวณภาคตะวันออกเฉียงใต้ของประเทศไทย ในจีเรย พบร่วมกับในดินมีค่าดัชนีการเกาะตัวของดินเหนียว (clay-flocculation index) และค่าเม็ดดินขนาดทรายแป้งและดินเหนียว (aggregated silt+clay) ปานกลางถึงสูงจะทำให้ศักยภาพของเม็ดดินมีค่าสูงตามไปด้วย ขณะเดียวกันในการศึกษาข้างบนว่าการร่อนอินทรีย์นั้น ไม่มีอิทธิพลต่อความเสถียรของเม็ดดินขนาดเล็ก (microaggregates) ขณะที่เหล็กในรูปอสัมฐาน และรูปสารอินทรีย์ เชิงช้อนรวมถึงอะลูมิเนียมในรูปอะลูมิเนียมรวม (total aluminium) ซึ่งเป็นรูปหนึ่งๆ ที่อยู่ในเหล็กออกไซด์และอะลูมิเนียมออกไซด์ จะเป็นสารเชื่อมที่ทำให้เกิดเม็ดดินขนาดเล็ก จึงสามารถสรุปได้ว่าออกไซด์และอะลูมิเนียมออกไซด์ จะเป็นสารเชื่อมที่ทำให้เกิดเม็ดดินขนาดเล็ก จึงสามารถสรุปได้ว่าการที่จะทำให้เม็ดดินเกิดความเสถียร

Razafimbelo *et al.* (2007) ศึกษาเรื่องการร่อนในเม็ดดินและการป้องกันสมบัติทางฟิสิกส์ ในดินเหนียวเบตร้อนภายใต้พื้นที่ที่มีการไถพรวนและไม่ไถพรวนของประเทศไทยมาศักดิ์ โดยทำการศึกษาในพื้นที่ที่มีการเพาะปลูกถั่วสลับกับข้าวโพดเลี้ยงสัตว์มาเป็นเวลานานกว่า 11 ปี แบ่งเป็นสองทดลองเป็น 2 แบบ คือ แบบไถพรวนและนำวัสดุตกค้าง (ชาดพืช) ออกจากแปลงทดลองกับ

แบบไม่ไกพรวนและยังคงวัสดุตกค้างในแปลงทดลองไว้ จากผลการศึกษาพบว่าความเสถียรของเม็ดดินมีอิทธิพลต่อปริมาณของการรับอนินทรีย์ในดิน โดยความเสถียรของเม็ดดินจะช่วยป้องกันไม่ให้อิฐรีย์ตกลงกับดินโดยส่วนใหญ่ มีชีวิตขนาดเล็ก ขณะเดียวกันพบว่า ระบบไกพรวนและวัสดุตกค้าง มีผลกระทบต่อการสะสมสารบอนด์ด้วย โดยในแปลงที่ไม่ไกพรวนและยังคงวัสดุตกค้างไว้พบว่ามีการสะสมสารบอนด์ร้อยละ 64 (คำนวณจากการรับอนินทรีย์ในดินที่มีการสะสมของวัสดุตกค้างในรอบ 1 ปี) และยังพบว่าการรับอนินทรีย์มีความสัมพันธ์กับความเสถียรของเม็ดดินทั้งขนาดใหญ่ (200-2000 ไมโครเมตร) ขนาดกลาง (20-200 ไมโครเมตร) และขนาดเล็ก (น้อยกว่า 20 ไมโครเมตร) ในทั้งสองระบบแปลงทดลอง

จากการศึกษาผลลัพธ์แสดงให้เห็นว่าปริมาณเม็ดดินขนาดใหญ่มีความสัมพันธ์อย่างมีนัยสำคัญกับแปลงแบบไม่ไกพรวนและยังคงวัสดุตกค้างในแปลงทดลองไว้มากกว่ากับแปลงแบบไกพรวนและนำวัสดุตกค้างออกจากแปลงทดลองและปริมาณเม็ดดินขนาดกลางมีความสัมพันธ์อย่างมีนัยสำคัญในทิศทางตรงกันข้ามกับเม็ดดินขนาดใหญ่ พบรปริมาณการรับอนินทรีย์ที่มีผลต่อการคงรูปของเม็ดดินขนาดใหญ่ในแปลงแบบไม่ไกพรวนและยังคงวัสดุตกค้างในแปลงทดลองไว้มีปริมาณมากกว่าในแปลงแบบไกพรวนและนำวัสดุตกค้างออกจากแปลงทดลองถึง 1.8 เท่า (31.9 และ 17.9 gramm การรับอนินทรีย์ต่อ gramm ตามลำดับ) จากการศึกษานี้ยังพบข้อมูลสำคัญอีกอย่าง คือ เม็ดดินขนาดใหญ่และขนาดกลางสามารถป้องกันการสูญเสียการรับอนินทรีย์ได้น้อยกว่า 54 ไมโครกรัมต่อ gramm ดินในทั้ง 2 ระบบแปลงทดลอง ด้วยเหตุนี้การป้องกันการสูญเสียการรับอนินทรีย์โดยเม็ดดินขนาดใหญ่กว่า 50 ไมโครเมตร จึงไม่ใช่กระบวนการหลักในการรักษาการรับอนินทรีย์ ดังนั้น การป้องกันการสูญเสียการรับอนินทรีย์ในเม็ดดินที่มีขนาดใหญ่หรือเล็กกว่า 50 ไมโครเมตร ผ่านทางความสัมพันธ์ระหว่างอินทรีย์ตกลงกับอนุภาคดินหนึ่งและอนุภาครายเป็นครึ่งของอันป้องกันการสูญเสียการรับอนินทรีย์โดยการกักเก็บไว้ในรูปองค์ประกอบทางเคมี

## 5. สมบัติดินและชนิดป่าที่พบบริเวณสถานีวิจัยสิ่งแวดล้อมสะแกราช

ป่าเต็งรัง (Deciduous Dipterocarp Forest หรือ Dry Dipterocarp Forest)

เป็นลักษณะในกลุ่มป่าผลัดใบ มีไม้ดั้นที่แตกต่างไปจากป่าในกลุ่มป่าผลัดใบด้วยกันอย่างชัดเจน โดยไม่เด่นที่เป็นไม้ดั้นประจำป่าด้วยไม้ในวงศ์ยางผลัดใบ (deciduous Dipterocarpaceae) ได้แก่ เต็ง (*Shorea obtuse* Wall. Ex Blume) รัง (*Shorea siamensis* Miq.) เหียง

(*Dipterocarpus obtusifolius* Teijsm. Ex Miq.) พลวง (*Dipterocarpus tuberculatus* Roxb.) และยางกราด (*Dipterocarpus intricatus* Dyer) เป็นต้น ปกติไม่เหล่านี้ต้องเป็นไม้เด่นในชั้นเรือนยอดและกิ่งมือย่างน้อยสองชนิดขึ้นไป ลักษณะโครงสร้างของสังคมและปัจจัยสิ่งแวดล้อมอาจมีส่วนช่วยตัดสินใจ ป่าเต็งรังโดยทั่วไปมักไม่มีไผ่ผสมอยู่ ยกเว้นบริเวณแนวรอยต่อระหว่างป่าชนิดนี้กับป่าผสมผลัดใบอาจพบเห็นได้บ้างบางชนิด โดยเฉพาะไฟไหม้ที่พบได้มากที่สุด (Smitinand, 1977a; Kutintara, 1975) การกระจายถิ่นของป่าสังคมนี้ มักมีการกระจายถิ่นซ้อนทับกันอยู่กับป่าผสมผลัดใบแต่การปกคลุมพื้นที่แคบกว่าเล็กน้อย เนื่องจากชีดรอร์งในส่วนที่พื้นที่มีความแห้งแล้งเฉียบ คืนกักเก็บน้ำได้น้อย เช่น บนสันนิน พื้นที่ราบที่เป็นทรายจัด มีหินบนผิวดินมาก หรือบนดินลูกรังที่มีชั้นของลูกรังตื้น มีปรากภูตึ้งแต่ความสูงจากระดับน้ำทะเล 50 เมตร ขึ้นไปจนถึง 1,000 เมตร (Bunyavejchewin, 1979)

ป่าเต็งรังขึ้นอยู่ในพื้นที่ที่ก่อให้เกิดไฟไหม้บ่อยครั้ง ขึ้นต้นใหม่ทุกๆ 4-5 ปี ดินตื้นกักเก็บน้ำได้น้อยมาก ปริมาณน้ำฝนอยู่ในพิสัย 900-1200 มิลลิเมตรต่อปี (Nalampum et al., 1969) ไฟป่าเกิดขึ้นเป็นประจำในนักนิเวศวิทยาหลายท่านเชื่อว่าสังคมป่าชนิดนี้เป็นสังคมสุดยอดโดยไฟ (pyric climax community) หากไม่มีไฟจะคงอยู่ไม่ได้ ปกติไฟป่ามักเกิดขึ้นในช่วงเดือนธันวาคม ไปจนถึงเดือนมีนาคม ไฟเป็นปัจจัยสำคัญต่อการจัดโครงสร้าง การคงชนิดและการสืบพันธุ์ของไม้ในสังคม การเติบโตและการเจริญทดแทนของไม้ส่วนใหญ่ในสังคมนี้ มักขึ้นอยู่กับความชื้นและความชื้นและคุณภาพของดิน ป่าชนิดนี้จะสมบูรณ์ที่สุดเมื่อขึ้นอยู่บนโครงสร้างดินที่เป็นดินร่วนปนทราย ลักษณะค่อนข้างเป็นกรด (ดอกรัก และ อุทิศ, 2552)

ระบบนิเวศของป่าชนิดนี้ได้รับพลังงานจากดวงอาทิตย์พอเพียงตลอดปีสำหรับพืชในการสร้างอินทรีย์ต่อ แต่การสังเคราะห์แสงและการไหหล่อของพลังงานมักถูกจำกัดในช่วงฤดูร้อนผลผลิตในชั้นปฐมภูมิ (primary production) และความหลากหลายของชนิดอาจน้อย สาเหตุจากความแห้งแล้ง ความสมบูรณ์ของดินค่อนข้างต่ำ ผลผลิตส่วนใหญ่เกิดขึ้นในช่วงฤดูฝนเมื่อความชื้นในดินมีเพียงพอ การพักตัวของพืชสีเขียวเกิดขึ้นในช่วงฤดูแล้งเมื่อน้ำในดินขาดแคลน พันธุ์ไม้ทุกชนิดผลัดใบทิ้งเพื่อลดการหายน้ำและหยุดการเจริญเติบโต (ดอกรัก และ อุทิศ, 2552)

## ป่าดิบแล้ง (Seasonal Rain Forest, Semi-evergreen Forest หรือ Dry Evergreen Forest)

ป่าดิบแล้งจำแนกโดยลักษณะโครงสร้างในด้านองค์ประกอบของชนิดพันธุ์ไม้และลักษณะทางสิริของพันธุ์ไม้ในสังคม บรรลุไม้ในสังคมนี้เป็นการผสมกันระหว่างไม้ผลัดใบและไม้ผลัดใบในอัตราส่วนที่ใกล้เคียงกัน ไม่มีที่ผลัดใบมักผลัดใบค่อนข้างสูงในช่วงฤดูแล้งซึ่งสังเกตได้จากปริมาณของการร่วงหล่นของใบอย่างไรก็ตามจะมีการแตกใบขึ้นมาแทนที่ (replacement) ใบที่ร่วงไปในระยะเวลารวดเร็ว ทำให้เรือนยอดยังคงรักษาความเขียวไว้ได้โดยตลอด ไม่ดัชนีของสังคมป่าที่มีความแตกต่างจากสังคมป่าอื่นค่อนข้างเด่นชัด ทั้งในระดับเรือนยอดชั้นบน ชั้นกลาง และชั้นพื้นล่าง ปกติไม้ชั้นบนประกอบด้วยไม้ผลัดใบและไม้ผลัดใบในจำนวนเท่าๆ กัน ไม่ดัชนีชั้นเรือนยอดประกอบด้วย ยางแดง (*Dipterocarpus tubinatus* C.F.Gaertn) ยางนา (*Dipterocarpus alatus* Roxb. Ex G.Don) ตะเคียนหิน (*Hopea ferrea* Laness.) เครื่อมะนอง (*Shorea henryana* Pierre) กระباء (*Anisoptera costana* Korth.) ไม้ผลัดใบที่เป็นตัวชี้สังคมในชั้นเรือนยอดนี้ เช่น มะค่าโมง (*Afzelia xylocarpa* (Kurz) Craib) ตะแบกใหญ่ (*Lagerstroemia calyculata* Kurz) ตะแบกแดง (*Lagerstroemia ovalifolia* Teijsm. and Binn.) และพะยูง (*Dalbergia cochinchinensis* Pierre) เป็นต้น (ดอกรัก และ อุทิศ, 2552)

ป่าดิบแล้งของประเทศไทย พบขึ้นสลับกับป่าไผ่และป่าผสมผลัดใบและอาจมีทุ่งหญ้าที่เกิดจากการทำลายป่าเป็นหย่อม ๆ จะพบป่าชนิดนี้ในระดับความสูงปานกลางและเฉพาะพื้นที่ที่ปัจจัยแวดล้อมเหมาะสม (Smitinand, 1977a; Lekagul and McNeely, 1977; Kutintara, 1975)

ป่าดิบแล้งจัดได้ว่าเป็นสังคมถาวรในสภาพอากาศแบบได้เขตร้อน (Subtropical climate) ของประเทศไทย ปัจจัยหลักที่เป็นปัจจัยกำหนดของสังคมนี้คือ ฤดูกาลที่มีการแบ่งแยกเด่นชัด อย่างน้อยต้องมีช่วงความแห้งแล้งที่ยาวนานประมาณ 3-4 เดือน มีдинค่อนข้างลึกสามารถกักเก็บน้ำได้ดี พอกวาร์ที่จะทำให้พันธุ์ไม้บางชนิดสามารถใบอยู่ได้ตลอดช่วงความแห้งแล้งนี้ และไม่มีไฟป่ามา烧กวน ด้วยสาเหตุนี้ดินในป่าดิบแล้งจึงมักเป็นดินเหนียวหรือดินเหนียวปานราย ปกติป่าชนิดนี้พบตั้งแต่ความสูงจากระดับทะเลปานกลางประมาณ 100 เมตรขึ้นไปจนถึง 800 เมตร มีน้ำฝนเฉลี่ยประมาณ 1,000-2,000 มิลลิเมตรต่อปี ดังนั้นจึงปรากฏอยู่ในเส้นทางของมรสุมทางตอนเหนือของภาคใต้ขึ้นไป ในบางพื้นที่อาจพบหินที่เป็นต้นกำเนิดของดินโคลนขึ้นมาให้เห็นด้วย ส่วนปัจจัยที่เกี่ยวกับอุณหภูมิและความชื้นนับว่ามีบทบาทน้อย (ดอกรัก และ อุทิศ, 2552)

## ป่าเบญจพรรณหรือป่าผสมผลัดใบ (Mixed Deciduous Forest)

ชื่อว่าเบญจพรรณนั้น มีที่มาจากการเรียกในอดีตที่เรียกชื่อตามพรรณไม้เด่นนำในเชิงเศรษฐกิจหลักๆ 5 ชนิด คือ สัก (*Tectona grandis* L.f.) แดง (*Xylia xylocarpa* (Roxb.) Taub. Var. *kerrii* (Craib and Hutch.) I.C.Nielsen) ประดู่ (*Pterocarpus macrocarpus* Kurz) มะค่าโนม (*Afzelia xylocarpa* (Kurz) Craib) และชิงชัน (*Dalbergia oliveri* Gamble) เป็นต้น ลักษณะที่ใช้ในการจำแนกขึ้นต้นคือ การที่ต้นไม้เกือบทั้งหมดมีการผลัดใบพิงในช่วงฤดูแล้ง โดยเฉพาะต้นแต่ปลายเดือนกรกฎาคมไปจนถึงเดือนเมษายน เรือนยอดป่าคงเหลือแต่ไม้ตายแห้งหมดทั้งป่า (ดอกรัก และ อุทิศ, 2552)

ขอบเขตของการกระจายของป่าชนิดนี้ในประเทศไทย ปรากฏตามธรรมชาติในภาคเหนือภาคกลาง และภาคอีสาน ครอบคลุมตั้งแต่ปีลังจังหวัดประจำบวรีขันธ์ตอนบน มีปรากฏที่ระดับความสูงตั้งแต่ 50 เมตร จนถึง 800 เมตรจากระดับน้ำทะเล หรือมากกว่านี้ในบางพื้นที่มีปริมาณน้ำฝนประมาณ 1,600 มิลลิเมตรต่อปีหรือต่ำกว่านี้ ส่วนใหญ่อยู่ในช่วง 1,200-1,400 มิลลิเมตรต่อปี การกระจายในแต่ละท้องที่ขึ้นอยู่กับการแปรผันของปัจจัยสิ่งแวดล้อม เช่น บนลาด旁ทางทิศตะวันตกของประเทศไทย ภาคเหนือ มักพบที่ระดับความสูงต่ำกว่า 700 เมตรจากระดับทะเลปานกลาง แต่ด้านลาดทางทิศตะวันออกมักขึ้นสูงกว่านี้ (Kutintara, 1975)

ปัจจัยสำคัญที่ก่อให้เกิดสังคมพืชนี้ขึ้นในประเทศไทยคือ ฤดูกาล ป่าผสมผลัดใบพบในพื้นที่ที่มีสามฤดูกาล ฤดูร้อน ฤดูหนาว และฤดูฝน มีช่วงที่ขาดฟนเกินกว่า 4 เดือนเป็นอย่างต่ำ และปริมาณน้ำฝนค่อนข้างน้อย ความชื้นในดินขาดแคลนสำหรับการรักษาใบให้คงอยู่ในช่วงแห้งแล้ง ไฟป่าอาจเป็นปัจจัยสำคัญอีกประการหนึ่งที่ทำให้สังคมป่าชนิดนี้ดำรงอยู่ได้ (ดอกรัก และ อุทิศ, 2552)

## 6. ลักษณะพื้นที่ทำการศึกษา

### 6.1 ที่ดังและลักษณะทั่วไป

สถานีวิจัยสิ่งแวดล้อมสะแกราช ตั้งอยู่ในเขตตำบลลภุหลวง อำเภอปักชงชัย และตำบลวังน้ำเขียว กับตำบลลอดุมทรัพย์ อำเภอวังน้ำเขียว จังหวัดคราชสีมา ซึ่งอยู่ทางทิศตะวันออกเฉียง

ได้ของตัวเมืองนครราชสีมา มีระยะทางห่างจากตัวเมืองประมาณ 60 กิโลเมตร ตามทางหลวงหมายเลข 304 (นະเชิงเทรา-นครราชสีมา) และห่างจากกรุงเทพมหานครประมาณ 200 กิโลเมตร (นันทศักดิ์, 2542)

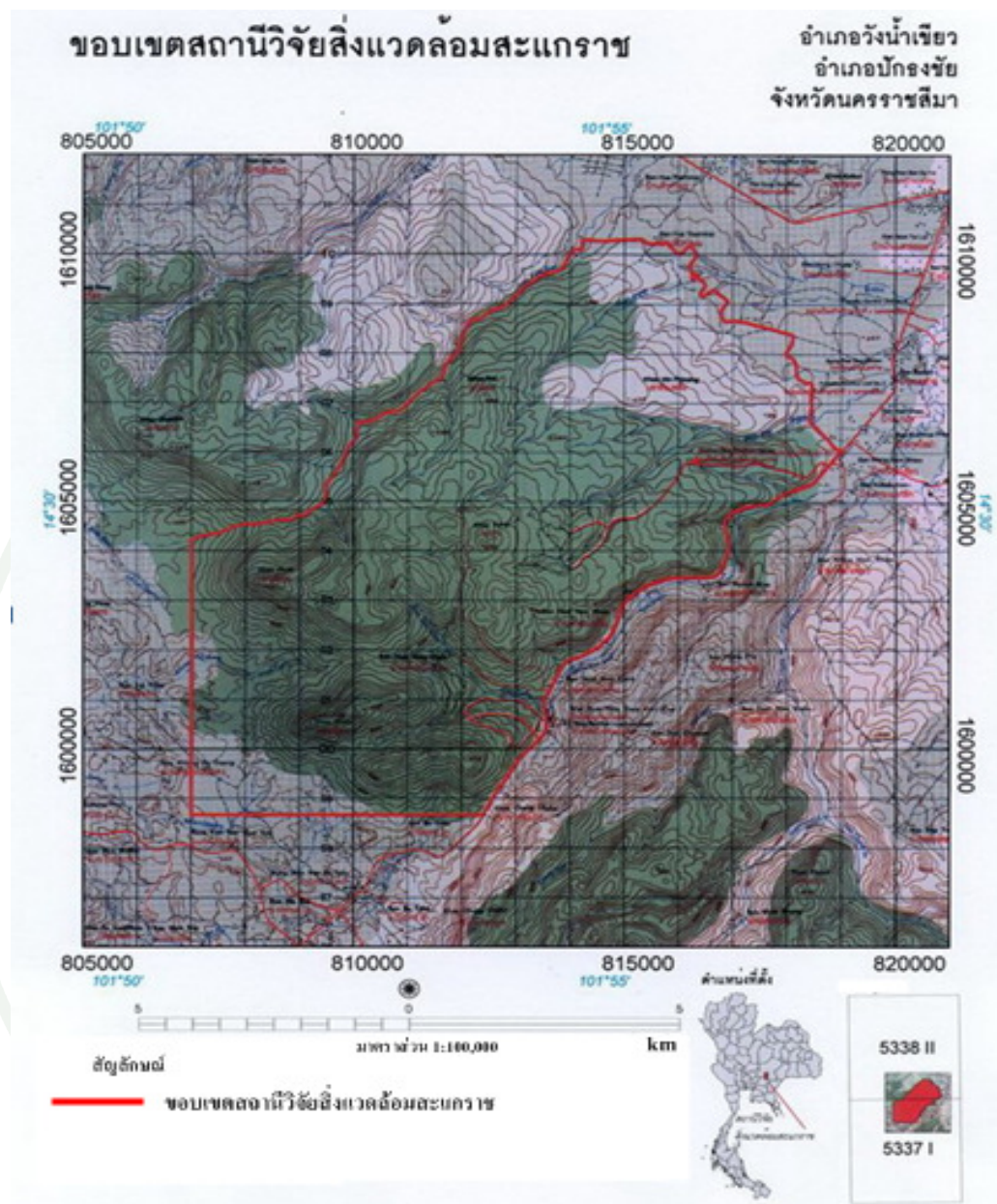
พื้นที่ศึกษาอยู่ในบริเวณป่าเต็งรัง ป่าดินแด่ ป่าเบญจพรรณ ป่าไผ่ ในพื้นที่สถานีวิจัยสิ่งแวดล้อมสะแกราช ในห้องที่ดำเนินสะแกราช อำเภอวังน้ำเขียว จังหวัดนครราชสีมา ซึ่งตั้งอยู่บริเวณเส้นรุ้งที่ 14 องศา 13 ลิปดาเหนือและเส้นแรงที่ 101 องศา 55 ลิปดาตะวันออก มีเนื้อที่ประมาณ 81.047 ตารางกิโลเมตร อุณหภูมิสูงจากระดับทะเลปานกลางประมาณ 250-762 เมตร ลักษณะพื้นที่ประกอบด้วยป่าดินแด่ ประมาณ 29.54 ตารางกิโลเมตร ป่าเต็งรังประมาณ 12.22 ตารางกิโลเมตร และที่อื่นๆ อาทิ อีกประมาณ 0.0005 ตารางกิโลเมตร ทุ่งหญ้าและพื้นที่เกษตรกรรมประมาณ 37.87 ตารางกิโลเมตร ลักษณะทั่วไป เป็นภูเขาที่มีความลาดชันปานกลาง พิสัยตั้งแต่ร้อยละ 10-35 เป็นส่วนใหญ่ ลักษณะของลำห้วยส่วนใหญ่เป็นแบบ intermittent คือมี น้ำ ไหลในบางฤดูส่วนใหญ่แล้งน้ำจะแห้ง (สถิตย์ และคณะ, 2523) (ภาพที่ 1)

### 6.2 ลักษณะภูมิประเทศ

สถานีวิจัยสิ่งแวดล้อมสะแกราช ตั้งอยู่บนขอบที่รับสูง โคราช (Korat Plateau Escarpment) พื้นที่ส่วนใหญ่เป็นภูเขา ได้แก่ เขากลีด เขาเขียว และเขางู มีความสูง 762 เมตร 729 เมตร และ 725 เมตรจากระดับทะเลปานกลางตามลำดับ โดยมีลักษณะหน้าผาชันทางด้านใต้และค่าย ๆ ลาดลงไปทางเหนือ (นันทศักดิ์, 2542)

### 6.3 ลักษณะทางธรรพวิทยา

ดินที่พบส่วนใหญ่มีวัตถุดินกำเนิดมาจากหินทราย และหินดินดาน ชุดดินส่วนใหญ่จัดเป็นชุดดินโคราช และ ดินเข้าใหญ่ ซึ่งมีความอุดมสมบูรณ์ของดินค่อนข้างต่ำ โดยเนื้อดินค่อนข้างหยาบ เป็นดินร่วนเหนียวปนทราย รองลงมา ได้แก่ ดินร่วนปนทราย และดินร่วนเหนียว ตามลำดับ โครงสร้างดินเป็นแบบก้อนเหลี่ยมมุมมน (subangular blocky) พัฒนาการของหน้าดินส่วนใหญ่เป็น A-B-C โดยพบชั้น C ตามความลึกที่แตกต่างกัน ดินส่วนใหญ่เป็นดินดีนี มีความลึกไม่เกิน 80 เซนติเมตร ชั้นดินบนหนาประมาณ 10-20 เซนติเมตร และความหนาของชั้นดินล่างประมาณ 20-30 เซนติเมตร



ภาพที่ 1 ขอบเขตพื้นที่ที่ศึกษา บริเวณสถานีวิจัยสิ่งแวดล้อมสะแกราช จังหวัดนครราชสีมา

มีความลึกไม่เกิน 80 เซนติเมตร และพบความสามารถในการอุ้มน้ำต่อ การซึมนำ้าได้ปานกลาง และพบร่องรอยบริเวณผิดดิน (วีระศักดิ์, 2523)

#### 6.4 ลักษณะภูมิอากาศ

สภาพภูมิอากาศของพื้นที่สถานีวิจัยสิ่งแวดล้อมสะแกราชแบ่งออกเป็น 3 ฤดู อยู่ภายใต้อิทธิพลของลมมรสุมตะวันออกเฉียงเหนือ และลมมรสุมตะวันตกเฉียงใต้ในฤดูหนาวอากาศหนาวเย็น มีความชื้นของอากาศน้อยมาก ในฤดูร้อนอากาศร้อนและมีความชื้นในอากาศสูง มีความชื้นของอากาศเฉลี่ยทั้งปีประมาณร้อยละ 69 ฤดูหนาวเริ่มตั้งแต่เดือนพฤษภาคม ถึงเดือนกุมภาพันธ์ ฤดูร้อนอยู่ระหว่างเดือนมิถุนายน และฤดูฝนอยู่ระหว่างเดือนกรกฎาคม ถึงเดือนตุลาคม ซึ่งในช่วงฤดูฝนนี้จะได้รับอิทธิพลจากลมมรสุมตะวันตกเฉียงใต้ที่พัดพามาจากทะเลจีน ทำให้เกิดฝนตกชุด ปริมาณน้ำฝนเฉลี่ยตลอดทั้งปีประมาณ 1,222 มิลลิเมตร อุณหภูมิเฉลี่ยทั้งปีประมาณ 27 องศาเซลเซียส (สถิตย์ และคณะ, 2523)

#### 6.5 การใช้ที่ดิน

จำลอง (2549) ได้ทำการศึกษาการประยุกต์การรับรู้ระยะไกลและระบบสารสนเทศภูมิศาสตร์ เพื่อศึกษาการเปลี่ยนแปลงพื้นที่ป่าดิบแล้ง และป่าเต็งรัง บริเวณสถานีวิจัยสิ่งแวดล้อมสะแกราช พบร่วมกับพื้นที่ป่าไม้และการใช้ประโยชน์ที่ดินบริเวณพื้นที่สถานีวิจัยสิ่งแวดล้อมสะแกราช สามารถแบ่งกลุ่มตามชนิดป่าไม้และการใช้ประโยชน์ที่ดินของพื้นที่ได้ 6 กลุ่ม ได้แก่ ป่าดิบแล้ง ป่าเต็งรัง ป่าไผ่ ป่าปูกุก ทุ่งหญ้า และสิ่งปลูกสร้าง (ภาพที่ 2)

#### 6.6 ป่าไม้

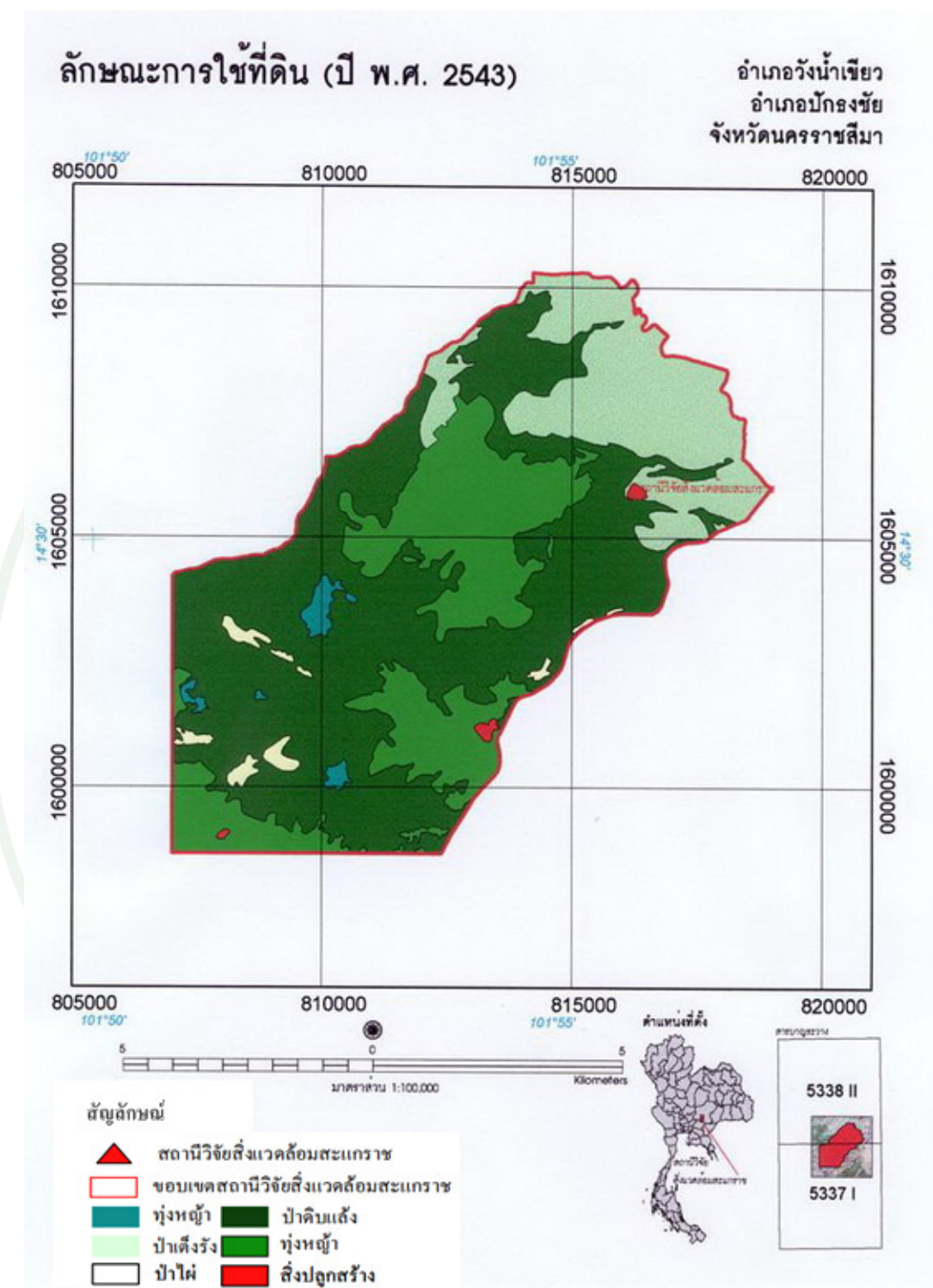
ป่าไม้ธรรมชาติในเขตพื้นที่สถานีวิจัยสิ่งแวดล้อมสะแกราช แบ่งออกเป็นป่าไม้ที่สำคัญ 2 ประเภท ได้แก่ (นันทศักดิ์, 2542)

6.6.1 ป่าดิบแล้ง (Dry evergreen forest) ลักษณะป่าชนิดนี้ค่อนข้างทึบ มีความหนาแน่นประชิด (crown closure) ประมาณ 85% หรือมีความหนาแน่นประมาณ 123 ต้นต่อไร่ (765 ต้นต่อเฮกตาร์) เป็นเนื้อไม้ที่สามารถทำเป็นสินค้าได้ประมาณ 1,188,584 ลูกบาศก์เมตร จากจำนวน

ป่าดิบแล้งที่มีในปี พ.ศ. 2522 ซึ่งมีประมาณ 33.63 ตารางกิโลเมตร ลักษณะ โครงสร้างของป่า แบ่งออกได้ 4 ชั้น โดยไม่ชั้นบนมีความสูงอยู่ระหว่าง 21-40 เมตร ชนิดไม้ที่สำคัญได้แก่ ตะเคียนหิน (*Hopea ferrea* Pierre) ตะเคียนทอง (*Hopea odarata* Roxb.) ชัน (*Shorea sericeiflora*) กระบอก (*Irvingia malayana* Oliv.ex A.Benn.) ไม้ชั้นกลางมีความสูง 15-20 เมตร ชนิดไม้ที่สำคัญได้แก่ กระเบากลัก (*Hydnocarpus ilicifolius* King) พลอง (*Memecylon ovatum* J.E. Smith) กัคลิน (*Walsura trichostemon* Miq.) ชั้นล่างมีความสูงระหว่าง 4-14 เมตร ชนิดไม้ที่สำคัญได้แก่ มะไฟ (*Baccaurea sapida* Muell Arg.) หมายฝักตง (*Apodytes dimidiata*) ไม้พื้นล่างมีความสูงต่ำกว่า 4 เมตรลงมา ส่วนใหญ่เป็นลูกไม้ (seedlings) และไม้พุ่มชนิดต่าง ๆ

6.6.2 ป่าเต็งรัง (Dry dipterocarp forest) ลักษณะของป่าชนิดนี้เป็นป่าโภร์ ความหนาแน่นของต้นไม้ 84 ต้นต่อไร่ (523 ต้นต่อเฮกตาร์) ความหนาแน่นประชิดของเรือนยอดตั้งแต่ร้อยละ 25 ขึ้นไป และ มีปริมาตรไม้ที่สามารถทำเป็นการค้าได้ประมาณ 57,603 ลูกบาศก์เมตร ลักษณะ โครงสร้างของป่าเต็งรังแบ่งออกได้เป็น 3 ชั้น ชั้นบนมีความสูงประมาณ 21-25 เมตร ชนิดไม้ที่สำคัญได้แก่ เต็ง (*Shorea obtuse* Wall.) รัง (*Shorea siamensis* Miq.) และพลอง (*Dipterocarpus tuberculatus* Roxb.) เหียง (*Dipterocapus obtusifolius* Teijsm Ex. Miq.) และกราด (*Dipterocapus intricatus* Dyer) พะยอม (*Shorea roxburghii* G. Don.) ไม้ชั้นกลางมีความสูงระหว่าง 11-20 เมตร ชนิดไม้ที่สำคัญได้แก่ ก่อแพะ (*Queyrus kerrii*) คำมอกหลวง (*Gardenis sootepensis*) คำมอกน้อย (*Gardenis obtusifloria* Roxb.) นามแท่ง (*Randia tomentosa*) และ ไม้ชั้นล่างเป็นลูกไม้ชนิดต่าง ๆ ได้แก่ ไผ่เพ็ค (*Arundinaria pusilla* Cheval and A. Camus) หญ้าคา (*Imperata cylindrical* Beauv.) เป็นต้น

นอกจากนี้ป่าไม้สำคัญ 2 ประเภทดังกล่าวแล้ว ยังมีป่าไผ่ ซึ่งกระจายอยู่ในส่วนต่าง ๆ ของสถานีวิจัยฯ โดยเฉพาะบริเวณลำหัวแม่และหน้าพาน ประกอบด้วยไผ่ป่า (*Bambusa arundinacea* Willd.) และไผ่ซาง (*Dendrocalamus strictus* Nees) รวมทั้งไร่รังที่เกิดจากการบุกรุกแผ่ถางของประชาชนเพื่อทำไร่เลื่อนลอย และทodorทึ่งเมื่อสภาพดินเสื่อมโทรมลง จนกระทั่งไม่ใหญ่ไม่สามารถขึ้นได้นอกจากหญ้าคา หญ้าพัง หญ้าขาวรูบ เป็นต้น นอกจากนั้นในพื้นที่ไร่รัง ได้มีการปลูกป่าทดแทนที่ดำเนินการโดยสถานีวิจัยฯ และกรมป่าไม้ตามโครงการความร่วมมือไทย-ญี่ปุ่น ประมาณ 9,000 ไร่ พันธุ์ไม้ที่ปลูกประกอบด้วย กระถินเทпа (*Acacia mangium* Willd.) กระถินนรงค์ (*Acacia auriculiformis* Cunn.) และซ้อ (*Gmelina arborea* Roxb.) เป็นต้น



ภาพที่ 2 ขอบเขตพื้นที่ลักษณะการใช้ที่ดินบริเวณสถานีวิจัยสิ่งแวดล้อมสะแกราช จังหวัดนครราชสีมา (ปี พ.ศ. 2543)

## อุปกรณ์และวิธีการ

### อุปกรณ์

1. แผนที่สภาพภูมิประเทศสถานีวิจัยสิ่งแวดล้อมสะแกราช มาตรฐาน 1:50,000 (กรมแผนที่ทหาร)
2. แผนที่ธรณีวิทยาสถานีวิจัยสิ่งแวดล้อมสะแกราช มาตราส่วน 1:100,000
3. เครื่องมือมาตรฐานที่ใช้ในการสำรวจดินภาคสนาม (อิบ, 2547; Soil Survey Division Staff, 1993)
4. เครื่องมือ อุปกรณ์และสารเคมีที่ใช้ในการวิเคราะห์สมบัติทางฟิสิกส์ และเคมีของดิน

### วิธีการ

#### 1. การศึกษาข้อมูลเบื้องต้น

กำหนดขอบเขตพื้น และจุดที่ใช้ทำการศึกษา รวบรวมข้อมูลและศึกษาข้อมูลเบื้องต้น ซึ่งประกอบด้วย สภาพภูมิประเทศ สภาพภูมิอากาศ ลักษณะทางปฐพีวิทยา พืชพรรณธรรมชาติ และการใช้ประโยชน์ที่ดิน และข้อมูลอื่น ๆ ที่เกี่ยวข้อง

#### 2. การปฏิบัติงานในภาคสนาม

2.1 ศึกษาข้อมูลการใช้ประโยชน์ที่ดินบริเวณสถานีวิจัยสิ่งแวดล้อมสะแกราช โดยการออกสำรวจในพื้นที่ และคัดเลือกจุดเก็บตัวอย่างดินที่เป็นตัวแทนเพื่อใช้ในการศึกษาสมบัติต่าง ๆ ของดิน

## 2.2 การเลือกเก็บดินตามจุดศึกษา

การศึกษาลักษณะดินตัวแทนของป่าต่างชนิด และ/หรือรูปแบบการใช้ประโยชน์ที่ดินประเภทอื่น ประกอบด้วย ป่าเบญจพรรณทุกtypum ป่าเต็งรัง และป่าดิบแล้ง โดยทำการขุดหลุ่มดินในบริเวณที่กำหนดไว้ ที่มีขนาดกว้าง 1.5 เมตร ยาว 2 เมตร และลึก 2 เมตร ตกแต่งหน้าตัดของดินให้สามารถมองเห็นสัณฐานของดินได้ชัดเจน แบ่งชั้นดินตามการกำเนิดดิน (genetic horizon) ศึกษาสมบัติของดินในแต่ละชั้นดิน พร้อมกับทำคำอธิบายหน้าตัดดินตามวิธีการมาตรฐาน (เอิน, 2548; Soil Survey Staff, 1993) โดยเก็บตัวอย่างดินเพื่อทำการวิเคราะห์แยกวิธีการเก็บออกเป็น 2 วิธี คือ

ตัวอย่างดินที่ถูก擾乱 (disturbed soil samples) โดยเก็บตัวอย่างดินทุกชั้นดินตามชั้นกำเนิดดิน (genetic horizon) ที่ได้แบ่งไว้ตลอดหน้าตัดดิน ชั้นละ 1 ตัวอย่าง ๆ ละประมาณ 1-2 กิโลกรัม เพื่อนำไปศึกษาสมบัติทางฟิสิกส์ และสมบัติทางเคมี

ตัวอย่างดินที่ไม่ถูก擾乱 (undisturbed soil samples) เลือกเก็บเฉพาะชั้นที่ต้องการนำมาศึกษาข้อมูลบางส่วนของสมบัติทางฟิสิกส์ โดยใช้ระบบอกรเก็บตัวอย่าง (core) (Buol *et al.*, 2010)

## 3. การเตรียมและวิเคราะห์ตัวอย่างดินในห้องปฏิบัติการ

### 3.1 การเตรียมตัวอย่างดิน

1) นำตัวอย่างดินที่ถูก擾乱มาผสั่งให้แห้งในที่ร่ม หลังจากนั้นนำมานวดด้วยโกร่งบดดินและร่อนผ่านตะแกรงขนาด 2 มิลลิเมตร แยกก้อนกรวด เศษหินและแร่ และเศษซากพืชออก ซึ่งจะนำไปใช้ในการวิเคราะห์สมบัติทางฟิสิกส์ และสมบัติทางเคมีของดิน

2) นำตัวอย่างดินที่ไม่ถูก擾乱ในระบบอกรเก็บตัวอย่างมาศึกษาความหนาแน่นรวมของดิน (bulk density) และวิเคราะห์หาสภาพน้ำของดินขณะอิ่มตัว (saturated hydraulic conductivity)

### 3.2 การวิเคราะห์สมบัติทางฟิสิกส์ของดิน

- 1) การกระจายขนาดของอนุภาคดิน (Soil particle size distribution) โดยวิธีไปเพต (pipette method) (Kilmer and Alexander, 1949; Day, 1965) ผลที่ได้จากการวิเคราะห์นำมาแจกแจงประเภทของเนื้อดิน (soil textural class) โดยการเปรียบเทียบกับชั้นเนื้อดินตามเกณฑ์ของกระทรวงเกษตรสหรัฐอเมริกา (USDA textural class) (Soil Survey Division Staff, 1993)
- 2) ความหนาแน่นรวมของดิน (Bulk density) โดยวิธีใช้กรอบอกเก็บตัวอย่างดินที่ไม่ทำลายโครงสร้าง (core method) (Blake and Hartge, 1986)
- 3) สภาพน้ำนำผ่านดินอิมตัว (Saturated hydraulic conductivity) โดยใช้พลังงานขับน้ำพั้นแปร (variable head method) (Klute, 1965)
- 4) การแยกกระจายของเม็ดดินต่างขนาด (Aggregate size distribution, WSA) และขนาดเฉลี่ยของเม็ดดินเสถียรน้ำ (mean-weight diameter, MWD) โดยการนำดินที่ร่อนผ่านตะกรงขนาดเส้นผ่านศูนย์กลาง 8 มิลลิเมตร น้ำหนัก 100 กรัม ไปแช่ในน้ำกรองเป็นเวลา 5 นาที จากนั้นจึงทำการเขย่าโดยเครื่อง Aggregate Analyzer ที่มีเส้นผ่านศูนย์กลางแตกต่างกันจำนวน 5 ขนาด ประกอบด้วยขนาด 2, 1, 0.5, 0.25 และขนาด 0.1 มิลลิเมตร หลังจากทำการเขย่าโดยเครื่อง Aggregate Analyzer สามารถแยกเม็ดดินต่างขนาดออกได้เป็น 6 ขนาด ประกอบด้วยขนาด 2-8 (WSA1), 1-2 (WSA2), 0.5-1 (WSA3), 0.25-0.5 (WSA4), 0.1-0.25 (WSA5) มิลลิเมตร และขนาดเล็กกว่า 0.1 มิลลิเมตร (WSA6) ตามลำดับ นำเม็ดดินต่างขนาดทั้ง 6 ขนาด ไปอบที่อุณหภูมิ 50 องศาเซลเซียส แล้วจึงชั่งน้ำหนักเม็ดดินต่างขนาด เพื่อทำการคำนวณปริมาณของเม็ดดินแต่ละขนาดต่อไป (Elliott, 1986; Elliot et al., 1991) และขนาดเฉลี่ยของเม็ดดินเสถียรน้ำ (MWD) ซึ่งได้มาจากการรวมของค่าการแยกกระจายของเม็ดดิน ซึ่งคำนวณได้จากสูตร

$$MWD = \sum X_i W_i$$

โดย  $X_i$  คือ ค่าเฉลี่ยเส้นผ่านศูนย์กลางของเม็ดดินแต่ละขนาด และ  $W_i$  คือสัดส่วนน้ำหนักของเม็ดดินแต่ละขนาดจากน้ำหนักรวมทั้งหมดของเม็ดดิน (Kemper and Rosenau , 1986)

### 3.3 การวิเคราะห์สมบัติทางเคมีของดิน

1) พีอีชิน (Soil pH) วัดโดยใช้เครื่องมือวัดค่าพีอีชิน (pH meter) ใช้อัตราส่วนดินต่อน้ำ และคินต่อสารละลายน้ำ 1M KCl เท่ากับ 1:1 (Thomas, 1996; National Soil Survey Center, 1996)

2) ปริมาณคาร์บอนอินทรีย์ (Organic carbon) โดยวิธี Walkley and Black titration (Walkley and Black, 1934; Nelson and Sommers, 1996) จากนั้นนำไปคำนวณหาปริมาณอินทรีย์วัตถุในดิน (organic matter) โดยใช้สูตรดังนี้

$$\text{Organic matter (\%)} = \% \text{Organic carbon} \times 1.724$$

3) ปริมาณไนโตรเจนรวม (Total nitrogen) โดยวิธี Kjeldahl method (Jackson, 1965; Bremner, 1996)

4) ปริมาณฟอฟอรัสที่เป็นประ โยชน์ (Available phosphorus) โดยวิธี Bray II (Bray and Kurtz, 1945) แล้ววัดปริมาณฟอฟอรัสโดยวิธี Ascorbic acid ด้วยเครื่อง Spectrophotometer ที่ความยาวคลื่น 882 นาโนเมตร (Watanabe and Olsen, 1965)

5) ปริมาณโพแทสเซียมที่เป็นประ โยชน์ (Available potassium) โดยใช้ 1M  $\text{NH}_4\text{OAc}$  ที่เป็นกลาง ( $\text{pH } 7.0$ ) (Pratt, 1965) แล้ววัดปริมาณโพแทสเซียมด้วยเครื่อง Atomic Absorption Spectrophotometer

6) สภាពกรดที่สักดได้ (Extractable acidity) โดยวิธี barium chloride-triethanolamine ที่  $\text{pH } 8.2$  (Thomas, 1996)

7) ปริมาณเบสรรวมที่สักดได้ (Extractable bases) ประกอบด้วย แคลเซียม แมgnีเซียม โซเดียม และ โพแทสเซียม โดยวิธีการสักดด้วยสารละลายน้ำ 1M  $\text{NH}_4\text{OAc}$  ที่เป็นกลาง ( $\text{pH } 7$ ) (Thomas, 1996) แล้ววัดปริมาณเบสด้วยเครื่อง atomic absorption spectrophotometer

8) ค่าความจุแลกเปลี่ยนแคตไอออน (Cation exchange capacity: CEC) โดยการฉะละลายแคดไอออนด้วยสารละลาย  $1M\text{ NH}_4\text{OAc}$  ที่เป็นกลาง ( $\text{pH } 7$ ) และแทนที่แอมโมเนียมไอออนด้วยสารละลายโซเดียมคลอไรด์ความเข้มข้นร้อยละ 10 ในสภาพที่เป็นกรด กลั่นหาแอมโมเนียมไอออน แล้วคำนวณหาค่าความจุแลกเปลี่ยนแคตไอออนของดิน (Chapman, 1965; Summer and Miller, 1996)

9) ค่าอัตราเรือยลดความอิ่มตัวเบส (Base saturation percentage: %BS) โดยคำนวณจากค่าของปริมาณเบสร่วมที่สักด็ใจทั้งหมด และค่าสภาพกรดที่สักด็ใจ (extractable bases, extractable acidity) (National Soil Survey Center, 1996) จากสูตร

$$\text{Base saturation percentage} = \frac{\text{Extractable bases}}{\text{Extractable bases} + \text{Extractable acidity}} \times 100$$

10) ปริมาณเหล็ก แมงกานีส และอะลูมิเนียมในรูปอิฐดิบวิชี dithionite-citratebicarbonate (Mehra and Jacson, 1960) ในรูปอสังฐานดิบวิชี ammonium oxalate (McKeague and Day, 1966) และในรูปสารอินทรีย์ดิบวิชี sodium pyrophosphate (McKeague, 1967)

#### 4. การวิเคราะห์ข้อมูลทางสถิติ

วิเคราะห์ข้อมูลทั้งหมดโดยการหาค่าสัมประสิทธิ์สหสัมพันธ์ระหว่างสมบัติดินกับปริมาณเม็ดดินสียาน้ำ เพื่อหาความสัมพันธ์ทางสถิติที่ระดับความเชื่อมั่นร้อยละ 95 ขึ้นไป

#### 5. สถานที่และระยะเวลาที่ทำการศึกษา

##### 5.1 สถานที่ทำการทดลอง

ศึกษาและเก็บข้อมูลภาคสนามบริเวณสถานีวิจัยสิ่งแวดล้อมสะแกราช ตำบลภูหลวง อำเภอปักชงชัย และตำบลวังน้ำเขียว ตำบลอุดมทรัพย์ อำเภอวังน้ำเขียว จังหวัดคราชสีมา ซึ่งอยู่ทางทิศตะวันออกเฉียงใต้ของตัวเมืองนครราชสีมา

วิเคราะห์สมบัติทางพิสิกส์ และสมบัติทางเคมีของดิน ห้องปฏิบัติการภาควิชา  
ปฐพีวิทยา คณะเกษตร มหาวิทยาลัยเกษตรศาสตร์ วิทยาเขตบางเขน

### 5.2 ระยะเวลาที่ทำการทดลอง

เริ่มทำการศึกษาในเดือนมิถุนายน 2553 และสิ้นสุดการศึกษาในเดือนมีนาคม 2555



## ผลและวิจารณ์

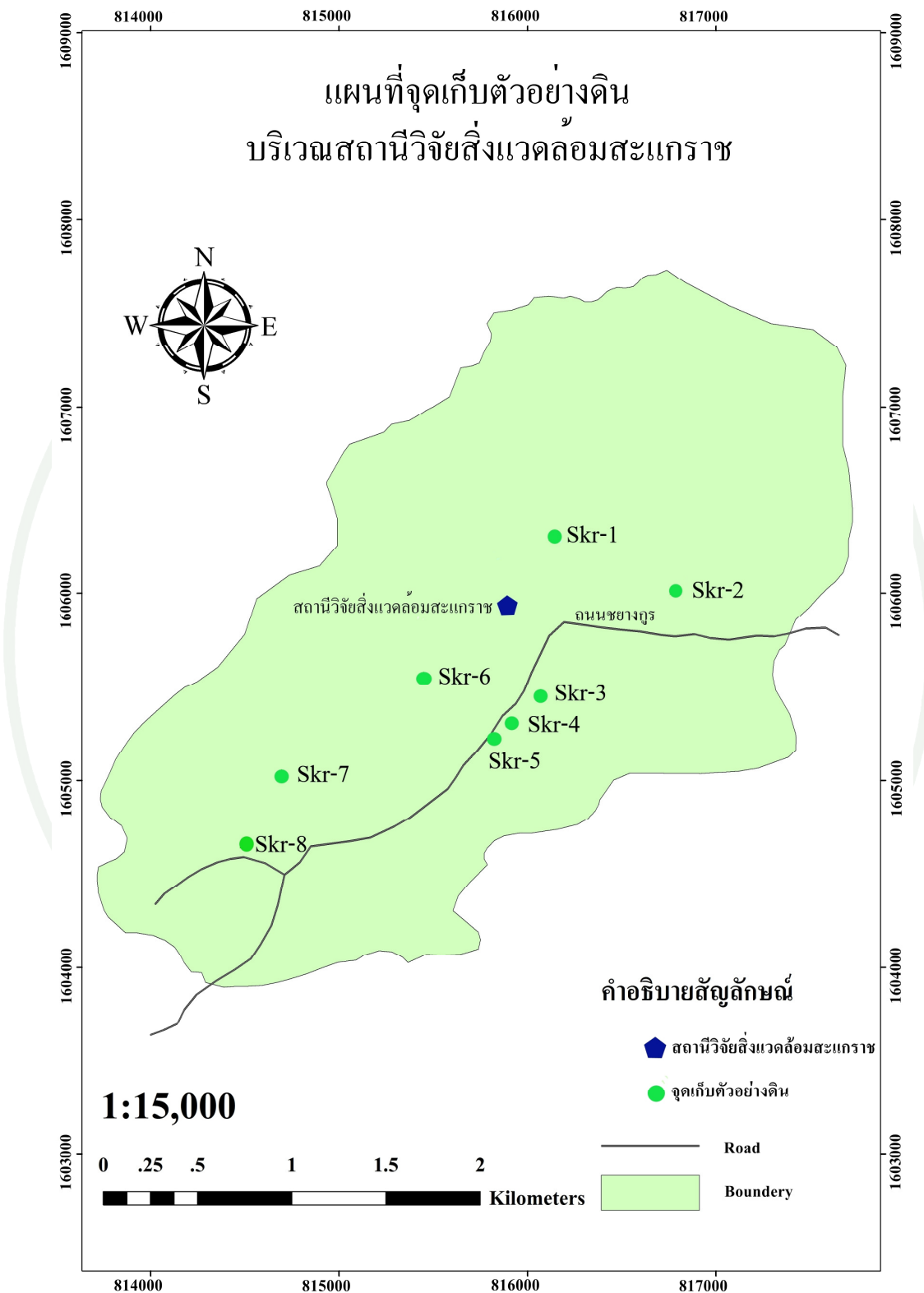
ผลจากการศึกษาสมบัติดิน かる์บอนอินทรีย์ และเม็ดดินสกี้ร์น้ำภายในได้สภาพป่าต่างชนิด ในพื้นที่สถานีวิจัยลิ่งแวงล้อมสะแกราช จำนวน 8 บริเวณ โดยในแต่ละบริเวณกำหนดให้เป็นพื้นดิน (pedon) ซึ่งเป็นปริมาตรที่เล็กที่สุดที่สามารถออกแบบได้ไว้เป็นเดินหนึ่ง (soil individual) (Buol *et al.*, 2010) และเป็นหน่วยที่เล็กที่สุดที่สามารถจะอธิบายหน้าดินได้ครบถ้วนลักษณะ (เออบ, 2548)

### 1. ลักษณะทั่วไปและสัณฐานวิทยาสานамของดิน

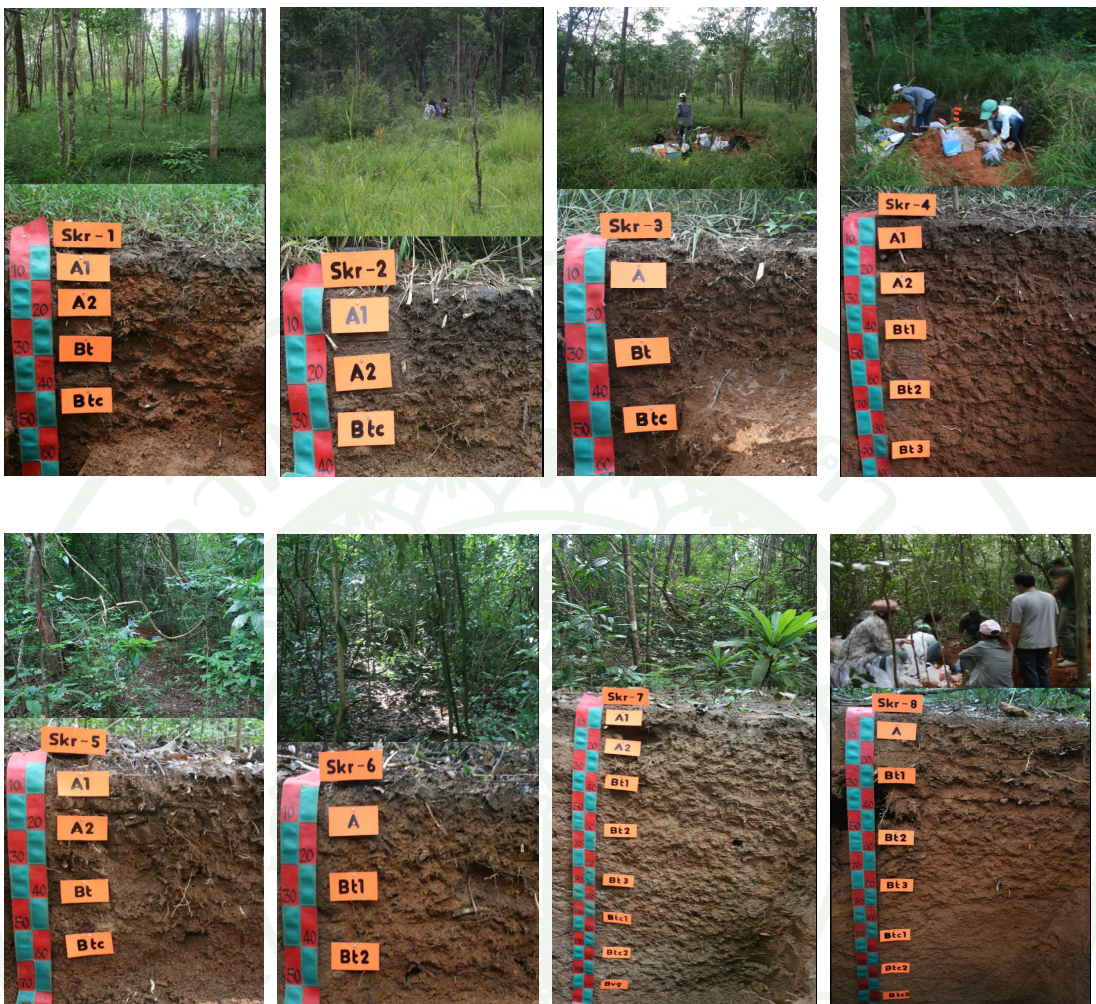
บริเวณที่ทำการศึกษา ประกอบด้วย ป่าเบญจพรรณทุติยภูมิ 1 บริเวร (Skr-1) ป่าเต็งรัง 2 บริเวร (Skr-2 และ Skr-3) พื้นที่ร้อยต่อระหว่างป่าเต็งรังกับดินแล้ง (ecotone) 1 บริเวณ (Skr-4) ป่าดินแล้งพื้นฟู 3 บริเวร (Skr-5, Skr-6 และ Skr-7) และ ป่าดินแล้งไม่ถูกรบกวน 1 บริเวณ (Skr-8) (ภาพที่ 3) โดยมีสภาพภูมิประเทศเป็นพื้นที่ต่อนบนของที่ลาดเชิงเทาตอนล่างถึงตอนบนของที่ลาดเชิงเทาตอนกลาง มีความสูงจากระดับทะเลปานกลาง 328-531 เมตร มีความลาดชันอยู่ในพิษร้อยละ 2-15 อยู่ในเขตที่มีสภาพภูมิอากาศแบบทุ่งหญ้าเขตร้อน (tropical savanna) ปริมาณน้ำฝนเฉลี่ยต่อปี 1,222 มิลลิเมตร อุณหภูมิเฉลี่ยประมาณ 27 องศาเซลเซียส พืชพรรณธรรมชาติเป็นป่าดินแล้ง ป่าเต็งรัง ป่าเบญจพรรณ เกิดจากวัตถุต้นกำเนิดดินเป็นเศษตะกอนหินดินเชิงเขา (colluvium) ที่สลายตัวมาจากการหล่นลง ส่วนใหญ่มีเนื้อดินเป็นดินร่วนปนทรายถึงดินเหนียว ส่วนใหญ่เป็นดินดีนถึงลึกมาก มีการระบายน้ำดี การซับซึมน้ำของดินปานกลางถึงเร็ว และการไหลบ่าของน้ำบนผิวดินปานกลาง สภาพพื้นที่และลักษณะสัณฐานวิทยาดินในแต่ละบริเวณ (ภาพที่ 3, ภาพที่ 4, ตารางที่ 1) มีดังนี้

#### 1.1 พื้นที่ป่าเบญจพรรณทุติยภูมิ (secondary mixed deciduous forest, Skr-1)

ดินที่ทำการศึกษาพบอยู่บนสภาพพื้นที่ที่เป็นที่ลาดเชิงเทาถูกตัด มีความสูง 424 เมตร จากระดับทะเลปานกลาง มีความลาดชันร้อยละ 4 วัตถุต้นกำเนิดเป็นเศษตะกอนหินดินเชิงเขา (colluvium) ที่สลายตัวมาจากการหล่นลง (sandstone) ลักษณะดินเป็นดินลึก มีการระบายน้ำดี และมีการสะสมน้ำดีเพิ่มขึ้นตามความลึก พบรากดในดินล่าง มีพัฒนาการของหน้าดินเป็น A-Bt-Btc ขณะทำการศึกษาพบระดับนำ้ได้ดินลึกกว่า 80 เซนติเมตร จากผิวดิน



ภาพที่ 3 แสดงขอบเขตและจุดเก็บตัวอย่างดินบริเวณสถานีวิจัยสิ่งแวดล้อมสะแกราช



ภาพที่ 4 แสดงลักษณะภูมิประเทศ และหน้าตัดดินของดินป่าไม้ บริเวณสถานีวิจัยสิ่งแวดล้อม  
สาระกราช

ดินบนหนา 22 เซนติเมตร มีสีน้ำตาลแดงเข้มจนถึงแดงเหลือง เนื้อดินเป็นดินร่วนปนทราย และพื้นดินในส่วนบนเป็นกรดเล็กน้อยถึงกรดจัดมาก ( $\text{pH } 5.0-6.5$ ) โครงสร้างเป็นแบบก้อนเหลี่ยมมุมมนขนาดกลางอีกด้วยที่มีความคงทนในระดับอ่อน เริ่มพบการเคลื่อนผิวของดินเหนียวแต่ไม่ค่อยชัดเจนบริเวณผิวน้ำข่องเม็ดดิน และมีการเชื่อมกันระหว่างดินเหนียวกับอนุภาคหินทรายเป็นเม็ดดิน และการแยกกระจาดของรากพืชมีปริมาณค่อนข้างมากถึงมาก ขนาดเล็กมากถึงปานกลาง

ดินล่างตื้นแต่ความลึก 22-60+ เซนติเมตร ดินมีสีแดง เนื้อดินเป็นดินร่วนเนหنيةปนทรายถึงร่วนเนหنيةปนทรายปนละเอียดมาก พื้อเชดินในสนามเป็นกรดจัดมาก ( $\text{pH}$  4.5-5.0)

โครงสร้างของดินเป็นก้อนเหลี่ยมมุ่มน้ำด้วยอิฐถึงปานกลางที่มีความคงทนในระดับอ่อนปานกลาง พบการเคลือบผิวดินเหนียวค่อนข้างมากบริเวณผิวน้ำของเม็ดดินและมีการเชื่อมกันระหว่างดินเหนียวกับอนุภาคทรายเป็นเม็ดดิน และพบนหินทรายขนาดเล็ก-ใหญ่ที่กำลังผุพังเป็นจำนวนมาก พบกรวดของหินทรายขนาดเล็ก-ใหญ่จำนวนมากในชั้นดินล่าง พบสารเม็ดกลมของเหล็กและแมงกานีสออกไซด์ และการแยกกระจายของรากพืชในชั้นนี้มีปริมาณลดลงจากบนลงล่าง

#### 1.2 พื้นที่ป่าเต็งรังบริเวณตอนบนของที่ลาดเชิงเขาตอนล่าง (dry dipterocarp forest, Skr-2)

ดินที่ทำการศึกษาพบอยู่บนสภาพพื้นที่ส่วนบนของที่ลาดเชิงเขาตอนล่าง มีความสูง 328 เมตรจากระดับทะเลปานกลาง ความลาดชันร้อยละ 6 วัตถุดินกำเนิดเป็นเศษตะกอนหินดัด เชิงเขา (colluvium) ที่สลายตัวมาจากการหล่อลัดมูละดินเป็นดินดีน มีการระบายน้ำดี และมีการสะสม ดินเหนียวเพิ่มขึ้นตามความลึก พบกรวดในดินล่าง มีพัฒนาการของหน้าตัดดินเป็น A-Btc ขณะทำการศึกษาพบระดับน้ำได้ดินลึกกว่า 40 เซนติเมตรจากผิวดิน

ดินบนหนา 22 เซนติเมตร มีสีเทาเข้มตื้นถึงเข้มมาก เนื้อดินเป็นดินร่วนปนทราย และปฏิกิริยาดินในสนาમเป็นกรดจัดมากถึงกรดเล็กน้อย ( $\text{pH } 5.0-6.5$ ) โครงสร้างดินเป็นแบบก้อนเหลี่ยมมุ่มน้ำด้วยอิฐถึงปานกลางที่มีความคงทนในระดับอ่อน เริ่มพบการเคลือบผิวดินเหนียวบริเวณเม็ดดินแต่ไม่ค่อยชัดเจน และการแยกกระจายของรากพืชขนาดเล็กจำนวนมาก ปริมาณค่อนข้างมากถึงมาก นอกจากนี้ เริ่มพบกรวดลักษณะเป็นเหลี่ยมที่เกิดจากการสลายตัวของหินทรายในปริมาณน้อย

ดินล่างลึกตั้งแต่ 22-40+ เซนติเมตร ดินมีสีน้ำตาลเข้ม เนื้อดินเป็นดินร่วนเหนียวปนทรายละเอียดมาก โครงสร้างของดินเป็นแบบก้อนเหลี่ยมมุ่มน้ำด้วยอิฐถึงปานกลางที่มีความคงทนในระดับปานกลาง พื้นดินในสนาમเป็นกรดจัดมาก ( $\text{pH } 5.0$ ) พบการเคลือบผิวดินเหนียวค่อนข้างมากบริเวณผิวน้ำของเม็ดดิน และมีการเชื่อมกันระหว่างดินเหนียวกับอนุภาคหินทรายเป็นเม็ดดิน แสดงให้เห็นว่ามีการเคลื่อนที่ของอนุภาคขนาดละเอียดตามความลึก พบสารเม็ดกลมของเหล็กและแมงกานีสออกไซด์ และการแยกกระจายของรากพืชมีปริมาณลดลงจากบนลงล่าง นอกจากนี้ยังพบหินทรายที่กำลังผุพังสลายตัวขนาดตั้งแต่เล็กถึงใหญ่เป็นจำนวนมาก

1.3 พื้นที่ป่าเต็งรังบริเวณตอนบนของที่ลาดเชิงเขาตอนกลาง (dry dipterocarp forest, Skr-3)

ดินที่ทำการศึกษาพบอยู่บนสภาพพื้นที่ตอนบนของที่ลาดเชิงเขาตอนกลาง มีความสูง 417 เมตร จากระดับทะเลปานกลาง พื้นที่มีความลาดชันร้อยละ 4 วัดกุตันกำเนิดดินเป็นเศษตะกอนหินดัดเชิงเขา (colluvium) ที่ถลายตัวมาจากการหินทราย ดินเป็นดินลึกปานกลาง มีการระบายน้ำดี และมีการสะสมดินเหนียวเพิ่มขึ้นตามความลึก พบกรวดในดินล่าง มีพัฒนาการของหน้าตัดดินเป็น A-Bt-Btc ขณะทำการศึกษาพบร่องดับน้ำได้ดินลึกกว่า 60 เซนติเมตร จากผิวดิน

ดินบนหนา 17 เซนติเมตร มีสีเทาเข้มตื้าลงเข้ม เนื้อดินเป็นดินร่วนปนทรายละเอียดมาก และพื้อชดินในสานามเป็นกรดจัดมาก ( $\text{pH } 5.0$ ) โครงสร้างของดินเป็นแบบก้อนเหลี่ยมมุมมนขนาดละเอียดที่มีความคงทนในระดับอ่อน เริ่มพบรากเคลือบผิวของดินเหนียวบริเวณผิวน้ำของเม็ดดิน แต่ไม่ค่อยชัดเจน และมีการแยกกระจายของรากรากพืชขนาดเล็กในปริมาณมาก และขนาดใหญ่ในปริมาณเล็กน้อย

ดินล่างลึกตั้งแต่ 17-60+ เซนติเมตร ดินมีสีน้ำตาลเข้มแดง เนื้อดินเป็นดินร่วนเหนียวปนทรายละเอียดมาก พื้อชดินในสานามเป็นกรดจัดถึงกรดปานกลาง ( $\text{pH } 5.5-6.0$ ) โครงสร้างของดินเป็นแบบก้อนเหลี่ยมมุมมนขนาดละเอียดถึงปานกลางที่มีความคงทนในระดับปานกลาง พบรากเคลือบผิวของดินเหนียวค่อนข้างมากบริเวณผิวน้ำของเม็ดดิน และมีการเชื่อมกันระหว่างดินเหนียวกับอนุภาคหินทรายเป็นเม็ดดิน แสดงให้เห็นว่ามีการเคลื่อนที่ของอนุภาคขนาดละเอียดตามความลึก พบสารเม็ดกลมของเหล็กและแมงกานีสออกไชร์ และรากรากพืชการแยกกระจายลดลงจากตอนบนลงล่าง นอกจากนี้พบหินทรายที่กำลังผุพังถลายตัวตั้งแต่บน再到ลึกถึงใหญ่เป็นจำนวนมาก

ตารางที่ 1 ลักษณะทั่วไปของดินที่ทำการศึกษา

Profile symbol (Pedon)	Thickness of soil surface (cm)	Effective depth (cm)	Profile development	Landform	Parent Material
Skr-1	22	60	A1-A2-Bt-Btc	Dissected Footslope	Colluvium of sandstone
Skr-2	22	40	A1-A2-Btc	Upper lower Footslope	Colluvium of sandstone
Skr-3	17	60	A-Bt-Btc	Upper middle Footslope	Colluvium of sandstone
Skr-4	29	105	A1-A2-Bt1-Bt2-Bt3	Concave footslope	Colluvium of sandstone
Skr-5	26	70	A1-A2-Bt-Btc	Convex footslope	Colluvium of sandstone
Skr-6	18	55	A-Bt1-Bt2	Erosional surface of footslope	Colluvium of sandstone
Skr-7	26	175+	A1-A2-Bt1-Bt2-Bt3- Btc1-Btc2-Bvg	Lower footspoe	Colluvium of sandstone
Skr-8	14	200+	A-Bt1-Bt2-Bt3-Btc1- Btc2-Btc3-Btc4	Upper middle footslope	Colluvium of sandstone

ตารางที่ 2 สภาพแวดล้อมทั่วไปในบริเวณที่ทำการศึกษา

Profile symbol (Pedon)	Land use	Elevation (m)	Slope (%)	Relief	Drainage	Permeability	Runoff
Skr-1	Secondary Mixed Deciduous Forest	423.7	4	Slightly Undulating	Well drained	Rapid	Moderate
Skr-2	Dry Dipterocarp Forest mainly covered with Ya Pek ( <i>Arundinaria pusilla</i> )	327.5	6	Undulating	Well drained	Moderate	Rapid
Skr-3	Dry Dipterocarp Forest	417	4	Undulating	Well drained	Moderate	Moderate
Skr-4	Ecotone with Dry Dipterocarp mixed with Dry Evergreen species	428.4	2	Slightly Undulating	Well drained	Rapid	Moderate
Skr-5	Secondary Dry Evergreen Forest	389.4	5	Undulating	Well drained	Rapid	Moderate
Skr-6	Secondary Dry Evergreen Forest	414.3	15	Rolling	Well drained	Moderate	Moderate
Skr-7	Dry Evergreen Forest	488	10	Rolling	Well drained	Moderate	Rapid
Skr-8	Dry Evergreen Forest	531	8	Undulating	Well drained	Rapid	Moderate

ตารางที่ 3 ลักษณะสัณฐานวิทยาของหน้าตัดดินในบริเวณที่ทำการศึกษา

Horizon	Depth (cm)	Soil color Mottle	Texture	Soil structure	Soil consistence Dry,Moist,Wet	pH	Horizon boundary	Other
Skr-1		Haplic Plinthustult (Secondary Mixed Deciduous Forest)						
A1	0-10	5YR 2.5/2	SL	1,f,sbk	S,VFri,NS/NP	6.5	A and S	Fine and common medium roots
A2	10-22	5YR 4/6	SL	1,f,sbk	S,VFri,NS/SP	5.0	C and S	Fine and common medium roots; few traces of dead roots
Bt	22-41	2.5YR 4/8	SCL	4,f-m,sbk	SH,F,SS/SP	4.5	C and S	Fine and common medium roots; few traces of dead roots; few very fine coated sands; many small to large angular stones and boulders of slightly weathered and fresh sandstone
Btc	41-60	2.5YR 4/8	VGSCL	4,f,sbk	SH,F,SS/SP	5.0		Few very fine coated sands; many small to large angular stones and boulders of slightly weathered and fresh sandstone; common fine and medium subrounded Fe-Mn nodules
Skr-2		Lithic Haplustult (Dry Dipterocarp Forest mainly covered with Ya Pek ( <i>Arundinaria pusilla</i> ))						
A1	0-11	10YR 3/2	SL	4,f,sbk	S,VFri,SS/MP	6.5	A and S	Common fine and very few medium roots
A2	11-22	7.5YR 4/6	SCL	2,f-m,sbk	S,VFri,MS/VP	5.0	A and S	Common large angular gravel and small to medium angular stones of weathered and fresh sandstone
Btc	22-40	Mixed 7.5YR 5/6 (95%), 2.5YR 4/8 (5%)	SCL	2,f-m,sbk	SH,F,MS/VP	6.0		Many various sizes of weathered sandstone rock fragments;
Skr-3		Haplic Plinthustult (Dry Dipterocarp Forest)						
A	0-17	5YR 3/3	SL	1,f,sbk	S,VFri,NS/SP	5.0	C and S	Few large gravel of ironstone
Bt	17-40	5YR 4/4	SGSL	1,f,sbk	S,VFri,NS/SP	6.0	C and S	Few faint clay coating on faces of peds
Btc	40-60	5YR 4/4	VGSCL	4,f-m,sbk	S,VFri,SS/SP	5.5		Common faint clay coating on faces of peds

ตารางที่ 3 (ต่อ)

Horizon	Depth (cm)	Soil color Mottle	Texture	Soil structure	Soil consistence Dry,Moist,Wet	pH	Horizon boundary	Other
Skr-4		Kanhaphic Haplustult (Ecotone with Dry Dipterocarp mixed with Dry Evergreen species)						
A1	0-13	2.5YR 2.5/2	SL	4,f,sbk	S,VFri,SS/MP	6.0	A and S	Few fine and very few medium vesicular pores
A2	13-29	2.5YR 4/4	SL	4,f,sbk	S,Fri,SS/MP	6.0	A and S	Many very fine, fine, medium and few coarse roots; few traces of dead roots
Bt1	29-53	2.5YR 4/6	SCL	2,f-m,sbk	SH,F,MS/VP	6.5	C and S	Few faint clay coating on faces of ped and pore walls; few very fine coated sand
Bt2	53-79	2.5YR 4/8	SCL	4,f-m,sbk	SH,F,MS/VP	6.5	G and S	Common faint clay coating on faces of ped and pore walls; few very fine coated sand
Bt3	79-105	2.5YR 5/8	SCL	2,f-m,sbk	SH,F,MS/VP	6.5		Common faint clay coating on faces of ped and pore walls; few very fine coated sand
Skr-5		Haplic Plinthustult (Secondary Dry Evergreen Forest)						
A1	0-13	5YR 3/2	SL	4,f,sbk	S,Fri,SS/SP	6.5	C and S	Few very fine coated sands; many very fine and fine vesicular pores
A2	13-26	5YR 4/4	SL	4,f-m,sbk	SH,F,SS/MP	5.5	A and S	Few very fine coated sands; many very fine and fine vesicular pores
Bt	26-44	5YR 4/6	SCL	3,f-m,sbk	SH,F,MS/VP	4.5	A and S	Many distinct clay coating on faces of ped; surfaces of rock fragment and Fe-Mn oxide nodule
Btc	44-70	5YR 4/6	VGSCl	2,f,sbk	SH,F,MS/MP	5.0		Many distinct clay coating on faces of ped; surfaces of rock fragment and Fe-Mn oxide nodule

ตารางที่ 3 (ต่อ)

Horizon	Depth (cm)	Soil color Mottle	Texture	Soil structure	Soil consistence Dry,Moist,Wet	pH	Horizon boundary	Other
Skr-6		Typic Haplustult (Secondary Dry Evergreen Forest)						
A1	0-18	Mixed 5YR 4/1 (40%), 5YR 6/6 (60%)	SL	2,f,sbk	SH,F,SS/VP	7.0	C and S	Few medium to large angular stone of weathered sandstone
Bt1	18-34	5YR 5/8	SL	2,f,sbk	SH,F,SS/VP	5.5	C and S	Many distinct clay coating on faces of ped
Bt2	34-55	5YR 5/6	SCL	3,f-m,sbk	SH,F,MS/VP	4.5		Few small Fe-Mn oxide nodules; common medium large angular gravel of weathered sandstone
Skr-7		Typic Plinthustalf (Dry Evergreen Forest)						
A1	0-11	7.5YR 5/3	SCL	2,f-m,sbk	SH,F,MS/VP	5.5	C and S	A large holes of termite nest
A2	11-26	Mixed 7.5YR 5/4 (80%), 7.5YR 5/3 (20%)	SCL	2,m,sbk	SH,F,MS/VP	6.0	C and S	A large holes of termite nest
Bt1	26-48	5YR 5/4	SCL	2,m,sbk	SH,F,MS/VP	5.5	C and S	Common distinct clay coating on faces of ped and pore walls; few very fine single tubular pores
Bt2	48-76	5YR 4/6	SC	2,f-m,sbk	SH,F,Vs/VP	5.0	C and S	Few very fine, fine vesicular and few very fine simple and dendrite tubular pores
Bt3	76-109	Mixed 2.5YR 4/3 (70%), 7.5YR 6/3 (30%)	SC	2,f,sbk	SH,F,VS/VP	5.0	C and S	Few traces of dead roots, few small to medium Fe-Mn oxide nodules
Btc1	109-120	Mixed 10R 4/4 (60%), 7.5YR 7/4 (40%)	VGSC	3,f,sbk	H,VF,VS/VP	5.0	A and S	Common traces of dead roots, small to large Fe-Mn oxide nodules
Btc2	120-148	Mixed 10R 6/4 (30%), 7.5YR 7/4 (70%)	VGSC	3,f-m,sbk	H,VF,VS/VP	6.5	C and S	Many prominent clay coating on faces of ped, pore walls and surface of Fe-Mn oxide nodules
Bvg	148-175	Mixed 10R 4/6 (40%), 5YR 6/2 (40%), 10R 6/6 (20%)	VGSC	3,f-m,sbk	H,VF,VS/VP	7.0		Many prominent clay coating on faces of ped, pore walls and surface of Fe-Mn oxide nodules

ตารางที่ 3 (ต่อ)

Horizon	Depth (cm)	Soil color		Texture	Soil structure	Soil consistence		pH	Horizon boundary	Other
		Mottle				Dry,Moist,Wet				
Skr-8		Typic Plinthustult (Dry Evergreen Forest)								
A	0-14	5YR 6/8		SL	2,f,sbk	SH,F,SS/SP	5.5	C and S	Many very fine and common fine vesicular pore	
Bt1	14-35	5YR 5/8		SL	4,f,sbk	S,Fri,SS/MP	5.5	G and S	Comon faint clay coating on faces of ped	
Bt2	35-60	5YR 5/8		SL	4,f-m,sbk	S,Fri,MS/VP	5.0	G and S	Few medium angular stone of weathered sandstone, few small Fe-Mn oxide nodules	
Bt3	60-88/99	5YR 5/8		SCL	2,f-m,sbk	SH,F,MS/VP	5.0	A and W	Few faint clay coating on faces of ped	
Btc1	88/99-120	5YR 5/8		VGSC	2,f,sbk	SH,F,MS/VP	5.0	C and S	Common distinct clay coating on faces of ped and surfaces of Fe-Mn oxide nodules	
Btc2	120-142	5YR 5/8		VGSC	2,f,sbk	SH,F,MS/VP	5.0	C and S	Common distinct clay coating on faces of ped, surfaces of rock fragment and Fe-Mn oxide nodules	
Btc3	142-165	5YR 5/8		VGSC	2,f,sbk	SH,F,MS/VP	5.0	C and S	Many distinct clay coating on faces of ped, surfaces of rock fragment and Fe-Mn oxide nodules	
Btc4	165-200+	5YR 5/8		VGSC	2,f,sbk	SH,F,MS/VP	5.0		Many distinct clay coating on faces of ped, surfaces of rock fragment and Fe-Mn oxide nodules	

#### 1.4 พื้นที่ Ecotone เป็นพื้นที่ระหว่างป่าเต็งรังกับป่าดิบแล้ง (ecotone, Skr-4)

ดินที่ทำการศึกษาอยู่บนสภาพพื้นที่ที่เป็นโถงว้าของที่ลาดเชิงเขา มีความสูง 417 เมตรจากระดับทะเลปานกลาง พื้นที่มีความลาดชันร้อยละ 2 วัตถุตันกำเนิดดินเป็นเศษตะกอนหิน คาดเชิงเขา (colluvium) ที่สลายตัวมาจากการหล่นทราย ดินเป็นดินลึก มีการระบายน้ำดี และมีการสะสมดินเหนียวเพิ่มขึ้นตามความลึก มีพัฒนาการของหน้าตัดดินเป็น A-Bt พบระดับน้ำใต้ดินลึกกว่า 105 เซนติเมตรจากผิวดิน

ดินบนหนา 29 เซนติเมตร มีสีแดงคล้ำถึงน้ำตาลแดง เนื้อดินเป็นดินร่วนปนทราย ละเอียดมาก และพื้อเชดินในส่วนมีเป็นกรดปานกลาง ( $\text{pH } 6.0$ ) โครงสร้างของดินเป็นแบบก้อนเหลี่ยมมุ่มน้ำดละเอียดที่มีความคงทนในระดับอ่อนปานกลาง พบรากจะกระจายของรากพืชขนาดเล็กมากถึงปานกลางในปริมาณมาก

ดินล่างลึกตั้งแต่ 29-105+ เซนติเมตร ดินมีสีแดง เนื้อดินเป็นดินร่วนเหนียวปนทราย พื้อเชดินในส่วนมีเป็นกรดเล็กน้อย ( $\text{pH } 6.5$ ) โครงสร้างของดินเป็นแบบก้อนเหลี่ยมมุ่มน้ำดละเอียดถึงปานกลางที่มีความคงทนในระดับปานกลาง พบรากจะลึกลงของดินเหนียวค่อนข้างมากบริเวณผิวน้ำของเม็ดดิน แสดงให้เห็นว่ามีการเคลื่อนที่ของอนุภาคขนาดละเอียดตามความลึก พบรากมีเดลกมของเหล็กและแมงกานีสออกไซด์ การแจกกระจายของรากพืชมีปริมาณลดลงจากบนลงล่าง และพบรหินทรายที่กำลังพูพังสลายตัวขนาดใหญ่ขึ้นได้ของหน้าตัดดิน

#### 1.5 พื้นที่ป่าดิบแล้งพื้นฟู บริเวณส่วนโถงนูนของที่ลาดเชิงเขาตอนกลาง (dry evergreen forest, Skr-5)

ดินที่ทำการศึกษาบนอยู่บนสภาพพื้นที่ที่เป็นส่วนโถงนูนของที่ลาดเชิงเขาตอนกลาง (convex surface on middle footslope) มีความสูง 389 เมตรจากระดับทะเลปานกลาง พื้นที่มีความลาดชันร้อยละ 5 วัตถุตันกำเนิดดินเป็นเศษตะกอนหินคาดเชิงเขา (colluvium) ที่สลายตัวมาจากการหล่นทราย ดินมีลักษณะเป็นดินลึกปานกลาง มีการระบายน้ำดี และมีการสะสมดินเหนียวเพิ่มขึ้นตามความลึก พบรากจะลึกลงในดินล่าง มีพัฒนาการของหน้าตัดดินเป็น A-Bt-Btc ขณะทำการเก็บตัวอย่างพบระดับน้ำใต้ดินลึกกว่า 70 เซนติเมตรจากผิวดิน (ภาพที่ 8)

ดินบนหนา 0-26 เซนติเมตร มีสีน้ำตาลแดงเข้ม ถึงน้ำตาลแดง เนื้อดินเป็นดินร่วนปนทรายละเอียดมาก พื้อชดินในสนาમเป็นกรดจัดถึงกรดเล็กน้อย ( $\text{pH } 5.5-6.5$ ) โครงสร้างของดินเป็นแบบก้อนเหลี่ยมมุ่มน้ำดละเอียดกับบางส่วนที่เป็นแบบเม็ดกลมขนาดเล็กปานกลาง ที่มีความคงทนในระดับอ่อนปานกลางถึงปานกลาง และมีการแยกกระจายของรากพืชขนาดเล็กมาก ถึงปานกลางภายในหน้าตัดดินจำนวนมาก

ดินล่างลึกตั้งแต่ 26-70+ เซนติเมตร ดินมีสีแดงปนเหลือง เนื้อดินเป็นดินร่วนเหนียวปนทราย โครงสร้างของดินเป็นแบบก้อนเหลี่ยมมุ่มน้ำดละเอียดถึงปานกลางที่มีความคงทนในระดับอ่อนถึงแข็ง พื้อชดินในสนาມเป็นกรดจัดมาก ( $\text{pH } 4.5-5.0$ ) พบรากเคลื่อนผิวดินเหนียวบริเวณผิวน้ำของเม็ดดิน แสดงให้เห็นว่ามีการเคลื่อนที่ของอนุภาคน้ำดละเอียดตามความลึก พบรากเม็ดกลมของเหล็กและแมงกานีสออกไซด์ และพบรากพืชขนาดเล็กมากถึงปานกลางในปริมาณมาก

#### 1.6 พื้นที่ป่าดิบแล้งพื้นฟูส่วนที่ได้รับอิทธิพลจากการกร่อนที่บริเวณผิวน้ำของที่ลาดเชิงเขา (dry evergreen forest, Skr-6)

ดินที่ทำการศึกษาพบอยู่บนสภาพพื้นที่ที่ได้รับอิทธิพลจากการกร่อนที่บริเวณผิวน้ำของที่ลาดเชิงเขา (erosinal surface of footslope) มีความสูง 414 เมตรจากระดับทะเลปานกลาง มีความลาดชันร้อยละ 15 วัตถุตันกำเนิดดินเป็นเศษตะกอนหินคดเชิงเขา (colluvium) ที่สลายตัวมาจากหินทราย ดินมีลักษณะเป็นดินลึกปานกลาง มีการระบายน้ำดี มีการสะสมดินเหนียวเพิ่มขึ้นตามความลึก พบรากในดินล่าง มีพัฒนาการของหน้าตัดดินเป็น A-Bt ขณะทำการเก็บตัวอย่าง พบระดับน้ำได้ดินลึกกว่า 55 เซนติเมตร จากผิวดิน

ดินบนหนา 0-18 เซนติเมตร มีสีเทาเข้ม เนื้อดินเป็นดินร่วนปนทรายละเอียดมาก พื้อชดินในสนาມเป็นกลาง ( $\text{pH } 7.0$ ) โครงสร้างของดินเป็นแบบก้อนเหลี่ยมมุ่มน้ำดละเอียดถึงปานกลางที่มีความคงทนในระดับปานกลาง และการแยกกระจายของรากพืชขนาดเล็กในปริมาณมาก นอกจากนี้ยังพบเศษหินทรายที่กำลังพุพังสลายตัวที่มีลักษณะเป็นมุมเหลี่ยมในปริมาณเล็กน้อย

ดินล่างลึกตั้งแต่ 18-55+ เซนติเมตร ดินมีสีเหลืองปนแดงเนื้อดินเป็นดินร่วนปนทรายถึงดินร่วนเหนียวปนทราย พื้อเชดินในสานามเป็นกรดจัดมากถึงกรดจัด ( $\text{pH } 5.0-5.5$ ) สำหรับโครงสร้างของดินเป็นแบบก้อนเหลี่ยมนูมน้ำดละเอียดมากถึงละเอียดที่มีความคงทนในระดับปานกลาง พบการเคลื่อนผิวของดินเหนียวบริเวณผิวน้ำของเม็ดดิน แสดงให้เห็นว่ามีการเคลื่อนที่ของอนุภาคขนาดกลางถึงตามความลึก พบสารเม็ดกลมของเหล็กและแมงกานีสออกไซด์ พบراكพืชตั้งแต่ขนาดเล็กมากถึงปานกลางที่มีการแยกกระจายในปริมาณที่ลดลงจากดอนบนลงล่าง

#### 1.7 พื้นที่ป่าดิบแล้งพื้นฟู ตอนล่างของที่ลาดเชิงเขา (dry evergreen forest, Skr-7)

ดินที่ทำการศึกษาพบอยู่บนสภาพพื้นที่ดอนล่างของที่ลาดเชิงเขา (lower footslope) มีความสูง 488 เมตรจากระดับทะเลปานกลาง พื้นที่มีความลาดชันร้อยละ 10 วัตถุดินกำเนิดดินเป็นเศษตะกอนหินดินดูดเชิงเขา (colluvium) ที่สลายตัวมาจากการหินทราย ลักษณะดินมีลักษณะเป็นดินลึกมาก มีการระบายน้ำดี และมีการสะสมดิน เหนียวเพิ่มขึ้นตามความลึก พบเศษกรวดในชั้นดินล่างพัฒนาการของหน้าตัดดินเป็น A-Bt-Bvg ขณะที่เก็บตัวอย่าง พบระดับน้ำใต้ดินลึกกว่า 175 เซนติเมตรจากผิวดิน (ภาพที่ 10)

ดินบนหนา 0-26 เซนติเมตร มีสีน้ำตาล เนื้อดินเป็นดินร่วนเหนียวปนทรายละเอียดมาก พื้อเชดินในสานามเป็นกรดจัดถึงกรดปานกลาง ( $\text{pH } 5.5-6.0$ ) โครงสร้างดินเป็นแบบก้อนเหลี่ยมนูมน้ำดละเอียดถึงปานกลางที่มีความคงทนในระดับปานกลาง พบการเคลื่อนผิวของดินเหนียวบริเวณผิวน้ำของเม็ดดิน และมีการแยกกระจายของراكพืชขนาดเล็กมากถึงปานกลางคลอดหน้าตัดดิน

ดินล่างลึกตั้งแต่ 26-175+ เซนติเมตร ดินมีสีน้ำตาลแดง เนื้อดินเป็นดินร่วนเหนียวปนทรายถึงดินเหนียวปนทรายละเอียด พื้อเชดินในสานามเป็นกรดจัดมากถึงกรดจัด ( $\text{pH } 5.0-5.5$ ) โครงสร้างของดินเป็นแบบก้อนเหลี่ยมนูมน้ำดละเอียดถึงปานกลางที่มีความคงทนอยู่ในระดับปานกลาง พบการเคลื่อนผิวของดินเหนียวบริเวณผิวน้ำของเม็ดดิน แสดงให้เห็นว่ามีการเคลื่อนที่ของอนุภาคขนาดกลางถึงตามความลึก พบสารเม็ดกลมของเหล็กและแมงกานีสออกไซด์ และراكพืชขนาดเล็กมากถึงปานกลางในปริมาณน้อย ที่ระดับความลึก 109-148 เซนติเมตร ดินมีสีแดงอ่อนเนื้อดินเป็นดินเหนียวปนทรายละเอียดมาก และเริ่มพบกรวดขนาดเล็ก พื้อเชดินในสานามเป็นกรดปานกลางถึงกรดเล็กน้อย ( $\text{pH } 5.0-6.5$ ) สำหรับโครงสร้างของดินเป็นแบบก้อนเหลี่ยมนูมน้ำดละเอียดถึงปานกลาง และมีความคงทนอยู่ในระดับแข็ง พบการเคลื่อนผิวของดินเหนียวบริเวณ

ผิวน้ำของเม็ดดิน พบรากเม็ดกลมของเหล็กและแมงกานีสออกไซด์ และรากพืชขนาดเล็กมากถึงปานกลางในปริมาณน้อย ที่ระดับความลึก 148-175+ เซนติเมตร ดินมีสีแดง เนื้อดินเป็นดินเหนียวปนทรายละเอียดมาก พบรากดินขนาดเล็ก สำหรับโครงสร้างของดินเป็นแบบก้อนเหลี่ยมมุ่มนูนขนาดละเอียดถึงปานกลาง และมีความคงทนอยู่ในระดับแข็ง พือชดินในสถานะเป็นกลาง ( $\text{pH } 7.0$ ) พนการเคลื่อนผิวของดินเหนียวบริเวณผิวน้ำของเม็ดดิน พบรากเม็ดกลมของเหล็กและแมงกานีสออกไซด์ พบรากพืชขนาดเล็กมากถึงปานกลาง ปริมาณน้อย การแยกกระจายของรากพืชมีปริมาณลดลงจากบนลงล่าง นอกจากนี้ยังพบโพรงดินที่เกิดจากการกระของสัตว์ ต่อมามีการเคลื่อนย้ายของสารจากชั้นดินอื่นลงมาสะสมอยู่เต็มในโพรงดินนั้น ทำให้เห็นเป็นแนวรูปห่อหอยส้ม (krotovina)

1.8 พื้นที่ป่าดิบแล้ง ไม่ถูกรบกวน ตอนบนของที่ลาดเชิงเขาต้นกลาง (dry evergreen forest, Skr-8)

ดินที่ทำการศึกษาพบอยู่บนสภาพพื้นที่ตอนบนของที่ลาดเชิงเขาต้น (upper middle footslope) มีความสูง 531 เมตรจากระดับทะเลปานกลาง พื้นที่มีความลาดชันร้อยละ 8 วัตถุตันกำเนิดดินเป็นเตยตะกอนหินดินดิบเชิงเขา (colluvium) ที่สลายตัวมาจากหินทราย ดินมีลักษณะเป็นดินลึกมาก มีการระบายน้ำดี และมีการสะสมดินเหนียวเพิ่มขึ้นตามความลึก พนเศษกรวดที่กำลังสลายตัวของหินวัตถุตันกำเนิดในดินล่าง พัฒนาการของหน้าดินเป็น A-Bt-Btc ขณะเก็บตัวอย่างดินพบระดับน้ำใต้ดินลึกกว่า 200 เซนติเมตร จากผู้ดิน

ดินบนหนา 0-14 เซนติเมตร มีสีเหลืองแดง เนื้อดินเป็นดินร่วนเหนียวปนทรายละเอียดมาก พือชดินในสถานะเป็นกรดจัด ( $\text{pH } 5.5$ ) โครงสร้างของดินเป็นแบบก้อนเหลี่ยมมุ่มนูนขนาดละเอียดที่มีความคงทนอยู่ในระดับปานกลาง พนการแยกกระจายของรากพืชขนาดเล็กมากถึงปานกลางในปริมาณค่อนข้างมาก

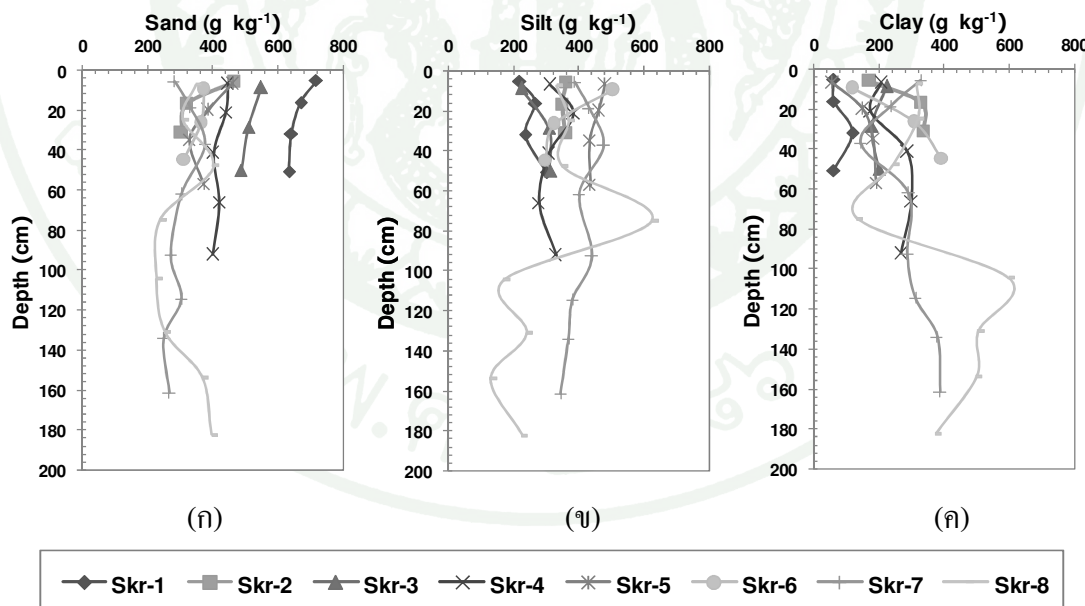
สำหรับดินล่างลึกตั้งแต่ 14-200+ เซนติเมตร ดินมีสีเหลืองแดง เนื้อดินเป็นดินร่วนปนทรายถึงดินร่วนเหนียวปนทรายละเอียด แสดงให้เห็นว่ามีการเคลื่อนที่ของอนุภาคขนาดละเอียดตามความลึก พือชดินในสถานะเป็นกรดจัดมากถึงกรดจัด ( $\text{pH } 5.0-5.5$ ) สำหรับโครงสร้างของดินเป็นแบบก้อนเหลี่ยมมุ่มนูนขนาดละเอียดมากถึงละเอียดและมีความคงทนอยู่ในระดับอ่อนปานกลางถึงปานกลาง พนการเคลื่อนผิวของดินเหนียวบริเวณผิวน้ำของเม็ดดิน พบรากเม็ดกลมของ

เหล็กและแมงกานีสออกไซด์ และรากพืชขนาดเล็กมากถึงปานกลาง ในปริมาณน้อยถึงค่อนข้างมาก ที่ระดับความลึก 88/99-200 เซนติเมตร คินมีสีเหลืองแดง เนื้อดินเป็นคินเหนียวปนทรายละเอียดมาก และพบกรวดขนาดเล็ก พิอชคินในสารเป็นกรดปานกลางถึงกรดจัดมาก ( $\text{pH} = 5.0$ ) โครงสร้างของดินเป็นแบบก้อนเหลี่ยมมุ่มน้ำดละเอียด และมีความคงทนอยู่ในระดับปานกลาง พบการเคลือบผิวของดินเหนียวบริเวณผิวน้ำของเม็ดดิน และพบสารเม็ดกลมของเหล็กและแมงกานีสออกไซด์ พบรากพืชขนาดเล็กมากถึงปานกลาง ในปริมาณน้อย

## 2. สมบัติทางฟิสิกส์ของดิน

### 2.1 การแจกกระจายของอนุภาคและชั้นเนื้อดิน

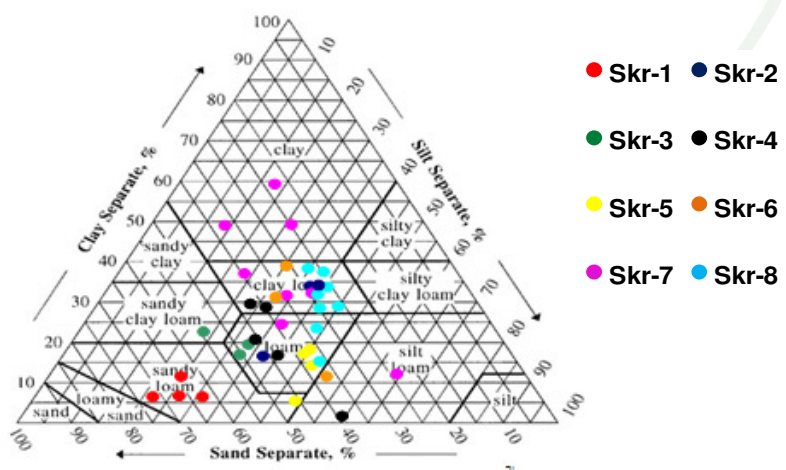
ดินที่ศึกษามีเนื้อดินเป็นดินร่วนปนทรายถึงดินเหนียว โดยมีปริมาณอนุภาคทรายอยู่ในพิสัย 229-718 กรัมต่อกิโลกรัม ปริมาณทรายเปลี่ยนไปอยู่ในพิสัย 130-626 กรัมต่อกิโลกรัม และปริมาณดินเหนียวอยู่ในพิสัย 62-600 กรัมต่อกิโลกรัม (ภาพที่ 5)



ภาพที่ 5 ความสัมพันธ์ระหว่างอนุภาคขนาดทราย (ก) อนุภาคขนาดทรายเปลี่ยง (ข) และอนุภาคขนาดดินเหนียว (ค) กับระดับความลึกดิน

การแจกกระจายของขนาดอนุภาคดิน พบว่า อนุภาคทรายและทรายเป็นเป็นอนุภาคเด่นในดินที่ทำการศึกษา โดยมีแนวโน้มลดลงตามระดับความลึก ซึ่งตรงข้ามกับอนุภาคดินเหนียวที่ปริมาณมีแนวโน้มเพิ่มขึ้นตามระดับความลึก การแจกกระจายของอนุภาคขนาดดินเหนียวที่เพิ่มขึ้นตามความลึก แสดงให้เห็นว่าดินมีพัฒนาการของหน้าตัดดี (อภิสิทธิ์, 2527; Buol *et al.*, 2010) มีการเคลื่อนย้ายของอนุภาคดินเหนียวบางส่วนจากดินบนลงไปสะสมยังดินล่าง ทำให้อนุภาคขนาดที่ใหญ่กว่าเหลืออยู่ในชั้นดินบน ซึ่งเป็นผลมาจากการเคลื่อนย้ายเชิงกล (leaching) และกระบวนการเคลื่อนย้ายวัสดุจากชั้นดินบน (eluviation) (Buol *et al.*, 2010)

ผลวิเคราะห์การแจกกระจายของอนุภาคขนาดต่าง ๆ ของดินทั้ง 8 บริเวณ เมื่อนำไปวิเคราะห์เพื่อหาประเภทชั้นเนื้อดินจากตารางสามเหลี่ยมแสดงความสัมพันธ์ของอนุภาคดิน โดยใช้เกณฑ์ประเมินของกระทรวงเกษตรสหัสโซเมริกา (USDA textural class) (เอิน, 2547; Soil Survey Staff, 2006) พบว่าดินส่วนใหญ่มีพิสัยของเนื้อดินอยู่ในกลุ่มดินร่วน (loamy) ถึงดินเหนียว (clayey) โดยชั้นดินบนส่วนใหญ่อยู่ในกลุ่มของดินร่วน พบริเวณที่ป่าเต็งรังตอนล่างของพื้นที่ลาดเชิงเขาตอนบน (Skr-2) ขึ้นไปจนถึงป่าดินแล้งตอนบนของพื้นที่ลาดเชิงเขาตอนกลาง ส่วนดินล่างนั้นพบว่า มีแนวโน้มที่ปริมาณของอนุภาคขนาดดินเหนียวจะเพิ่มขึ้นตามความลึก โดยเฉพาะดินในบริเวณพื้นที่ป่าดินแล้งซึ่งเห็นได้อย่างเด่นชัด ส่วนดินในพื้นที่ป่าบนภูเขาทุติยภูมิ พบว่าเนื้อดินเป็นดินร่วนปนทรายตลอดหน้าตัดดิน โดยมีปริมาณดินเหนียวเพิ่มขึ้นเพียงเล็กน้อยในดินล่าง (ภาพที่ 6)



ภาพที่ 6 การจำแนกประเภทเนื้อดินตามสัดส่วนโดยมวลของอนุภาคขนาดทราย ทรายเป็น และดินเหนียว

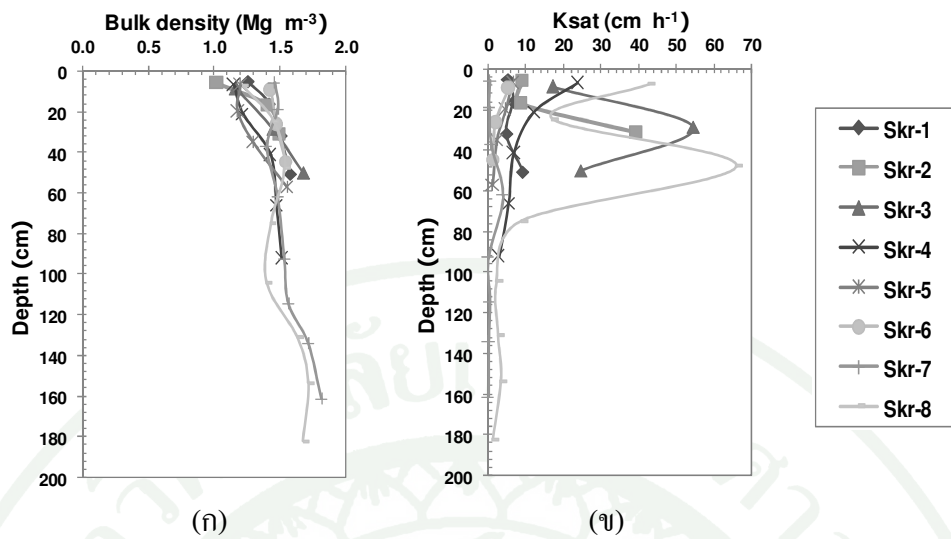
## 2.2 ความหนาแน่นรวมของดิน

ความหนาแน่นรวมของดินที่ทำการศึกษามีค่าอยู่ในระดับต่ำถึงสูง ในพิสัย 1.02-1.96 เมกะกรัมต่อลูกบาศก์เมตร (ภาพที่ 7) โดยมีแนวโน้มเพิ่มขึ้นตามความลึกภายในหน้าตัดดิน ซึ่งการที่ดินบนมีความหนาแน่นของดินต่ำกว่าในดินล่างเนื่องจาก ดินบนมีปริมาณอินทรีย์วัตถุสูงจากอิทธิพลของเศษชากของใบไม้ (litter) ที่ร่วงหล่นมาสะสมที่ผิวดิน ส่วนดินล่างมีความหนาแน่นรวมสูงขึ้น เป็นผลมาจากการกระบวนการเคลื่อนย้ายดินเหนียวสู่ดินล่าง ซึ่งอนุภาคขนาดเล็กนี้จะเข้าไปแทรกตัวอยู่ในช่องว่างขนาดต่าง ๆ ในดิน ทำให้ดินแน่นทึบขึ้น (บรรณพิชญ์, 2551; Brady and Weil, 2008)

## 2.3 สภาพนำ้าของดินขณะอิ่มตัว

สภาพนำ้าของดินขณะอิ่มตัวเป็นค่าที่แสดงความยากง่ายของนำ้าที่จะสามารถเคลื่อนที่ผ่านช่องว่างในดิน อัตราการเคลื่อนที่ของนำ้าในเวลาหนึ่งชั่วโมงกับสมบัติต่าง ๆ ของดิน (เออบ, 2548)

ดินที่ทำการศึกษามีสภาพการนำ้าขณะอิ่มตัวอยู่ในระดับช้ามากถึงเร็วมาก มีค่าอยู่ในพิสัย 0.03-66.05 เช่นติเมตรต่อชั่วโมง (ภาพที่ 7) โดยส่วนใหญ่ดินบนจะมีค่าสูงกว่าดินล่าง ทั้งนี้เนื่องจาก ดินมีปริมาณอินทรีย์วัตถุสูงซึ่งง่ายต่อการเกิดเม็ดดิน และมีโครงสร้างที่เสถียร (Iwata *et al.*, 1995; Juma, 2001) จึงทำให้ดินมีช่องว่างต่อเนื่อง ทั้งนี้ยกเว้น ดินในพื้นที่ป่าเต็งรังตอนล่าง (Skr-2) ที่อยู่ในระดับเร็วในดินล่าง เนื่องจากพบเศษชิ้นส่วนของหินทราย และสารเม็ดกลมของเหล็กและแมงกานีสออกต์ ทำให้เกิดช่องว่างขนาดใหญ่ในชั้นดินล่าง จึงอาจส่งผลต่อการเคลื่อนย้ายนำ้าในหน้าตัดดิน



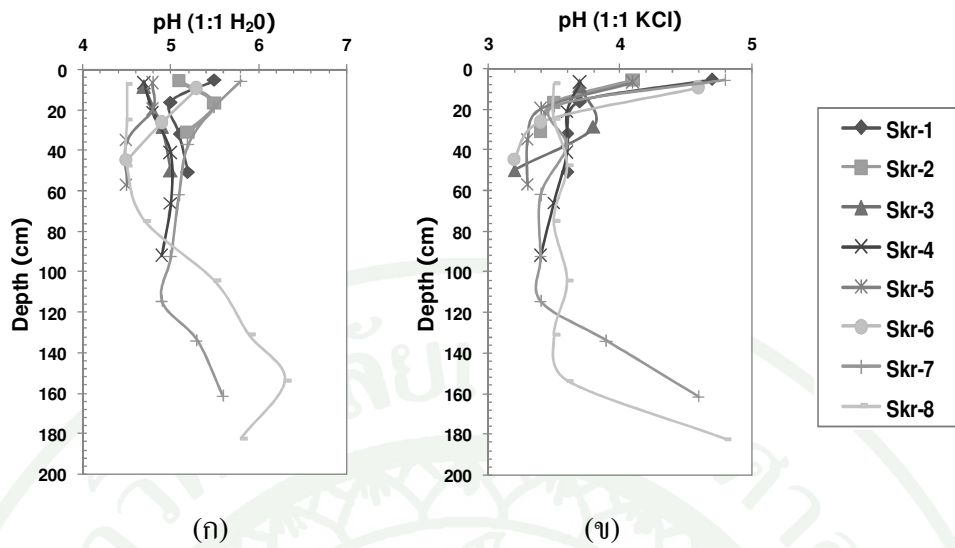
ภาพที่ 7 ความสัมพันธ์ระหว่างความหนาแน่นรวม (ก) และสภาพการนำน้ำของดินขณะอิ่มตัว (ข)  
กับระดับความลึกดิน

### 3. สมบัติทางเคมีของดิน

สมบัติทางเคมีของดินที่ทำการศึกษาภายใต้ป่าต่างชนิดบริเวณสถานีวิจัยสั่งแพคก้ารัช โดยพิจารณาตามเกณฑ์การประเมินระดับสมบัติทางเคมี (เออบ, 2547; Land Classification Division and FAO Project Staff, 1973; Soil Survey Division Staff, 1993) ผลการศึกษาพบว่า

#### 3.1 พื้อเชดิน (Soil pH)

ค่าพื้อเชดินใช้ช่วยวินิจฉัยถึงสภาพความเป็นกรดเป็นด่าง ระดับการผุพังอยู่กับที่ อัตราการชะล้าง ความเป็นประโยชน์ของธาตุอาหารพืชบางชนิด และสภาพความเป็นพิษของดินต่อพืช (Brady and Weil, 2008; Buol *et al.*, 2010) ผลวิเคราะห์กรณีใช้ดินต่อน้ำในอัตราส่วน 1:1 พบว่า ดินที่ทำการศึกษาทั้ง 8 บริเวณ มีค่าพื้อเชดินอยู่ในระดับ กรดอ่อนถึงกรดrunแรง มีค่าอยู่ในพิสัย 4.4-6.3 ซึ่งมีค่าค่อนข้างคงที่ตลอดหน้าตัดดิน (ภาพที่ 8) การที่ดินแสดงค่าพื้อเชดินนี้ เป็นลักษณะของดินทั่วไปในเขตต้อนที่มีพัฒนาการค่อนข้างดี และมีการชะล้างสูง (Sanchez, 1976; Eiumnoh, 1984) โดยการที่ดินในพื้นที่ทำการศึกษามีค่าเป็นกรดนี้เป็นผลมาจากการอิทธิพลของสภาพภูมิอากาศ เมื่ออุณหภูมิสูงขึ้น อัตราเร่งของปฏิกิริยาทางเคมีก็สูงขึ้นด้วยเบสสูกจะลดลง

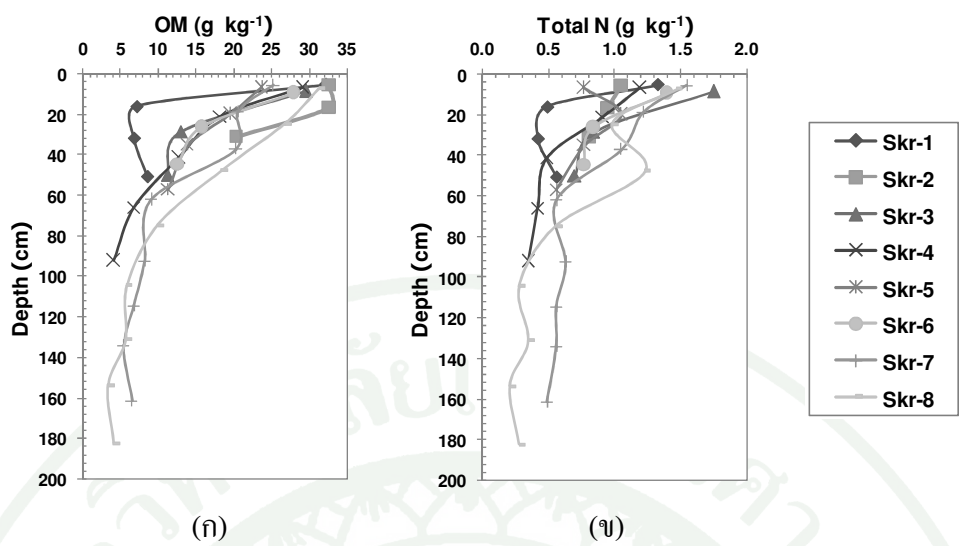


ภาพที่ 8 ค่าพีอีของดินที่วัดในน้ำ (ก) และในสารละลายน้ำตาลสูง 1 โมลาร์ (ข) กับระดับความลึกดิน

ออกไประจากหน้าตัดดินได้ง่าย (เอิน, 2548; Zhang *et al.*, 2006) ส่วนค่าพีอีดินที่วัดโดยใช้ดินต่อสารละลายน้ำตาล 1 โมลาร์ โพแทสเซียมคลอไรด์ในอัตราส่วน 1:1 มีค่าอยู่ในพิสัย 3.2-4.8 (ภาพที่ 8) ซึ่งค่าที่วัดได้ต่ำกว่าค่าพีอีที่วัดด้วยน้ำประมาณ 1 หน่วย แสดงให้เห็นว่า ดินมีประจุสุทธิเป็นลบ ดินเหล่านี้จึงมีความสามารถในการดูดซับแคนต์ไอออนได้ดีกว่าแอนไอกอน เป็นลักษณะของดินเขตร้อนส่วนใหญ่ที่มีพัฒนาการสูง มีออกไซด์ของเหล็กและอะลูมิเนียม และแร่ดินเหนียวเคลือบในตัวเป็นองค์ประกอบที่สำคัญ (วิโรจน์, 2531; Cindy *et al.*, 2008)

### 3.2 ปริมาณอินทรีย์ต่ำ

ปริมาณอินทรีย์ต่ำในดินที่ทำการศึกษาทั้ง 8 บริเวณ อยู่ในระดับต่ำมากถึงสูงปานกลาง โดยมีค่าอยู่ในพิสัย 3.4-32.7 กรัมต่อกิโลกรัม (ภาพที่ 9) การแจกกระจายมีแนวโน้มเหมือนกันในทุกหน้าตัดดิน คือ มีค่าลดลงตามความลึก โดยการที่มีปริมาณอินทรีย์ต่ำในชั้นดินบนสูงกว่าในชั้นดินล่าง เป็นผลมาจากการผุพังสลายตัวของเศษชากอินทรีย์ที่สะสมอยู่ในดินตามธรรมชาติ โดยเฉพาะในดินที่มีพัฒนาการในสภาพป่าไม้ (Thomson and Troch, 1978) ส่วนในชั้นดินล่างโอกาสที่อินทรีย์สารต่างๆ จะลงไประสมอยู่มีน้อย ประกอบกับในสภาพเบต้า่อนการย่อย



ภาพที่ 9 ปริมาณอินทรีย์ต่ำ (ก) และปริมาณในโตรเจนรวม (ง) กับระดับความลึกดิน

สลายอินทรีย์สารในชั้นดินจะเป็นไปอย่างรวดเร็ว การชะลามาลงไปในชั้นดินถ่างเกิดขึ้นน้อยทำให้มีปริมาณอินทรีย์ต่ำ (Virgo and Holmes, 1977; Baize, 1993; Brady and wail, 2008)

### 3.3 ปริมาณในโตรเจนรวม

ปริมาณในโตรเจนรวมที่ทำการศึกษาทั้ง 8 บริเวณ พบปริมาณในโตรเจนรวมอยู่ในระดับต่ำ มีค่าอยู่ในพิสัย 0.21-1.75 กรัมต่อกิโลกรัม (ภาพที่ 9) ดินบนมีปริมาณมีปริมาณในโตรเจนรวมสูงกว่าชั้นดินล่าง ซึ่งเป็นไปในลักษณะเดียวกับการแยกกระจายของอินทรีย์วัตถุภายในหน้าตัดดิน ทั้งนี้เนื่องจากในโตรเจนในดินส่วนใหญ่จะได้มาจากการสลายตัวของอินทรีย์วัตถุในดิน (Brady and Weil, 2008; Kalembasa, 2008)

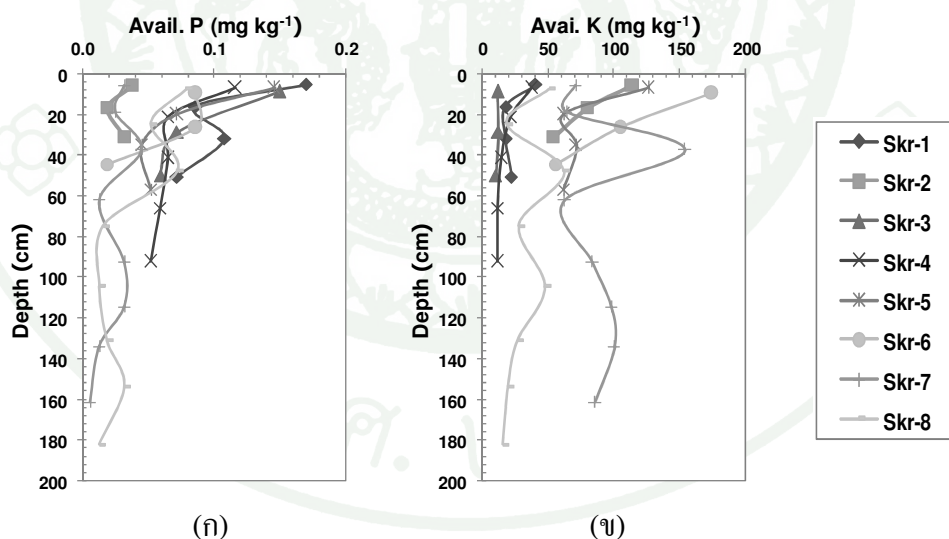
### 3.4 ปริมาณฟอสฟอรัสที่เป็นประโยชน์

คืนที่ทำการศึกษาทั้ง 8 บริเวณ พบว่า มีปริมาณฟอสฟอรัสที่เป็นประโยชน์อยู่ในระดับต่ำมาก มีค่าอยู่ในพิสัย 0.01-0.17 มิลลิกรัมต่อกิโลกรัม (ภาพที่ 10) โดยปริมาณมีแนวโน้มลดลงตามความลึก การที่คืนมีปริมาณฟอสฟอรัสที่เป็นประโยชน์อยู่ในระดับต่ำ แสดงให้เห็นว่าคืนที่ทำการศึกษาเป็นคืนที่มีพัฒนาการสูง (วรพันธ์, 2531; Sanchez *et al.*, 1983) ซึ่งปริมาณฟอสฟอรัสที่เป็นประโยชน์นี้ จะมีความสัมพันธ์กับปริมาณอินทรีย์ต่ำในคืน โดยอยู่ในรูปฟอสเฟตอินทรีย์

(Tisdale and Nelson, 1975; Sanchez, 1976) และการที่ดินมีปริมาณดินเหนียวเพิ่มขึ้นในชั้นดินล่างทำให้ความเป็นประไยชน์ของฟอสฟอรัสลดลง (Brady and Weil, 2008) เพราะปริมาณดินเหนียวที่พบเป็นแร่ดินเหนียวชนิดเคโลอลิโนต์ ซึ่งมีกลุ่มไฮดรอกซิล (hydroxyl group) อ่ายระหว่างชั้นอะลูมินาซึ่งสามารถแลกเปลี่ยนกับฟอสฟอรัสได้ (Havlin *et al.*, 2005) ทำให้ในดินบนมีปริมาณฟอสฟอรัสที่เป็นประไยชน์สูงกว่าในดินล่าง

### 3.5 ปริมาณโพแทสเซียมที่เป็นประไยชน์

ดินที่ทำการศึกษาทั้ง 8 บริเวณ มีปริมาณโพแทสเซียมที่เป็นประไยชน์อยู่ในระดับต่ำมากถึงสูงมาก มีค่าอยู่ในพิสัย 11.7-174.6 มิลลิกรัมต่อกิโลกรัม (ภาพที่ 10) โดยปริมาณโพแทสเซียมจะลดลงตามความลึก การที่โพแทสเซียมที่เป็นประไยชน์มีค่าสูงในชั้นดินบน เป็นผลมาจากการที่ฟอสฟอรัสและไนโตรเจนที่ต้องการใช้ในกระบวนการทางชีวภาพจะลดลง ทำให้เกิดการสะสมของโพแทสเซียมที่เป็นประไยชน์ในชั้นดินล่าง เนื่องจากอนทรีย์วัตถุมีความสามารถในการดูดซับธาตุไออกอนบากได้สูง เมื่อสลายตัวจึงปลดปล่อยโพแทสเซียมที่เป็นประไยชน์ให้กับดิน (Sanchez, 1976; Brady and Weil, 2008)



ภาพที่ 10 ปริมาณฟอสฟอรัสที่เป็นประไยชน์ (ก) และปริมาณโพแทสเซียมที่เป็นประไยชน์ (ง) กับระดับความลึกดิน

### 3.6 ปริมาณเบสที่สกัดได้

#### 3.6.1 ปริมาณแคลเซียมที่สกัดได้

динที่ทำการศึกษาทั้ง 8 บริเวณ มีปริมาณแคลเซียมที่สกัดได้อยู่ในระดับต่ำมาก ถึงปานกลาง มีค่าอยู่ในพิสัย 0.04-6.46 เชนติโนลต์อิกโลกรัม (ภาพที่ 11) โดยเมื่อพิจารณา ความสัมพันธ์ของปริมาณแคลเซียมที่สกัดได้กับความลึกแต่ละหน้าตัดคิน ส่วนใหญ่มีแนวโน้ม ลดลงเมื่อความลึกเพิ่มขึ้น ยกเว้นคืนภายในวันที่ทำการศึกษาที่ความลึก 40-50 cm ที่มีค่าสูง และแปรปรวนไม่ แน่นอนในตอนล่างของหน้าตัดคิน เนื่องจากบริเวณพื้นที่ที่ทำการศึกยานั้นมีลักษณะเป็นแอ่ง มีหิน แข็งในชั้นดินล่างที่ลึกลงไป ทำให้มีการสะสมชาตพืช และเกิดกระบวนการเคลื่อนย้ายมาสะสมใน บริเวณนี้ ซึ่งหากของพืชจะมีปริมาณแคลเซียม (บุญฤทธิ์, 2525)

#### 3.6.2 ปริมาณโพแทสเซียมที่สกัดได้

динที่ทำการศึกษาทั้ง 8 บริเวณ มีปริมาณโพแทสเซียมที่สกัดได้อยู่ในระดับต่ำมาก ถึงปานกลาง มีค่าอยู่ในพิสัย 0.03-0.45 เชนติโนลต์อิกโลกรัม (ภาพที่ 11) เมื่อพิจารณา ความสัมพันธ์ของปริมาณโพแทสเซียมที่สกัดได้กับความลึกแต่ละหน้าตัดคิน ส่วนใหญ่มีแนวโน้ม ลดลงเมื่อความลึกเพิ่มขึ้น มีความแปรปรวนบ้างเล็กน้อยในบางคืน จากการศึกษาพบว่า ป่าดิบแล้ง จะมีค่าสูงที่สุด ซึ่งมีลักษณะไปในทิศทางเดียวกันกับผลการวิเคราะห์โพแทสเซียมที่เป็นประโยชน์ ในดิน

#### 3.6.3 ปริมาณโซเดียมที่สกัดได้

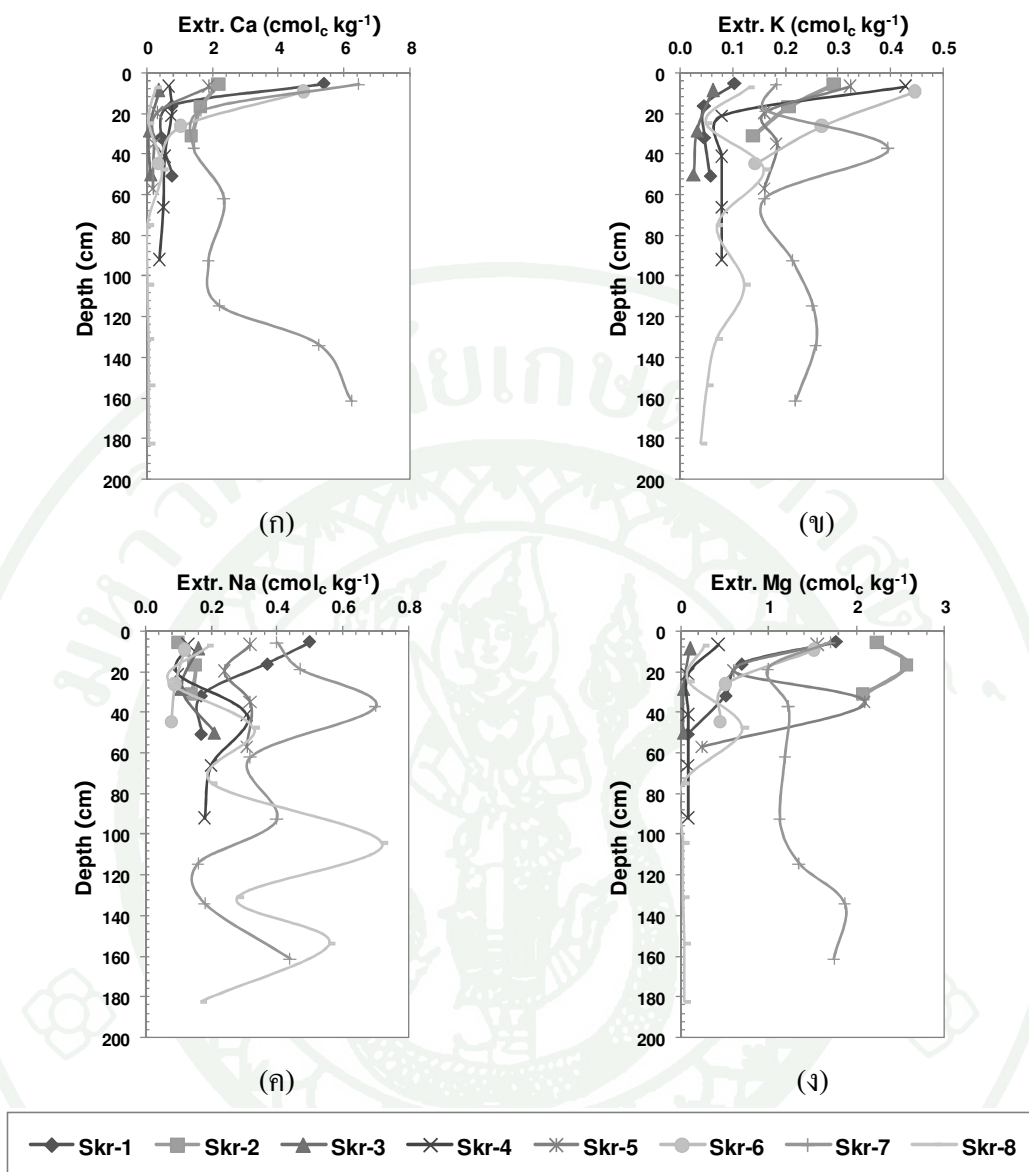
ปริมาณโซเดียมที่สกัดได้ในดินที่ทำการศึกษาทั้ง 8 บริเวณอยู่ในระดับต่ำถึง ปานกลาง มีค่าอยู่ในพิสัย 0.07-0.50 เชนติโนลต์อิกโลกรัม (ภาพที่ 11) เมื่อพิจารณาความสัมพันธ์ ของปริมาณโซเดียมที่สกัดได้กับความลึกของแต่ละหน้าตัดคิน ส่วนใหญ่มีแนวโน้มผันแปรมากใน ทุกบริเวณ ปริมาณโซเดียมในดินส่วนใหญ่มาจากชาตพืช ซึ่งในพื้นที่ป่าเต็งรัง โซเดียมส่วนใหญ่ ได้มาจาก เต็ง (*Shorea obtuse Wall.*) (สุภาวดี, 2544) ส่วนป่าดิบแล้งยังไม่มีข้อมูลยืนยันว่ามาจาก พืชชนิดใด

### 3.6.4 ปริมาณแมกนีเซียมที่สักดได้

คินที่ทำการศึกษาทั้ง 8 บริเวณ มีปริมาณแมกนีเซียมที่สักดได้อยู่ในระดับต่ำถึงปานกลาง มีค่าอยู่ในพิสัย  $0.03-2.58$  เซนติโมลตอร์กิโลกรัม (ภาพที่ 11) และเมื่อพิจารณาความสัมพันธ์ของปริมาณแมกนีเซียมที่สักดได้กับความลึกแต่ละหน้าตัดคิน ส่วนใหญ่มีแนวโน้มลดลงตามความลึก เมื่อเปรียบเทียบกัน พบว่า ป่าดิบแล้ง และป่าเต็งรัง ปริมาณมีแนวโน้มลดลงตามระดับความลึกของดินแต่ไม่เด่นชัดมากนัก ยกเว้นในกรณีของคินในป่าดิบแล้งพื้นฟู (Skr-7) ที่พบมีแนวโน้มสูงขึ้นเพียงเล็กน้อยในชั้นดินตอนล่าง เนื่องจาก สภาพของพื้นที่ส่งเสริมให้เกิดการสะสมดังได้อธิบายไปแล้วในกรณีของปริมาณแคลเซียมที่สักดได้ ส่วนในป่าเบญจพรรณทุติยภูมิ (Skr-1)

ปริมาณแมกนีเซียมที่สักดได้มีแนวโน้มลดลงตามความลึกอย่างเด่นชัด และยังพบว่า ป่าเต็งรังตอนล่างของที่ลาดเชิงเขาตอนบน (Skr-2) มีค่าสูงที่สุด ซึ่งปริมาณแมกนีเซียมจะลดลงในดิน เนื่องจากคลายน้ำได้ดี และ ถูกชะล้างลงไปสะสมในตอนล่าง (Zinke *et al.*, 1970) และประกอบกับพื้นที่จะมีหญ้าเพ็กขึ้นอยู่อย่างหนาแน่น ทำให้มีโอกาสเกิดการสะสมธาตุนี้ในดิน ซึ่งการศึกษาที่ผ่านมา ปริมาณธาตุอาหารสะสมที่ร่วงหล่นลงไปสะสมที่ผิวดิน พบว่าธาตุแมกนีเซียม มีความเข้มข้นสูงสุดในชากรอบพื้น (Katagiri and Tsutsumi, 1973)

ปริมาณธาตุต่าง ๆ ที่สะสมในดิน จะแตกต่างกันไปตามชนิดพื้น และชนิดป่าอย่างไรก็ตาม ภายใต้ป่าชนิดเดียวกันก็อาจจะมีความแตกต่างกันไปได้อีกทั้งนี้เป็นผลมาจากการแตกต่างขององค์ประกอบชนิดพื้นไม่ที่ขึ้นอยู่ในป่านั้น ๆ เช่นเดียวกับอิทธิพลของชนิดคิน และวัตถุดั้นกำนิดคินด้วย (พงษ์ศักดิ์ และคณะ, 2527)



ภาพที่ 11 ปริมาณแคลเซียม (ก) โพแทสเซียม (ข) โซเดียม (ค) และแมกนีเซียมที่สกัดได้ (ง) กับระดับความลึกดิน

### 3.7 ปริมาณเบสรุ่มที่สกัดได้

ผลรวมของปริมาณ แคลเซียม แมกนีเซียม โพแทสเซียม และโซเดียมที่สกัดได้ เมื่อคำนวณปริมาณเบสรุ่มที่สกัดได้ พบว่า มีอยู่ในระดับต่ำมากถึงปานกลาง อยู่ในพิสัย 0.26-8.74 เซนติเมตรต่อกรัม (ภาพที่ 12) ปริมาณในดินส่วนใหญ่มีความแปรปรวนเล็กน้อยและมีแนวโน้มลดลงตามความลึกดิน การที่ปริมาณเบสรุ่มที่สกัดได้อยู่ในระดับต่ำมาก

ถึงต่ำ แสดงว่า ดินได้รับอิทธิพลการชะลามาที่รุนแรงพอที่จะเคลื่อนย้ายบนผิวโลกไปจากหน้าดิน (Bloom and Grigal, 1985; Bloom, 2000; Buol *et al.*, 2010)

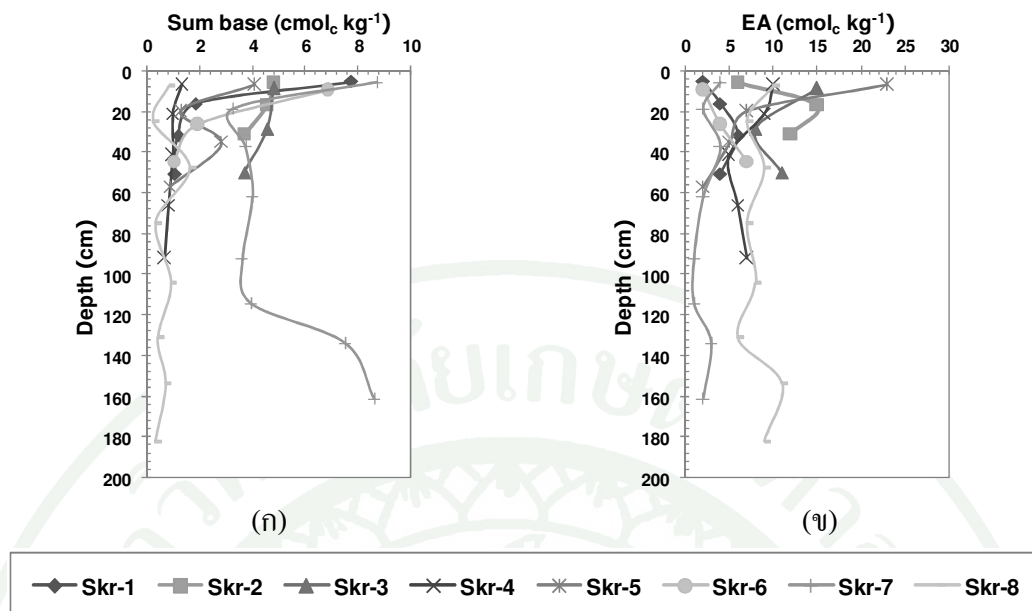
เมื่อพิจารณาระหว่างปริมาณเนบรวมที่สกัดได้กับปริมาณแคลเซียมที่สกัดได้ จะเห็นว่ามีความสัมพันธ์กันอย่างชัดเจน แสดงว่าแคลเซียมเป็นธาตุที่เด่น เนื่องจากมีปริมาณที่สกัดได้สูงกว่าเนบตัวอื่น ซึ่งเป็นลักษณะเด่นของดินที่มีพัฒนาการภายใต้สภาพป่าไม้เขตร้อน (Buol *et al.*, 2010)

### 3.8 สภาพกรดที่สกัดได้

ดินที่ทำการศึกษาทั้ง 8 บริเวณ พบว่า มีสภาพกรดที่สกัดได้ อยู่ในระดับต่ำมากถึงสูงมาก มีค่าอยู่ในพิสัย 1.0-23.0 เช่นติโนลด์ต์อกิโลกรัม (ภาพที่ 12) ส่วนใหญ่ค่ามีความแปรปรวนภายในหน้าดินค่อนข้างน้อย ซึ่งในดินบนจะมีค่าสูงและมีแนวโน้มลดลงตามความลึกของดิน แสดงให้เห็นถึงประสิทธิภาพของการชะลามาแคลต์ ไอออนที่เป็นด่าง และการแทนที่ของไฮโคลเรน ไอออนในดินบ่งชี้ว่า ดินที่ทำการศึกษามีพัฒนาการปานกลางถึงค่อนข้างสูง (Sanchez, 1976; Brady and Weil, 2008; Buol *et al.*, 2010)

### 3.9 ความจุแลกเปลี่ยนแคลต์ ไอออน

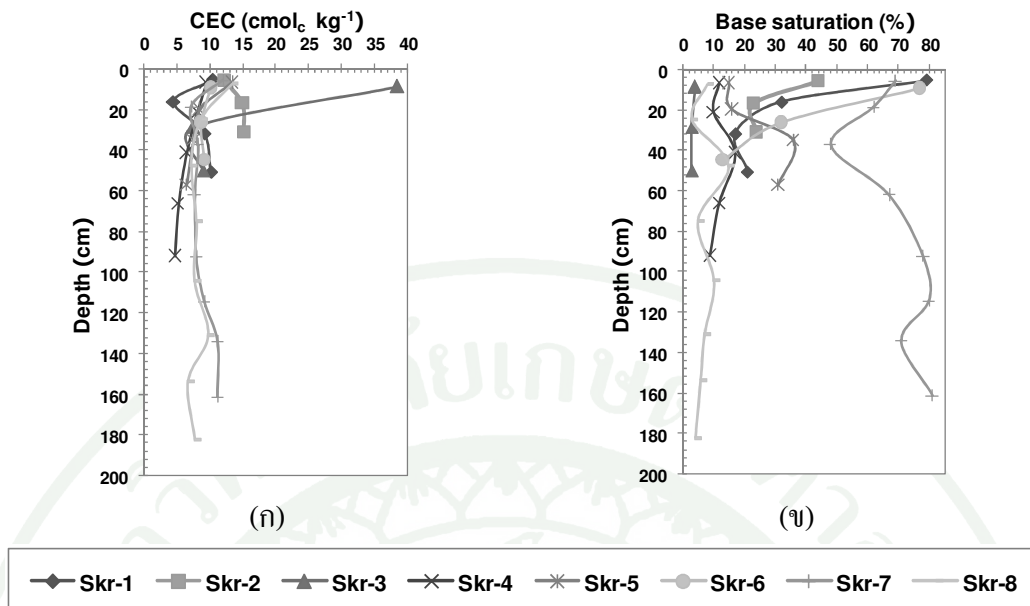
ดินที่ทำการศึกษาทั้ง 8 บริเวณ มีความจุแลกเปลี่ยนแคลต์ ไอออนอยู่ในระดับต่ำถึงสูง ในพิสัย 4.5-38.5 เช่นติโนลด์ต์อกิโลกรัม (ภาพที่ 13) โดยในภาครวมส่วนใหญ่มีค่าอยู่ในระดับต่ำ ยกเว้น ดินภัยได้ป่าเต็งรังตอนบนของที่ลาดเชิงเขา (Skr-3) ที่มีค่าสูงที่สุดในดินบน ซึ่งเป็นผลมาจากการของหยาดพืชที่มีจำนวนมาก ทำให้ดินมีปริมาณอินทรีย์วัตถุสูง (3.4-32.7 กิโลกรัมต่อตัน) ทั้งนี้เนื่องจากความจุแลกเปลี่ยนแคลต์ ไอออนจะมีความสัมพันธ์กับปริมาณอินทรีย์วัตถุในดิน เช่นเดียวกับปริมาณอนุภาคดินเหนียว และชนิดของแร่ดินเหนียว (Sanchez, 1976)



ภาพที่ 12 ปริมาณเบสรวมที่สกัดได้ (ก) และสภาพกรดที่สกัดได้ (ข) กับระดับความลึกดิน

### 3.10 อัตราเรือยลดความอื้มตัวเบส

คืนที่ทำการศึกษาทั้ง 8 บริเวณ มีอัตราเรือยลดความอื้มตัวเบสอยู่ในระดับต่ำถึงสูง มีค่าอยู่ในพิสัยร้อยละ 3.5-81.2 ส่วนใหญ่จะมีค่าอยู่ในระดับต่ำ และมีแนวโน้มลดลงตามความลึก ซึ่งแสดงถึงการที่คืนมีพัฒนาการสูง ยกเว้นป่าดินแล้งฟืนฟู (Skr-7) ที่มีค่าปานกลางถึงสูง และมีแนวโน้มเพิ่มขึ้นตามความลึกเพียงเล็กน้อย (ภาพที่ 13) เนื่องจากสภาพพื้นที่เป็นแอ่งมีหินแข็งในตอนล่างที่ลึกลงไป ทำให้เกิดการสะสมเบสต่าง ๆ ในบริเวณนี้ คืนในบริเวณนี้จึงมีพัฒนาการอยู่ในระดับปานกลาง เนื่องจากยังคงมีเบสเหลืออยู่ในหน้าตัดดินค่อนข้างมาก มีผลทำให้อัตราเรือยลดความอื้มตัวของเบสมากกว่าคืนในบริเวณอื่น



ภาพที่ 13 ความจุแลกเปลี่ยนแคตไอดอน (ก) และอัตราเร้อยละความอิ่มตัวเบส (ข) กับระดับความลึกดิน

### 3.11 ปริมาณเหล็ก อะลูมิเนียม และแมงกานีส

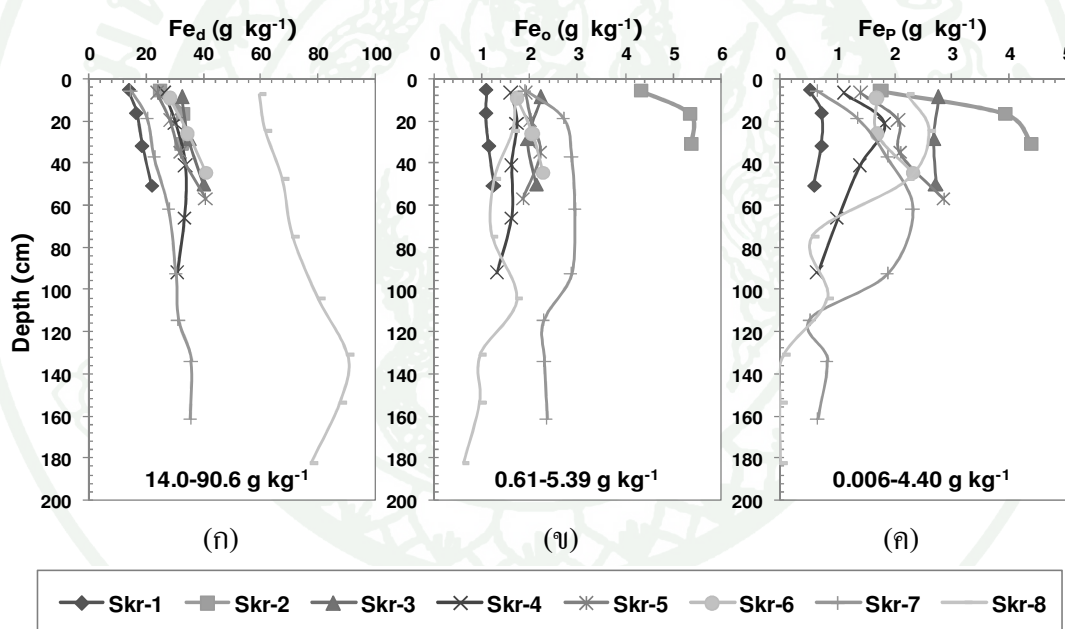
### 1) เหล็ก

เหล็กอิสระที่สกัดด้วยวิธีไดไฮโอดีนต์-ซิเทรต-ไบคาร์บอเนต (dithionite-citrate-bicarbonate; Fe<sub>d</sub>) (ภาพที่ 14) ซึ่งอยู่ในรูปสารอสัมฐาน และรูปที่มีผลึก โดยเฉพาะเรซิเม่าไทต์ และเกอร์ไวต์ ของบริเวณที่ทำการศึกษาทั้ง 8 บริเวณ พบว่า มีค่าอยู่ในพิสัย 14.0-90.6 กรัมต่อกิโลกรัม โดยдин Skr-8 ซึ่งพบภายใต้สภาพป่าดิบแล้งและเป็นตำแหน่งที่อยู่สูงที่สุดมีปริมาณเหล็กอิสระมากที่สุด เมื่อพิจารณาเปรียบเทียบปริมาณเหล็กอิสระภายในแต่ละบริเวณที่ทำการศึกษาพบว่า การสะสมเหล็กอิสระในдинมีค่าเพิ่มขึ้นตามความลึก และมีความแปรปรวนบ้าง การที่ในชั้นดินบนมีปริมาณเหล็กอิสระต่ำกว่าในชั้นดินล่าง เนื่องจากในชั้นดินบนมีการชะล้างสูง ทำให้เหล็กถูกชะล้างลงมาข้างล่างพร้อมกับอนุภาคดินเหนียว (กรรณิการ์ และคณะ, 2529)

เหล็กที่สักด้วยวิธีแอมโมนีียมออกซาเลต (ammonium oxalate;  $\text{Fe}_o$ ) (ภาพที่ 14) อยู่ในรูปอสัมฐาน ซึ่งเป็นรูปที่ว่องไวต่อการเกิดปฏิกิริยาเคมีต่างๆ (active Fe) ผล

การศึกษาดินทั้ง 8 บริเวณ พบว่า ปริมาณเหล็กในรูปอสัมฐานมีค่า อุ่นในพิสัย 0.61-5.39 กรัมต่อ กิโลกรัม โดยส่วนใหญ่มีปริมาณลดลงตามความลึก แสดงว่าดินมีเหล็กในรูปนี้ และรูปเป็นสารประกอบอินทรีย์เชิงซ้อนสูงในชั้นดินบน ซึ่งอาจเกิดเนื่องจากอิทธิพลของอินทรีย์ต่ำซึ่งมีอุ่น สูงในชั้นดินดังกล่าว อีกทั้งดินที่ศึกษามีพื้นที่เป็นกรดทำให้มีผลต่อการเกิดปฏิกิริยาเคมี โดยเฉพาะการตรึงธาตุอาหารพืช (บรรณพิชญ์, 2551; Trakoonyingcharoen *et al.*, 2006)

เหล็กที่สกัดด้วยวิธีโซเดียมไไฟฟอฟอสเฟต (sodium pyrophosphate;  $\text{Fe}_p$ ) (ภาพที่ 14) อุ่นในรูปสารประกอบอินทรีย์เชิงซ้อน ผลการศึกษาดินทั้ง 8 บริเวณ พบว่า ปริมาณ เหล็กในรูปนี้มีค่าอุ่นในพิสัย 0.006-4.40 กรัมต่อ กิโลกรัม เหล็กในรูปนี้แสดงถึงศักยภาพในการตรึง ฟอสฟอรัสของดิน (ผงจิตต์, 2545)

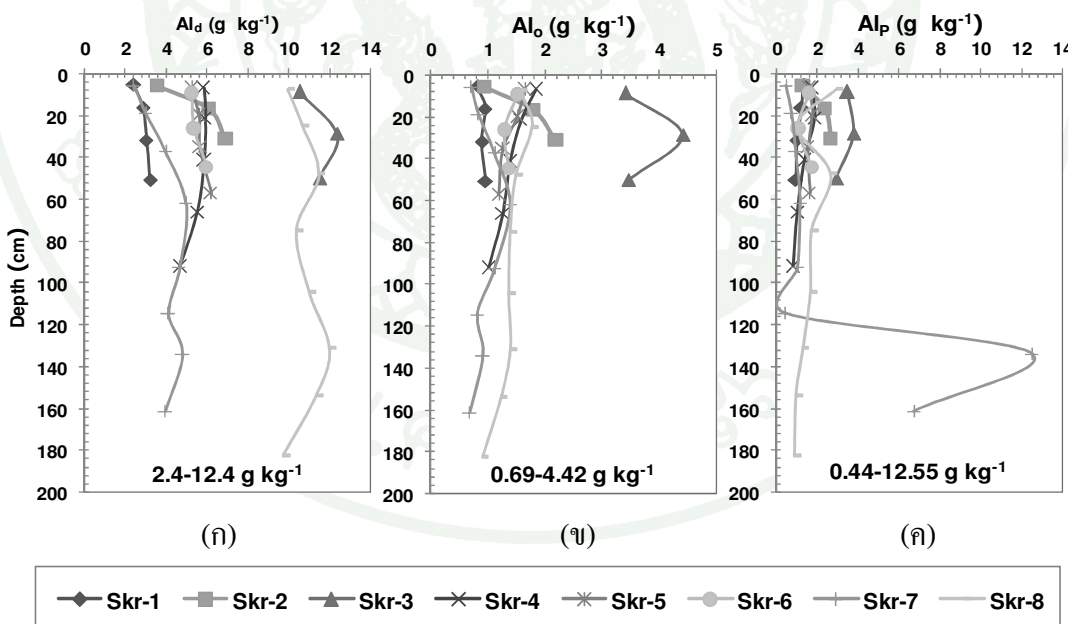


ภาพที่ 14 ความสัมพันธ์ระหว่างเหล็กที่สกัดได้ด้วย dithionite-citrate-bicarbonate ( $\text{Fe}_d$ ) (ก), ammonium oxalate ( $\text{Fe}_o$ ) (ง) และ sodium pyrophosphate ( $\text{Fe}_p$ ) (ก) กับระดับความลึก ดิน

## 2) อะลูมิเนียม

อะลูมิเนียมอิสระที่สกัดด้วยวิธีไดโซโนนต์-ซิเทรต-ไบคาร์บอนे�ต (dithionite-citrate-bicarbonate;  $\text{Al}_d$ ) (ภาพที่ 15) ซึ่งเป็นอะลูมิเนียมอยู่ในรูปที่มีผลึก รูปอสัมฐานและสารประกอบอินทรีย์เชิงซ้อน รวมทั้งที่อยู่ในลักษณะการแทนที่สารประกอบอื่น ๆ เช่น เหล็ก ออกไซด์ (ผงจิตต์, 2545) ผลการศึกษาดินทั้ง 8 บริเวณ พบว่า ปริมาณอะลูมิเนียมอิสระมีอยู่ในพิสัย 2.4-12.4 กรัมต่อกิโลกรัม โดยดิน Skr-3 พบรากайใต้ป่าเต็งรัง และ Skr-8 ในป่าดินแด้ง มีปริมาณอะลูมิเนียมอิสระมากที่สุด

อะลูมิเนียมที่สกัดด้วยวิธีแอมโมเนียมออกซาเลต (ammonium oxalate;  $\text{Al}_o$ ) (ภาพที่ 15) อยู่ในรูปอสัมฐาน รูปที่ว่องไวต่อการเกิดปฏิกิริยาเคมี และรูปสารประกอบอินทรีย์เชิงซ้อน (McKeague and Day, 1996; National Soil Survey Center, 1996) ผลการศึกษาดินทั้ง 8 บริเวณ พบว่า มีปริมาณอยู่ในพิสัย 0.69-4.42 กรัมต่อกิโลกรัม โดยปริมาณอะลูมิเนียมมีความแปรปรวนตลอดหน้าตัดดิน



ภาพที่ 15 ความสัมพันธ์ระหว่างอะลูมิเนียมที่สกัดได้ด้วย dithionite-citrate-bicarbonate ( $\text{Al}_d$ ) (η), ammonium oxalate ( $\text{Al}_o$ ) (ω) และ sodium pyrophosphate ( $\text{Al}_p$ ) (κ) กับระดับความลึกดิน

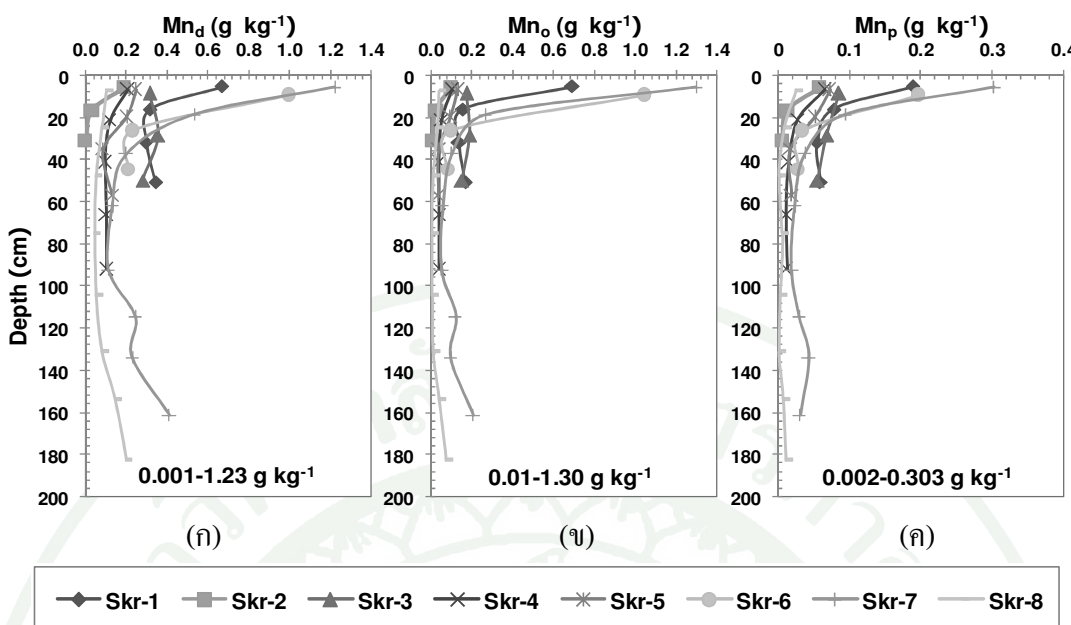
อะลูมิเนียมที่สกัดด้วยวิธีโซเดียมไฟโรฟอสเฟต (sodium pyrophosphate;  $\text{Fe}_p$ ) (ภาพที่ 15) อยู่ในรูปสารประกอบอินทรีย์เชิงช้อน (McKeague and Day, 1996; National Soil Survey Center, 1996) ผลการศึกษาดินทั้ง 8 บริเวณ พบว่า ปริมาณอะลูมิเนียมอยู่ในพิสัย 0.44-12.55 กรัมต่อกิโลกรัม และไม่มีความสัมพันธ์ชัดเจนกับระดับความลึกของดิน

### 3) แมงกานีส

แมงกานีสที่สกัดด้วยวิธีไดroxioinat-citrate-ในคาร์บอนेट (dithionite-citrate-bicarbonate;  $\text{Mn}_d$ ) (ภาพที่ 16) มีค่าน้อยมากเมื่อเทียบกับเหล็กอิสระ แมงกานีสที่สกัดโดยวิธีนี้อยู่ในรูปผลึก รูปอสัมฐาน รูปที่รีดิวซ์ได้ง่าย และรูปสารประกอบเชิงช้อน (Mehra and Jackson, 1960; National Soil Survey Center, 1996) ผลการศึกษาดินทั้ง 8 บริเวณ พบว่า ปริมาณแมงกานีส มีค่าอยู่ในพิสัย 0.001-1.23 กรัมต่อกิโลกรัม โดยพบว่า ส่วนใหญ่มีค่าสูงในดินบน และลดลงในชั้นดินล่าง แสดงให้เห็นถึงความสัมพันธ์ระหว่างปริมาณแมงกานีสที่อยู่ในรูปผลึก รูปอสัมฐาน รูปที่รีดิวซ์ได้ง่าย และรูปสารประกอบเชิงช้อนกับการสะสมอินทรีย์วัตถุในดิน

แมงกานีสที่สกัดด้วยวิธีแอมโมเนียมออกซาเลต (ammonium oxalate;  $\text{Mn}_o$ ) (ภาพที่ 16) อยู่ในรูปอสัมฐาน และรูปสารประกอบอินทรีย์เชิงช้อน (McKeague and Day, 1996; National Soil Survey Center, 1996) ผลการศึกษาดินทั้ง 8 บริเวณ พบว่า ปริมาณแมงกานีสมีค่าอยู่ในพิสัย 0.01-1.30 กรัมต่อกิโลกรัม โดยมีลักษณะการแยกกระจายคล้ายคลึงกับแมงกานีสที่สกัดด้วยวิธีไดroxioinat-citrate-ในคาร์บอนे�ต

แมงกานีสที่สกัดด้วยวิธีโซเดียมไฟโรฟอสเฟต (sodium pyrophosphate;  $\text{Mn}_p$ ) (ภาพที่ 16) อยู่ในรูปสารประกอบอินทรีย์เชิงช้อน (McKeague and Day, 1996; National Soil Survey Center, 1996) ผลการศึกษาดินทั้ง 8 บริเวณ ปริมาณแมงกานีสมีค่าอยู่ในพิสัย 0.002-0.303 กรัมต่อกิโลกรัม ซึ่งมีลักษณะแยกกระจายเหมือนกับแมงกานีสที่สกัดโดยวิธีอื่นดังที่ได้กล่าวมาแล้ว



ภาพที่ 16 ความสัมพันธ์ระหว่างแมงกานีสที่สกัดได้ด้วย dithionite-citrate-bicarbonate ( $\text{Mn}_d$ ) (ก), ammonium oxalate ( $\text{Mn}_o$ ) (ข) และ sodium pyrophosphate ( $\text{Mn}_p$ ) (ค) กับระดับความลึกดิน

#### 4. หน่วยการจำแนกดิน

ผลการศึกษาลักษณะทางสัณฐานวิทยา สมบัติทางฟิสิกส์ และสมบัติทางเคมีของดินสามารถจำแนกดินตามระบบอนุกรรมวิชานดิน (Soil Survey Staff, 2010) ได้ 2 อันดับ โดยมีชื่อ อนุกรรมวิชานดิน ดังต่อไปนี้

##### 4.1 อันดับอัลทิซอลส์ (Ultisols)

ดินมีการสะสมดินเหนียวในชั้นดินล่าง เป็นชั้นดินล่างวินิจฉัยอาร์จิลลิก (argillic horizon) และมีอัตราเรือขลุกความอิ่มตัวเบสต่ำกว่า 35 ที่ระดับความลึก 1.25 เมตรจากตอนล่างของชั้นอาร์จิลลิก จึงจัดจำแนกอยู่ในอันดับอัลทิซอลส์ (Ultisols) และเป็นที่มีปริมาณฝนค่อนข้างต่ำ ทำให้ดินมีความชื้นจำกัด จึงจัดเข้าในระบบความชื้นดินแบบอสติก (ustic soil moisture regime) ทำให้ดินเนื้อยุ่ยในอันดับดินย่อย Ultisol และดินมีการระบายน้ำดี มีชั้นเพลินไทด์ต่อเนื่อง หรือมากกว่าครึ่งหนึ่งของเนื้อดิน ในชั้นย่อยต่าง ๆ ภายในระดับความลึก 1.25 เมตรจากผิวดิน จึงสามารถจำแนก

ในระดับกลุ่มคินใหญ่ (great group) ได้เป็น Plinthustults สำหรับคินมีการระบายน้ำดี มีชั้นคินล่าง วินิจฉัยอาร์จิลลิกบาง หรือหนาปานกลาง และมีการแยกกระจายของคินเหนียวที่ปริมาณของคินเหนียวลดลงมากกว่าร้อยละ 20 ของชั้นที่มีปริมาณสูงสุดภายในระดับความลึก 1.50 เมตรจากชั้นผิวคิน จึงสามารถจำแนกในระดับกลุ่มคินใหญ่ (great group) ได้เป็น Haplustults

นอกจากนี้ คินยังมีลักษณะ และสมบัติอื่นที่แตกต่าง ไปจากลักษณะเด่นของกลุ่มคินใหญ่ด้วย ซึ่งสามารถจัดจำแนกในระดับกลุ่มคินย่อยได้เป็น

Haplic Plinthustult: ป่าเบญจพรรณทุติยภูมิ (Skr-1)

Lithic Haplustult: ป่าเต็งรัง (Skr-2)

Haplic Plinthustult: ป่าเต็งรัง (Skr-3)

Kanhaplic Haplustult: พื้นที่รอยต่อ (Skr-4)

Haplic Plinthustult: ป่าดิบแล้งพื้นฟู (Skr-5)

Typic Haplustult: ป่าดิบแล้งพื้นฟู (Skr-6)

Typic Plinthustult: ป่าดิบแล้งไม่ถูกรบกวน (Skr-8)

#### 4.2 อันดับแอลฟิซอลส์ (Alfisols)

คินที่ทำการศึกษามีการสะสมคินเหนียวในชั้นคินล่างชั้ดเจน ที่เรียกว่าชั้นคินล่าง วินิจฉัยอาร์จิลลิก (argillic horizon) และมีอัตราการอ่อนตัวสูงกว่า 35 จึงจัดจำแนกอยู่ใน อันดับแอลฟิซอลส์ (Alfisols) โดยพบภายใต้สภาพพื้นที่มีปริมาณฝนค่อนข้างต่ำ ทำให้คินมี ความชื้นจำกัด จึงจัดเข้าในระบบความชื้นคินแบบอัลติก ทำให้คินนี้อยู่ในอันดับคินย่อย Ustalf และยังพบว่าคินที่มีการระบายน้ำดี มีชั้นเพลินไทด์ต่อเนื่อง หรือมากกว่าครึ่งหนึ่งของเนื้อคิน ในชั้น ยอดต่าง ๆ จึงสามารถจำแนกในระดับกลุ่มคินใหญ่ (great group) ได้เป็น Plinthustalf แต่เนื่องจาก คินไม่มีลักษณะและคุณสมบัติอื่นใดที่แตกต่าง ไปจากลักษณะเด่นของกลุ่มคินใหญ่ ดังนั้นคิน ตัวแทนที่ทำการศึกษารังนี้จัดจำแนกในระดับกลุ่มคินย่อย ได้เป็น Typic Plinthustalf (Skr-7)

## 5. ความสัมพันธ์ระหว่างการรับอนินทรีย์ สมบัติดินบางประการ และความเสถียรของเม็ดดิน

เม็ดดินที่จะเกิดขึ้นรวมถึงความเสถียรของเม็ดดิน จะเกิดจากความหลากหลายของวิธีการ รวมตัว และขนาดของเม็ดดินเอง ความซับซ้อนของการเกิดเม็ดดิน ขึ้นอยู่กับปฏิสัมพันธ์ของปัจจัย หลากหลายชนิดร่วมกัน ไม่ว่าจะเป็นสภาพแวดล้อม การจัดการดิน รากพืช และสมบัติดิน เช่น องค์ประกอบเชิงแร่ในดิน เนื้อดิน ความเข้มข้นของสารบ่อนินทรีย์ในดิน กระบวนการทางดิน รวมถึงไออกอนที่แลกเปลี่ยนได้ (Horn and Smucker, 2005; Pulleman *et al.*, 2005)

ความสัมพันธ์ระหว่างสมบัติดินกับเม็ดดินเสถียรน้ำหนักได้สภาพป่าต่างชนิด ประกอบไปด้วย ป่าเบญจพรรณทุติยภูมิ ป่าเต็งรัง พื้นที่รอยต่อระหว่างป่าเต็งรังและป่าดินแด้ง (ecotone) ป่าดินแด้งแบบถุกรบกวน และแบบที่คงสภาพตามธรรมชาติได้โดยไม่ถูกรบกวน โดยทำการแบ่งขนาดของเม็ดดินออกเป็น 6 ขนาด ได้แก่ เม็ดดินเสถียรน้ำหนาด 2-8 มิลลิเมตร (WSA1), เม็ดดินเสถียรน้ำหนาด 1-2 มิลลิเมตร (WSA2), เม็ดดินเสถียรน้ำหนาด 0.5-1 มิลลิเมตร (WSA3), เม็ดดินเสถียรน้ำหนาด 0.25-0.5 มิลลิเมตร (WSA4), เม็ดดินเสถียรน้ำหนาด 0.1-0.25 มิลลิเมตร (WSA5) และเม็ดดินเสถียรน้ำหนาดเล็กกว่า 0.1 มิลลิเมตร (WSA6) (Elliott, 1986; Elliot *et al.*, 1991)

ส่วนขนาดเฉลี่ยของเม็ดดินเสถียรน้ำ (Mean weight diameter; MWD) นั้นเป็นค่าที่ได้จากการผลรวมเฉลี่ยของเม็ดดินเสถียรน้ำทั้ง 6 ขนาดข้างต้น (ตารางผนวกที่ 1) ซึ่งค่าขนาดเฉลี่ยของเม็ดดินเสถียรน้ำ สามารถใช้เป็นตัวบ่งชี้ถึงความเสถียรของเม็ดดินโดยรวม ได้ว่ามีแนวโน้มเป็นอย่างไร (Kemper and Rosenau, 1986) จากนั้นจึงนำค่าเม็ดดินเสถียรน้ำมาทำการหาค่าสัมประสิทธิ์สหสัมพันธ์ (Correlation Coeficient; r) กับสมบัติดิน (ตารางที่ 1) เพื่อหาทิศทางและระดับความสัมพันธ์ รวมถึงทำการสร้างกราฟความสัมพันธ์ระหว่างเม็ดดินเสถียรน้ำกับสมบัติดินแต่ละค่า โดยมีค่าสัมประสิทธิ์ตัวกำหนด (Coeficient of determination;  $r^2$ ) กำกับเพื่อใช้บอกว่าสมบัติดินแต่ละชนิดมีผลต่อกลางผนวกเม็ดดินเสถียรน้ำแต่ละขนาดอย่างไร ผลการศึกษา พบว่าเม็ดดินเสถียรน้ำแต่ละขนาดมีสหสัมพันธ์และมีความผันแปรตามสมบัติดิน ดังนี้

ตารางที่ 4 ค่าสัมประสิทธิ์สหสัมพันธ์ระหว่างเม็ดดินและรูปแบบบดดินบางประการ

Soil properties	Size of aggregates						
	WSA1	WSA 2	WSA3	WSA4	WSA5	WSA6	MWD
SOC ( $\text{g kg}^{-1}$ )	0.71**	0.32	0.01	-0.37*	-0.64**	-0.28	0.72**
Total N ( $\text{g kg}^{-1}$ )	0.59**	0.14	0.01	-0.23	-0.52**	-0.24	0.59**
Avai. P ( $\text{mg kg}^{-1}$ )	0.39*	-0.11	-0.40*	-0.42**	-0.07	-0.12	0.36*
Avai. K ( $\text{mg kg}^{-1}$ )	0.04	0.28	0.43**	0.17	-0.28	-0.14	0.08
Extr. Ca ( $\text{cmol}_c \text{kg}^{-1}$ )	0.21	0.07	0.08	-0.17	-0.23	0.15	0.22
Extr. Mg ( $\text{cmol}_c \text{kg}^{-1}$ )	0.17	0.38*	0.38*	0.02	-0.43**	0.09	0.21
Extr. K ( $\text{cmol}_c \text{kg}^{-1}$ )	0.04	0.28	0.43**	0.18	-0.28	-0.15	0.08
Extr. Na ( $\text{cmol}_c \text{kg}^{-1}$ )	-0.12	-0.23	-0.06	0.10	0.15	0.08	-0.13
CEC ( $\text{cmol}_c \text{kg}^{-1}$ )	0.2	0.16	0.06	-0.06	-0.21	-0.18	0.22
EA ( $\text{cmol}_c \text{kg}^{-1}$ )	0.28	0.31	0.01	-0.18	-0.27	-0.24	0.30
BS (%)	-0.02	0.01	0.24	0.10	-0.13	0.21	-0.01
BD ( $\text{Mg m}^{-3}$ )	-0.58**	-0.25	0.05	0.34*	0.47**	0.30	-0.59**
Ksat ( $\text{cm hr}^{-1}$ )	0.26	0.16	0.02	-0.11	-0.22	-0.28	0.27
Fe <sub>d</sub> ( $\text{g kg}^{-1}$ )	-0.26	-0.09	0.05	0.23	0.20	-0.04	-0.25
Fe <sub>o</sub> ( $\text{g kg}^{-1}$ )	0.15	0.58**	0.53**	0.12	-0.48**	-0.19	0.21
Fe <sub>p</sub> ( $\text{g kg}^{-1}$ )	0.12	0.43**	0.42**	0.21	-0.38*	-0.32	0.17
Al <sub>d</sub> ( $\text{g kg}^{-1}$ )	-0.09	-0.03	0.07	0.23	0.03	-0.17	-0.09
Al <sub>o</sub> ( $\text{g kg}^{-1}$ )	0.17	0.07	0.05	0.10	-0.20	-0.22	0.17
Al <sub>p</sub> ( $\text{g kg}^{-1}$ )	-0.07	0.15	0.20	0.09	-0.08	0.11	-0.05
Mn <sub>d</sub> ( $\text{g kg}^{-1}$ )	0.32*	-0.25	-0.28	-0.28	-0.10	0.12	0.29
Mn <sub>o</sub> ( $\text{g kg}^{-1}$ )	0.35*	-0.16	-0.20	-0.28	-0.17	0.06	0.33*
Mn <sub>p</sub> ( $\text{g kg}^{-1}$ )	0.45**	-0.20	-0.29	-0.37*	-0.20	0.06	0.41**

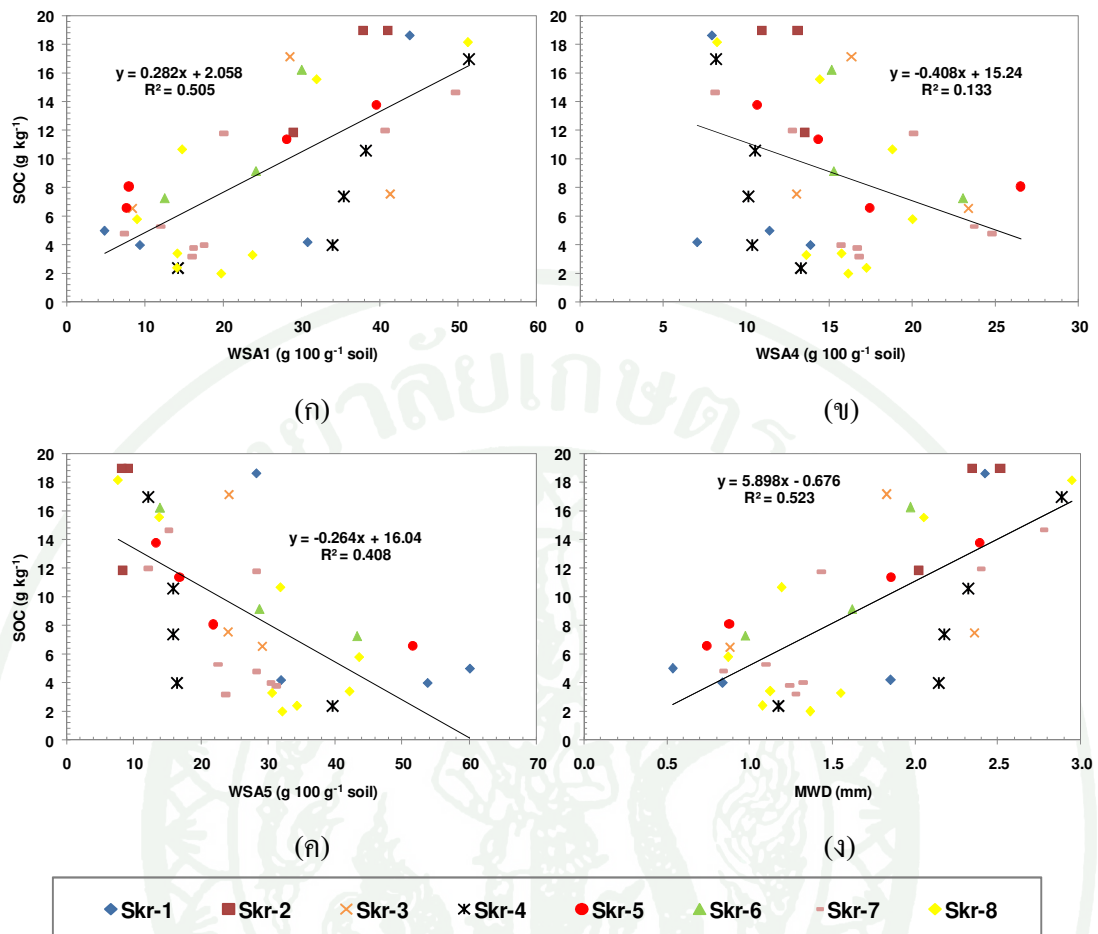
\* มีนัยสำคัญที่ระดับความเชื่อมั่นร้อยละ 95 ; \*\* มีนัยสำคัญที่ระดับความเชื่อมั่นร้อยละ 99 (n=38)

หมายเหตุ WSA1 = เม็ดดินเสถียรน้ำหนาด 2-8 มม., WSA2 = เม็ดดินเสถียรน้ำหนาด 1-2 มม., WSA3 = เม็ดดินเสถียรน้ำหนาด 0.5-1 มม., WSA4 = เม็ดดินเสถียรน้ำหนาด 0.25-0.5 มม., WSA5 เม็ดดินเสถียรน้ำหนาด 0.1-0.25 มม., WSA6 = เม็ดดินเสถียรน้ำหนาด 0.1 มม., MWD = ขนาดเฉลี่ยของเม็ดดินเสถียรน้ำ (มม.), SOC = ปริมาณคาร์บอนอินทรีย์, CEC = ความจุออกเปลี่ยนแแกต์ไออกอน, EA = สถานะกรดที่สกัดได้, BS = อัตราร้อยละความอิ่มตัวเบส, BD = ความหนาแน่นรวมของดิน, Ksat = สัมประสิทธิ์การนำน้ำของดินขณะอิ่มตัว, Fe<sub>d</sub>, Fe<sub>o</sub> and Fe<sub>p</sub> = เหล็กที่สกัดได้ในรูปอิสระ รูปอสัมฐาน และรูปสารอินทรีย์เชิงซ่อน, Mn<sub>d</sub>, Mn<sub>o</sub> and Mn<sub>p</sub> = แมงกานีสที่สกัดได้ในรูปอิสระ รูปอสัมฐาน และรูปสารอินทรีย์เชิงซ่อน

ส่วนขนาดเฉลี่ยของเม็ดดินสีคล้ำน้ำเงิน (Mean weight diameter; MWD) นั้นเป็นค่าที่ได้จาก ผลกระทบเฉลี่ยของเม็ดดินสีคล้ำน้ำเงินทั้ง 6 ขนาดข้างต้น (ตารางผนวกที่ 1) ซึ่งค่าขนาดเฉลี่ยของเม็ดดินสีคล้ำน้ำเงินสามารถใช้เป็นตัวบ่งชี้ถึงความเสถียรของเม็ดดินโดยรวมได้ว่ามีแนวโน้มเป็นอย่างไร (Kemper and Rosenau, 1986) จากนั้นจึงนำค่าเม็ดดินสีคล้ำน้ำเงินมาทำการหาค่าสัมประสิทธิ์สหสัมพันธ์ (Correlation Coeficient; r) กับสมบัติดิน (ตารางที่ 1) เพื่อหาทิศทางและระดับความสัมพันธ์ รวมถึงทำการสร้างกราฟความสัมพันธ์ระหว่างเม็ดดินสีคล้ำน้ำเงินกับสมบัติดินแต่ละค่า โดยมีค่าสัมประสิทธิ์ตัวกำหนด (Coeficient of determination;  $r^2$ ) กำกับเพื่อใช้บอกว่าสมบัติดินแต่ละชนิดมีผลต่อความผันแปรของเม็ดดินสีคล้ำน้ำเงินแต่ละขนาดอย่างไร ผลการศึกษาพบว่าเม็ดดินสีคล้ำน้ำเงินแต่ละขนาดมีสหสัมพันธ์และมีความผันแปรตามสมบัติดิน ดังนี้

### 5.1 ความสัมพันธ์ระหว่างการ์บอนอินทรีย์เม็ดกับดินสีคล้ำน้ำเงิน

การ์บอนอินทรีย์มีสหสัมพันธ์เชิงบวกอย่างมีนัยสำคัญยิ่งทางสถิติกับปริมาณเม็ดดินสีคล้ำน้ำเงินใหญ่ ( $2-8$  มิลลิเมตร, WSA1) (ตารางที่ 4) (ภาพที่ 17) การที่เม็ดดินสีคล้ำน้ำเงินดังกล่าวมีปริมาณเพิ่มขึ้นตามปริมาณการ์บอนอินทรีย์ที่เพิ่มขึ้นเป็นเพราะว่า การ์บอนอินทรีย์จะทำหน้าที่ยึดเกาะกับเม็ดดินสีคล้ำน้ำเงินเล็ก ( $0.1-0.25$  มิลลิเมตร, WSA5) ทำให้เกิดเม็ดดินขนาดใหญ่ขึ้น (Yamashita *et al.*, 2006; Bronick and Lal, 2005) ขณะที่เม็ดดินสีคล้ำน้ำเงินขนาดเล็กลงมา ได้แก่ ขนาด  $0.25-0.5$  มิลลิเมตร (WSA4) และ  $0.1-0.25$  มิลลิเมตร (WSA5) มีสหสัมพันธ์เชิงลบกับปริมาณการ์บอนอินทรีย์ในดิน อย่างมีนัยสำคัญและอย่างมีนัยสำคัญยิ่งทางสถิติ (ตารางที่ 4) (ภาพที่ 17) เนื่องจาก การ์บอนอินทรีย์จะไม่มีอิทธิพลต่อกลุ่มเม็ดดินขนาดเล็ก เมื่อการ์บอนอินทรีย์มีปริมาณน้อย (Nwadiago and Mbagnou, 1991) โดย Mbagnou (1989) และ Mbagnou and Bazzoffi (1988) ได้เสนอว่า บทบาทของการ์บอนอินทรีย์ต่อการเป็นสารเชื่อมจะลดลง เมื่อสารเชื่อมอื่น ๆ เช่น ดินเหนียวซิลิเกต และประชุต่าง ๆ มีอำนาจในการเป็นสารเชื่อมได้สูงกว่า เนื่องจากมีปริมาณมากกว่า โดยเมื่อдинมีปริมาณเหล็กและอะลูมิเนียมออกไซด์อยู่สูง บทบาทของการ์บอนอินทรีย์ต่อกลุ่มเม็ดดินจะลดลง (Oades, 1984) สำหรับความสัมพันธ์ระหว่างการ์บอนอินทรีย์กับขนาดเฉลี่ยของเม็ดดินสีคล้ำน้ำเงิน พบว่า มีแนวโน้มไปในทิศทางเดียวกับความสัมพันธ์ระหว่างการ์บอนอินทรีย์กับปริมาณเม็ดดินสีคล้ำน้ำเงิน 2-8 มิลลิเมตร

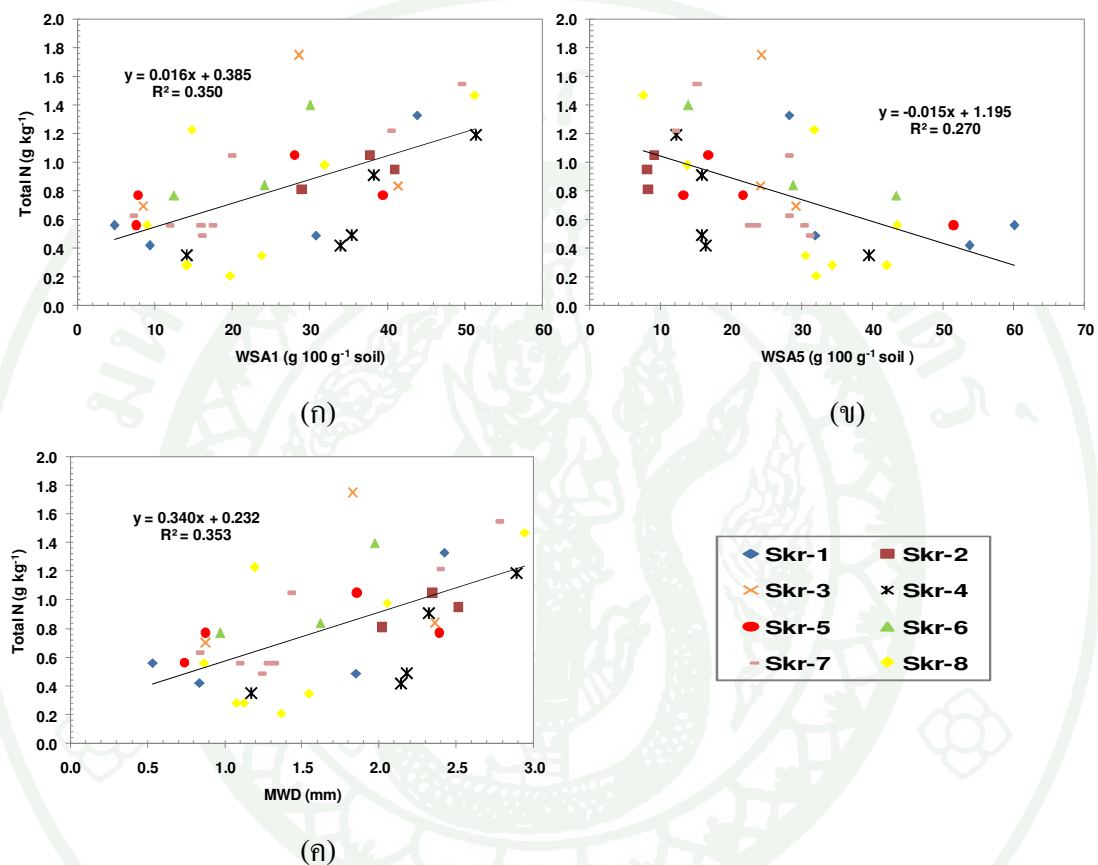


ภาพที่ 17 กราฟแสดงความสัมพันธ์ระหว่างเม็ดคินเสถียรขนาด 2-8 มิลลิเมตร (WSA1) (η) เม็ดคินเสถียรขนาด 0.25-0.5 มิลลิเมตร (WSA4) (υ) เม็ดคินขนาด 0.1-0.25 มิลลิเมตร (WSA5) (κ) และขนาดเฉลี่ยของเม็ดคินเสถียรน้ำ (MWD) (Σ) กับปริมาณการบ่อนอนินทรีย์

## 5.2 ความสัมพันธ์ระหว่างปริมาณในโตรเจนรวมกับเม็ดคินเสถียรน้ำ

ปริมาณในโตรเจนรวมมีสหสัมพันธ์เชิงบวกอย่างมีนัยสำคัญยิ่งทางสถิติกับปริมาณเม็ดคินเสถียรขนาดใหญ่ (2-8 มิลลิเมตร, WSA1) แต่มีสหสัมพันธ์เชิงลบอย่างมีนัยสำคัญยิ่งทางสถิติกับเม็ดคินเสถียรขนาดเล็ก (0.1-0.25 มิลลิเมตร, WSA5) (ตารางที่ 4) (ภาพที่ 18) ความสัมพันธ์ระหว่างปริมาณในโตรเจนรวมกับขนาดเฉลี่ยของเม็ดคินเสถียรน้ำ พยุ่งเป็นโน้มไปในทิศทางเดียวกับความสัมพันธ์ระหว่างปริมาณในโตรเจนรวมกับปริมาณเม็ดคินเสถียรขนาด 2-8 มิลลิเมตร

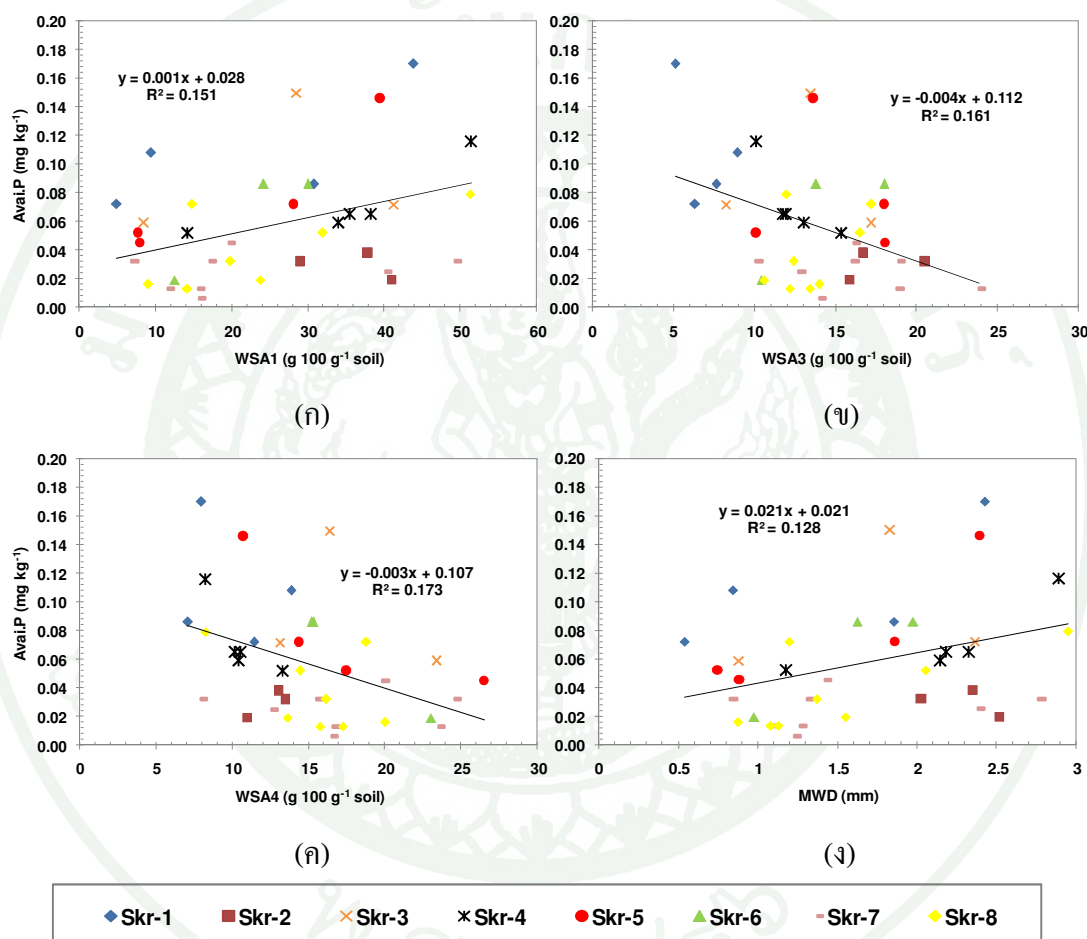
ลักษณะความสัมพันธ์ระหว่างปริมาณไนโตรเจนรวมกับเม็ดดินเสถียรน้ำ มีความคล้ายคลึงกับความสัมพันธ์ระหว่างคาร์บอนอินทรีย์กับเม็ดดินเสถียรน้ำ เนื่องจากไนโตรเจนในดินส่วนใหญ่จะได้มาจากการสลายตัวของอินทรีย์ตัตุในดิน (Brady and Weil, 2008; Kalembasa, 2008) ซึ่งเป็นแหล่งสำคัญในการให้คาร์บอนอินทรีย์เข่นกัน



ภาพที่ 18 กราฟแสดงความสัมพันธ์ระหว่างเม็ดดินเสถียรน้ำขนาด 2-8 มิลลิเมตร (WSA1) (ก) เม็ดดินเสถียรน้ำขนาด 0.1-0.25 มิลลิเมตร (WSA5) (ข) และขนาดเมล็ดของเม็ดดินเสถียรน้ำ (MWD) (ค) กับปริมาณไนโตรเจนรวม

### 5.3 ความสัมพันธ์ระหว่างปริมาณฟอสฟอรัสที่เป็นประโยชน์กับเม็ดคินเสถียรน้ำ

ปริมาณฟอสฟอรัสที่เป็นประโยชน์มีสหสัมพันธ์เชิงบวกอย่างมีนัยสำคัญทางสถิติกับปริมาณเม็ดคินเสถียรน้ำขนาด 2-8 มิลลิเมตร (WSA1) และขนาดเฉลี่ยของเม็ดคินเสถียรน้ำ (MWD) และมีสหสัมพันธ์เชิงลบอย่างมีนัยสำคัญทางสถิติและอย่างมีนัยสำคัญยิ่งทางสถิติกับปริมาณเม็ดคิน

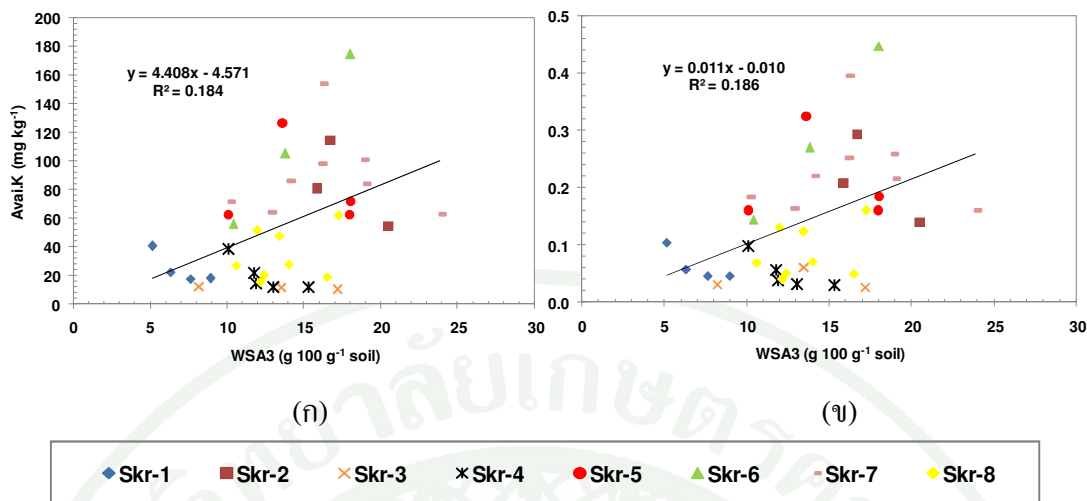


ภาพที่ 19 กราฟแสดงความสัมพันธ์ระหว่างเม็ดคินเสถียรน้ำขนาด 2-8 มิลลิเมตร (WSA1) (ก) เม็ดคินเสถียรน้ำขนาด 0.5-1 มิลลิเมตร (WSA3) (ข) เม็ดคินเสถียรน้ำขนาด 0.25-0.5 มิลลิเมตร (WSA4) (ค) และขนาดเฉลี่ยของเม็ดคินเสถียรน้ำ (MWD) (จ) กับปริมาณฟอสฟอรัสที่เป็นประโยชน์

เสถียรน้ำหนาด 0.5-1 มิลลิเมตร (WSA3) และหนาด 0.25-0.5 มิลลิเมตร (WSA4) ตามลำดับ (ตารางที่ 4) (ภาพที่ 19) แสดงให้เห็นว่า ปริมาณฟอสฟอรัสที่เป็นประ โภชน์จะมีมากขึ้นอยู่กับการเพิ่มขึ้นของปริมาณเม็ดคินเสถียรน้ำในดิน และฟอสฟอรัสที่เป็นประ โภชน์ที่มีสหสัมพันธ์กับเม็ดคินเสถียรน้ำหนาดใหญ่ น่าจะเป็นผลมาจากการรับอนินทรีย์ที่พบอยู่มากในเม็ดคินหนาด ดังกล่าว ทั้งนี้ ฟอสฟอรัสน่าจะถูกจับอยู่ในรูปของอนินทรีย์ฟอสฟอรัสซึ่งเปลี่ยนเป็นรูปที่เป็นประ โภชน์ได้ง่าย (คณารย์ภาควิชาปฏิวิทยา, 2548)

#### 5.4 ความสัมพันธ์ระหว่างปริมาณ โพแทสเซียมที่เป็นประ โภชน์และปริมาณ โพแทสเซียมที่สกัดได้กับเม็ดคินเสถียรน้ำ

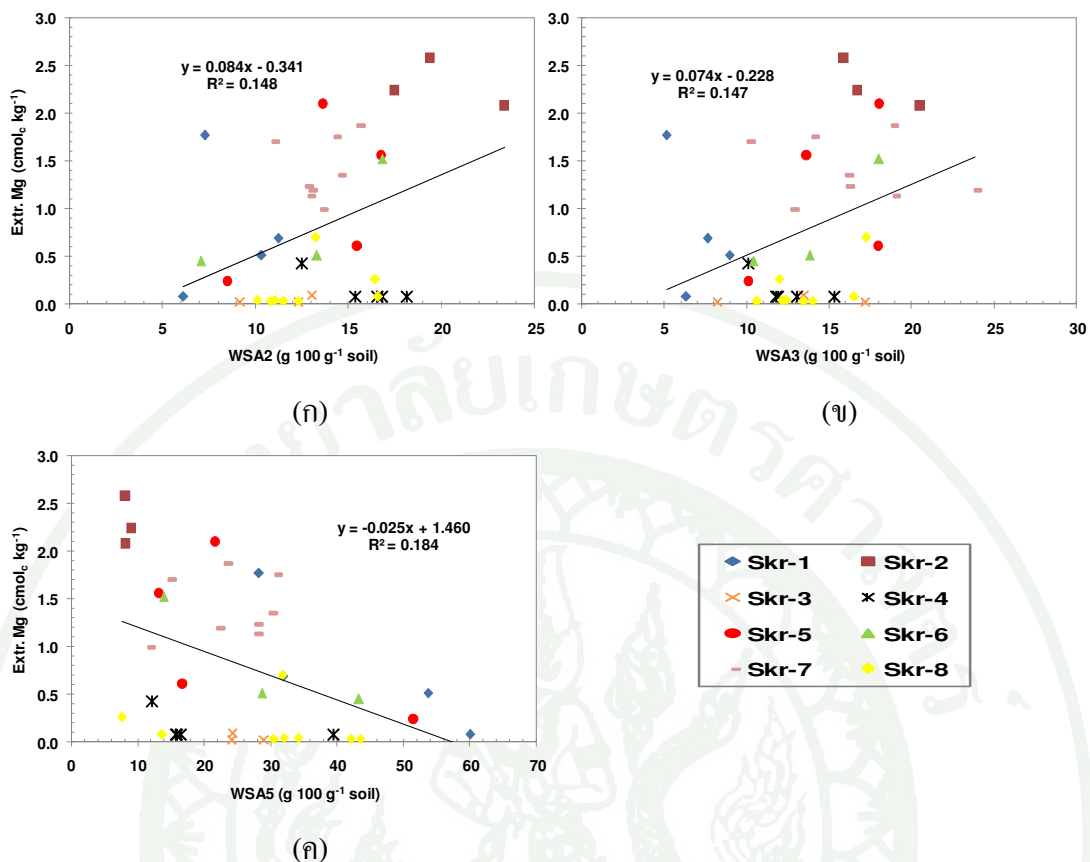
ปริมาณ โพแทสเซียมที่เป็นประ โภชน์และปริมาณ โพแทสเซียมที่สกัดได้ต่างมีสหสัมพันธ์เชิงบวกอย่างมีนัยสำคัญยิ่งทางสถิติกับปริมาณเม็ดคินเสถียรน้ำหนาด 0.5-1 มิลลิเมตร (WSA3) (ตารางที่ 4) (ภาพที่ 20) โดยการที่ โพแทสเซียมทั้งสองรูปมีสหสัมพันธ์เชิงบวก แสดงให้เห็นว่า โพแทสเซียมส่วนใหญ่น่าจะสะสมอยู่ในเม็ดคินหนาด 0.5-1 มิลลิเมตรในกรณีของดินที่มีเนื้อดินละเอียดถึงปานกลางในการศึกษานี้ และจากการที่เม็ดคินหนาดนี้ไม่ได้มีสหสัมพันธ์ใดกับปริมาณการรับอนินทรีย์ ดังนั้น ปริมาณ โพแทสเซียมที่เป็นประ โภชน์ และปริมาณ โพแทสเซียมที่สกัดได้ซึ่งมีอยู่ในระดับต่ำมากถึงสูงมาก และระดับต่ำมากถึงปานกลางตามลำดับ ในดินเหล่านี้จึงไม่น่าจะเกี่ยวข้องกับปริมาณการรับอนินทรีย์



ภาพที่ 20 กราฟแสดงความสัมพันธ์ระหว่างเม็ดคินเสถียรน้ำหนาด 0.5-1 มิลลิเมตร (WSA3) (ก) กับปริมาณโพแทสเซียมที่เป็นประโยชน์ และเม็ดคินเสถียรน้ำหนาด 0.5-1 มิลลิเมตร (WSA3) (ข) กับปริมาณโพแทสเซียมที่สกัดได้

## 5.5 ความสัมพันธ์ระหว่างปริมาณแมกนีเซียมที่สักดิ์ได้กับเม็ดคินเดลลิ耶รัน้ำ

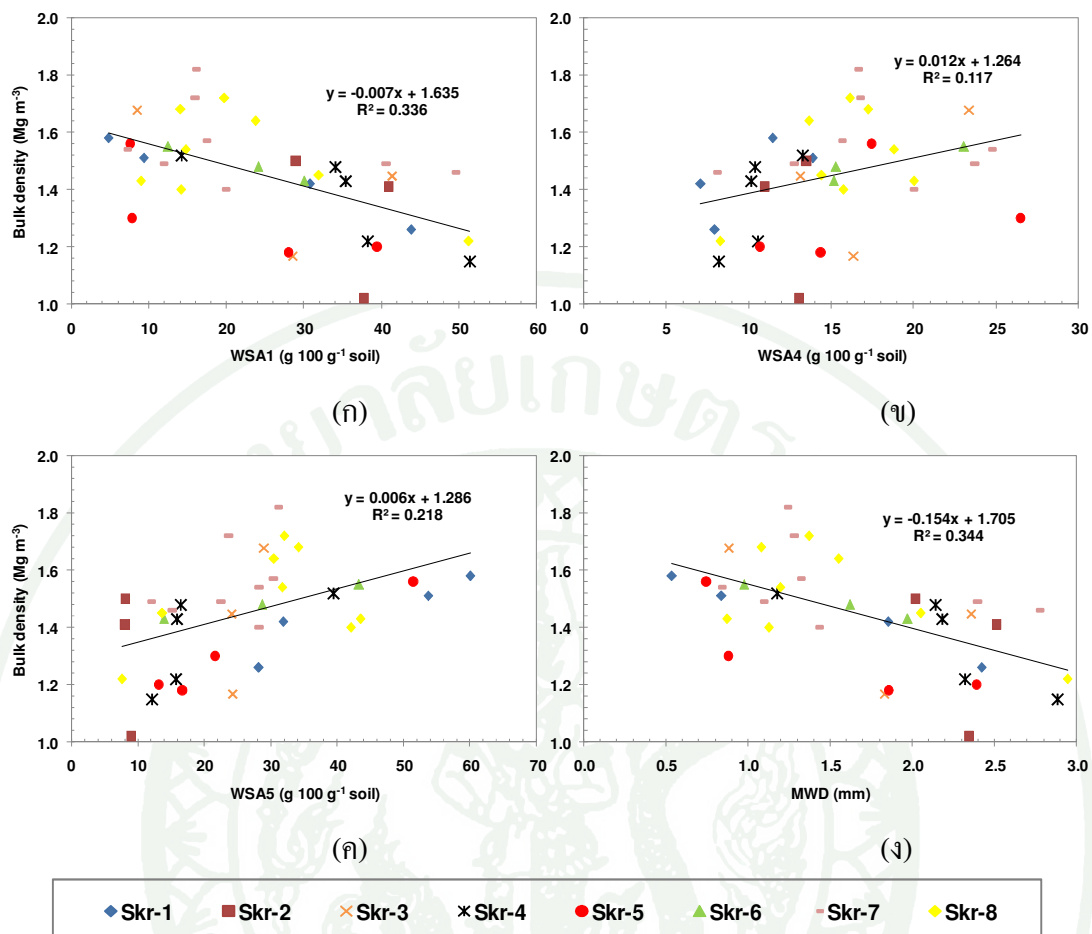
ปริมาณแมกนีเซียมที่สักดไดจะมีสหสัมพันธ์เชิงบวกอย่างมีนัยสำคัญทางสถิติกับปริมาณเม็ดคินเสถียรน้ำข่านาด 1-2 มิลลิเมตร (WSA2) และปริมาณเม็ดคินเสถียรน้ำข่านาด 0.5-1 มิลลิเมตร (WSA3) ตามลำดับ แต่มีสหสัมพันธ์เชิงลบอย่างมีนัยสำคัญยังทางสถิติกับเม็ดคินเสถียรน้ำข่านาด 0.1-0.25 มิลลิเมตร (WSA5) (ตารางที่ 4) (ภาพที่ 21) ความสัมพันธ์ของแมกนีเซียมนี้ อาจเกิดจากการที่แมกนีเซียมทำตัวเป็นสะพานเชื่อมอินทรีย์วัตถุและอนุภาคคินเนนี่ยาวเข้าด้วยกันจนเกิดเป็นเม็ดคิน (NRCS, 2008) ทำให้ปริมาณเม็ดคินเสถียรน้ำทึ่งสอง คือ เม็ดคินเสถียรน้ำข่านาด 1-2 และ 0.5-1 มิลลิเมตร (WSA2 และ WSA3) มีปริมาณเพิ่มตามปริมาณแมกนีเซียมที่เพิ่มขึ้นขณะเดียวกันปริมาณแมกนีเซียมที่สักดได มีความสัมพันธ์ในเชิงลบกับเม็ดคินเสถียรน้ำข่านาด 0.1-0.25 มิลลิเมตร (WSA5) ซึ่งหมายถึงปริมาณแมกนีเซียมที่สักดไดเพิ่มขึ้น จะทำให้ปริมาณเม็ดคินขนาดข้างต้นลดลง สามารถอธิบายได้ว่า เกิดจากการที่เม็ดคินเสถียรน้ำข่านาดข้างต้นสร้างตัวเป็นเม็ดคินเสถียรน้ำที่มีขนาดใหญ่ขึ้น โดยมีแมกนีเซียมทำหน้าที่คล้ายสารเชื่อมช่วยในการจับตัวของเม็ดคิน เมื่อเป็นเช่นนี้สัดส่วนของเม็ดคินขนาดเล็กจึงลดลง และเปลี่ยนเป็นเม็ดคินที่มีขนาดใหญ่กว่าในสัดส่วนที่เพิ่มขึ้น



ภาพที่ 21 กราฟแสดงความสัมพันธ์ระหว่างเม็ดคินเสถียรน้ำหนาด 1-2 มิลลิเมตร (WSA2) (ก) เม็ดคินเสถียรน้ำหนาด 0.5-1 มิลลิเมตร (WSA3) (ข) และเม็ดคินเสถียรน้ำหนาด 0.1-0.25 มิลลิเมตร (WSA3) (ค) กับปริมาณแมgnีเซียมเซียมที่สกัดได้

### 5.6 ความสัมพันธ์ระหว่างค่าความหนาแน่นรวมของคินกับเม็ดคินเสถียรน้ำ

ค่าความหนาแน่นรวมของคินมีสหสัมพันธ์เชิงลบอย่างมีนัยสำคัญยิ่งทางสถิติกับปริมาณเม็ดคินเสถียรน้ำหนาดใหญ่ (2-8 มิลลิเมตร, WSA1) และมีสหสัมพันธ์เชิงบวกอย่างมีนัยสำคัญยิ่งทางสถิติกต่อปริมาณเม็ดคินเสถียรน้ำหนาดเล็ก (0.1-0.25 มิลลิเมตร, WSA5) (ตารางที่ 4) (ภาพที่ 22) ความหนาแน่นรวมของคินเป็นค่าสัดส่วนระหว่างมวลแห้งของคินกับปริมาตร (คณานิยมภาษาปักษีพิทยา, 2548) ค่าความหนาแน่นรวมของคินต่ำ เกิดจากอิทธิพลของอินทรียวัตถุ (Brady and Weil, 2008) ซึ่งมีผลต่อการสร้างตัวของเม็ดคิน เช่นกัน แต่เมื่อค่า



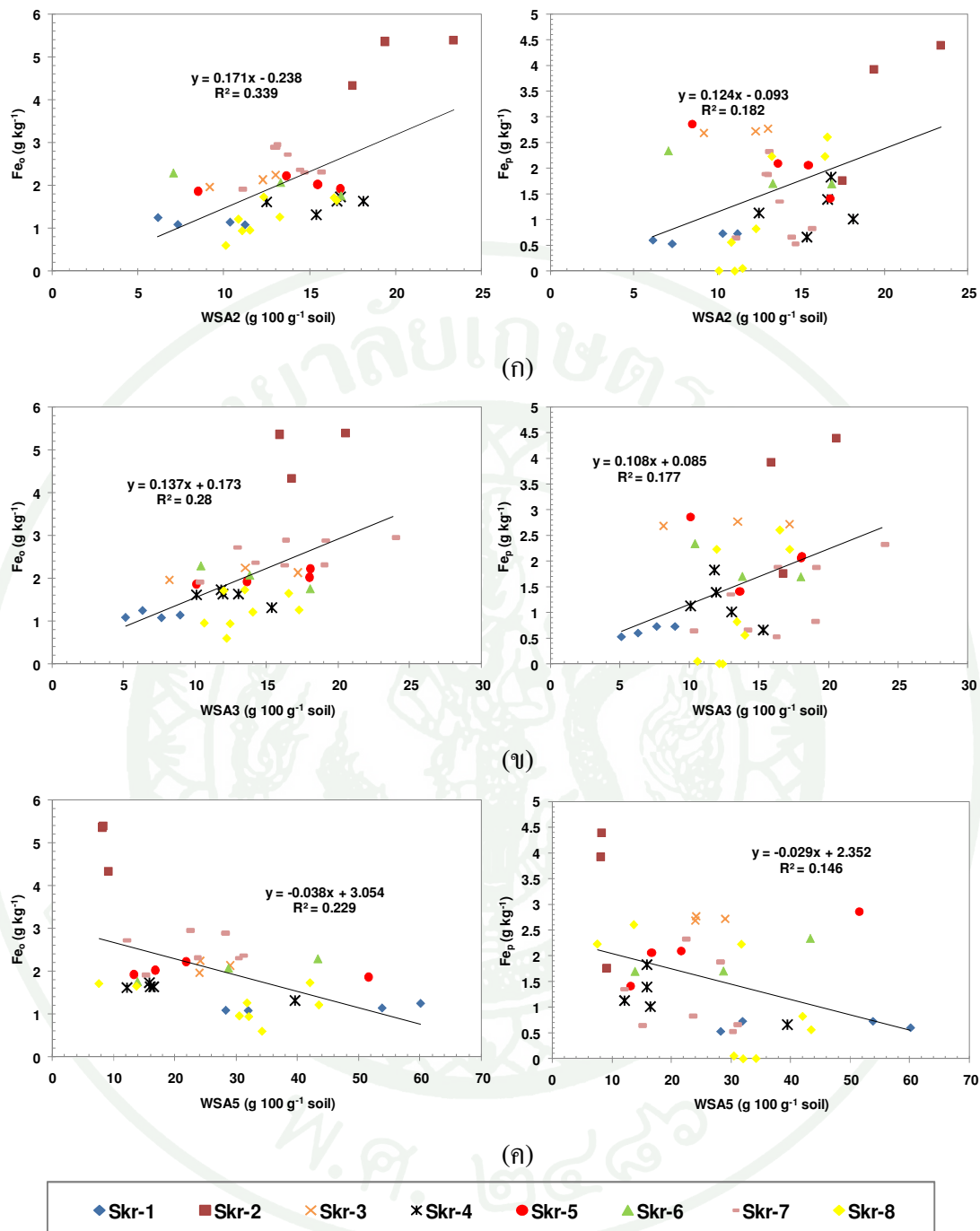
ภาพที่ 22 กราฟแสดงความสัมพันธ์ระหว่างเม็ดดินเสถียรขนาด 2-8 มิลลิเมตร (WSA1) (ก) เม็ดดินเสถียรขนาด 0.25-0.5 มิลลิเมตร (WSA4) (ข) เม็ดดินเสถียรขนาด 0.1-0.25 มิลลิเมตร (WSA5) (ค) และขนาดเฉลี่ยของเม็ดดินเสถียร (MWD) (จ) กับค่าความหนาแน่นรวมของดิน

ความหนาแน่นรวมเพิ่มสูงขึ้น ดินก็จะมีการอัดแน่นตัวเพิ่มขึ้น เม็ดดินเสถียรขนาดใหญ่ไม่สามารถทอนต่อแรงอัดแน่นที่เกิดขึ้น จึงเกิดการแตกตัวออกเป็นเม็ดดินที่มีขนาดเล็กลง เหตุนี้ปริมาณเม็ดดินเสถียรขนาดเล็กจึงมีปริมาณเพิ่มขึ้นตามความหนาแน่นรวมของดินที่เพิ่มขึ้น ขณะที่ขนาดเฉลี่ยของเม็ดดินเสถียรน้ำมีแนวโน้มเป็นไปในทิศทางเดียวกับเม็ดดินเสถียรขนาด 2-8 มิลลิเมตร

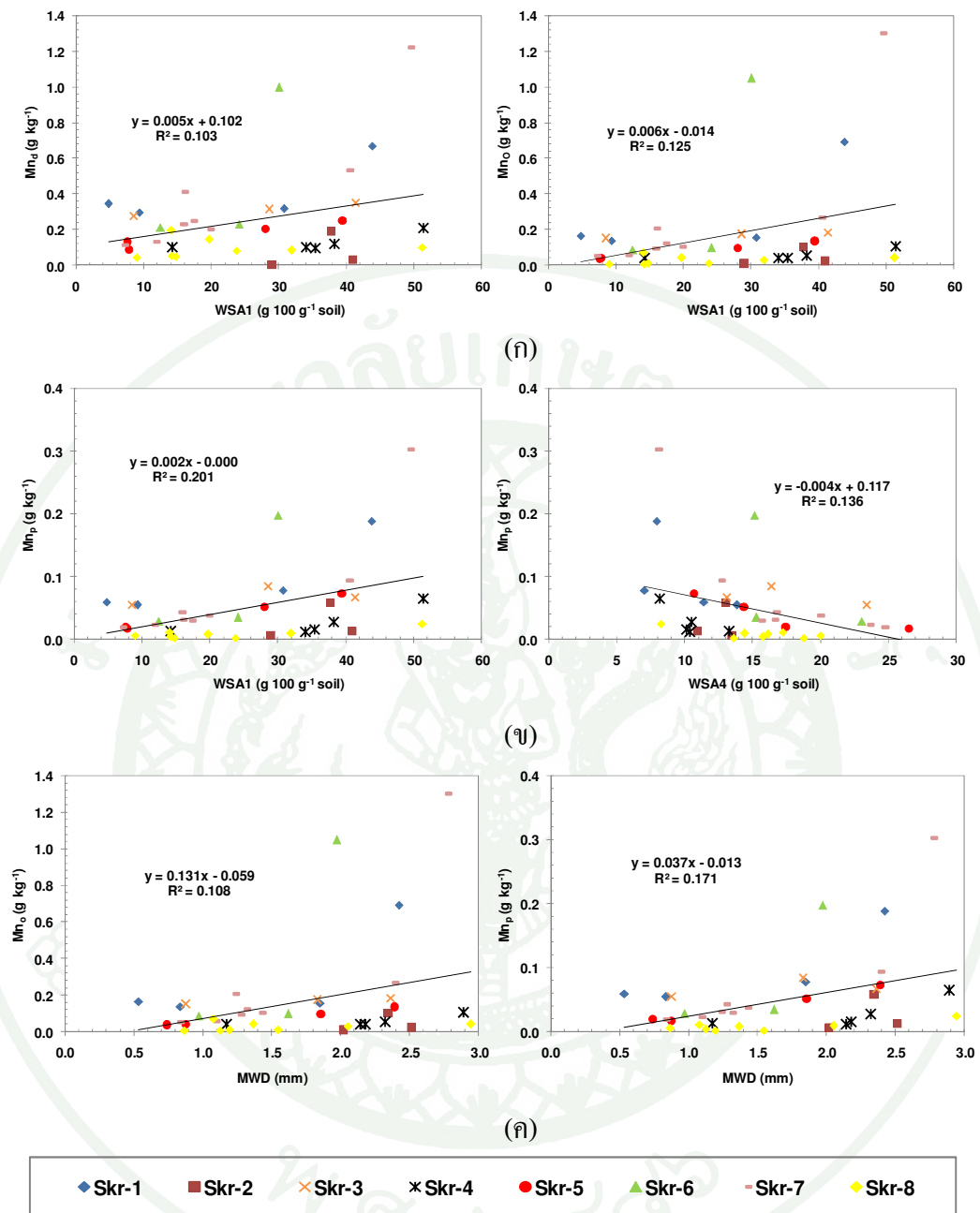
### 5.7 ความสัมพันธ์ระหว่างเม็ดดินและร่องน้ำกับปริมาณเหล็ก และแมงกานีสในรูปอิสระ อสัณฐาน และรูปสารอินทรีย์เชิงช้อน

เมื่อนำปริมาณเหล็ก และแมงกานีสในรูปอิสระ รูปอสัณฐาน และรูปสารอินทรีย์ เชิงช้อนมาหาสหสัมพันธ์กับเม็ดดินและร่องน้ำ พบว่า ปริมาณเหล็ก และแมงกานีสในรูปอิสระ อสัณฐาน และรูปสารอินทรีย์เชิงช้อนมีสหสัมพันธ์เชิงบวกอย่างมีนัยสำคัญยิ่งทางสถิติกับเม็ดดินและร่องน้ำขนาด 1-2 และ 0.5-1 มิลลิเมตร (WSA2 และ WSA3) แต่มีสหสัมพันธ์ในเชิงลบอย่างมีนัยสำคัญยิ่งทางสถิติกับเม็ดดินขนาด 0.1-0.25 มิลลิเมตร (WSA5) (ตารางที่ 4) (ภาพที่ 23 และ 24) สามารถอธิบายได้ว่า เหล็กและแมงกานีสออกใช้ด้วยการทำหน้าที่เป็นตัวเชื่อมระหว่างดินเหนียวและอินทรีย์วัตถุ เพื่อที่จะสร้างตัวเป็นเม็ดดิน (Colombo and Torrent, 1991; Zhang *et al.*, 1996; Kenedy *et al.* 2002; Wei *et al.*, 2003; Huang, 2004; Igwe and Stahr, 2004) นอกจากนี้ Taylor *et al.* (1983) ได้พบว่า แมงกานีสออกใช้ด้วยพื้นที่ผิวมาก แมงกานีสจึงอาจไปเชื่อมตัวกับดินเหนียวเป็นเม็ดดินได้ขณะที่โดยทั่วไปธรรมชาติของชาตุประจุบวกจะสร้างพันธะกับพื้นที่ผิวของดินเหนียว โดยอินทรีย์วัตถุ ดินเหนียว และชาตุประจุบวกจะเชื่อมต่อกันในลักษณะดังนี้ ดินเหนียว-(เหล็ก-แมงกานีส)-อินทรีย์วัตถุ-(เหล็ก-แมงกานีส)-ดินเหนียว (Edwards and Bremner, 1967)

ส่วนค่าอื่น ๆ ประกอบด้วย ปริมาณแคลเซียมที่สกัดได้ ปริมาณโซเดียมที่สกัดได้ ความจุแลกเปลี่ยนแคติโออน สภาพกรดที่สกัดได้ อัตราเรือยละความอิ่มตัวเบส สัมประสิทธิ์การนำน้ำของดินขณะอิ่มตัว เหล็กในรูปอิสระ และอะซูมิเนียมในรูปอิสระ รูปอสัณฐาน และรูปสารอินทรีย์เชิงช้อน เมื่อนำมาหาสหสัมพันธ์กับเม็ดดินและร่องน้ำ พบว่า ไม่มีความสัมพันธ์กันทางสถิติ



ภาพที่ 23 กราฟแสดงความสัมพันธ์ระหว่างเม็ดดินและรูปแบบการต่ำส่วนตัวของ Fe<sub>o</sub> และ Fe<sub>p</sub> กับปริมาณเหล็กที่สกัดได้ในรูปอสังหาริมทรี เชิงช่อง



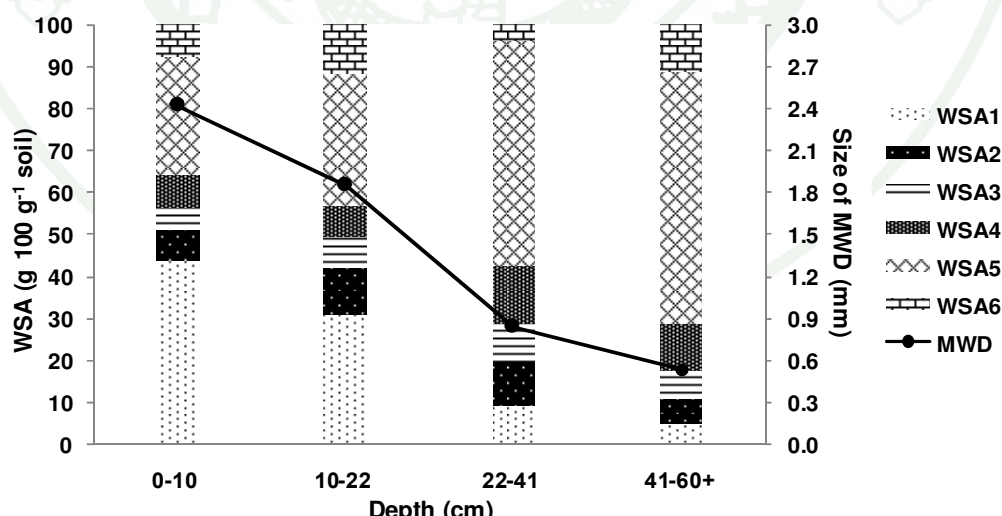
ภาพที่ 24 กราฟแสดงความสัมพันธ์ระหว่างเม็ดคินເສດීຍรน้ำขนาด 2-8 มิลลิเมตร (WSA1) (ก) กับปริมาณแมงกานีสที่สกัดได้ในรูปอิสระและรูปอสัมฐาน เม็ดคินເສດීຍรน้ำขนาด 2-8 มิลลิเมตร (WSA1) และเม็ดคินເສດීຍรน้ำขนาด 0.25-0.5 มิลลิเมตร (WSA4) (ข) กับปริมาณแมงกานีสที่สกัดได้ในรูปสารอินทรีย์เชิงซ้อน และขนาดเนลี่ยของเม็ดคินເສດීຍรน้ำ (MWD) (ค) กับปริมาณแมงกานีสที่สกัดได้ในรูปอสัมฐานและรูปสารอินทรีย์เชิงซ้อน

## 6. ปริมาณและขนาดเฉลี่ยของเม็ดดินเสถียรน้ำภายน้ำให้สภาพป่าต่างชนิด

การศึกษาชั้นหน้าตัดดินและทำการเก็บตัวอย่างตามชั้นกำเนิดดินเพื่อศึกษาการแยกกระจาย และขนาดเฉลี่ยของเม็ดดินเสถียรน้ำภายน้ำให้ป่าต่างชนิด ผลการศึกษามีดังนี้

### 6.1 ดินป่าเบญจพรรณทุติยกมิ (Skr-1)

การแยกกระจายของเม็ดดินเสถียรน้ำของดินของดินป่าเบญจพรรณทุติยกมิ พิจารณา ตามระดับความลึกภายน้ำตัดดิน พบร่วมกันว่า ปริมาณของเม็ดดินเสถียรน้ำขนาด 2-8 มิลลิเมตร (WSA1) มีแนวโน้มลดลงตามความลึกภายน้ำตัดดิน โดยมีค่าอยู่ในพิสัย 4.85-43.87 กรัมต่อ 100 กรัมดิน เม็ดดินเสถียรน้ำขนาด 0.1-0.25 มิลลิเมตร (WSA5) มีปริมาณเพิ่มขึ้นตามความลึกโดย มีค่าอยู่ในพิสัย 28.24-60.10 กรัมต่อ 100 กรัมดิน ส่วนเม็ดดินเสถียรน้ำขนาดอื่น ๆ ได้แก่ 1-2 (WSA2), 0.5-1 (WSA3), 0.25-0.5 (WSA4) และขนาดเล็กกว่า 0.1 มิลลิเมตร (WSA6) มีการแยก กระจายค่อนข้างแปรปรวนตามระดับความลึกภายน้ำตัดดิน โดยมีค่าอยู่ในพิสัย 6.14-11.24, 5.13-8.95, 7.07-13.90 และ 3.63-11.32 กรัมต่อ 100 กรัมดินตามลำดับ ขนาดเฉลี่ยของเม็ดดินเสถียร น้ำ (MWD) มีค่าอยู่ในพิสัย 0.54-2.42 มิลลิเมตร (ภาพที่ 25) โดยขนาดเฉลี่ยของเม็ดดินเสถียรน้ำใน ดินป่าเบญจพรรณนี้ มีแนวโน้มลดลงตามความลึก

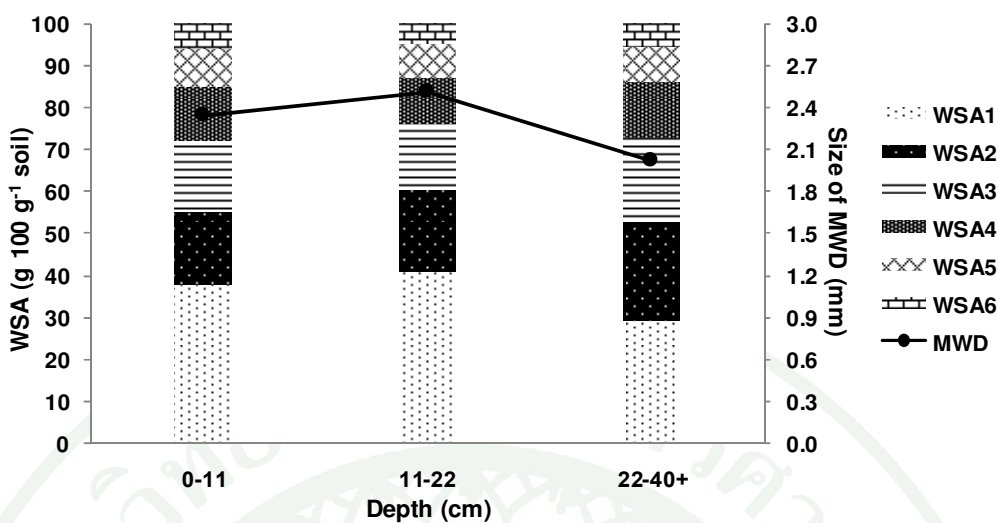


ภาพที่ 25 การแยกกระจายของเม็ดดินเสถียรน้ำของดินป่าเบญจพรรณทุติยกมิ (Skr-1) ตามระดับ ความลึกภายน้ำตัดดิน

การแจกกระจายและค่าขนาดเฉลี่ยของเม็ดคินเสถียรน้ำป่าเบญจพรรณทุติยภูมิทั้งในคืนบันและคืนล่าง มีความแตกต่างกันอย่างชัดเจน ในชั้นคืนบัน พ布ว่า ปริมาณเม็ดคินเสถียรน้ำขนาด 2-8 มิลลิเมตร (WSA1) มีปริมาณมากกว่าในชั้นคืนล่างอย่างชัดเจน สาเหตุที่เป็นเช่นนี้เนื่องจากคืนมีความแตกต่างของปริมาณการบ่อนอนอินทรีย์ที่เป็นตัวขับเคาะกับเม็ดคินขนาดเล็ก (เล็กกว่า 250 ไมโครเมตร) ทำให้เกิดเป็นเม็ดคินขนาดใหญ่ (ใหญ่กว่า 250 ไมโครเมตร) (Yamashita *et al.*, 2006; Bronick and Lal, 2005) การที่ชั้นคืนบันมีปริมาณการบ่อนอนอินทรีย์สูงเป็นการช่วยส่งเสริมให้เกิดเม็ดคินขนาดใหญ่ขึ้น ขณะที่ในชั้นคืนล่าง พ布ว่า ปริมาณเม็ดคินเสถียรน้ำขนาด 0.1-0.25 มิลลิเมตร (WSA5) มีปริมาณสูง เนื่องจากคืนป่าเบญจพรรณทุติยภูมิที่ทำการศึกษา มีปริมาณอนุภาคขนาดใหญ่มาก ขณะที่อนุภาคขนาดดินเหนียวมีอยู่น้อย ทำให้การจับตัวกับอินทรีย์ต่ำโดยอาจมีประจุบวกของเหล็กและ/หรืออะลูมิเนียมเป็นสะพานทำให้เกิดการสร้างตัวเป็นเม็ดคิน (Kenedy *et al.*, 2002; Wei *et al.*, 2003; Huang, 2004) ที่เกิดจากคืนเหนียวมีอยู่น้อย จึงไม่ส่งเสริมให้เกิดการสร้างตัวของเม็ดคินที่มีขนาดใหญ่ขึ้น

## 6.2 คินภายในพื้นที่ป่าเต็งรังบริเวณตอนบนของที่ลาดเชิงเขาตอนล่าง (Skr-2)

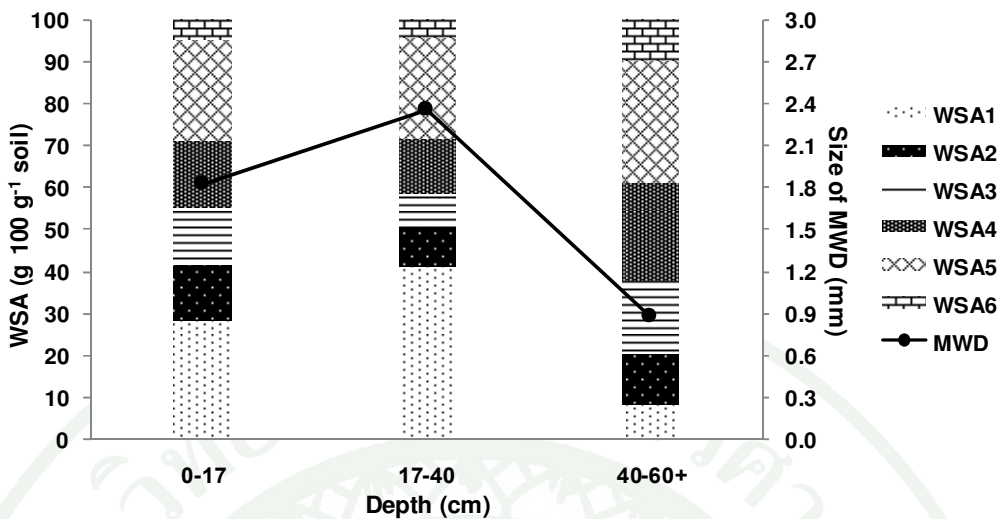
การแจกกระจายของเม็ดคินเสถียรน้ำของคินป่าเต็งรังบริเวณตอนบนของที่ลาดเชิงเขาตอนล่าง พิจารณาตามระดับความลึกภายในหน้าดิน พบว่า ปริมาณเม็ดคินเสถียรน้ำขนาด 2-8 มิลลิเมตร (WSA1) มีค่าอยู่ในพิสัย 29.03-41.01 กรัมต่อ 100 กรัมดิน ซึ่งเป็นปริมาณที่เด่นกว่าเม็ดคินเสถียรน้ำขนาดอื่น ๆ โดยที่เม็ดคินเสถียรน้ำขนาดอื่น ๆ อันประกอบด้วยเม็ดคินเสถียรน้ำขนาด 1-2 (WSA2), 0.5-1 (WSA3), 0.25-0.5 (WSA4), 0.1-0.25 (WSA5) และขนาดเล็กกว่า 0.1 มิลลิเมตร (WSA6) มีปริมาณเม็ดคินเสถียรน้ำอยู่ในพิสัย 17.51-23.40, 15.89-20.52, 10.99-13.51, 8.15-9.11 และ 4.57-5.69 กรัมต่อ 100 กรัมดินตามลำดับ ขณะที่ค่าขนาดเฉลี่ยของเม็ดคินเสถียรน้ำ (MWD) มีค่าอยู่ในพิสัย 2.02-2.52 มิลลิเมตร (ภาพที่ 26) โดยขนาดเฉลี่ยของเม็ดคินเสถียรน้ำมีค่าเพิ่มขึ้นและลดลงไปในทิศทางเดียวกันกับปริมาณของเม็ดคินเสถียรน้ำขนาด 2-8 มิลลิเมตร (WSA1)



ภาพที่ 26 การแจกกระจายของเม็ดคินเสถียรน้ำของดินป่าเต็งรังบริเวณตอนบนของที่ลาดเชิงเขาตอนล่าง (Skr-2) ตามระดับความลึกภายในหน้าตัดดิน

### 6.3 ดินภัยได้พื้นที่ป่าเต็งรังบริเวณตอนบนของที่ลาดเชิงเขาตอนกลาง (Skr-3)

การแจกกระจายของเม็ดคินเสถียรน้ำในดินป่าเต็งรังบริเวณตอนบนของที่ลาดเชิงเขาตอนกลาง พิจารณาตามระดับความลึกภายในหน้าตัดดิน พบว่า ปริมาณเม็ดคินเสถียรน้ำขนาด 2-8 และ 0.1-0.25 มิลลิเมตร (WSA1 และ WSA5) มีปริมาณมากกว่าเม็ดคินเสถียรน้ำขนาดอื่น ๆ โดยมีค่าอยู่ในพิสัย 8.45-41.32 และ 24.05-29.07 กรัมต่อ 100 กรัมดินตามลำดับ ขณะที่ปริมาณเม็ดคินขนาดอื่น ๆ คือ เม็ดคินเสถียรน้ำขนาด 1-2 (WSA2), 0.5-1 (WSA3), 0.25-0.5 (WSA4) และขนาดเล็กกว่า 0.1 มิลลิเมตร (WSA6) มีค่าอยู่ในพิสัย 9.20-13.03, 8.19-13.48, 13.09-23.39 และ 4.15-9.64 กรัมต่อ 100 กรัมดินตามลำดับ ขนาดเฉลี่ยของเม็ดคินเสถียรน้ำ (MWD) มีค่าอยู่ในพิสัย 0.88-1.83 มิลลิเมตร (ภาพที่ 27) โดยขนาดเฉลี่ยของเม็ดคินเสถียรน้ำมีค่าเพิ่มขึ้นและลดลงไปในทิศทางเดียวกันกับปริมาณของเม็ดคินเสถียรน้ำขนาด 2-8 มิลลิเมตร (WSA1)



ภาพที่ 27 การแจกกระจายของเม็ดดินสีบรอนช์ของดินป่าเต็งรังบริเวณตอนบนของที่ลาดเชิงเขาตอนกลาง (Skr-3) ตามระดับความลึกภัยในหน้าตัดดิน

ภัยได้ป่าเต็งรังทั้งสองบริเวณ (Skr-2 และ Skr-3) มีลักษณะการแจกกระจายของเม็ดดินสีบรอนช์ที่คล้ายคลึงกัน กล่าวคือ ปริมาณเม็ดดินสีบรอนช์ขนาด 2-8 มิลลิเมตร (WSA1) ในตอนล่างของชั้นดินบนจะมีค่าสูงกว่าในตอนบนของชั้นดิน ทั้งนี้เนื่องจาก เม็ดดินที่มีขนาดใหญ่กว่า 250 ไมโครเมตร จะเกิดการสร้างตัวจากเม็ดดินที่มีขนาดเล็กกว่า 250 ไมโครเมตร โดยการเกะตัว กับชิ้นส่วนของรากพืช (Vrdoljak and Sposito, 2002) โดยภัยได้สภาพป่าเต็งรังที่มีไม้พื้นล่างที่สำคัญ คือ หญ้าเพ็ก (*Arundinaria pusilla* Cheval & A. Camus) (นับทั้งหมด 2542) กระบวนการสร้างตัวเด่นของเม็ดดินภัยได้ป่าเต็งรังทั้งสองบริเวณนี้ จึงเกิดจากการเกะตัวกันของเม็ดดินกับรากหญ้าเพ็กซึ่งมีอยู่มากในชั้นดินบนตอนล่าง เป็นเหตุให้ปริมาณเม็ดดินสีบรอนช์ขนาด 2-8 มิลลิเมตร (WSA1) ในตอนล่างของชั้นดินบนมีปริมาณสูงกว่าในตอนบนของชั้นดิน

#### 6.4 ดินในพื้นที่ระหว่างป่าเต็งรังกับป่าดินแด่ (ecotone) (Skr-4)

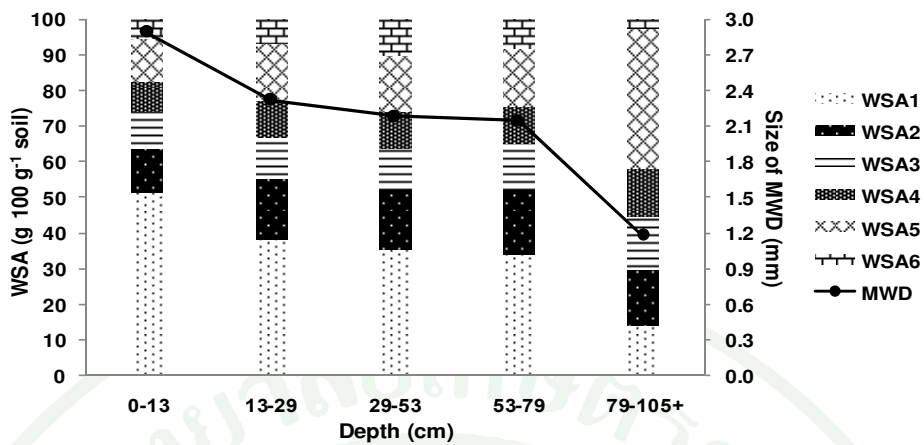
การแจกกระจายของเม็ดดินสีบรอนช์ของดินในพื้นที่ระหว่างป่าเต็งรังกับป่าดินแด่ พบว่า ปริมาณเม็ดดินสีบรอนช์ขนาด 2-8 มิลลิเมตร (WSA1) มีแนวโน้มลดลงตามความลึก โดยมีค่าอยู่ในพิสัย 14.21-51.45 กรัมต่อ 100 กรัมดิน ขณะที่ ปริมาณเม็ดดินสีบรอนช์ขนาดอื่น ๆ ประกอบด้วยเม็ดดินสีบรอนช์ขนาด 1-2 (WSA2), 0.5-1 (WSA3), 0.25-0.5 (WSA4) และขนาดเล็กกว่า 0.1 มิลลิเมตร (WSA6) มีการแจกกระจายอยู่ในพิสัยที่

โดยมีค่าอยู่ในพิสัย 12.51-18.13, 10.08-15.33, 8.20-13.30 และ 2.24-5.59 กรัมต่อ 100 กรัมดิน ตามลำดับ ยกเว้นเม็ดดินเสถียรน้ำขนาด 0.1-0.25 มิลลิเมตร (WSA5) ที่มีปริมาณเม็ดดินเสถียรน้ำอยู่ในพิสัย 12.17-39.55 กรัมต่อ 100 กรัมดิน โดยในตอนล่างของชั้นดินล่างจะมีปริมาณของเม็ดดินเสถียรน้ำเท่ากับ 39.55 กรัมต่อ 100 กรัมดิน ขนาดเฉลี่ยของเม็ดดินเสถียรน้ำ (MWD) มีค่าอยู่ในพิสัย 1.18-2.89 มิลลิเมตร (ภาพที่ 28)

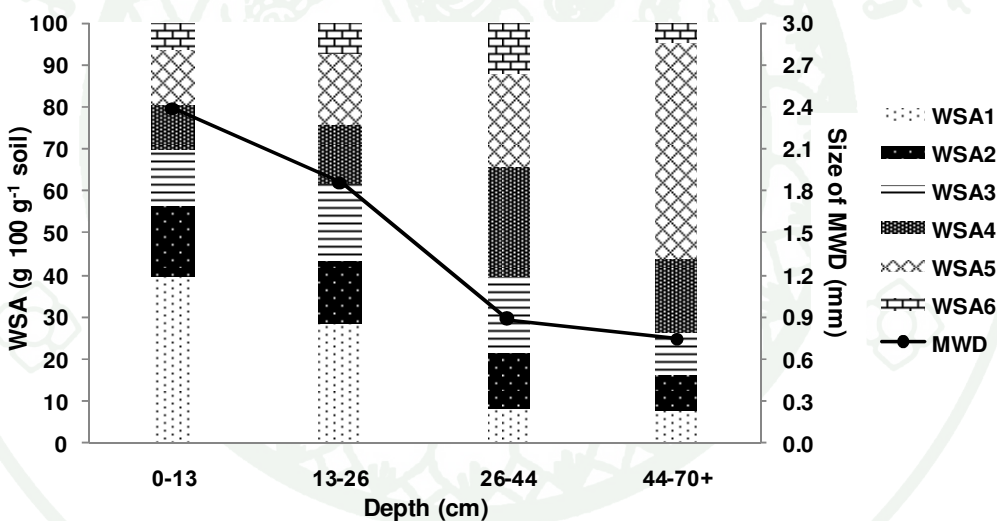
ดินในพื้นที่ระหว่างป่าดึรังและป่าดิบแล้ง (Skr-4) เม็ดดินเสถียรน้ำขนาด 2-8 มิลลิเมตร (WSA1) มีปริมาณเด่นในชั้นดินบน และในชั้นดินที่ลึกลงไปมีปริมาณลดลงตามลำดับ เม็ดดินเสถียรน้ำขนาดอื่น ๆ มีปริมาณที่ไม่แตกต่างกัน แสดงให้เห็นว่าอิทธิพลของอินทรีย์ตkul อันเกิดจากการสะสมของเศษซากใบที่ร่วงหล่นและรากพืชของไม้พื้นล่างในบริเวณพื้นที่ที่ทำการศึกษามีผลต่อปริมาณของเม็ดดินเสถียรน้ำขนาด 2-8 มิลลิเมตร (WSA1)

#### 6.5 ดินในพื้นที่ป่าดิบแล้งพื้นฟูบริเวณส่วนโถงนูนของที่ลาดเชิงเขาตอนกลาง (Skr-5)

การแจกกระจายของเม็ดดินเสถียรน้ำของดินป่าดิบแล้งพื้นฟูส่วนที่ได้รับอิทธิพลจาก การกร่อนที่บริเวณผิวน้ำของที่ลาดเชิงเขา พิจารณาตามระดับความลึกภายในหน้าตัดดิน พบว่า ปริมาณเม็ดดินเสถียรน้ำขนาด 2-8 มิลลิเมตร (WSA1) มีปริมาณที่แตกต่างกันอย่างชัดเจน ระหว่าง ชั้นดินบนและชั้นดินล่าง โดยมีค่าอยู่ในพิสัย 28.12-39.49 และ 7.6.5-7-7.95 กรัมต่อ 100 กรัมดิน ส่วนปริมาณเม็ดดินเสถียรน้ำขนาด 1-2 (WSA2), 0.5-1 (WSA3), 0.25-0.5 (WSA4), 0.1-0.25 (WSA5) และเม็ดดินเสถียรน้ำขนาดเล็กกว่า 0.1 มิลลิเมตร (WSA6) มีค่าอยู่ในพิสัย 8.52-16.79, 10.10-13.63, 10.71-26.53, 13.30-51.55 และ 4.68-12.03 กรัมต่อ 100 กรัมดิน ขนาดเฉลี่ยของเม็ดดินเสถียรน้ำ (MWD) มีแนวโน้มลดลงตามความลึก โดยมีค่าอยู่ในพิสัย 0.75-2.40 มิลลิเมตร (ภาพที่ 29)



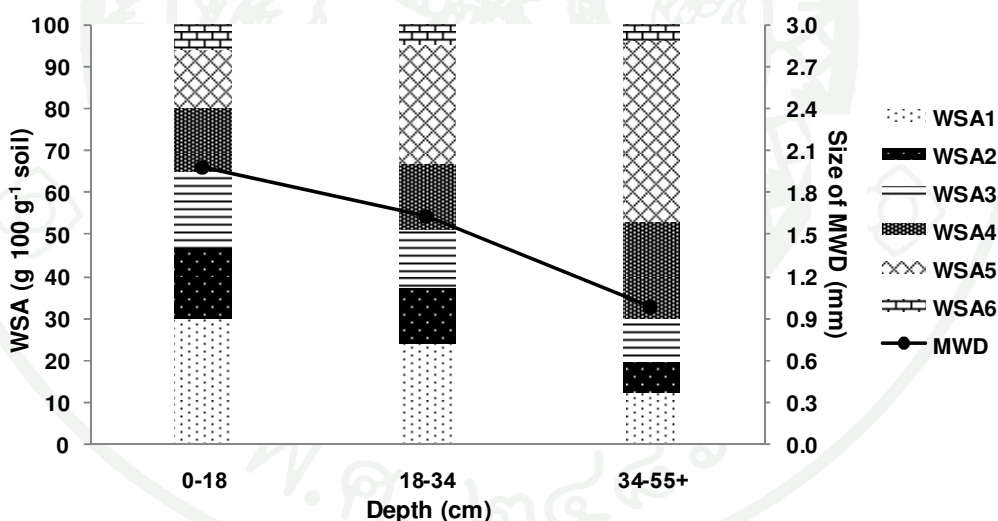
ภาพที่ 28 การแจกกระจายของเม็ดดินสีขาวน้ำในดินพื้นที่ระหว่างป่าเต็งรังกับป่าดิบแล้ง (Skr-4)  
ตามระดับความลึกภายในหน้าตัดดิน



ภาพที่ 29 การแจกกระจายของเม็ดดินสีขาวน้ำในดินพื้นที่ป่าดิบแล้งพื้นฟู บริเวณส่วนโถงนูนของ  
ที่ลาดเชิงเขาตอนกลาง (Skr-5) ตามระดับความลึกภายในหน้าตัดดิน

## 6.6 ดินในพื้นที่ป่าดิบแล้งฟืนฟูส่วนที่ได้รับอิทธิพลจากการกร่อนที่บริเวณผิวน้ำของที่ลาดเชิงเขา (Skr-6)

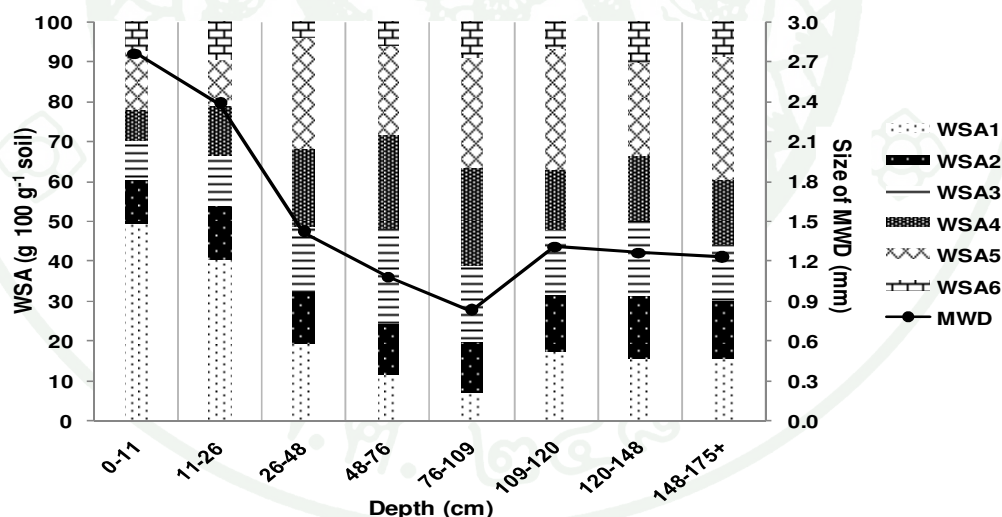
การแจกกระจายของเม็ดดินเสถียรน้ำของดินพื้นที่ป่าดิบแล้งฟืนฟูส่วนที่ได้รับอิทธิพลจากการกร่อนที่บริเวณผิวน้ำของที่ลาดเชิงเขา พิจารณาตามระดับความลึกดินภายน้ำตัดดินพบว่า ปริมาณเม็ดดินเสถียรน้ำขนาด 2-8 มิลลิเมตร (WSA1) มีแนวโน้มลดลงตามความลึก ส่วนปริมาณเม็ดดินเสถียรน้ำขนาด 0.1-0.25 มิลลิเมตร (WSA5) มีแนวโน้มเพิ่มขึ้นตามความลึก โดยปริมาณเม็ดดินเสถียรน้ำทั้งสองขนาดมีค่าอยู่ในพิสัย 12.51-30.05 และ 13.94-43.36 กรัมต่อ 100 กรัมดินตามลำดับ ขณะที่ปริมาณเม็ดดินเสถียรน้ำขนาด 1-2 (WSA2), 0.5-1 (WSA3), 0.25-0.5 (WSA4) และขนาดเม็ดดินเสถียรน้ำขนาดเล็กกว่า 0.1 มิลลิเมตร (WSA6) มีค่าอยู่ในพิสัย 7.08-16.84, 10.41-18.03, 15.18-23.07 และ 3.57-5.97 กรัมต่อ 100 กรัมดินตามลำดับ ขนาดเฉลี่ยของเม็ดดินเสถียรน้ำ (MWD) มีแนวโน้มลดลงตามความลึกโดยมีค่าอยู่ในพิสัย 0.97-1.97 มิลลิเมตร (ภาพที่ 30)



ภาพที่ 30 การแจกกระจายของเม็ดดินเสถียรน้ำ ภายน้ำพื้นที่ป่าดิบแล้งฟืนฟูส่วนที่ได้รับอิทธิพลจากการกร่อนที่บริเวณผิวน้ำของที่ลาดเชิงเขา (Skr-6) ตามระดับความลึกดินภายน้ำตัดดิน

## 6.7 ดินในพื้นที่ป่าดิบแล้งพื้นฟู ตอนล่างของที่ลาดเชิงเขา (Skr-7)

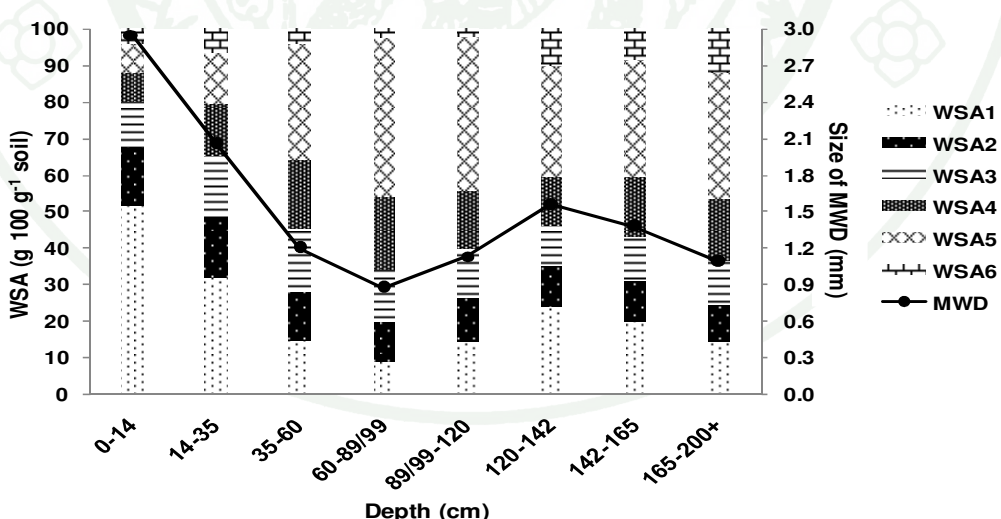
การแจกกระจายของเม็ดดินเสถียรน้ำในดินพื้นที่ป่าดิบแล้งพื้นฟูตอนล่างของที่ลาดเชิงเขา พิจารณาตามระดับความลึกภายในหน้าตัดดิน พบว่า ปริมาณเม็ดดินเสถียรน้ำขนาด 2-8 มิลลิเมตร (WSA1) มีแนวโน้มลดลงตามความลึก ตั้งแต่ความลึก 0-109 เซนติเมตร โดยมีค่าอยู่ในพิสัย 6.89-49.30 กรัมต่อ 100 กรัมดิน แต่หลังจากความลึก 109 เซนติเมตร ไปจนถึงความลึก 175+ เซนติเมตร ปริมาณเม็ดดินเสถียรน้ำขนาด 2-8 มิลลิเมตร (WSA1) จะมีปริมาณเพิ่มขึ้นอีกรัง โดยมีค่าอยู่ในพิสัย 15.61-17.11 กรัมต่อ 100 กรัมดิน ขณะที่ปริมาณเม็ดดินเสถียรน้ำขนาดอื่น ๆ ประกอบด้วย เม็ดดินเสถียรน้ำขนาด 1-2 (WSA2), 0.5-1 (WSA3), 0.25-0.5 (WSA4), 0.1-0.25 (WSA5) และเม็ดดินเสถียรน้ำขนาดเล็กกว่า 0.1 มิลลิเมตร (WSA6) มีการแจกกระจายค่อนข้างแปรปรวนภายในหน้าตัดดิน โดยมีค่าอยู่ในพิสัย 10.93-15.53, 10.10-18.83, 7.93-24.60, 11.69-30.76 และ 3.84-10.19 กรัมต่อ 100 กรัมดินตามลำดับ ขนาดเฉลี่ยของเม็ดดินเสถียรน้ำ (MWD) มีแนวโน้มเพิ่มขึ้นและลดลงไปในทิศทางเดียวกับปริมาณเม็ดดินเสถียรน้ำขนาด 2-8 มิลลิเมตร (WSA1) โดยมีค่าอยู่ในพิสัย 0.83-2.76 มิลลิเมตร (ภาพที่ 31)



ภาพที่ 31 การแจกกระจายของเม็ดดินเสถียรน้ำพื้นที่ของดินป่าดิบแล้งพื้นฟู ตอนล่างของที่ลาดเชิงเขา (Skr-7) ตามระดับความลึกดินภายในหน้าตัดดิน

### 6.8 ดินป่าดิบแล้งไม่ถูกรบกวน ตอนบนของที่ลาดเชิงเขาตอนกลาง (Skr-8)

การแจกกระจายของเม็ดคินเสถียรนำของดินพื้นที่ป่าดิบแล้งไม่ถูกรบกวนตอนบนของที่ลาดเชิงเขาตอนกลาง พิจารณาตามระดับความลึกภายในหน้าตัดดิน พบว่า เม็ดคินเสถียรนำขนาด 2-8 มิลลิเมตร (WSA1) ภายในความลึกระหว่าง 0-89/99 เซนติเมตรลงไปมีแนวโน้มลดลงตามความลึก ในขณะที่เม็ดคินเสถียรนำขนาด 0.1-0.25 มิลลิเมตร (WSA5) กลับมีแนวโน้มเพิ่มขึ้นตามความลึกที่ระดับความลึกดินเดียวกัน โดยปริมาณเม็ดคินเสถียรนำทั้ง 2 ขนาด ที่ระดับความลึกข้างต้น มีค่าอยู่ในพิสัย 9.01-51.30 และ 7.61-43.51 กรัมต่อ 100 กรัมดินตามลำดับ แต่หลังจากความลึก 88/99-200+ เซนติเมตร ปริมาณเม็ดคินเสถียรนำขนาด 2-8 มิลลิเมตร (WSA1) จะมีปริมาณเพิ่มขึ้นอีกครั้ง ในขณะที่ปริมาณเม็ดคินเสถียรนำขนาด 0.1-0.25 มิลลิเมตร (WSA5) จะมีปริมาณลดลงในระดับความลึกดังกล่าว โดยปริมาณเม็ดคินเสถียรนำทั้ง 2 ขนาดที่ระดับความลึก 88/99-200+ เซนติเมตร มีค่าอยู่ในพิสัย 14.14-23.77 และ 32.08-30.55 กรัมต่อ 100 กรัมดิน ส่วนขนาดเม็ดคินเสถียรนำขนาดอื่น ๆ ประกอบด้วย เม็ดคินเสถียรนำขนาด 1-2 (WSA2), 0.5-1 (WSA3), 0.25-0.5 (WSA4) และเม็ดคินเสถียรนำขนาดเล็กกว่า 0.1 มิลลิเมตร (WSA6) มีการแจกกระจายค่อนข้างแปรปรวนตลอดหน้าตัดดิน โดยมีค่าอยู่ในพิสัย 10.11-16.45, 10.61-17.24, 8.28-20.01 และ 2.21-12.07 กรัมต่อ 100 กรัมดิน ขนาดเฉลี่ยของเม็ดคินเสถียรนำของเม็ดคินเสถียรนำ (MWD) มีค่าอยู่



ภาพที่ 32 การแจกกระจายของเม็ดคินเสถียรนำของดินพื้นที่ป่าดิบแล้งไม่ถูกรบกวน ตอนบนของที่ลาดเชิงเขาตอนกลาง (Skr-8) ตามระดับความลึกดินภายในหน้าตัดดิน

ในช่วงพิสัย 0.87-2.95 มิลลิเมตร โดยขนาดเดียวกันของเม็ดดินมีแนวโน้มเพิ่มขึ้นและลดลงในหน้าตัดดินสัมพันธ์กับปริมาณของเม็ดดินสโตอิร์นาด 2-8 มิลลิเมตร (WSA1) (ภาพที่ 32)

การแจกกระจายของเม็ดดินสโตอิร์นาดในดินป่าดิบแล้ง บริเวณที่ทำการศึกษามีทั้งป่าดิบแล้งฟืนฟูที่เคยมีการรบกวนมาก่อน (Skr-5, Skr-6 และ Skr-7) และป่าดิบแล้งที่อยู่ในสภาพธรรมชาติไม่มีการรบกวน (Skr-8) ผลการศึกษา พบว่า เม็ดดินสโตอิร์นาด 2-8 มิลลิเมตร (WSA1) ในชั้นดินบนของป่าดิบแล้งฟืนฟูทั้ง 3 บริเวณมีปริมาณน้อยกว่าปริมาณในชั้นดินบนของป่าดิบแล้งธรรมชาติ (Skr-8) ซึ่งสาเหตุน่าจะเกิดจากอินทรีย์วัตถุที่เกิดการสะสมในปริมาณที่แตกต่างกัน ซึ่งการที่ปริมาณอินทรีย์วัตถุมีความสัมพันธ์กับการสร้างตัวของเม็ดดิน (Tisdall and Oades, 1982; Beare *et al.*, 1994; Six *et al.*, 2002) จึงมีผลทำให้เม็ดดินมีปริมาณน้อย ลดคลื่องกับผลการศึกษาความสัมพันธ์ระหว่างการบอนอินทรีย์กับเม็ดดินสโตอิร์นาดต่าง ๆ ในดินป่าไม้ (ตารางที่ 5) ในตอนล่างของชั้นดินล่างบริเวณป่าดิบแล้งฟืนฟูและป่าดิบแล้งที่อยู่ในสภาพธรรมชาติ (Skr-7 และ Skr-8) ปริมาณเม็ดดินสโตอิร์นาด 2-8 (WSA1), 1-2 (WSA2) มิลลิเมตรมีแนวโน้มเพิ่มขึ้น อาจเกิดจากไออกอนของเหล็กและแมงกานีสเกิดการจับตัวกับดินเหนียวและอินทรีย์วัตถุเพื่อสร้างตัวเป็นเม็ดดินดินนาดดังกล่าวขึ้น (Edwards and Bremner, 1967)

## 7. การแจกกระจายของคาร์บอนอินทรีย์ในเม็ดดินสโตอิร์นาดต่าง ๆ ภายใต้สภาพป่าต่างชนิด

การแจกกระจายของคาร์บอนอินทรีย์ในเม็ดดินสโตอิร์นาดแต่ละขนาด โดยแยกเป็นชั้นดินบน (Topsoil, ชั้น A ทั้งหมด) และชั้นดินล่างตอนบน (เฉพาะชั้น Bt หรือ ชั้น Bt1 เท่านั้น) พบว่า ปริมาณคาร์บอนอินทรีย์ในเม็ดดินสโตอิร์นาดแต่ละขนาดของชั้นดินบนและชั้นดินล่าง มีค่าดังนี้ (ตารางที่ 4)

### 7.1 ชั้นดินบน (topsoil, A horizon)

ในชั้นดินบนของดินที่ทำการศึกษาทั้ง 8 บริเวณ พบว่า ภายใต้สภาพป่าต่างชนิด ปริมาณของคาร์บอนอินทรีย์ในเม็ดดินสโตอิร์นาดมีปริมาณที่แตกต่างกัน (ตารางที่ 5) และเมื่อแยกเป็นแต่ละบริเวณแล้วพิจารณาปริมาณคาร์บอนอินทรีย์ในแต่ละขนาดของเม็ดดินสโตอิร์นาดพบว่า ปริมาณของคาร์บอนอินทรีย์ในแต่ละขนาดของเม็ดดินสโตอิร์นาดมีความแตกต่างกันเพียงเล็กน้อย โดยมีลักษณะแปรปรวนไม่แน่นอน เช่น ภายใต้สภาพป่าเบญจพรรณทุติยภูมิ (Skr-1)

ตารางที่ 5 ปริมาณคาร์บอนอินทรีย์ในเม็ดคินเสถียรน้ำหนาดต่างๆ ของชั้นดินบน (Topsoil, A horizon) และชั้นดินล่างตอนบน (ชั้น Bt หรือ ชั้น Bt1)

	WSA1 (-----)	WSA2	Soil organic carbon WSA3                    WSA4 g kg <sup>-1</sup>			WSA5	WSA6
			WSA3	WSA4			
<b>Topsoil, A horizon</b>							
Skr-1	8.81	9.98	11.87	12.34		7.02	10.80
Skr-2	15.50	22.22	17.49	17.30		15.30	13.95
Skr-3	19.29	15.88	18.59	18.13		19.18	20.34
Skr-4	9.90	12.88	15.24	14.33		14.68	13.46
Skr-5	12.69	12.78	16.50	16.33		12.11	11.33
Skr-6	15.11	14.91	14.53	13.56		11.43	12.40
Skr-7	8.33	9.01	10.07	10.56		8.72	6.88
Skr-8	19.29	19.29	18.59	19.06		13.95	11.43
<b>Subsoil (Bt or Bt1)</b>							
Skr-1	3.29	3.29	3.68	3.20		3.49	4.65
Skr-2	13.27	12.98	13.17	13.17		12.78	11.14
Skr-3	14.33	13.95	15.69	14.53		13.17	19.37
Skr-4	6.20	6.97	7.75	7.55		7.36	6.97
Skr-5	7.36	7.75	7.94	6.97		5.81	6.78
Skr-6	5.42	6.20	7.17	6.39		5.42	5.23
Skr-7	6.20	5.23	5.23	4.07		3.49	3.68
Skr-8	14.14	14.33	13.75	13.95		11.62	12.01

หมายเหตุ WSA1 = เม็ดคินเสถียรน้ำหนาด 2-8 มม., WSA2 = เม็ดคินเสถียรน้ำหนาด 1-2 มม., WSA3 = เม็ดคินเสถียรน้ำหนาด 0.5-1 มม., WSA4 = เม็ดคินเสถียรน้ำหนาด 0.25-0.5 มม., WSA5 เม็ดคินเสถียรน้ำหนาด 0.1-0.25 มม., WSA6 = เม็ดคินเสถียรน้ำหนาด 0.1 มม.

ปริมาณคาร์บอนอินทรีย์จะน้อยที่สุดในเม็ดคินเสถียรน้ำหนาด 0.1-0.25 มิลลิเมตร (WSA5) ขณะที่คินในป่าเดิมรังทึ้งสองบริเวณ (Skr-2 และ Skr3) ปริมาณคาร์บอนอินทรีย์มากที่สุดในเม็ดคินเสถียรน้ำหนาด 1-2 มิลลิเมตร (WSA2) อาจเกิดจากการที่คินบนมีการสะสมของอินทรีย์ต่ำมาก การย่อยสลายและเข้ารวมกับเม็ดคินเสถียรน้ำแต่ละหนาด ไม่มีความสม่ำเสมอ กัน เมื่อเป็นเช่นนี้ผลที่ตามมาคือปริมาณคาร์บอนอินทรีย์ในเม็ดคินแต่ละหนาดจึงมีปริมาณที่แตกต่างกัน แสดงให้เห็นว่าปริมาณอินทรีย์คาร์บอนในเม็ดคินที่มีขนาดแตกต่างกัน เมื่อพิจารณาเปรียบเทียบระหว่างป่าต่างชนิดจะไม่มีความสัมพันธ์ใด ๆ ที่ชัดเจน

อย่างไรก็ตาม เมื่อพิจารณาโดยภาพรวมของดินแต่ละบริเวณเปรียบเทียบกัน พบว่า ปริมาณการ์บอนอินทรีย์ในดินป่าเบญจพรและทุติยกูมิ (Skr-1) และป่าดิบแล้งพื้นฟู (Skr-7) มีค่า ค่อนข้างต่ำกว่าดินป่าอื่นๆ ที่ทำการศึกษา โดยมีค่าอยู่ในพิสัย 7.02-12.34 และ 6.88-10.56 กรัมต่อ กิโลกรัมตามลำดับ และมีแนวโน้มไปในทิศทางเดียวกัน คือ การ์บอนอินทรีย์ที่สะสมในเม็ดดินมี ปริมาณมากในเม็ดดินขนาด 0.5-1 และ 0.25-0.5 มิลลิเมตร (WSA3 และ WSA4)

ในกรณีของดินป่าดิบแล้งพื้นฟู (Skr-7) ซึ่งมีเนื้อละเอียดกว่า (ดินร่วนเหนียวถึงดิน ร่วน) มีปริมาณการ์บอนอินทรีย์น้อยที่สุดในเกือบทุกขนาดของเม็ดดินและมีค่าอยู่ต่ำกว่า ปริมาณ เม็ดดินเหล่านี้มีไคล์เดียงหรือมากกว่าในหลาย ๆ ดินที่ทำการศึกษา แสดงให้เห็นว่า บทบาทของ การ์บอนอินทรีย์ต่อการสร้างตัวของเม็ดดินและมีค่าอยู่ต่ำกว่าในดินนี้มีอยู่น้อย เม็ดดินที่เกิดขึ้นเป็นผลจาก อิทธิพลของปัจจัยอื่น โดยเฉพาะแคลเซียม เนื่องจาก ดินนี้มีค่าพิเชชในชั้นดินบนสูงที่สุดเท่ากับ ( $\text{pH } 5.5-5.8$ ) ซึ่งเกิดจากการที่ดินมีปริมาณแคลเซียมที่สักดิ์ได้อยู่สูง ( $1.66-6.46$  เชนติโมลต่อ กิโลกรัม) แคลเซียมที่พบมากในดินนี้จึงน่าจะมีบทบาทสำคัญต่อการสร้างตัวของเม็ดดินและมีค่าอยู่ต่ำกว่า เนื่องจาก แคลเซียม ทำตัวเป็นสะพานเชื่อมอินทรีวัตถุและอนุภาคดินเหนียวเข้าด้วยกันจนเกิดเป็น เม็ดดิน (NRCS, 2008)

สำหรับดินป่าดิบแล้งธรรมชาติ (Skr-8) ซึ่งพบว่ามีปริมาณการ์บอนอินทรีย์ในเม็ดดิน และมีค่าอยู่ต่ำกว่าดินป่ากวางถึงใหญ่ (WSA1-WSA4) โดยภาพรวมอยู่สูงกว่าดินอื่นอื่น ๆ โดยมีค่าอยู่ ในพิสัย  $18.59-19.29$  กรัมต่อ กิโลกรัม และแสดงให้เห็นว่า การ์บอนอินทรีย์มีบทบาทที่สำคัญต่อการ สร้างตัวของเม็ดดินและมีค่าอยู่ต่ำกว่าในดินนี้ ซึ่งเป็นดินที่มีเนื้อค่อนข้างละเอียดกว่าดินอื่น (ดินร่วนเหนียว) และด้วยลักษณะโครงสร้างสัมบูรณ์พิเศษในป่าชนิดนี้ที่มีความหลากหลายและความหนาแน่นของพืช สูง ทำให้มีมวลชีวภาพเหนือและได้พื้นดินสูง (สาพิศ, 2548) เศษเหลือของมวลชีวภาพที่ตกลง สะสมบนดิน เมื่อถูกย่อยแล้วจะเป็นอินทรีวัตถุซึ่งพบสูงถึง  $31.3$  กรัมต่อ กิโลกรัมในชั้นดินบน กี น่าจะมีส่วนช่วยทำให้ในลักษณะสารเชื่อมเม็ดดินได้เป็นอย่างดี (Caravaca *et al.*, 2004; Pinheiro *et al.*, 2004; Tisdall and Oades, 1982) เพราะพืชพรรณดังกล่าวส่วนใหญ่เป็นพืชใบเลี้ยงคู่ที่ถูกย่อย สลายได้รวดเร็วแล้วจะให้การ์บอนอินทรีที่มีขนาดเล็ก สำหรับในเม็ดดินและมีค่าอยู่ต่ำกว่า น้ำที่ตกลง ไป บทบาทของการ์บอนอินทรีจะมีอยู่น้อยเนื่องจากมีปริมาณน้อย และการจับตัวของเม็ดดินน่าจะเกิด จากอิทธิพลของอนุภาคขนาดดินเหนียวร่วมกับออกไซด์ของเหล็กและอะลูมิเนียมมากกว่า (Mbagwu, 1989; Mbagwu and Bazzoffi, 1988)

ส่วนดินป่าเต็งรังทั้งสองบริเวณ (Skr-2 และ Skr-3) พบかる์บอนอินทรีย์ในปริมาณค่อนข้างสูงกว่าดินอื่น เช่นกัน ทั้งนี้เป็นผลมาจากการดินทั้งสองบริเวณมีหินปูนพื้กชั้นหนาแน่น ปริมาณการบอนอินทรีย์ที่มีอยู่สูงในเม็ดดินเสถียรน้ำส่วนใหญ่จะเกิดจากการย่อยสลายของรากฟ่อของหินปูนดังกล่าวซึ่งมีอยู่เป็นจำนวนมาก แสดงให้เห็นว่า ชนิดของพืชพรรณมีอิทธิพลสูงต่อการสร้างตัวของเม็ดดินเสถียรน้ำโดยเฉพาะเม็ดดินที่มีขนาดใหญ่ และเนื้อดินเป็นดินร่วนร่องถึงดินร่วนเหนียวปนทรายดังในกรณีของดินทั้งสองนี้

## 7.2 ดินล่างตอนบน (Bt or Bt1 horizon)

ดินที่ทำการศึกษาทั้ง 8 บริเวณ พบว่า ภายนอกได้สภาพป่าต่างชนิดปริมาณของการบอนอินทรีย์ในเม็ดดินเสถียรน้ำจะมีปริมาณที่แตกต่างกัน (ตารางที่ 5) แต่เมื่อแยกเป็นแต่ละบริเวณที่ทำการศึกษา แล้วพิจารณาปริมาณการบอนอินทรีย์ในแต่ละขนาดของเม็ดดินเสถียรน้ำในบริเวณนั้น ๆ จะพบว่า ปริมาณของการบอนอินทรีย์ในแต่ละขนาดของเม็ดดินเสถียรน้ำจะมีความแตกต่างกันเพียงเล็กน้อย แสดงให้เห็นว่าในดินล่างตอนบน ภายนอกได้สภาพป่าที่แตกต่างกันจะไม่ส่งผลให้ปริมาณการบอนอินทรีย์ในเม็ดดินเสถียรน้ำแต่ละขนาดแตกต่างกัน

อย่างไรก็ตาม สามารถแบ่งกลุ่มการสะสมการบอนอินทรีย์ในเม็ดดินขนาดต่าง ๆ ของชั้นดินล่างตอนบนออกได้เป็น 2 กลุ่มใหญ่ ๆ คือ 1) ดินที่มีปริมาณการบอนอินทรีย์ในเม็ดดินเสถียรน้ำอยู่สูง ได้แก่ ดินภายนอกป่าเต็งรังทั้ง 2 บริเวณ (Skr-2 และ Skr-3) และดินภายนอกป่าเต็งแล้งที่ไม่ถูก рубกวน (Skr-8) และ 2) ดินที่มีปริมาณการบอนอินทรีย์ในเม็ดดินเสถียรน้ำอยู่ต่ำ ได้แก่ ดินที่เหลือทั้งหมด โดยในกลุ่มนี้มีปริมาณการบอนอินทรีย์ในเม็ดดินเสถียรน้ำอยู่สูง อาจเกิดจากปัจจัยที่แตกต่างกัน โดยดินในป่าเต็งรังทั้ง 2 บริเวณ (Skr-2 และ Skr-3) การที่มีปริมาณการบอนอินทรีย์สูงอาจเกิดจากปริมาณของรากหินปูนพืกที่มีอิสระตัวกีจะให้อินทรีย์ติดต่อส่วนดินในป่าเต็งแล้งที่ไม่ถูก рубกวน (Skr-8) การที่มีปริมาณการบอนอินทรีย์สูง อาจอนุมานได้ว่าเกิดจากลักษณะของโครงสร้างสัมคมพืชในป่าชนิดนี้ที่มีความหลากหลายและความหนาแน่นของพืชสูง ทำให้มีมวลชีวภาพหนึ่งและได้พื้นดินสูง (สาพิศ, 2548) อีกทั้งบริเวณทำการศึกษาเป็นบริเวณที่ไม่ถูกрубกวนทำให้การสะสมมวลชีวภาพตามธรรมชาติมีปริมาณมาก ซึ่งจะส่งผลให้ปริมาณอินทรีย์ติดต่อส่วนดินสูงตามไปด้วย ขณะที่ป่าเต็งแล้งที่ถูกрубกวน (Skr-5, Skr-6 และ Skr-7) ที่มีปริมาณการบอนอินทรีย์ในเม็ดดินต่ำ อาจเกิดจากการที่พื้นที่ป่าเต็งแล้งขาดต้น เกษถูกрубกวนมาก่อนที่จะถูกจัดการให้เป็นป่าธรรมชาติแบบปัจจุบัน การระบุพื้นที่จะก่อให้เกิดการสูญเสียมวลชีวภาพทั้งหมดนั้นและได้ดินซึ่ง

เป็นปัจจัยหลักต่อปริมาณอินทรีย์วัตถุ ทำให้ปริมาณคาร์บอนอินทรีย์ในดินภายใต้สภาพป่าดังกล่าว มีปริมาณน้อย ดินภายใต้พื้นที่ระหว่างป่าเต็งรังกับป่าดิบแล้ง (ecotone) การที่มีปริมาณคาร์บอนใน เม็ดดินต่ำ น่าจะเกิดจากการที่พื้นที่ได้รับอิทธิพลร่วมกันระหว่างป่าดิบเต็งรังกับป่าดิบแล้ง ลักษณะ โครงการสร้างของสังคมพืชในพื้นที่ไม่มีความเด่นชัด ทำให้การสะสมของมวลชีวภาพทั้งหมดนี้ลดลง และ ได้ดินจึงน้อยกว่าในป่าดิบแล้ง ขณะเดียวกันพืชพื้นล่าง เช่น หญ้าเพ็กมีความหนาแน่นไม่สูงเท่ากับ ในป่าเต็งรัง จากสาเหตุดังกล่าวข้างต้นจึงส่งผลให้ปริมาณคาร์บอนอินทรีย์ของเม็ดดินภายใต้สภาพ ป่านี้มีการสะสมของคาร์บอนอินทรีย์น้อย ส่วนในป่าเบญจพรรณทุติยภูมิ การที่มีปริมาณคาร์บอน อินทรีย์ต่ำ อาจเกิดจากลักษณะของเนื้อดิน เนื่องจากดินภายใต้ป่าชนิดนี้ มีเนื้อดินเป็นดินร่วนปน ทราย เนื้อดินลักษณะนี้จะไม่มีความสามารถในการจับตัวกับอินทรีย์วัตถุ ที่ถูกชะล้างของลงสู่ดิน ล่างเป็นเหตุให้มีดินภายใต้ป่านี้มีปริมาณคาร์บอนอินทรีย์ต่ำ



## สรุปและข้อเสนอแนะ

๘๖

ผลจากการศึกษาสมบัติดินและการกักเก็บการรับน้ำของพืชในพื้นที่สถานีวิจัยสั่งแวดล้อมสะแกราช จำนวน 8 บริเวณ ประกอบด้วย ป่าเบญจพรรณทุติยภูมิ 1 บริเวณ (Skr-1) ป่าเต็งรัง 2 บริเวณ (Skr-2 และ Skr-3) พื้นที่ร้อยต่อระหว่างป่าเต็งรังกับดินแบล็ง (ecotone) 1 บริเวณ (Skr-4) ป่าดินแบล็งพื้นฟู 3 บริเวณ (Skr-5, Skr-6 และ Skr-7) และ ป่าดินแบล็งไม่ถูกรบกวน 1 ชุด พบว่าภัยใต้สภาพป่าต่างชนิด ดินมีพัฒนาการปานกลางถึงค่อนข้างสูง เกิดจากวัตถุต้นกำเนิดดินเป็นเศษตะกอนหินคาดเชิงเขาที่ถลายตัวมาจากการหินทราย สมบัติดินอยู่ในพิสัยกว้าง ได้แก่ ดินเป็นดินดีนึ่งลึกมาก เนื้อดินอยู่ในพิสัยดินร่วนปนทรายถึงดินเหนียวและพบการสะสมดินเหนียวในชั้นดินล่าง ดินเป็นกรดกรุนแรงมากถึงกรดเล็กน้อย บริเวณอินทรีย์วัตถุอยู่ในระดับต่ำมากทึบปานกลาง ในโตรเรนรวมอยู่ในระดับต่ำ ฟองฟอรัสที่เป็นประizableอยู่อยู่ในระดับต่ำมาก โพแทสเซียมที่เป็นประizableอยู่ในระดับต่ำมากถึงสูงมาก ความชื้นแลกเปลี่ยนแคต ไอออนอยู่ในระดับต่ำถึงสูง ค่าร้อยละความอิ่มตัวเบสอยู่ในระดับต่ำยกเว้นในดินบริเวณป่าดินแบล็งพื้นฟูบริเวณที่ 3 (Skr-3)

ความสัมพันธ์ระหว่างเม็ดคินเสถียรน้ำกับสมบัติดิน พบว่าเม็ดคินเสถียรน้ำขนาด 2-8 (WSA1) และขนาด 0.1-0.25 มิลลิเมตร (WSA5) มีสหสัมพันธ์เชิงบวกและเชิงลบกับปริมาณการบอนอินทรีย์อย่างมีนัยสำคัญยิ่งทางสถิติ ( $r=0.71^{**}$  และ  $-0.64^{**}$  ตามลำดับ) โดยการบอนอินทรีย์จัดเป็นสารเชื่อมสำคัญที่ทำให้เกิดเม็ดคินขนาดใหญ่ เม็ดคินเสถียรน้ำขนาด 1-2 (WSA2) และขนาด 0.5-1 มิลลิเมตร (WSA3) มีสหสัมพันธ์เชิงบวกกับปริมาณเหล็กในรูปอสังหาริมทรัพย์ ( $r=0.58^{**}$  และ  $r=0.53^{**}$  ตามลำดับ) รวมทั้งรูปสารอินทรีย์เชิงช้อน ( $r=0.43^{**}$  และ  $r=0.42^{**}$  ตามลำดับ) อย่างมีนัยสำคัญยิ่งทางสถิติ ในทางกลับกันปริมาณเหล็กทั้ง 2 รูปจะมีสหสัมพันธ์เชิงลบอย่างมีนัยสำคัญยิ่งทางสถิติและอย่างมีนัยสำคัญทางสถิติกับเม็ดคินเสถียรน้ำขนาด 0.1-0.25 มิลลิเมตร (WSA5) ( $r=-0.48^{**}$  และ  $r=-0.38^{*}$  ตามลำดับ) ด้วย ปริมาณแมลงนานาชนิดที่สักดได้ทั้งในรูปอิสระ รูปอสังหาริมทรัพย์และรูปสารอินทรีย์เชิงช้อนจะมีสหสัมพันธ์เชิงบวกอย่างมีนัยสำคัญทางสถิติ และนัยสำคัญยิ่งทางสถิติกับเม็ดคินเสถียรน้ำขนาด 2-8 มิลลิเมตร (WSA5) ( $r=0.32^{*}$ ,  $r=0.35^{*}$ ,  $r=0.45^{**}$  ตามลำดับ) เหล็กและแมลงนานาชนิดที่สักดได้ทั้งในรูปอิสระและรูปสารอินทรีย์เชิงช้อนจะมีสหสัมพันธ์เชิงลบ ( $r=-0.30^{*}$ ,  $r=-0.32^{*}$ ,  $r=-0.35^{*}$  ตามลำดับ) สำหรับปริมาณแมลงนานาชนิดที่สักดได้ทั้งในรูปอิสระและรูปสารอินทรีย์เชิงช้อนจะมีสหสัมพันธ์เชิงบวก ( $r=0.28^{*}$ ,  $r=0.30^{*}$ ,  $r=0.32^{*}$  ตามลำดับ)

ปริมาณเหล็กและแมงกานีสอาจมีอิทธิพลต่อความสามารถในการเชื่อมตัวของคาร์บอนอินทรีย์ในเม็ดคินเสถียรน้ำหนาดเล็กด้วย

การแจกกระจายของเม็ดคินเสถียรน้ำภายในให้สภาพป้าต่างชนิด พบว่า ปริมาณเม็ดคินเสถียรน้ำหนาด 2-8 มิลลิเมตร (WSA1) มีปริมาณเด่นในชั้นดินบนของดินป้าไม่ที่ทำการศึกษาในทุกบริเวณ ขณะที่เม็ดคินเสถียรน้ำหนาด 0.1-0.25 มิลลิเมตร (WSA5) จะมีปริมาณเม็ดคินเสถียรน้ำเด่นในชั้นดินล่าง โดยพบว่าเม็ดคินเสถียรน้ำหนาด 2-8 มิลลิเมตร (WSA1) มีปริมาณสูงสุดในดินบนของพื้นที่ระหว่างป้าเต็งรังกับป้าดินแล้ง (Skr-4) และป้าดินแล้งที่ไม่ถูกกรอกกวน (Skr-8) เนื่องจากอิทธิพลของอินทรีย์วัตถุ เนื่องจากในดินบนของป้าข้างต้นมีการสะสมของมวลชีวภาพเหนือพื้นดินมากกว่าในป้าอื่น ๆ ขณะที่ปริมาณเม็ดคินเสถียรน้ำหนาด 0.1-0.25 มิลลิเมตร (WSA5) มีปริมาณสูงสุดในดินล่างของดินป้าเบญจพร摊ทุติยภูมิ ขณะที่เม็ดคินเสถียรน้ำหนาด 0.1-0.25 มิลลิเมตร (WSA5) มีปริมาณสูงสุดในดินป้าเบญจพร摊ทุติยภูมิ ซึ่งน่าจะเป็นผลมาจากการลักษณะของเนื้อดินในป้านี้ที่มีอนุภาคทรัพย์เป็นองค์ประกอบสูง ทำให้ไม่ส่งเสริมให้เกิดเม็ดคินขนาดใหญ่ขึ้น

การแจกกระจายของปริมาณคาร์บอนอินทรีย์ในเม็ดคินต่างขนาดภายในให้สภาพป้าต่างชนิด พบว่า ปริมาณคาร์บอนอินทรีย์ในเม็ดคินแต่ละขนาดจะไม่มีความแตกต่างกันทั้งในดินบนและในดินล่าง ทำให้สามารถสรุปได้ว่าสภาพป้าที่แตกต่างกัน ไม่ส่งผลต่อการแจกกระจายของคาร์บอนอินทรีย์ในเม็ดคินแต่ละขนาด

### ข้อเสนอแนะ

1. ควรมีการศึกษาเพิ่มเติมในพื้นที่อื่นที่มีความแตกต่างระหว่างชนิดป่า และลักษณะ หรือ สมบัติดิน เพื่อให้ได้ข้อมูลที่เพิ่มมากขึ้นสำหรับการทำความสัมพันธ์ระหว่างพืชพรรณ สมบัติดิน การแยกกระจายของคาร์บอนอินทรีย์ และเม็ดคินเสถียรน้ำที่มีความแม่นยำมากขึ้น
2. จากผลการศึกษา พบว่า ปริมาณคาร์บอนอินทรีย์มีความสัมพันธ์กับการแยกกระจายของ เม็ดคินเสถียรน้ำมาก ดังนั้น จึงควรที่จะศึกษาถึงแหล่งกำเนิดของคาร์บอนอินทรีย์ในดินของแต่ละ ป่าด้วย เช่น ศึกษาถึงมวลชีวภาพทั้งเห็นอพื้นดินและใต้พื้นดินของในแต่ละป่า ซึ่งข้อมูลนี้อาจมี ความเชื่อมโยงกับการแยกกระจายของเม็ดคินเสถียรน้ำไม่ทางตรงก็อาจจะเชื่อมโยงทางอ้อมได้

## เอกสารและสิ่งอ้างอิง

**กรมแผนที่ทหาร. 2537. แผนที่ภูมิประเทศ สถานีวิจัยสิ่งแวดล้อมสะแกราช จังหวัดนราธิวาส  
ลำดับชุด L7017 มาตราส่วน 1:50000.**

กรรณิการ์ อุย়ุทธง, อัมกวัลย์ พสภาคด และ บุรี นุญสมพพันธ์. 2529. ปริมาณเหล็กออกไซด์  
อิสระในคินเหลืองและคินแดงของภาคตะวันออกเฉียงเหนือของประเทศไทย.

วารสารวิทยาศาสตร์เกษตร 19(3): 116-185

กองสำรวจดิน. 2523. คู่มือจำแนกความเหมาะสมของที่ดินสำหรับพืชเศรษฐกิจ. เอกสารวิชาการ  
เล่มที่ 28. กรมพัฒนาที่ดิน กระทรวงเกษตรและสหกรณ์, กรุงเทพฯ.

คณาจารย์ภาควิชาปฐพีวิทยา. 2548. ปฐพีวิทยาเบื้องต้น. ครั้งที่พิมพ์ 10. ภาควิชาปฐพีวิทยา  
คณะเกษตร มหาวิทยาลัยเกษตรศาสตร์, กรุงเทพฯ.

คณะกรรมการจัดทำพจนานุกรมปฐพีวิทยา. 2551. พจนานุกรมปฐพีวิทยา. ภาควิชาปฐพีวิทยา  
คณะเกษตร มหาวิทยาลัยเกษตรศาสตร์, กรุงเทพฯ.

จำลอง แปลงสาระน้อย. 2549. การประยุกต์การรับรู้จากการยะไถลและระบบสารสนเทศ ภูมิศาสตร์  
เพื่อศึกษาการเปลี่ยนแปลงพื้นที่ป่าดิบแล้ง และป่าเต็งบริเวณสถานีวิจัย สิ่งแวดล้อม  
สะแกราช. วิทยานิพนธ์ปริญญาเอก, มหาวิทยาลัยราชภัฏนราธิวาส.

ดอกรัก มารอด และ อุทิศ กุญอินทร์. 2552. นิเวศวิทยาป่าไม้. มหาวิทยาลัยเกษตรศาสตร์,  
กรุงเทพฯ.

ถนน คลอคเพ็ง. 2528. วิธีการของปฐพีฟิสิกส์วิเคราะห์. ภาควิชาปฐพีศาสตร์และอนุรักษ์ศาสตร์  
คณะเกษตรศาสตร์ มหาวิทยาลัยเชียงใหม่, เชียงใหม่.

นันทศักดิ์ ปั่นแก้ว. 2542. **ลักษณะทางชีววิทยาและนิเวศวิทยานางประการของแมลงทับชาแดงในป่าเต็งรังบริเวณสถานีวิจัยสิงแวดล้อมสะแกราช. วิทยานิพนธ์ปริญญาเอก, มหาวิทยาลัยเกษตรศาสตร์.**

นงคราญ กาญจนประเสริฐ. 2529. **การศึกษาลักษณะวินิจฉัยที่สำคัญในพัฒนาการของดินและตักษิภพของดินอันดับแอลฟิซอลส์และอินเซปติชอลส์บริเวณลุ่มน้ำแม่กลอง. วิทยานิพนธ์ปริญญาเอก, มหาวิทยาลัยเกษตรศาสตร์.**

บรรณพิชญ์ สัมฤทธิ์. 2551. **ลักษณะและสมรรถนะความอุดมสมบูรณ์ของดินที่สูงในบริเวณเขาก้อ จังหวัดเพชรบูรณ์. วิทยานิพนธ์ปริญญาโท, มหาวิทยาลัยเกษตรศาสตร์.**

บุญฤทธิ์ ภูริยากร. 2525. **การเปลี่ยนแปลงสมบัติดินในป่าธรรมชาติตามลักษณะการใช้ประโยชน์ที่ดินที่สะแกราช บึงชงชัย นครราชสีมา. วิทยานิพนธ์ปริญญาโท, มหาวิทยาลัยเกษตรศาสตร์.**

ผจจิต ศรีสุข. 2545. **สมรรถนะความอุดมสมบูรณ์ของดินศิลาแลงในเขตฝั่งทะเลตะวันออกเฉียงใต้ของประเทศไทย. วิทยานิพนธ์ปริญญาโท, มหาวิทยาลัยเกษตรศาสตร์.**

พงษ์ศักดิ์ สนุนาพุ, บุญวงศ์ ไทยอุตสาห์, สมศักดิ์ สุขวงศ์, สนิท อักษรแก้ว และสันต์ เกตุปราณี. 2527. **การหมุนเวียนของชาตุอาหารในป่าเต็งรัง สะแกราช. รายงานวิจัยฉบับสมบูรณ์. คณะวิทยาศาสตร์มหาวิทยาลัยเกษตรศาสตร์, กรุงเทพฯ.**

มรกต ทพพากุล อยุธยา. 2532. **ชุดสัณฐานวิทยาของดิน. กองวิเคราะห์ดิน กรมพัฒนาที่ดิน กระทรวงเกษตรและสหกรณ์, กรุงเทพฯ.**

วรพันธ์ เกียรติชิมกุล. 2531. **การศึกษาคุณสมบัติและการดำเนินดินของดินสีแดงและดินสีเหลืองในภาคตะวันตกของประเทศไทย. วิทยานิพนธ์ปริญญาโท มหาวิทยาลัยเกษตรศาสตร์.**

วาสนา วรากกต. 2548. **สิงแวดล้อมกับการพัฒนา. คณะวิทยาศาสตร์และเทคโนโลยี มหาวิทยาลัยราชภัฏเทพสตรี, ลพบุรี.**

วิโรจน์ อิ่มพิทักษ์. 2531. การจัดการดิน. ภาควิชาปฐพิทยา คณะเกษตร

มหาวิทยาลัยเกษตรศาสตร์, กรุงเทพฯ.

วีระศักดิ์ อุดมโชค. 2523. ผลกระทบของการทำลายป่าต่อสภาวะอากาศ บริเวณสถานีวิจัยสิงแวนดล้อมสะแกราช, น. 14. ใน สัมมนาปริญญาโท. มหาวิทยาลัยเกษตรศาสตร์.

ศูนย์วิจัยป่าไม้. 2552. แผนแม่บทด้านการเปลี่ยนแปลงสภาพภูมิอากาศ. กรมอุทกayanแห่งชาติ  
สัตว์ป่า และพันธุ์พืช, กรุงเทพฯ.

สถิติที่ วัชรกิตติ, ประคง อินทรจันทร์ และ สมเพ็ชร์ มังกรดิน. 2523. การศึกษา  
ทรัพยากรธรรมชาติและการใช้ที่ดินของสถานีวิจัยสิ่งแวดล้อมสะแกราช, น. 44. ใน  
รายงานวิเคราะห์ผลการดำเนินงานประจำปี สถาบันวิจัยและพัฒนาทรัพยากรดินแห่งชาติ ประจำปี พ.ศ. ๒๕๒๓

สาพิศ ดิลกสัมพันธ์. 2548. วัฏจักรかるบอนในป่าดิบแล้งสะแกราชและป่าเบญจพรรณลุ่มน้ำแม่กลอง. ใน รายงานการประชุมวิชาการการเปลี่ยนแปลงสภาพภูมิอากาศทางด้านป่าไม้ “ศักยภาพของป่าไม้ในการสนับสนุนพืชีสารเกี้ยวโต” ณ โรงแรมมารวยการเดือน กรุงเทพฯ วันที่ 4-5 สิงหาคม 2548.

สุภาวดี ศกุลธาร. 2544. ความสัมพันธ์ระหว่างอายุกับชาตุอาหารในใบตลอดอายุใบของพร洱ไม้ป่าเต็งรัง. ใน การประชุมทางวิชาการของมหาวิทยาลัยเกษตรศาสตร์ ครั้งที่ 39 สาขาวิชาจัดการทรัพยากรและสิ่งแวดล้อม. มหาวิทยาลัยเกษตรศาสตร์, กรุงเทพฯ.

ອກສິທິທີ່ ເໝັນຫນ່ວ່າ. 2527. ການກຳນົດແລກຈຳແນກດິນ. ກາວວິຫາປຸງພິວທີ່ຢາ ຄະເກມຄຣ  
ມາວິທີ່ຢາລັກຕະກາສຕ່ວ່າ, ກຽງເທິພາ.

เออบ เกี่ยวเรื่นรมย์. 2548. การสำรวจดิน: มโนทัศน์ หลักการและเทคนิค. พิมพ์ครั้งที่ 2. ภาควิชา  
ปัจพิทยา คณะเกษตร มหาวิทยาลัยเกษตรศาสตร์, กรุงเทพฯ.

\_\_\_\_\_ . 2552. คู่มือปฏิบัติการ การสำรวจดิน. พิมพ์ครั้งที่ 6. ภาควิชาปฐพีวิทยา คณะ  
เกษตร มหาวิทยาลัยเกษตรศาสตร์, กรุงเทพฯ.

- Abu-Sharar, T.M. and A.S. Salameh. 1995. Reductions in hydraulic conductivity and infiltration rate in relation to aggregate stability and irrigation water turbidity. **Agric. Water Manage.** 29(1): 53-62.
- Adesodun, J.K., J.S.C. Mbagwu and N. Oti. 2005. Distribution of carbon, nitrogen and phosphorus in water-stable aggregates of an organic waste amended Ultisol in southern Nigeria. **Bioresour. Technol.** 96(4): 509-516.
- Andraski, B.J. and B.R. Scanlon. 2002. Thermocouple psychrometry, pp. 609-642. In J.H. Dane and G.C. Topp, eds. **Methods of Soil Analysis, Part 4: Physical methods**. Soil Sci. Soc. Amer. Book Series NO.5, Wisconsin: Inc., Madison.
- Angers, D.A. and J. Caron. 1998. Plant-induced changes in soil structure: processes and feedbacks. **Biogeochemistry** 45(1): 55-72.
- Baize, D. 1993. **Soil Science Analysis: A Guide to Current Use**. John Wiley and Sons, Ltd., England.
- Barthes, B. and E. Roose. 2002. Aggregate stability as an indicator of soil susceptibility to runoff and erosion: validation at several levels. **Catena** 47(2): 133-149.
- Barthes, B.G., E. Kouakoua, M.C. Larre-Larrouy, T.M. Razafimbelo, E.F. de Luca, A. Azontonde, C.S.V.J. Neves, P.L. de Freitas and C.L. Feller. 2008. Texture and sasquioxide effects on water-stable aggregates and organic matter in some tropical soils. **Geoderma** 143: 14-25.
- Bear, M.H. and R.R. Bruce. 1993. A comparison of methods for measuring water-stable aggregates: Implications for determining environmental effects on soil structure. **Geoderma** 56(1): 87-104.

Blake, G.R. and K.H. Hartge. 1986. Bulk density, pp. 363-375. In A. Klute, ed. **Methods of Soil Analysis, Part 1: Physical and Mineralogical Methods.** SSSA Inc., ASA Inc., Madison, Wisconsin, U.S.A.

Bloom, P.R. 2000. Soil pH and pH Buffering, pp. B333-B352. In M.E. Summer, ed. **Handbook of Soil Science.** CRC Press LLC.

\_\_\_\_\_ and D.F. Grigal. 1985. Modeling soil response to acidic deposition in non-sulfate absorbing soils. **J. Environ. Qual.** 14: 481-495.

Bolin, B., E.T. Degens, P. DuVigneaud and S. Kempe. 1979. The global biogeochemical carbon, pp. 23-28. In B. Bolin, E. T. Degens, S. Kempe and P. Ketner, eds. **The Global Carbon Cycle.** SCOPE Report No. 13: 1-56.

Boyle, M. J., W.T. Frankenberger and L.H. Stolzy. 1989. The influence of organic matter on soil aggregation and water infiltration. **J. Prod. Agric.** 2: 290-299.

Brady, N.C. and R.R. Weil. 2008. **The Nature and Properties of Soils.** 14<sup>th</sup> ed. Pearson Prentice Hall, Upper Saddle River, New Jersey.

Bray, R.H. and L.T. Kurtz. 1945. Determination of total organic and available form of phosphorus in soil. **Soil Sci.** 59: 39-45.

Bremner, J.M. 1996. Nitrogen-total, pp. 1085-1121. In D.L. Sparks, A.L. Page, P.A. Helmke, R.H. Loepert, P.N. Soltanpour, M.A. Tabatabai, C.T. Johnston and M.E. Sumner, eds. **Method of Soil Analysis, Part 3: Chemical Methods.** SSSA Inc., ASA Inc., Madison, Wisconsin, USA.

Bronick, C.J. and R. Lal. 2005. Soil structure and management: a review. **Geoderma.** 124(1-2): 3-22.

Bullock, P., N. Fedoroff, A. Jongerius, G. Stoops, T. Turisna, U. Bablel, J. Agrilar, H.J. Altemuller, E.A. Fitzpatrick, S.T. Kowalinski, G.K. Rutherford and E.A. Yarilova. 1985. **Handbook for Thin Section Description.** Waine Research, Albrighton, United Kingdom.

Bunyavejchewin, S. 1979. **Phytosociological Structure and Soil Property in Nam Pong Basin.** M.S. Thesis, Kasetsart University, Bangkok.

Buol, S.W., R.J. Southard, R.C. Graham and P.A. McDaniel. 2010. **Soil Genesis and Classification.** 5<sup>th</sup> ed. Iowa State Press. A Blackwell Pub. Co., Ames.

Burkett, V., D. Wilcox, R. Stottlemeyer, W. Barrow, D. Fagre, J. Baron, J. Price, J. Nielsen, C. Allen, D. Petersen, G. Ruggerone, T. Doyle. 2005. Nonlinear Dynamics in Ecosystem Response to Climatic Change: Case studies and Policy Implications. **Ecological Complexity** 2: 357-394.

Caravaca, F., A. Lax and J. Albaladejo. 2004. Aggregate stability and carbon characteristics of particle-size fractions in cultivated and forested soils of semiarid Spain. **Soil Till. Res.** 78: 83-90.

Carter, M.R. 2002. Soil quality for sustainable land management: organic matter and aggregation interactions that maintain soil function. **Agron. J.** 94: 38-47.

Chapman, H.D. 1965. Cation exchange capacity, pp. 891-901. In C.A. Black, ed. **Method of Soil Analysis, Part II: Chemical and Microbiological Properties.** Agron. No. 9. Amer. Soc. of Agron. Inc., Madison, Wisconsin.

Christensen, B.T. 2001. Physical fraction of soil and structural and functional complexity in organic matter turnover. **Eur. J. Soil Sci.** 52: 345-353.

Ciais, P., W. Cramer, P. Jarvis, H. Kheshgi, C. Nobre, S. Semenov and W. Steffen. 2000. Global perspective, pp. 69-96. *In IPCC Special on Report Land Use, Land Use Change, and Forestry. Intergovernmental Panel on Climate Change.* Cambridge Univ. Press, Cambridge.

Cindy, S.M., J.C. Casagrande, L.R.F. Alleoni, O.A. Camargo and R.S. Berton. 2008. Nickel adsorption in two Oxisols and an Alfisol as affected by pH, nature of the electrolyte, and ionic strength of soil solution. *J. Soils Sed.* 8: 442–451.

Colombo, C. and J. Torrent. 1991. Relationships between aggregation and iron oxides in Terra Rossa soils from southern Italy. *Catena* 18(1): 51-59.

Day, P.R. 1965. Particle fraction and particle size analysis, pp. 545-567. *In* C.A. Black, ed. **Method of Soil Analysis, Part I: Particle Size Analysis.** Agron., No.9. Amer. Soc. of Agron. Inc., Madison, Wisconsin, USA.

Edwards, A.P. and J.M. Bremner. 1967. Microaggregates in soils. *J. Soil Sci.* 18(1): 64-73.

Eiumnoh, A. 1984. Application of soil taxonomy to fertility capability classification of problem soil in the S.E. Coast of Thailand, pp. 169-190. *In Ecology and Management of Problem Soils in Asia.* FFTC Book Series No. 27. Taipei, Taiwan.

Elliott, E.T. 1986. Aggregate structure and carbon, nitrogen, and phosphorus in native and cultivated soils. *Soil Sci. Soc. Am. J.* 50: 627-633.

Elliott, E.T., C.A. Palm, D.A. Ruess and C.A. Monz. 1991. Organic matter contained in soil aggregates from a tropical chronosequence: correction for sand and light fraction. *Agric. Ecosyst. Environ.* 34: 443-451.

Havlin, J.L., J.D. Beaton, S.L. Tisdale and W.L. Nelson. 2005. **Soil Fertility and Fertilizer: an Introduction to Nutrient Management.** 7<sup>th</sup> ed. Prince-Hall Inc., Upper Saddle River, New Jersey.

Herrick, J.E., W.G. Whitford, A.G. de Soyza, J.W. van Zee, K.M. Havstad, C.A. Seybold and M. Walton. 2001. Field soil aggregate stability kit for soil quality and rangeland health evaluations. **Catena** 44(1): 27-35.

Hillel, D. 1998. **Environment Soil Physics.** Academic Press, San Diego, U.S.A.

Horn, R. and A. Smucker. 2005. Structure formation and its consequences for gas and water transport in unsaturated arable and forest soils. **Soil Till. Res.** 81(1): 5-14.

Huang, P.M. 2004. Soil mineral-organic matter-microorganism interactions: Fundamentals and impacts. **Adv. Agron.** 82: 391-472.

Igwe, C.A. and K. Stahr. 2004. Water-stable aggregates of flooded Inceptisols from southeastern Nigeria in relation to mineralogy and chemical properties. **Aust. J. Soil Res.** 42(2): 171-179.

Igwe, C.A., M. Zarei and K. Stahr. 2009. Colloidal Stability in some tropical soils of southeastern Nigeria as affected by iron and aluminium oxides. **Catena** 77: 232-237.

Iwata, S., T. Tabuchi and B.P. Warkentin. 1995. **Soil Water Interaction; Mechaisms and Applications.** 2<sup>nd</sup> ed. Macel Dekker, Inc., Madison Avenue, New York, USA.

Jackson, K.L. 1965. **Soil Chemical Analysis: Advance Course.** Dept. of Soil Sci., Univ. of Wisconsin, Madison, Wisconsin.

Juma, N.G. 2001. **The Pedosphere and Its Dynamics: A Systems Approach to Soil Science.** Salaman Productions Inc., Edmonton, Alberta, Canada.

Kalembasa, D. 2008. Carbon and nitrogen in organic matter fraction of Histosols located in upper valley of Liwiec river [Poland]. **Roczniki Gleboznawcze J.** 59(2): 98-103.

Katagiri, S. and T. Tsutsumi. 1973. The relationship between site condition and circulation of nutrients in forest ecosystem (I) Litterfall and nutrient contents. **JIBP-PT** 155: 83-90. (in Japanese with English summary).

Kemper, W.D. and R.C. Rosenau. 1986. Aggregate stability and size distribution, pp. 425-442. In A. Klute, ed. **Methods of Soil Analysis, Part I: Physical and Mineralogical Methods.** No.9. Agronomy, SSSA, Madison, WI, USA.

Kenedy, M.J. and D.R. Pever and R.J. Hill. 2002. Mineral surface control of organic carbon in black shale. **Sci.** 295(25): 657-660

Kilmer, V.J. and L.T. Alexander. 1949. Method of making mechanical analysis of soil. **Soil Sci.** 68: 15-24.

Klute, A. 1965. Laboratory measurement of hydraulic conductivity of saturated soils, pp. 210-220. In C.A. Black, ed. **Methods of Soil Analysis, Part I: Physical and Mineralogical Methods.** Agron., No.9. Amer. Soc. Agron. Inc., Madison, Wisconsin.

Kudeyarov, V.N. and I.N. Nurganova. 1998. Carbon dioxide emissions and net primary production of Russian terrestrial ecosystems. **Biol. Fertil. Soils** 27: 246-250.

Kutintara, U. 1975. **Structure of the dry Dipterocarp Forest.** Ph.D. Thesis, Colorado State Univ. Fort Collins, Collins, USA.

Lal, R., J.M. Kimble and B.A. Stewart. 2000. **Carbon Pools and Dynamics in Tropical Ecosystems.** CRC/Lewis Publishers, Boca Raton, FL.

Land Classification Division and FAO Project Staff. 1973. **Soil Interpretation Handbook for Thailand.** Dept. Land Development, Min. Agri. Coop., Bangkok.

Le Bissonnais, Y. and C. Le Souder. 1995. Mesure de la stabilité structurale des sols pour évaluer leur sensibilité à la battage et à l'érosion. **Etude et Gestion des Sols** 2(1): 43-56.

Lekagul, B. and J. A. Mcneely. 1977. **Mammals of Thailand.** The Assoc. for the Cons. of Wildlife, Sahakarnbhat Co., Bangkok.

Li, Z.X., Cai, C.F., Shi, Z.H. and Wang, T.W. 2005. Aggregate stability and its relationship with some chemical properties of red soils in subtropical China. **Pedosphere** 15(1): 129-136.

Lynch, J.M. and E. Bragg. 1985. Microorganisms and soil aggregate stability. **Adv. Soil Sci.** 2: 133-171.

Mackenzie, F.T. 1955. Biogeochemistry, pp. 261-267. In W.A. Nierenberg, ed. **Encyclopedia of Environmental Biology.** Academic Press Inc., San Diago.

Marquez, C.O., V.J. Garcia, C.A. Cambardella, R.C. Schultz and T.M. Isenhart. 2004. Aggregate-size stability distribution and soil stability. **Soil Sci. Soc. Am. J.** 68(3): 725-726.

Martens, D.A. 2000. Management and crop residue influence soil aggregate stability. **J. Environ. Qual.** 29(3): 723-728.

Mbagwu, J.S.C. 1989. Influence of cattle feedlot manure on aggregate stability, plastic limit and water retentions of three soils in north central Italy. **Biological Waste** 28: 257-269.

Mbagwu, J.S.C. and P. Bazzoffi. 1988. Stability of microaggregates as influenced by antecedent moisture content, organic waste amendment and wetting and drying cycles. **Catena** 15: 565-576.

McKeague, J.A. and J.H. Day. 1966. Dithionite- and Oxalate-extractable Fe and Al as aids in differentiating various classes of soils. **Can. J. Soil Sci.** 46:13-22

Mehra, O.P. and M.L. Jackson. 1960. Iron oxide removal from soils and clays in adithionite-citrate-bicarornate system buffered with sodium. **Clays Clay Miner.** 7: 317-321.

Miller, R.M. and Jastrow, J.D. 1990. Hierarchy of root and mycorrhizal fungal interactions with soil aggregation. **Soil Biol. Biochem.** 22(5): 579-584.

Nael, M., H. Khademi, and M.A. Hajabbasi. 2004. Response of soil quality indicators and their spatial variability to land degradationin central Iran. **Appl. Soil Ecol.** 27(3), 221-232.

Nalamphum, A., T. Santisuk, and T. Smittinand. 1969. **The Defoliation of Teng (*Shorea obtuse Wall*) and Rung (*Pentacme suavis* A.DC.) at ASRCT Sakaerat ExperimentalStation.** Rep 1. NRCT, Bangkok.

National Soil Survey Center. 1996. **Soil Survey Laboratory Methods Manual.** Soil Survey Invest. Rept. No 42, Version 3.0. U.S. Dept. of Agr., U.S. Government Printing Office, Washington D.C.

Nelson, D.W. and L.E. Sommers. 1996. Total carbon, organic carbon, and organic matter, pp. 961-1010. In J.M. Bigham, ed. **Method of Soil Analysis, Part III: Chemical Methods.** Amer. Soc. of Agron., Madison, Wisconsin.

NRCS. 2008. Soil Quality Indicators: Aggregate Stability. **Soil Quality Information Sheet.** USDA.

Nwadiago, B.E. and J.S.C. Mbagwu. 1991. An analysis of soil component active in microaggregate stability. **Soil Tech.** 4: 343-350.

Oades, J.M. 1984. Soil organic matter and structural stability: mechanisms and implications for management. **Plant Soil** 76: 319–337.

Oades, J.M., Waters, A.G. 1991. Aggregate hierarchy in soils. **Aust. J. Soil Res.** 29: 815–828.

O'Neal, A.M. 1952. **Pedology** (translation from French). George Allen and Unwin Ltd., London.

Onweremadu, E.U., V.N. Onyia and M. A. N. Anikwe. 2007. Carbon and nitrogen distribution in water-stable aggregates under two tillage techniques in Fluvisols of Owerri area, southeastern Nigeria. **Soil Till. Res.** 97: 195–206.

Pinheiro, E.F.M., M.G. Pereira and L.H.C. Anjos. 2004. Aggregate distribution and soil organic matter under different tillage systems for vegetable crops in a Red Latosol from Brazil. **Soil Till. Res.** 77: 79-84.

Phillips, O.L., Y. Malh, N. Higuchi, W.F. Laurance, V. Nonez, R.M. Vasquez, S.G. Laurance, L. V. Ferreira, M. Stern, S. Brown and J. Grace. 1998. Changes in the balance of tropical forests: Evidence from long-term plots. **Sci.** 282: 439-442.

Pratt, P.E. 1965. Potassium, pp. 1023-1031. In C.A. Black, ed. **Method of Soil Analysis, Part II: Chemical and Microbiological Properties.** Agron. No.9. Amer. Soc. of Agron. Inc., Madison, Wisconsin.

Pulleman, M.M., J. Six, A. Uyl, J.C.Y. Marinissen and A.G. Jongmans. 2005. Earthworms and management affect organic matter incorporation and microaggregate formation in agricultural soils. **Appl. Soil Ecol.** 29(1): 1-15.

Ramos, M.C., S. Nacci and I. Pla. 2003. Effect of raindrop impact and its relationship with aggregate stability to different disaggregation forces. **Catena** 53(4): 365-376.

Razafimbelo, T.M., Albrecht, A., Oliver, R., Chevallier, T., Chapuis-Lardy, L., Feller, C. 2008. Aggregate associated-C and physical protection in a tropical clayey soil under Malagasy conventional and no-tillage systems. **Soil Till. Res.** 98: 140-149.

Roldán, A., J.R. Salinas-García, M.M. Alguacil and F. Caravaca. 2005. Changes in soil enzyme activity, fertility, aggregation and C sequestration mediated by conservation tillage practices and water regime in a maize field. **Appl. Soil Ecol.** 30(1): 11-20.

Sanchez, P.A. 1976. **Properties and Management of Soil in the Tropics.** John Wiley and Son, Inc., New York.

Sanchez, P.A., J.H. Villacchica and D.E. Bandy. 1983. Soil fertility dynamics after cleaning a tropical rainforest in Peru. **Soil Sci. Soc. Amer. J.** 47: 1171-1178.

Schlesinger, W.H. 1991. **Biogeochemistry: An Analysis of Global Change.** San Diego: Academic Press, New York.

Smith, P., J.U. Smith, D.S. Powlson, W.B. McGill, J.R.M. Arah, O.G. Cheryov, K. Coleman, U. Franko, Frolking, D.S. Jenkinson, L.S. Jensen, R.H. Kelly, H. Klein-Gunnewiek, A.S.Komarov, C. Li, J.A.E. Molina, T. Mueller, W.J. Parton, J.H.M. Thornley and A.P.Whitmore. 1997. A comparison of the performance of nine soil organic matter models using datasets from seven long-term experiments. **Geoderma** 81: 153-225.

Smitinand, T. 1977. **Vegetation and Ground Covers of Thailand.** The Forest Herbarium, Royal Forest Department., Bangkok.

Soil Survey Division Staff. 1993. **Soil Survey Manual.** U.S. Dept. Agr. Handbook No.18. U.S. Government Printing Office, Washington D.C.

Soil Survey Staff. 2010. **Keys to Soil Taxonomy.** 10<sup>th</sup> ed. Natural Resources Conservation Service, USDA, Washington, D.C.

Spaccini, R., A. Piccolo., J.S.C. Mbagwu., A.Z. Teshale and C.A. Igwe. 2002. Influence of the addition of organic residues on carbohydrate content and structural stability of some highland soils in Ethiopia. **Soil Use Manage.** 18(4): 404-411.

Summer, M.E and W.P. Miller. 1996. Cation exchange capacity and exchange coefficients, pp.1021-1229. In J.M. Bigham, ed. **Method of Soil Analysis, Part III: Chemical Methods.** Amer. Soc. of Agron., Madison, Wisconsin.

Taylor, R.M., R.M. McKenzie., A.W. Fordham and G.P. Gillman. 1983. Oxide minerals, pp. 309-355. In **Soil an Australian Viewpoint.** CSIRO, Division of Soils.

Thomas, G.W. 1996. Soil pH and soil acidity, pp. 475-490. In D.L. Sparks, A.L. Page, P.A. Helmke, R.H. Loepert, P.N. Soltanpour, M.A. Tabatabai, C.T. Johnston and M.E. Sumner, eds. **Method of Soil Analysis, Part 3: Chemical Methods.** SSSA Inc., ASA Inc., Madison, Wisconsin.

Thompson, L.M. and F.R. Troeh. 1978. **Soil and Soil Fertility.** 4<sup>th</sup> ed. McGraw-Hill Inc., New York.

Tisdale, S.L. and W.L. Nelson. 1975. **Soil Fertility and Fertilizers.** Macmillan Publ, New York.

Tisdall, J.M. and J.M. Oades, 1982. Organic matter and water-stable aggregates in soil. **J. Soil Sci.** 33: 141-163.

Trakoolyongcharoen, P., I. Kheoruenromne, A. Suddhiprakarn and R.J. Gilkes. 2006. Properties of kaolins in red Oxisols and red Ultisols in Thailand. **Applied Clay Sci.** 32: 25-39.

Virgo, K.J. and D.A. Holmes. 1977. Soil and landform features of mountainous terrain in South Thailand. **Geoderma** 18: 207-225.

Watanabe, F.S. and S.R. Olsen. 1965. Test of an ascorbic acid method for determining phosphorus in water and  $\text{NaHCO}_3$  extracts from soils. **Soil Sci. Soc. Am. Proc.** 29: 677-678.

Walkley, A. and I.A. Black. 1934. An examination of Degtjareff method for determining soil organic matter and a proposed modification of the chronic acid titration method. **Soil Sci.** 37: 29-38.

Wei, C.F., D.T. Xie and B.G. Li. 2003. Progress in research on soil organo-mineral complexes. **Adv. Earth Sci.** 18(2): 221-227.

Yamashita, T., H. Flessa, B. John, M. Helfrich and B. Ludwig. 2006. Organic matter in density fractions of water-stable aggregates in silty soils: effect of land use. **Soil Biol. Biochem.** 38: 3222-3234.

Zhang, G., G.M. Zeng, Y.M. Jiang, C.Y. Du, G.H. Huang, J.M. Yao, M. Zeng, X.L. Zhang and W. Tan. 2006. Seasonal dry deposition and canopy leaching of base cations in a subtropical evergreen mixed forest, China. **Silva Fennica.** 40: 417-428.

Zhang, M.K., Z.L. He, G.C. Chen, C.Y. Huang and M.J. Wilson. 1996. Formation and water stability of aggregates in red soils as affected by organic matter. **Pedosphere** 6(1): 39-45.

Zinke, P., S. Sabhasri and P. Kunstadter. 1970. **Soil Fertility Aspects of the Luu' Forest Fallow System of Shifting Cultivation and Economic Development, in Northern Thailand.** Department of Land Development, Bangkok.





**คำอธิบายหน้าตัดดิน**  
**(Soil Profile Description)**

**Sakaerat 1**

**I Information on the site**

Profile symbol	: Skr-1
Soil name	: -
Classification	: Haplic Plinthustult
Date of examination	: October 16, 2010
Described by	: Somchai Anusontpornperm, Supicha Thanachit, Woranan Sonkanha, Narissara Suksawat, Nipat Thanimmarn, Naruedon Poviang, Wanrappee Suwanprapa, Walailuck Saikaew, Yuttakarn Kaewkaemthong, Jeeranut Hongjaturun, Jeerawan Promma, Piyavut Pomthong.
Location	: Sakaerat Environmental Research Station, Tambon Udomsup, Amphoe Wang Nam Kheo, Changwat Nakhon Ratchsima.
Elevation	: Approximately 423.7 m (MSL)
Map sheet number	: 5338 II-5337 I    Coordination: 47P 0816140 <sup>E</sup> , 160 6310 <sup>N</sup>
Landform	
1. Physiographic position	: Dissected Footslope
2. Surrounding land form	: Slightly Undulating
3. Slope on which profile site	: 4%    Aspect: 320 Azimuth
Land use	: Secondary Mixed Deciduous Forest
Annual rainfall	: Approximately 1,222 mm
Mean temperature	: Approximately 27.0°C
Climate	: Tropical Savanna
Other	: -

**II General information on the soil**

Parent material	: Colluvium of sandstone
Drainage	: Well drained
Permeability	: Rapid
Runoff	: Moderate
Depth of groundwater	: Deeper than > 80 cm at time of sampling

**III Profile description**

Horizon	Depth (cm)	Description
A1	0-10	Dark reddish brown (5YR 2.5/2); sandy loam; weak fine subangular blocky structure; soft dry, very friable moist, non sticky and non plastic; few very fine coated sands; many very fine vesicular pores; many very fine, fine and common medium roots; few traces of dead roots; slightly acid (field pH 6.5); abrupt and smooth boundary to A2
A2	10-22	Yellowish red (5YR 4/6); sandy loam; weak fine subangular blocky structure; soft dry, very friable moist, non sticky and slightly plastic; few

Bt	22-41	faint clay coating on faces of ped and clay bridges between sand grains, few very fine coated sands; many very fine and few fine vesicular pores; many very fine, fine and common medium roots; few traces of dead roots; very strongly acid (field pH 5.0); clear and smooth boundary to Bt Red (2.5YR 4/8); sandy clay loam; moderately weak fine and medium subangular blocky structure; slightly hard dry, firm moist, slightly sticky and slightly plastic; common on faint clay coating on faces of ped, surfaces of rock fragments and clay bridges between sand grains; many very fine and common fine vesicular pores; many very fine, common fine and few medium roots; few traces of dead roots; few very fine coated sands; many small to large angular stones and boulders of slightly weathered and fresh sandstone; extremely acid (field pH 4.5); clear and smooth boundary to Btc
Btc	41-60	Red (2.5YR 4/8); very gravelly sandy clay loam; moderately weak fine subangular blocky structure; slightly hard dry, firm moist, slightly sticky and slightly plastic; common distinct clay coating on faces of ped, surfaces of rock fragments and clay bridges between sand grains; common very fine and fine vesicular pores; common very fine, fine, coarse and few medium roots; few traces of dead roots; few very fine coated sands; many small to large angular gravel, stones and boulders of slightly weathered and fresh sandstone; common fine and medium subrounded Fe-Mn nodules; many large angular boulders of weathered sandstone underneath Btc horizon; very strongly acid (field pH 5.0).

## Sakaerat 2

### I Information on the site

Profile symbol	: Skr-2
Soil name	: -
Classification	: Lithic Haplustult
Date of examination	: October 27, 2010
Described by	: Somchai Anusontpornperm, Suphicha Thanachit, Woranan Sonkanha, Narissara Suksawat, Nipat Thanimmarn, Naruedon Poviang, Wanrappee Suwanprapa, Walailuck Saikaew, Yuttakarn Kaewkaemthong, Jeeranut Hongjaturun, Jeerawan Promma, Piyavut Pomthong.
Location	: Sakaerat Environmental Research Station, Tambon Udomsup, Amphoe Wang Nam Kheo, Changwat Nakhon Ratchsima.
Elevation	: Approximately 327.5 m (MSL)
Map sheet number	: 5338 II-53371 I   Coordination: 47P0816784 <sup>E</sup> ,160 6020 <sup>N</sup>
Landform	
1. Physiographic position	: Upper lower Footslope
2. Surrounding land form	: Undulating
3. Slope on which profile site	: 6%   Aspect: 350 Azimuth
Land use	: Dry Dipterocarp Forest mainly covered with Ya Pek ( <i>Arundinaria pusilla</i> Cheval & A. Camus)
Annual rainfall	: Approximately 1,222 mm

Mean temperature : Approximately 27.0°C  
 Climate : Tropical Savanna  
 Other : -

## **II General information on the soil**

Parent material	: Colluvium of sandstone
Drainage	: Well drained
Permeability	: Moderate
Runoff	: Rapid
Depth of groundwater	: Deeper than > 40 cm at time of sampling

## **III Profile description**

<b>Horizon</b>	<b>Depth (cm)</b>	<b>Description</b>
A1	0-11	Very dark grayish brown (10YR 3/2); very fine sandy loam; moderately weak fine subangular blocky structure; soft dry, friable moist, slightly sticky and moderately plastic; many very fine, common very fine vesicular pores; many very fine, common fine and very few medium roots; few very fine coated sands; common traces of dead roots; few medium to large angular gravel of weathered and fresh sandstone; slightly acid (field pH 6.5); abrupt and smooth boundary to A2
A2	11-22	Strong brown (7.5YR 4/6); very fine sandy clay loam; moderate fine and medium roots subangular blocky structure; soft dry, friable moist, moderate sticky and very plastic; few faint clay coating on faces of ped; few very fine coated sands; common very fine and fine vesicular pores; many very fine, fine and very few medium roots; few traces of dead roots; common traces of dead roots, common large angular gravel and small to medium angular stones of weathered and fresh sandstone; very strongly acid (field pH 5.0); abrupt and smooth boundary to Btc
Btc	22-40	Strong brown (7.5YR 5/6) (95%) mixed with red (2.5YR 4/8) (5%); very fine sandy clay loam; moderately fine and medium subangular blocky structure; slightly hard dry, firm moist, moderate sticky and very plastic; many distinct clay coating on faces of ped, surfaces of rock fragments and clay bridges between sand grains; few very fine coated sands; common very fine, few fine vesicular and few very fine simple tubular pores; common very fine and fine roots; common traces of dead roots; many various sizes of weathered sandstone rock fragments; many large angular boulders of weathered sandstone underneath Btc horizon; moderately acid (field pH 6.0);

### Sakaerat 3

#### **I Information on the site**

Profile symbol	: Skr-3
Soil name	: -
Classification	: Haplic Plinthustult
Date of examination	: October 26, 2010
Described by	: Somchai Anusontpornperm, Supicha Thanachit, Woranan Sonkanha, Narissara Suksawat, Nipat Thanimmarn, Naruedon Poviang, Wanrappee Suwanprapa, Walailuck Saikaew, Yuttakarn Kaewkaemthong, Jeeranut Hongjaturun, Jeerawan Promma, Piyavut Pomthong.
Location	: Sakaerat Environmental Research Station, Tambon Udomsup, Amphoe Wang Nam Kheo, Changwat Nakhon Ratchsima.
Elevation	: Approximately 417 m (MSL)
Map sheet number	: 5338 II-5337 I    Coordination: 47P 0816066 <sup>E</sup> , 160 5460 <sup>N</sup>
Landform	
1. Physiographic position	: Upper middle Footslope
2. Surrounding land form	: Undulating
3. Slope on which profile site	: 4%    Aspect: 71 Azimuth
Land use	: Dry Dipterocarp Forest
Annual rainfall	: Approximately 1,222 mm
Mean temperature	: Approximately 27.0°C
Climate	: Tropical Savanna
Other	: -

#### **II General information on the soil**

Parent material	: Colluvium of sandstone
Drainage	: Well drained
Permeability	: Moderate
Runoff	: Moderate
Depth of groundwater	: Deeper than > 60 cm at time of sampling

#### **III Profile description**

Horizon	Depth (cm)	Description
A	0-17	Dark reddish brown (5YR 3/3); very fine sandy loam; weak very fine and fine subangular blocky structure; soft dry, very friable moist, non sticky and slightly plastic; few very fine coated sands; many very fine vesicular and few fine simple tubular pores; many very fine, common fine, medium and very few coarse roots; common traces of dead root; few large gravel of ironstone; very strongly acid (field pH 5.0); clear and smooth boundary to Bt
Bt	17-40	Reddish brown (5YR 4/4); slightly gravelly very fine sandy loam; weak very fine and fine subangular blocky structure; soft dry, very friable moist, non sticky and slightly plastic; few faint clay coating on faces of ped; few very fine coated sands; many very fine and very few fine

Btc	40-60	vesicular pores; many very fine, common fine, medium and few coarse roots; few traces of dead roots common large gravel of ironstone; many large angular boulders of slightly weathered and fresh sandstone; moderately acid (field pH 6.0); clear and smooth boundary to Btc Reddish brown (5YR 4/4); very gravelly very fine sandy clay loam; moderately weak fine and medium subangular blocky structure; soft dry, very friable moist, slightly sticky and slightly plastic; common faint clay coating on faces of ped and clay bridges between sand grains; few very fine coated sands; common fine vesicular and few fine simple tubular pores; many very fine, common fine and medium roots; many small to large gravel of ironstone and Fe-Mn oxide nodule; many large angular boulders of weathered sandstone underneath Btc horizon; strongly acid (field pH 5.5).
-----	-------	---

#### Sakaerat 4

##### I Information on the site

Profile symbol	: Skr-4
Soil name	: -
Classification	: Kanhaplic Haplustult
Date of examination	: October 26, 2010
Described by	: Somchai Anusontpornperm, Supicha Thanachit, Woranan Sonkanha, Narissara Suksawat, Nipat Thanimmarn, Naruedon Poviang, Wanrappee Suwanprapa, Walailuck Saikaew, Yuttakarn Kaewkaemthong, Jeeranut Hongjaturun, Jeerawan Promma, Piyavut Pomthong.
Location	: Sakaerat Environmental Research Station, Tambon Udomsup, Amphoe Wang Nam Kheo, Changwat Nakhon Ratchsima.
Elevation	: Approximately 428.4 m (MSL)
Map sheet number	: 5338 II-5337 I    Coordination: 47P 0815876 <sup>E</sup> , 160 5285 <sup>N</sup>
Landform	
1. Physiographic position	: Concave footslope
2. Surrounding land form	: Slightly Undulating
3. Slope on which profile site	: 2%    Aspect: 160 Azimuth
Land use	: Ecotone with Dry Dipterocarp mixed with dry evergreen species
Annual rainfall	: Approximately 1,222 mm
Mean temperature	: Approximately 27.0°C
Climate	: Tropical Savanna
Other	: Few large angular sandstone rock boulders on the surface

##### II General information on the soil

Parent material	: Colluvium of sandstone
Drainage	: Well drained
Permeability	: Rapid
Runoff	: Moderate
Depth of groundwater	: Deeper than > 105 cm at time of sampling

**III Profile description**

<b>Horizon</b>	<b>Depth (cm)</b>	<b>Description</b>
A1	0-13	Very dusky red (2.5YR 2.5/2); very fine sandy loam; moderately weak very fine and fine subangular blocky structure; soft dry, very friable moist, slightly sticky and moderate plastic; few very fine coated sands; many very fine, few fine and very few medium vesicular pores; many very fine, fine and medium roots; few traces of dead roots; moderately acid (field pH 6.0); abrupt and smooth boundary to A2
A2	13-29	Reddish brown (2.5YR 4/4); very fine sandy loam; moderately weak very fine and fine subangular blocky structure; soft dry, friable moist, slightly sticky and moderate plastic; few very fine coated sands; many very fine vesicular pores; many very fine, fine, medium and few coarse roots; few traces of dead roots; moderately acid (field pH 6.0); abrupt and smooth boundary to Bt1
Bt1	29-53	Red (2.5YR 4/6); very fine sandy clay loam; moderately fine and medium subangular blocky structure; slightly hard dry, firm moist, moderate sticky and very plastic; few faint clay coating on faces of peds and pore walls; few very fine coated sands; few very fine and common fine vesicular pores; common very fine, medium coarse and many fine roots; few small Fe-Mn oxide nodules, few traces of dead roots; slightly acid (field pH 6.5); clear and smooth boundary to Bt2
Bt2	53-79	Red (2.5YR 4/8); very fine sandy clay loam; moderately fine and medium subangular blocky structure; slightly hard dry, firm moist, moderate sticky and very plastic; common faint clay coating on faces of peds and pore walls; few very fine coated sands; common very fine and fine vesicular pores; many medium, coarse, common fine and few very fine roots; few small mixed Fe-Mn oxide nodules, few traces of dead roots; slightly acid (field pH 6.5); gradual and smooth boundary to Bt3
Bt3	79-105	Red (2.5YR 5/8); very fine sandy clay loam; moderately fine and medium subangular blocky structure; slightly hard dry, firm moist, moderate sticky and very plastic; common faint clay coating on faces of peds and pore walls; few very fine coated sands; common very fine and fine vesicular pores; common very fine, fine and medium roots; few medium subrounded Fe-Mn oxide nodules; many large angular boulders of weathered sandstone underneath Bt3 horizon; slightly acid (field pH 6.5).

## Sakaerat 5

### **I Information on the site**

Profile symbol	: Skr-5
Soil name	: -
Classification	: Haplic Plinthustult
Date of examination	: October 27, 2010
Described by	: Somchai Anusontpornperm, Supicha Thanachit, Woranan Sonkanha, Narissara Suksawat, Nipat Thanimmarn, Naruedon Poviang, Wanrappee Suwanprapa, Walailuck Saikaew, Yuttakarn Kaewkaemthong, Jeeranut Hongjaturun, Jeerawan Promma, Piyavut Pomthong.
Location	: Sakaerat Environmental Research Station, Tambon Udomsup, Amphoe Wang Nam Kheo, Changwat Nakhon Ratchsima.
Elevation	: Approximately 389.4 m (MSL)
Map sheet number	: 5338 II-5337 I    Coordination: 47P 0815833 <sup>E</sup> , 160 5241 <sup>N</sup>
Landform	
1. Physiographic position	: Convex footslope
2. Surrounding land form	: Undulating
3. Slope on which profile site	: 5%    Aspect: 72 Azimuth
Land use	: Secondary Dry Evergreen Forest
Annual rainfall	: Approximately 1,222 mm
Mean temperature	: Approximately 27.0°C
Climate	: Tropical Savanna
Other	: Few large angular sandstone rock boulders on the surface

### **II General information on the soil**

Parent material	: Colluvium of sandstone
Drainage	: Well drained
Permeability	: Rapid
Runoff	: Moderate
Depth of groundwater	: Deeper than > 70 cm at time of sampling

### **III Profile description**

Horizon	Depth (cm)	Description
A1	0-13	Dark reddish brown (5YR 3/2); very fine sandy loam; moderately weak fine subangular blocky structure; soft dry, friable moist, slightly sticky and slightly plastic; few very fine coated sands; many very fine and fine vesicular pores; many very fine, fine and medium roots; many traces of dead roots; slightly acid (field pH 6.5); clear and smooth boundary to A2
A2	13-26	Reddish brown (5YR 4/4); very fine sandy loam; moderate fine and medium subangular blocky structure; slightly hard dry, firm moist, slightly sticky and moderate plastic; few very fine coated sands; many very fine and fine vesicular pores; many very fine, fine and medium roots; few traces of dead roots; few medium gravel of ironstones; strongly acid (field pH 5.5); abrupt and smooth boundary to Bt

Bt	26-44	Yellowish red (5YR 4/6); very fine sandy clay loam; strong fine and medium subangular blocky structure; slightly hard dry, firm moist, moderate sticky and very plastic; many distinct clay coating on faces of ped, surfaces of rock fragments and Fe-Mn oxide nodule; few very fine coated sands, few very fine and fine vesicular pores; common very fine, medium and many fine roots; few small angular stones of weathered sandstone, few; extremely acid (field pH 4.5); abrupt and smooth boundary to Btc
Btc	44-70	Yellowish red (5YR 4/6); very gravelly very fine sandy clay loam; moderately fine subangular blocky structure; slightly hard dry, firm moist, moderate sticky and moderate plastic; many distinct clay coating on faces of ped, rock and surfaces of Fe-Mn oxide nodule; few very fine coated sands; many very fine and few fine vesicular pores; common very fine and few very fine roots; many Fe-Mn oxide nodules, many small to large angular stones of weathered sandstone; many Fe-Mn oxide nodules mixed with weathered sandstone stones and boulders of underneath Btc horizon; very strongly acid (field pH 5.0).

### Sakaerat 6

#### I Information on the site

Profile symbol	: Skr-6
Soil name	: -
Classification	: Typic Haplustult
Date of examination	: October 27, 2010
Described by	: Somchai Anusontpornperm, Supicha Thanachit, Woranan Sonkanha, Narissara Suksawat, Nipat Thanimmarn, Naruedon Poviang, Wanrappee Suwanprapa, Walailuck Saikaew, Yuttakarn Kaewkaemthong, Jeeranut Hongjaturun, Jeerawan Promma, Piyavut Pomthong.
Location	: Sakaerat Environmental Research Station, Tambon Udomsup, Amphoe Wang Nam Kheo, Changwat Nakhon Ratchsima.
Elevation	: Approximately 414.3 m (MSL)
Map sheet number	: 5338 II-5337 I    Coordination: 47P 0815446 <sup>E</sup> , 160 5556 <sup>N</sup>
Landform	
1. Physiographic position	: Erosinal surface of footslope
2. Surrounding land form	: Rolling
3. Slope on which profile site	: 15%   Aspect: 332 Azimuth
Land use	: Secondary Dry Evergreen Forest
Annual rainfall	: Approximately 1,222 mm
Mean temperature	: Approximately 27.0°C
Climate	: Tropical Savanna
Other	: Many large angular boulders of sandstone rock on the surface

## **II General information on the soil**

Parent material	: Colluvium of sandstone
Drainage	: Well drained
Permeability	: Moderate
Runoff	: Moderate
Depth of groundwater	: Deeper than > 55 cm at time of sampling

## **III Profile description**

Horizon	Depth (cm)	Description
A	0-18	Dark gray (5YR 4/1) (40%) mixed with (5YR 6/6) (60%); very fine sandy loam; moderate fine subangular blocky structure; slightly hard dry, firm moist, slightly sticky and very plastic; few very fine coated sands; many very fine and fine vesicular pores; common very fine, many fine, medium and coarse roots; many traces of dead roots, few medium to large angular stones of weathered sandstone; neutral (field pH 7.0); clear and smooth boundary to Bt1
Bt1	18-34	Yellowish red (5YR 5/8); very fine sandy loam; moderate fine subangular blocky structure; slightly hard dry, firm moist, slightly sticky and very plastic; many distinct clay coating on faces of ped; few very fine coated sands; many very fine and few fine vesicular pores; common very fine, many fine, medium and coarse roots; few traces of dead roots; few medium angular stones of weathered sandstone, strongly acid (field pH 5.5); clear and smooth boundary to Bt2
Bt2	34-55	Yellowish red (5YR 5/6); very fine sandy clay loam; moderate very fine and fine subangular blocky structure; soft dry, firm moist, moderate sticky and very plastic; common distinct clay coating on faces of ped; few very fine coated sands; common very fine vesicular pores; common fine, few very fine, medium and coarse roots; few traces of dead roots; few small Fe-Mn oxide nodules; common medium large angular gravel of weathered sandstone; many very large angular boulders of weathered sandstone lying underneath Bt2 horizon; very strongly acid (field pH 5.0).

Sakaerat 7

## **I Information on the site**

Profile symbol	: Skr-7
Soil name	: -
Classification	: Typic Plinthustalf
Date of examination	: October 27, 2010
Described by	: Somchai Anusontpornperm, Suphicha Thanachit, Woranan Sonkanha, Narissara Suksawat, Nipat Thanimmarn, Naruedon Poviang, Wanrappee Suwanprapa, Walailuck Saikaew, Yuttakarn Kaewkaemthong, Jeeranut Hongjaturun, Jeerawan Promma, Piyavut Pomthong.

Location	: Sakaerat Environmental Research Station, Tambon Udomsup, Amphoe Wang Nam Kheo, Changwat Nakhon Ratchsima.
Elevation	: Approximately 488 m (MSL)
Map sheet number	: 5338 II-5337 I    Coordination: 47P 0814585 <sup>E</sup> , 160 4947 <sup>N</sup>
Landform	
1. Physiographic position	: Lower footslope
2. Surrounding land form	: Rolling
3. Slope on which profile site	: 10%    Aspect: 190 Azimuth
Land use	: Dry Evergreen Forest
Annual rainfall	: Approximately 1,222 mm
Mean temperature	: Approximately 27.0 °C
Climate	: Tropical Savanna
Other	: -

## **II General information on the soil**

Parent material	: Colluvium of sandstone
Drainage	: Well drained
Permeability	: Moderate
Runoff	: Rapid
Depth of groundwater	: Deeper than > 175 cm at time of sampling

## **III Profile description**

Horizon	Depth (cm)	Description
A1	0-11	Brown (7.5YR 5/3); very fine sandy clay loam; moderate fine and medium subangular blocky structure; slightly hard dry, firm moist, moderate sticky and very plastic; few very fine coated sands; many very fine and few fine vesicular pores; many very fine, fine and few medium roots; A large holes of termite nest, few traces of dead roots; strongly acid (field pH 5.5); clear and smooth boundary to A2
A2	11-26	Brown (7.5YR 5/4) (80%) mixed with brown (7.5YR 5/3) (20%); very fine sandy clay loam; moderate and medium subangular blocky structure; slightly hard dry, firm moist, moderate sticky and very plastic; few very fine coated sands; many very fine vesicular pores; many very fine, common fine and few medium roots; A large hole of termite nest, few traces of dead roots; moderately acid (field pH 6.0); clear and smooth boundary to Bt1
Bt1	26-48	Reddish brown (5YR 5/4); very fine sandy clay loam; moderate medium subangular blocky structure; slightly hard dry, firm moist, moderate sticky and very plastic; common distinct clay coating on faces of peds and pore walls; few very fine coated sands; common very fine, fine and few very fine single tubular pores; common very fine, fine and medium roots; few traces of dead roots; few traces of rock fragment; strongly acid (field pH 5.5); clear and smooth boundary to Bt2
Bt2	48-76	Yellowish red (5YR 4/6); very fine sandy clay; moderate fine and medium subangular blocky structure; slightly hard dry, firm moist, very

		sticky and very plastic; many distinct clay coating on faces of ped and pore walls; few very fine coated sands; few very fine, fine vesicular and few very fine simple and dendrite tubular pores; common very fine, fine and few medium roots; few traces of dead roots, few medium Fe-Mn oxide nodule; few very fine krotovinas; very strongly acid (field pH 5.0); clear and smooth boundary to Bt3
Bt3	76-109	Reddish brown (2.5YR 4/3) (70%) mixed with (7.5YR 6/3) (30%); very fine sandy clay; moderate fine subangular blocky structure; slightly hard dry, firm moist, very sticky and very plastic; many prominent clay coating on faces of ped and pore walls; few very fine coated sands; few very fine, fine vesicular and few very fine simple and dendrite tubular pores; few very fine, fine and medium roots; few traces of dead roots, few small to medium Fe-Mn oxide nodules; very strongly acid (field pH 5.0); clear and smooth boundary to Btc1
Btc1	109-120	Weak red (10R 4/4) (60%) mixed with (7.5YR 7/4) (40%); very gravelly fine sandy clay; strong fine subangular blocky structure; hard dry, very firm moist, very sticky and very plastic; common distinct clay coating on faces of ped, pore walls and surfaces of Fe-Mn oxide nodules; few very fine coated sands; few very fine, fine vesicular and very fine simple tubular pores; few very fine and fine roots; common traces of dead roots, many small to large Fe-Mn oxide nodules; very strongly acid (field pH 5.0); abrupt and smooth boundary to Btc2
Btc2	120-148	Pale red (10R 6/4) (30%) mixed with light brown (7.5YR 6/4) (70%); very gravelly very fine sandy clay; strong fine and medium subangular blocky structure; hard dry, very firm moist, very sticky and very plastic; many prominent clay coating on faces of ped, pore walls and surfaces of Fe-Mn oxide nodules; few very fine coated sands; few very fine, fine vesicular and very fine simple tubular pores; few very fine, fine and medium roots; common traces of dead roots, many small to large Fe-Mn oxide nodules; slightly acid (field pH 6.5); clear and smooth boundary to Bvg
Bvg	148-175+	Red (10R 4/6) (40%) mixed with pinkish gray (5YR 6/2) (40%) and light red (10R 6/6) (20%); very gravelly very fine sandy clay; strong fine and medium subangular blocky structure; hard dry, very firm moist, very sticky and very plastic; many prominent clay coating on faces of ped, pore walls and surfaces of Fe-Mn oxide nodules; few very fine coated sands; few very fine, fine vesicular and very fine simple tubular pores; few very fine, fine and medium roots; few large krotovinas few traces of dead roots, common small to medium Fe-Mn oxide nodules; common small angular boulders of weathered sandstone lying underneath Bvg horizon; neutral (field pH 7.0).

## Sakaerat 8

### **I Information on the site**

Profile symbol	: Skr-8
Soil name	: -
Classification	: Typic Plinthustult
Date of examination	: October 27, 2010
Described by	: Somchai Anusontpornperm, Supicha Thanachit, Woranan Sonkanha, Narissara Suksawat, Nipat Thanimmarn, Naruedon Poviang, Wanrappee Suwanprapa, Walailuck Saikaew, Yuttakarn Kaewkaemthong, Jeeranut Hongjaturun, Jeerawan Promma, Piyavut Pomthong.
Location	: Sakaerat Environmental Research Station, Tambon Udomsup, Amphoe Wang Nam Kheo, Changwat Nakhon Ratchsima.
Elevation	: Approximately 531 m (MSL)
Map sheet number	: 5338 II-5337 I    Coordination: 47P 0814581 <sup>E</sup> , 160 4947 <sup>N</sup>
Landform	
1. Physiographic position	: Upper middle footslope
2. Surrounding land form	: Undulating
3. Slope on which profile site	: 8%    Aspect: 20 Azimuth
Land use	: Dry Evergreen Forest
Annual rainfall	: Approximately 1,222 mm
Mean temperature	: Approximately 27.0°C
Climate	: Tropical Savanna
Other	: -

### **II General information on the soil**

Parent material	: Colluvium of sandstone
Drainage	: Well drained
Permeability	: Rapid
Runoff	: Moderate
Depth of groundwater	: Deeper than > 200 cm at time of sampling

### **III Profile description**

Horizon	Depth (cm)	Description
A	0-14	Reddish yellow (5YR 6/8); very fine sandy loam; moderate fine subangular blocky structure; slightly hard dry, firm moist, slightly sticky and slightly plastic; few very fine coated sands; many very fine and common fine vesicular pores; common very fine, fine and medium roots; few traces of dead roots; strongly acid (field pH 5.5); clear and smooth boundary to Bt1
Bt1	14-35	Yellowish red (5YR 5/8); very fine sandy loam; moderately weak and very fine and fine subangular blocky structure; soft dry, friable moist, slightly sticky and moderate plastic; common faint clay coating on faces of ped; few very fine coated sands; many very fine vesicular pores; common very fine and fine and medium roots; few traces of dead roots;

Bt2	35-60	A very large hole of termite nest lining vertically from Bt1 to Bt3; strongly acid (field pH 5.5); gradual and smooth boundary to Bt2 Yellowish red (5YR 5/8); very fine sandy loam; moderate weak fine and medium subangular blocky structure; soft dry, friable moist, moderate sticky and very plastic; few faint clay coating on faces of ped; few very fine coated sands; many very fine and few fine vesicular pores; common very fine, fine and few medium roots; few traces of dead roots; few medium angular stones of weathered sandstone, few small Fe-Mn oxide nodules; very strongly acid (field pH 5.0); gradual and smooth boundary to Bt3
Bt3	60-88/99	Yellowish red (5YR 5/8); very fine sandy clay loam; moderate fine and medium subangular blocky structure; slightly hard dry, firm moist, moderate sticky and very plastic; few faint clay coating on faces of ped; few very fine coated sands; many very fine and few fine vesicular pores; few very fine, fine and common medium roots; very strongly acid (field pH 5.0); abrupt and wavy boundary to Btc1
Btc1	88/99-120	Yellowish red (5YR 5/8); very gravelly very fine sandy clay loam; moderate fine subangular blocky structure; slightly hard dry, firm moist, moderate sticky and very plastic; common distinct clay coating on faces of ped and surfaces of Fe-Mn oxide nodules; few very fine coated sands, common very fine and few fine vesicular pores; few very fine, fine and medium roots; few traces of dead roots; many fine to large Fe-Mn oxide nodules, many angular gravel of weathered sandstone; very strongly acid (field pH 5.0); clear and smooth boundary to Btc2
Btc2	120-142	Yellowish red (5YR 5/8); very gravelly very fine sandy clay; moderate fine subangular blocky structure; slightly hard dry, firm moist, moderate sticky and very plastic; common distinct clay coating on faces of ped, surfaces of rock fragments and Fe-Mn oxide nodules; few very fine coated sands; common very fine and few fine vesicular pores; few very fine and medium roots; few traces of dead roots; many fine to large Fe-Mn oxide nodules, many large angular gravel of weathered sandstone; very strongly acid (field pH 5.0); clear and smooth boundary to Btc3
Btc3	142-165	Yellowish red (5YR 5/8); very gravelly very fine sandy clay; moderate fine subangular blocky structure; slightly hard dry, firm moist, moderate sticky and very plastic; many distinct clay coating on faces of ped, surfaces of rock fragments and Fe-Mn oxide nodules; few very fine coated sands; common very fine and few fine vesicular pores; few very fine and medium roots; few traces of dead roots; many fine to large Fe-Mn oxide nodules, many large angular gravel of weathered sandstone; very strongly acid (field pH 5.0); clear and smooth boundary to Btc4
Btc4	165-200+	Yellowish red (5YR 5/8); very gravelly very fine sandy clay; moderate fine subangular blocky structure; slightly hard dry, firm moist, moderate sticky and very plastic; many distinct clay coating on faces of ped, surfaces of rock fragments and Fe-Mn oxide nodules; few very fine coated sands; common very fine and few fine vesicular pores; few very fine and medium roots; few traces of dead roots; many fine to large Fe-

Mn oxide nodules, many large angular gravel of weathered sandstone; very strongly acid (field pH 5.0).



**ตารางผนวกที่ 1 ผลการวิเคราะห์สมบัติทางฟิสิกส์ของดินบริเวณที่ทำการศึกษา**

Depth (cm)	Horizon	Particle size distribution			Textural class	Bulk density (Mg m <sup>-3</sup> )	Hydraulic conductivity (cm hr <sup>-1</sup> )
		sand	silt	clay			
		(-----g kg <sup>-1</sup> -----)					
<b>Skr-1 Haplic Plinthustult (Secondary Mixed Deciduous Forest)</b>							
0-10	A1	718	219	62	Sandy loam	1.26	5.39
10-22	A2	670	266	62	Sandy loam	1.42	6.69
22-41	Bt1	641	237	120	Sandy loam	1.51	4.87
41-60	Btc	635	302	62	Sandy loam	1.58	9.23
<b>Skr-2 Lithic Haplustult (Dry Dipterocarp Forest mainly covered with Ya Pek (<i>Arundinaria pusilla</i>))</b>							
0-11	A1	466	363	170	Loam	1.02	9.11
11-22	A2	320	350	329	Clay Loam	1.41	8.81
22-40	Bt	303	359	337	Clay Loam	1.50	39.53
<b>Skr-3 Haplic Plinthustult (Dry Dipterocarp Forest)</b>							
0-17	A	549	225	225	Sandy clay loam	1.17	17.27
17-40	Bt	510	310	179	Loam	1.45	54.65
40-60	Btc	487	312	200	Loam	1.68	24.73
<b>Skr-4 Kanhaphic Haplustult (Ecotone with Dry Dipterocarp mixed with Dry Evergreen species)</b>							
0-13	A1	447	314	208	Loam	1.15	23.93
13-29	A2	441	383	175	Loam	1.22	12.34
29-53	Bt1	402	309	287	Clay loam	1.43	6.88
53-79	Bt2	421	278	300	Clay loam	1.48	5.50
79-105	Bt3	400	330	269	Clay loam	1.52	2.88
<b>Skr-5 Haplic Plinthustult (Secondary Dry Evergreen Forest)</b>							
0-13	A1	461	480	58	Sandy loam	1.20	6.71
13-26	A2	386	463	150	Loam	1.18	4.62
26-44	Bt	382	433	183	Loam	1.30	2.38
44-70	Btc	372	435	191	Loam	1.56	1.16

ตารางผนวกที่ 1 (ต่อ)

Depth (cm)	Horizon	Particle size distribution			Textural class	Bulk density (Mg m <sup>-3</sup> )	Hydraulic conductivity (cm hr <sup>-1</sup> )
		sand	silt	clay			
		(-----g kg <sup>-1</sup> -----)					
<b>Skr-6 Typic Haplustult (Secondary Dry Evergreen Forest)</b>							
0-18	A	373	505	120	Silt loam	1.43	5.44
18-34	Bt1	365	326	308	Clay loam	1.48	2.07
34-55	Bt2	311	296	391	Clay loam	1.55	1.38
<b>Skr-7 Typic Plinthustalf (Dry Evergreen Forest)</b>							
0-11	A1	282	388	329	Clay loam	1.46	0.48
11-26	A2	331	431	237	Loam	1.49	0.34
26-48	Bt1	377	476	145	Loam	1.40	0.76
48-76	Bt2	305	402	291	Clay loam	1.49	3.95
76-109	Bt3	272	440	287	Clay loam	1.54	0.03
109-120	Btc1	304	382	312	Clay loam	1.57	0.41
120-148	Btc2	251	369	379	Clay loam	1.72	0.17
148-175+	Bvg	267	345	387	Clay loam	1.82	0.06
<b>Skr-8 Typic Plinthustult (Dry Evergreen Forest)</b>							
0-14	A1	350	332	316	Clay loam	1.22	42.81
14-35	Bt1	310	368	320	Clay loam	1.45	17.00
35-60	Bt2	403	350	245	Loam	1.54	66.05
60-89/99	Bt3	240	626	133	Silt loam	1.43	8.96
88/99-120	Btc1	229	170	600	Clay	1.40	2.30
120-142	Btc2	254	241	504	Clay	1.64	2.68
142-165	Btc3	369	130	500	Clay	1.72	3.32
165-200+	Btc4	398	226	375	Clay loam	1.68	1.18

ตารางผนวกที่ 2 ผลการวิเคราะห์สมบัติทางเคมีของดินในบริเวณที่ศึกษา

Depth (cm)	Horizon	pH 1:1		OM	Total N	Available		Extractable bases			Sum base cmol <sub>c</sub> kg <sup>-1</sup>	Extr. acidity by sum	CEC	BS (%)		
		H <sub>2</sub> O	KCl			P	K	Ca	Mg	K						
		(-----g kg <sup>-1</sup> -----)	(-----mg kg <sup>-1</sup> -----)			(-----cmol <sub>c</sub> kg <sup>-1</sup> -----)	(-----%)-----									
<b>Skr-1 Haplic Plinthustult (Secondary Mixed Deciduous Forest)</b>																
0-10	A1	5.5	4.7	32.16	1.33	0.17	40.59	5.39	1.77	0.10	0.50	7.77	2	9.76	10.50	79
10-22	A2	5.0	3.7	7.22	0.49	0.09	17.79	0.76	0.69	0.05	0.37	1.87	4	5.86	4.50	32
22-41	Bt1	5.1	3.6	6.88	0.42	0.11	17.86	0.46	0.51	0.05	0.17	1.19	6	7.19	9.25	17
41-60+	Btc	5.2	3.6	8.60	0.56	0.07	22.29	0.77	0.08	0.06	0.17	1.08	4	5.08	10.25	21
<b>Skr-2 Lithic Haplustult (Dry Dipterocarp Forest mainly covered with Ya Pek (<i>Arundinaria pusilla</i>))</b>																
0-11	A1	5.1	4.1	32.68	1.05	0.04	114.28	2.19	2.24	0.29	0.10	4.82	6	10.82	12.25	44
11-22	A2	5.5	3.5	20.47	0.95	0.02	80.58	1.64	2.58	0.21	0.15	4.58	15	19.57	15.00	23
22-40	Bt	5.2	3.4	14.45	0.81	0.03	54.38	1.37	2.08	0.14	0.14	3.72	12	15.72	15.25	24
<b>Skr-3 Haplic Plinthustult (Dry Dipterocarp Forest)</b>																
0-17	A	4.7	3.7	29.58	1.75	0.15	12.09	0.37	0.10	0.06	0.16	4.82	15	19.82	38.50	4
17-40	Bt	4.9	3.8	12.97	0.84	0.07	12.42	0.07	0.03	0.03	0.11	4.58	8	12.57	7.50	3
40-60	Btc	5	3.2	11.28	0.70	0.06	10.29	0.11	0.03	0.03	0.21	3.72	11	14.72	9.00	3

ตารางผนวกที่ 2 (ต่อ)

Depth (cm)	Horizon	pH 1:1		OM	Total N	Available		Extractable bases			Sum base cmol <sub>c</sub> kg <sup>-1</sup>	Extr. acidity by sum	CEC	BS NH <sub>4</sub> OAc (%)		
		H <sub>2</sub> O	KCl			P	K	Ca	Mg	K						
		(----g kg <sup>-1</sup> ----)	(----mg kg <sup>-1</sup> ----)			(-----)	(-----)	(-----)	(-----)	(-----)						
Skr-4 Kanhaphic Haplustult (Ecotone with Dry Dipterocarp mixed with Dry Evergreen species)																
0-13	A1	4.7	3.7	29.24	1.19	0.12	38.24	0.69	0.43	0.10	0.13	1.35	10	11.34	9.50	12
13-29	A2	4.8	3.6	18.23	0.91	0.07	21.87	0.76	0.08	0.06	0.10	0.99	9	9.99	8.25	10
29-53	Bt1	5	3.6	12.73	0.49	0.07	14.83	0.56	0.08	0.04	0.31	0.99	5	5.98	6.50	17
53-79	Bt2	5	3.5	6.88	0.42	0.06	12.10	0.52	0.08	0.03	0.20	0.82	6	6.81	5.25	12
79-105	Bt3	4.9	3.4	4.13	0.35	0.05	11.71	0.39	0.08	0.03	0.18	0.68	7	7.67	4.75	9
Skr-5 Haplic Plinthustult (Secondary Dry Evergreen Forest)																
0-13	A1	4.8	4.1	23.74	0.77	0.15	126.51	1.90	1.56	0.32	0.32	4.10	23	27.10	13.50	15
13-26	A2	4.8	3.4	19.61	1.05	0.07	62.33	0.31	0.61	0.16	0.24	1.31	7	8.31	8.50	16
26-44	Bt	4.5	3.3	13.93	0.77	0.05	71.68	0.23	2.10	0.18	0.32	2.84	5	7.84	7.50	36
44-70+	Btc	4.5	3.3	11.35	0.56	0.05	62.42	0.20	0.24	0.16	0.31	0.91	2	2.91	6.50	31

ตารางผนวกที่ 2 (ต่อ)

Depth (cm)	Horizon	pH 1:1		OM	Total N	Available		Extractable bases			Sum base cmol <sub>c</sub> kg <sup>-1</sup>	Extr. acidity by sum	CEC	BS (%)		
		H <sub>2</sub> O	KCl			P	K	Ca	Mg	K	Na					
		(-----g kg <sup>-1</sup> -----)	(-----mg kg <sup>-1</sup> -----)			(-----cmol <sub>c</sub> kg <sup>-1</sup> -----)										
<b>Skr-6 Typic Haplustult (Secondary Dry Evergreen Forest)</b>																
0-18	A	5.3	4.6	28.04	1.40	0.09	174.57	4.79	1.52	0.45	0.12	6.87	2	8.87	10.25	77
18-34	Bt1	4.9	3.4	15.82	0.84	0.09	105.28	1.05	0.51	0.27	0.09	1.93	4	5.93	8.75	32
34-55	Bt2	4.5	3.2	12.56	0.77	0.02	56.06	0.36	0.45	0.14	0.08	1.04	7	8.04	9.25	13
<b>Skr-7 Typic Plinthustalf (Dry Evergreen Forest)</b>																
0-11	A1	5.8	4.8	25.28	1.55	0.03	71.27	6.46	1.70	0.18	0.40	8.74	4	12.74	12.00	69
11-48	A2	5.5	3.5	20.64	1.22	0.03	64.05	1.66	0.99	0.16	0.47	3.28	2	5.28	7.25	62
26-48	Bt1	5.2	3.6	20.30	1.05	0.05	154.42	1.44	1.23	0.40	0.70	3.76	4	7.76	8.25	48
48-76	Bt2	5.1	3.4	9.12	0.56	0.01	62.78	2.35	1.19	0.16	0.32	4.02	2	6.02	7.75	67
76-109	Bt3	5	3.4	8.26	0.63	0.03	83.90	1.88	1.13	0.22	0.40	3.63	1	4.63	8.00	78
109-120	Btc1	4.9	3.4	6.88	0.56	0.03	98.44	2.21	1.35	0.25	0.16	3.98	1	4.98	9.25	80
120-148	Btc2	5.3	3.9	5.50	0.56	0.01	100.87	5.25	1.87	0.26	0.18	7.55	3	10.55	11.25	71
148-175+	Bvg	5.6	4.6	6.54	0.49	0.01	85.90	6.24	1.75	0.22	0.44	8.64	2	10.64	11.25	81

ตารางผนวกที่ 2 (ต่อ)

Depth (cm)	Horizon	pH 1:1		OM	Total N	Available		Extractable bases			Sum base	Extr. acidity	CEC by sum	BS $\text{NH}_4\text{OAc}$ (%)			
		H <sub>2</sub> O	KCl			P	K	Ca	Mg	K	Na						
				(-----g kg <sup>-1</sup> -----)		(-----mg kg <sup>-1</sup> -----)		(-----cmol <sub>c</sub> kg <sup>-1</sup> -----)									
Skr-8 Typic Plinthustult (Dry Evergreen Forest)																	
0-14	A1	4.5	3.5	31.30	1.47	0.08	51.25	0.28	0.26	0.13	0.19	0.86	10	10.86	13.50	8	
14-35	Bt1	4.5	3.5	26.83	0.98	0.05	19.05	0.05	0.08	0.05	0.07	0.26	7	7.26	8.75	3	
35-60	Bt2	4.5	3.6	18.40	1.23	0.07	62.46	0.46	0.70	0.16	0.33	1.65	9	10.65	7.25	15	
60-89/99	Bt3	4.7	3.5	9.98	0.56	0.02	27.78	0.04	0.03	0.07	0.20	0.34	7	7.34	8.00	5	
88/99-120	Btc1	5.5	3.6	5.85	0.28	0.01	47.80	0.04	0.03	0.12	0.72	0.92	8	8.92	7.75	10	
120-142	Btc2	5.9	3.5	5.68	0.35	0.02	26.94	0.05	0.03	0.07	0.28	0.43	6	6.43	9.75	7	
142-165	Btc3	6.3	3.6	3.44	0.21	0.03	19.99	0.07	0.04	0.05	0.56	0.72	11	11.72	6.75	6	
165-200+	Btc4	5.8	3.6	4.13	0.28	0.01	15.75	0.08	0.04	0.04	0.17	0.33	9	9.33	7.75	4	

ตารางผนวกที่ 3 ปริมาณเหล็ก อะลูมิնัม และแมงกานีสที่สกัดด้วยไนโตรอินต์-ชิเตรต  
ใบการ์บอนต์ ออกชาเลต และไฟฟ์ฟอสเฟตของดินที่ทำการศึกษา

Depth (cm)	Horizon	$Fe_d$	$Fe_o$ (-----g kg <sup>-1</sup> -----)	$Fe_p$	$Fe_o/Fe_d$	$Al_d$	$Al_o$	$Al_p$ (-----g kg <sup>-1</sup> -----)	$Mn_d$	$Mn_o$	$Mn_p$
<b>Skr-1 Haplic Plinthustult (Secondary Mixed Deciduous Forest)</b>											
0-10	A1	14.0	1.09	0.52	0.08	2.4	0.82	1.33	0.670	0.693	0.189
10-22	A2	16.7	1.08	0.73	0.06	2.9	0.96	1.22	0.318	0.157	0.078
22-41	Bt1	18.7	1.15	0.73	0.06	3.0	0.90	1.00	0.297	0.370	0.055
41-60+	Btc	22.6	1.25	0.60	0.06	3.2	0.97	0.94	0.345	0.167	0.059
<b>Skr-2 Lithic Haplustult (Dry Dipterocarp Forest mainly covered with Ya Pek (<i>Arundinaria pusilla</i>))</b>											
0-11	A1	25.2	4.35	1.77	0.17	3.6	0.95	1.30	0.188	0.099	0.058
11-22	A2	33.1	5.37	3.94	0.16	6.1	1.81	2.39	0.031	0.023	0.013
22-40	Bt	32.6	5.39	4.40	0.17	6.9	2.20	2.67	0.001	0.009	0.006
<b>Skr-3 Haplic Plinthustult (Dry Dipterocarp Forest)</b>											
0-17	A	32.7	2.24	2.77	0.07	10.6	3.42	3.48	0.315	0.175	0.085
17-40	Bt	35.1	1.97	2.69	0.06	12.4	4.42	3.79	0.356	0.188	0.068
40-60	Btc	40.3	2.14	2.73	0.05	11.5	3.47	2.96	0.281	0.151	0.055
<b>Skr-4 Kanhaphic Haplustult (Ecotone with Dry Dipterocarp mixed with Dry Evergreen species)</b>											
0-13	A1	26.5	1.62	1.13	0.06	5.9	1.86	1.74	0.207	0.106	0.066
13-29	A2	30.5	1.73	1.83	0.06	5.9	1.59	1.89	0.121	0.053	0.028
29-53	Bt1	40.0	1.63	1.40	0.05	5.9	1.40	1.39	0.099	0.041	0.015
53-79	Bt2	33.7	1.63	1.01	0.05	5.6	1.27	1.06	0.101	0.040	0.012
79-105	Bt3	31.1	1.32	0.66	0.04	4.7	1.03	0.84	0.103	0.042	0.013
<b>Skr-5 Haplic Plinthustult (Secondary Dry Evergreen Forest)</b>											
0-13	A1	24.0	1.93	1.42	0.08	5.3	1.66	1.60	0.248	0.134	0.073
13-26	A2	28.6	2.03	2.07	0.07	5.6	1.53	1.76	0.202	0.095	0.052
26-44	Bt	32.2	2.22	2.10	0.07	5.7	1.27	1.56	0.086	0.038	0.017
44-70+	Btc	41.0	1.87	2.87	0.05	6.2	1.21	1.63	0.131	0.037	0.019
<b>Skr-6 Typic Haplustult (Secondary Dry Evergreen Forest)</b>											
0-18	A	28.7	1.75	1.70	0.06	5.30	1.53	1.59	0.998	1.049	0.198
18-34	Bt1	34.8	2.06	1.70	0.06	5.39	1.30	1.08	0.232	0.098	0.035
34-55	Bt2	41.1	2.28	2.34	0.06	6.00	1.38	1.76	0.212	0.085	0.028
<b>Skr-7 Typic Plinthustalf (Dry Evergreen Forest)</b>											
0-11	A1	14.9	1.90	0.65	0.13	2.41	0.72	0.48	1.226	1.303	0.303
11-26	A2	20.6	2.72	1.35	0.13	3.00	0.84	0.74	0.534	0.269	0.094
26-48	Bt1	23.0	2.88	1.88	0.13	4.02	1.13	0.93	0.200	0.103	0.038
48-76	Bt2	28.2	2.95	2.33	0.10	5.01	1.40	1.17	0.133	0.057	0.023
76-109	Bt3	30.6	2.88	1.88	0.09	4.66	1.13	1.05	0.114	0.053	0.019
109-120	Btc1	31.4	2.30	0.53	0.07	4.12	0.83	0.44	0.247	0.121	0.030
120-148	Btc2	35.9	2.30	0.83	0.06	4.81	0.92	12.55	0.230	0.097	0.043
148-175+	Bvg	35.7	2.36	0.66	0.07	3.98	0.69	6.74	0.410	0.208	0.031

### ตารางผนวกที่ 3 (ต่อ)

Depth (cm)	Horizon	Fe <sub>d</sub>	Fe <sub>o</sub> (- g kg <sup>-1</sup> )	Fe <sub>p</sub>	Fe <sub>o</sub> /Fe <sub>d</sub>	Al <sub>d</sub>	Al <sub>o</sub>	Al <sub>p</sub>	Mn <sub>d</sub> (- g kg <sup>-1</sup> )	Mn <sub>o</sub>	Mn <sub>p</sub>
Skr-8 Typic Plinthustult (Dry Evergreen Forest)											
0-14	A1	59.8	1.71	2.23	0.03	9.99	1.58	2.96	0.101	0.042	0.025
14-35	Bt1	61.7	1.65	2.61	0.03	10.70	1.78	1.02	0.084	0.030	0.009
35-60	Bt2	67.6	1.26	2.23	0.02	11.49	1.50	2.67	0.050	0.009	0.002
60-89/99	Bt3	71.2	1.21	0.57	0.02	10.42	1.40	1.74	0.043	0.005	0.006
89/99-120	Btc1	80.3	1.73	0.83	0.02	11.05	1.37	1.69	0.053	0.007	0.004
120-142	Btc2	90.6	0.96	0.06	0.01	11.99	1.41	1.28	0.082	0.010	0.002
142-165	Btc3	87.9	0.95	0.01	0.01	11.41	1.23	0.97	0.145	0.041	0.008
165-200+	Btc4	77.8	0.61	0.01	0.01	9.75	0.91	0.89	0.199	0.073	0.011

หมายเหตุ Fe<sub>d</sub>, Al<sub>d</sub>, Mn<sub>d</sub> = สกัดด้วย dithionite-citrate-bicarbonate (DCB)

Fe<sub>o</sub>, Al<sub>o</sub>, Mn<sub>o</sub> = สกัดด้วย ammonium oxalate (pH 3.0) (AOE)

Fe<sub>p</sub>, Al<sub>p</sub>, Mn<sub>p</sub> = สกัดด้วย 0.1 M sodium pyrophosphate (pH 10) (SPE)

ตารางผนวกที่ 4 ปริมาณเม็ดคินเตกีร์น้ำในแต่ละขนาด และขนาดเฉลี่ยของเม็ดคินเตกีร์น้ำ

Depth (cm)	Horizon	WSA1 (----- g 100 g <sup>-1</sup> soil-----)	WSA2	WSA3	WSA4	WSA5	WSA6	MWD (mm)
<b>Skr-1 Haplic Plinthustult (Secondary Mixed Deciduous Forest)</b>								
0-10	A1	43.87	7.29	5.13	7.96	28.24	7.50	2.42
10-22	A2	30.81	11.24	7.64	7.07	31.92	11.32	1.85
22-41	Bt1	9.38	10.35	8.95	13.90	53.80	3.63	0.84
41-60+	Btc	4.85	6.14	6.33	11.44	60.10	11.15	0.54
<b>Skr-2 Lithic Haplustult (Dry Dipterocarp Forest mainly covered with Ya Pek (<i>Arundinaria pusilla</i>))</b>								
0-11	A1	37.87	17.51	16.74	13.08	9.11	5.69	2.35
11-22	A2	41.01	19.39	15.89	10.99	8.15	4.57	2.52
22-40	Bt	29.03	23.40	20.52	13.51	8.27	5.27	2.02
<b>Skr-3 Haplic Plinthustult (Dry Dipterocarp Forest)</b>								
0-17	A	28.52	13.03	13.48	16.37	24.20	4.40	1.83
17-40	Bt	41.32	9.20	8.19	13.09	24.05	4.15	2.36
40-60	Btc	8.45	12.29	17.16	23.39	29.07	9.64	0.88
<b>Skr-4 Kanhaphic Haplustult (Ecotone with Dry Dipterocarp mixed with Dry Evergreen species)</b>								
0-13	A1	51.45	12.51	10.08	8.20	12.17	5.59	2.89
13-29	A2	38.24	16.80	11.78	10.54	15.85	6.79	2.32
29-53	Bt1	35.45	16.59	11.91	10.16	15.87	10.03	2.18
53-79	Bt2	34.04	18.13	13.03	10.39	16.47	7.94	2.14
79-105	Bt3	14.21	15.37	15.33	13.30	39.55	2.24	1.18
<b>Skr-5 Haplic Plinthustult (Secondary Dry Evergreen Forest)</b>								
0-13	A1	39.49	16.79	13.63	10.71	13.30	6.09	2.40
13-26	A2	28.12	15.48	18.01	14.38	16.78	7.23	1.86
26-44	Bt	7.95	13.66	18.07	26.53	21.77	12.03	0.88
44-70+	Btc	7.67	8.52	10.10	17.48	51.55	4.68	0.75
<b>Skr-6 Typic Haplustult (Secondary Dry Evergreen Forest)</b>								
0-18	A	30.05	16.84	18.03	15.18	13.94	5.97	1.97
18-34	Bt1	24.19	13.32	13.81	15.31	28.78	4.58	1.62
34-55	Bt2	12.51	7.08	10.41	23.07	43.36	3.57	0.97
<b>Skr-7 Typic Plinthustalf (Dry Evergreen Forest)</b>								
0-11	A1	49.30	10.93	10.10	7.93	14.76	6.98	2.76
11-26	A2	40.21	13.56	12.75	12.58	11.69	9.21	2.38
26-48	Bt1	19.60	12.75	16.13	19.87	27.81	3.84	1.42
48-76	Bt2	11.58	12.96	23.84	23.53	22.09	5.99	1.08
76-109	Bt3	6.89	12.88	18.93	24.60	27.82	8.88	0.83
109-120	Btc1	17.11	14.51	16.05	15.51	29.96	6.85	1.31
120-148	Btc2	15.61	15.53	18.83	16.60	23.24	10.19	1.26
148-175	Bvg	15.76	14.28	14.00	16.49	30.76	8.70	1.23

ตารางผนวกที่ 4 (ต่อ)

Depth (cm)	Horizon	WSA1 (----- g 100 g <sup>-1</sup> soil-----)	WSA2	WSA3 g 100 g <sup>-1</sup> soil-----)	WSA4	WSA5	WSA6 -----)	MWD (mm)
Skr-8 Typic Plinthustult (Dry Evergreen Forest)								
0-14	A1	51.30	16.45	11.98	8.28	7.61	4.38	2.95
14-35	Bt1	31.97	16.60	16.52	14.44	13.74	6.72	2.05
35-60	Bt2	14.78	13.28	17.24	18.81	31.79	4.11	1.20
60-89/99	Bt3	9.01	10.86	14.01	20.01	43.51	2.60	0.87
89/99-120	Btc1	14.16	12.33	13.44	15.76	42.08	2.21	1.13
120-142	Btc2	23.77	11.53	10.61	13.64	30.55	9.90	1.55
142-165	Btc3	19.79	11.07	12.42	16.16	32.08	8.48	1.37
165-200	Btc4	14.14	10.11	12.17	17.25	34.26	12.07	1.08

หมายเหตุ WSA1 = water stable aggregate 2-8 mm

WSA2 = water stable aggregate 1-2 mm

WSA3 = water stable aggregate 0.5-1 mm

WSA4 = water stable aggregate 0.25-0.5 mm

WSA5 = water stable aggregate 0.1-0.25 mm

WSA6 = water stable aggregate smaller than 0.1 mm

MWD = mean-weight diameter

ตารางผนวกที่ 5 ปริมาณคาร์บอนอินทรีย์ในเม็ดดินสีเขียวดำต่ำลับขนาด

Depth (cm)	Horizon	Soil organic carbon $\text{g kg}^{-1}$					
		WSA1 (--)	WSA2 (--)	WSA3 (--)	WSA4 (--)	WSA5 (--)	WSA6 (--)
<b>Skr-1 Haplic Plinthustult (Secondary Mixed Deciduous Forest)</b>							
0-10	A1	13.17	15.69	19.29	19.06	10.56	15.20
10-22	A2	4.45	4.26	4.45	5.62	3.49	6.39
22-41	Bt1	3.29	3.29	3.68	3.20	3.49	4.65
41-60+	Btc	2.81	3.29	4.02	3.10	5.62	4.55
<b>Skr-2 Lithic Haplustult (Dry Dipterocarp Forest mainly covered with Ya Pek (<i>Arundinaria pusilla</i>))</b>							
0-11	A1	16.08	28.94	19.29	19.29	16.08	14.91
11-22	A2	14.91	15.50	15.69	15.30	14.53	12.98
22-40	Bt	13.27	12.98	13.17	13.17	12.78	11.14
<b>Skr-3 Haplic Plinthustult (Dry Dipterocarp Forest)</b>							
0-17	A	19.29	15.88	18.59	18.13	19.18	20.34
17-40	Bt	14.33	13.95	15.69	14.53	13.17	19.37
40-60	Btc	9.53	12.19	12.98	11.23	9.49	12.78
<b>Skr-4 Kanhaphic Haplustult (Ecotone with Dry Dipterocarp mixed with Dry Evergreen species)</b>							
0-13	A1	9.53	15.50	19.06	17.43	19.29	16.08
13-29	A2	10.27	10.27	11.43	11.23	10.07	10.85
29-53	Bt1	6.20	6.97	7.75	7.55	7.36	6.97
53-79	Bt2	6.00	5.42	6.78	6.78	5.42	6.97
79-105	Bt3	4.26	3.87	4.07	4.07	4.07	4.65
<b>Skr-5 Haplic Plinthustult (Secondary Dry Evergreen Forest)</b>							
0-13	A1	14.53	14.72	19.06	19.29	14.14	13.75
13-26	A2	10.85	10.85	13.95	13.36	10.07	8.91
26-44	Bt	7.36	7.75	7.94	6.97	5.81	6.78
44-70+	Btc	6.78	8.13	8.91	8.13	6.39	6.78
<b>Skr-6 Typic Haplustult (Secondary Dry Evergreen Forest)</b>							
0-18	A	15.11	14.91	14.53	13.56	11.43	12.40
18-34	Bt1	5.42	6.20	7.17	6.39	5.42	5.23
34-55	Bt2	5.81	6.20	6.20	5.42	4.65	4.45
<b>Skr-7 Typic Plinthustalf (Dry Evergreen Forest)</b>							
0-11	A1	11.82	12.98	15.11	15.69	12.78	9.68
11-26	A2	4.84	5.04	5.04	5.42	4.65	4.07
26-48	Bt1	6.20	5.23	5.23	4.07	3.49	3.68
48-76	Bt2	6.20	6.20	4.45	4.45	3.29	6.20
76-109	Bt3	5.04	4.26	4.07	4.07	3.49	3.29
109-120	Btc1	4.26	3.68	3.20	2.81	2.13	3.00
120-148	Btc2	4.94	3.78	3.20	2.91	2.61	2.42
148-175	Bvg	3.49	3.10	3.29	2.71	1.94	1.94

### ตารางผนวกที่ 5 (ต่อ)

Depth (cm)	Horizon	Soil organic carbon					
		WSA1 (-----)	WSA2 (-----)	WSA3 g kg <sup>-1</sup>	WSA4 (-----)	WSA5 (-----)	WSA6 (-----)
Skr-8 Typic Plinthustult (Dry Evergreen Forest)							
0-14	A1	19.29	19.29	18.59	19.06	13.95	11.43
14-35	Bt1	14.14	14.33	13.75	13.95	11.62	12.01
35-60	Bt2	6.00	6.00	6.78	6.20	5.04	5.81
60-89/99	Bt3	4.45	4.45	4.26	3.97	2.61	4.84
89/99-120	Btc1	3.49	4.07	4.26	3.68	3.68	4.45
120-142	Btc2	1.94	2.13	2.03	2.23	2.52	2.71
142-165	Btc3	1.74	1.74	2.13	2.32	1.74	2.52
165-200	Btc4	1.94	1.94	2.13	2.52	2.32	2.52

หมายเหตุ WSA1 = water stable aggregate 2-8 mm

WSA2 = water stable aggregate 1-2 mm

WSA3 = water stable aggregate 0.5-1 mm

WSA4 = water stable aggregate 0.25-0.5 mm

WSA5 = water stable aggregate 0.1-0.25 mm

WSA6 = water stable aggregate smaller than 0.1 mm

**ตารางผนวกที่ 6 การแบ่งกลุ่มของเนื้อดิน (อิบ, 2552; Soil Survey Division Staff, 1993)**

General Terms		Texture class
Sandy soils	Croase texture	Sands (coarse sand, fine sand, very fine sand), Loamy sands (loamy coarse sand, loamy sand, loamy fine sand and loamy very fine sand)
Loamy soils	Moderately coarse-textured	Coarse sandy loam, sandy loam, fine sandy loam
	Medium-textured	Very fine sandy loam, loams, silt loam and silt
	Moderately fine-textured	Clay loam, sandy clay loam, silty clay loam
Clayey soils	Fine textured	Sandy clay, silty clay and clay

ตารางผนวกที่ 7 เกณฑ์ต่าง ๆ ที่ใช้ในการประเมินระดับสมบัติทางพิสิกส์ของดิน

(นงคราษฎ, 2529; O'Neal, 1952)

Soil properties	Range	Rating
Bulk density ( $\text{Mg m}^{-3}$ )	< 1.2	Very low
	1.2 - 1.4	Low
	1.4-1.6	Moderate
	1.6-1.8	Moderately high
	1.8-2.0	High
	>2.0	Very high
Saturated hydraulic conductivity ( $\text{cm h}^{-1}$ )	<0.125	Very slow
	0.125-0.50	Slow
	0.50-2.00	Moderately slow
	2.00-6.25	Moderate
	6.25-12.50	Moderately rapid
	12.50-25.00	Rapid
	>25.00	Very rapid

**ตารางผนวกที่ 8** ข้อจำกัดต่าง ๆ ที่ใช้ในการประเมินระดับสมบัติทางเคมี และการประเมินความ  
อุดมสมบูรณ์ของดิน (Land Classification Division และ FAO Project Staff,  
1973; Soil Survey Division Staff, 1993)

8.1 พื้อชดิน (soil reaction), pH (ดิน : น้ำ = 1:1)

Rating	Range
Ultra acid	< 3.5
Extremely acid	3.5-4.4
Very strongly acid	4.5-5.0
Strongly acid	5.1-5.5
Moderately acid	5.6-6.0
Slightly acid	6.1-6.5
Neutral	6.6-7.3
Slightly alkaline	7.4-7.8
Moderately alkaline	7.9-8.4
Strongly alkaline	8.5-9.0
Very strongly alkaline	> 9.0

8.2 อินทรีย์ดิน (organic matter) (% organic carbon x 1.724)

Rating	Range ( $\text{g kg}^{-1}$ )
Very Low	< 5
Low	5-10
Moderately low	10-15
Medium	15-25
Moderately high	25-35
High	35-45
Very high	> 45

### 8.3 ปริมาณไนโตรเจนรวม (total nitrogen)

Rating	Range ( $\text{g kg}^{-1}$ )
Very Low	< 1.0
Low	1.0-2.0
Medium	2.0-5.0
High	5.0-7.5
Very High	> 7.5

### 8.4 ปริมาณฟอสฟอรัสที่เป็นประizable (available P) (Bray II)

Rating	Range ( $\text{mg kg}^{-1}$ )
Very Low	< 3
Low	3-6
Moderately low	6-10
Medium	10-15
Moderately high	15-25
High	25-45
Very high	> 45

### 8.5 ปริมาณโพแทสเซียมที่เป็นประizable (available K) (1M $\text{NH}_4\text{OAc}$ at pH 7.0)

Rating	Range ( $\text{mg kg}^{-1}$ )
Very Low	< 30
Low	30-60
Medium	60-90
High	90-120
Very High	> 120

8.6 ปริมาณเบสรวมที่สกัดໄ出自 (extractable bases) (1M NH<sub>4</sub>OAc at pH 7.0)

Rating	Range (cmol <sub>c</sub> kg <sup>-1</sup> )				
	extr. Ca	extr.Mg	extr.K	extr.Na	extr. bases
Very Low	< 2.0	< 0.3	< 0.2	< 0.1	< 2.6
Low	2-5	0.3-1.0	0.2-0.3	0.1-0.3	2.6-6.6
Medium	5-10	1.0-3.0	0.3-0.6	0.3-0.7	6.6-14.3
High	10-20	3.0-8.0	0.6-1.2	0.7-2.0	14.3-31.2
Very High	> 20	> 8.0	> 1.2	> 2.0	> 31.2

8.7 ความจุแลกเปลี่ยนแคตไออ้อน (CEC)

Rating	Range (cmol <sub>c</sub> kg <sup>-1</sup> )
Very Low	< 3
Low	3-5
Moderately low	5-10
Medium	10-15
Moderately High	15-20
High	20-30
Very High	> 30

8.8 ร้อยละความอิ่มตัวเบส (base saturation)

Rating	Range (%)
Low	<35
Medium	35-75
High	>75

ตารางผนวกที่ 9 เกณฑ์การแบ่งระดับปริมาณสภาพกรดที่สกัดได้ (นครราชสีมา, 2529)

Rating	Extractable acidity ( $\text{cmol}_c \text{ kg}^{-1}$ )
Very low	< 1.0
Low	1.0-2.0
Medium	2.0-5.0
Moderately high	5.0-10.0
High	10.0-20.0
Very high	> 20.0

ตารางผนวกที่ 10 วิธีคาดคะเนระดับความอุดมสมบูรณ์ของดิน โดยการประเมินจากผลการวิเคราะห์ดิน (กองสำรวจดิน, 2523)

Fertility level	Organic matter ( $\text{g kg}^{-1}$ )	Base saturation (%)	Cation exchange capacity ( $\text{cmol}_c \text{ kg}^{-1}$ )	Available phosphorus ( $\text{mg kg}^{-1}$ )	Available potassium ( $\text{mg kg}^{-1}$ )
Low	< 15 (1)	< 35 (1)	< 10 (1)	< 10 (1)	< 60 (1)
	15-35 (2)	35-75 (2)	10-25 (2)	10-25 (2)	60-90 (2)
Medium	> 35 (3)	> 75 (3)	> 25 (3)	> 25 (3)	> 90 (3)
High					

หมายเหตุ Fertility status of the soil used to numbers in parentheses in the table scores. Total is 7 or less is considered low soil fertility. Total score between 8-12 is considered soil fertility is medium. Total score is 13 or more is considered high soil fertility.

## ประวัติการศึกษาและการทำงาน

ชื่อ	นายวันรพี สุวรรณประภา
วัน เดือน ปี ที่เกิด	5 ตุลาคม 2530
สถานที่เกิด	จังหวัดราชบุรี
ประวัติการศึกษา	ปริญญาโท สาขาวิชาสตรบัณฑิต (วนศาสตร์) มหาวิทยาลัยเกษตรศาสตร์ (บางเขน)
ตำแหน่งหน้าที่การงานปัจจุบัน	พนักงานระดับ 3 องค์กรอุตสาหกรรมป้าไม้
สถานที่ทำงานปัจจุบัน	ส่วนป้าหนองหญ้าปล้อง จังหวัดเพชรบุรี
ผลงานเด่นและรางวัลทางวิชาการ	-
ทุนการศึกษาที่ได้รับ	ทุนสนับสนุนผลงานตีพิมพ์ทางวิชาการระดับ นานาชาติ บัณฑิตวิทยาลัยมหาวิทยาลัยเกษตรศาสตร์